

O'ZBEKISTON RESPUBLIKASI OLIY VA O'RTA  
MAXSUS TA'LIM VAZIRLIGI

P.X.Ubaydullayev, B.P.Ubaydullayev

## **AMALIY SUYUQLIK MEXANIKASI**

*Oliy va o'rta maxsus ta'lif vazirligi  
oliy o'quv yurtlari talabalari uchun o'quv qo'llanma  
sifatida tavsiya etgan*

TOSHKENT  
«TURON-IQBOL»  
2006

### Taqrizchilar:

**SH.A. Abdullayev** — Toshkent avtomobil yo'llari instituti, Ximmotologiya kafedrasi mudiri, t.f.d., professor.

**A.N. Rizayev** — Toshkent temir yo'l muhandislari instituti, «Suv ta'minoti va kanalizatsiya» kafedrasi mudiri, t.f.d.

**A.I. Umarov** — O'zFA M.T. O'razboyev nomidagi MexaniKa va inshootlar seysmik mustahkamligi instituti, suyuqlik va ko'p fazali muhitlar mexanikasi laboratoriya mudiri, f-m.f.d., professor.

O'quv qo'llanmada suyuqlikning fizik xossalari, gidrostatik bosimini aniqlash va ixtiyoriy sirtga ta'sir etuvchi kuchini topish, uzlucksiz va D.Bernulli tenglamalari, yo'qolgan damlar, qo'ndirg'ichlardan suyuqlikning oqib chiqishi, oddiy va murakkab bo'lgan quvurlarni gidravlik hisoblash, gidravlik zarba, o'zan va kanallarda svuning tekis va notejis harakatlari, svu oqib tushirgichlardagi svuning harakatlari, yer osti suvlarining sizilish harakatlari ko'rib chiqilgan.

O'quv qo'llanma oliv o'quv yurtlarining qurilish kulliyotlarida ta'lim olayotgan bakalavrilar uchun mo'ljallangan bo'lib, o'quv rejadagi «Suyuqlik va gaz mexanikasi» fani dasturi asosida tayyorlangan.

U 1603010000 2006  
M361 (04) 2006

ISBN 978-9943-14-019-6

© «Turon-Iqbol», 2006-y.

## SO‘ZBOSHI

Hozirgi vaqtida umumtexnika fanlaridan biri bo‘lgan «Suyuqlik va gaz mexanikasi» (Gidravlika) bo‘yicha yangi alifboda yozilgan va nashr qilingan darsliklar va o‘quv qo‘llanmalar yo‘q desa bo‘ladi. Mualliflar O‘zbekiston Respublikasining Oliy va o‘rta maxsus ta‘lim vazirligi tomonidan tasdiqlangan va amalgal kiritilgan standart asosida bakalavrлarni oliy o‘quv yurtlarining «Qurilish» fakultetida barcha yo‘nalishlar bo‘yicha mutaxassislar tayyorlashda o‘tiladigan fanlardan biri «Suyuqlik va gaz mexanikasi»ning asosiy qonuniyatlarini va unda ko‘rilayotgan masalalarini shu o‘quv qo‘llanmada qisqa va sodda ko‘rinishda tushuntirishga harakat qilganlar.

Mazkur «Amaliy suyuqlik mexanikasi» qo‘llanmasida suyuqliknинг fizik va mexanik xossalari, gidrostatika asoslari, suyuqliknинг uzlusiz va Bernulli tenglamalari, laminar va turbulent harakatlar, suyuqliknинг quvur, kanal va o‘zanlardagi harakatlari, filtratsion oqimlar kabi mavzular bayon qilingan. Nazariy materialni mustahkamlash uchun ko‘plab misol va masalalar yechilishlari bilan berilgan. Mavzuni yanada chuqurroq o‘zlashtirishga yordam beradigan chizmalarni iloji borich ko‘proq berishga harakat qilingan.

O‘ylaymizki, bu o‘quv qo‘llanmadan foydalangan talabalarimiz suyuqliknинг bir turi va tabiatimizning oliy ne’matlaridan biri bo‘lgan suv misolida quvurlarda, ochiq o‘zan kanallarida va g‘ovak muhitlarida qanday harakat qilishi, uning gidrotexnik inshootlariga bosim va kuch bilan ta’sir etishi va ulardan oqib o‘tishi, suv kinетik energiyasini so‘ndirish yo‘llari, sath egri chiziqlarini qurish, qiziqib olgan bilimlarini hayotiy masalalarda qo‘llaydigan bo‘lsalar, biz o‘z murodimizga yetgan bo‘lamiz.

Qo'llanmani yaratishda mualliflar o'zlarining Toshkent temir yo'l muhandislari institutida o'qigan ma'ruzalariga asoslandilar, shuningdek, mavjud adabiyotlardan foydalandilar.

O'quv qo'llanmada mavjud bo'lgan kamchiliklar, shu fanga tegishli bo'lgan fikr-mulohazalarni mualliflar mammuniyat bilan qabul qiladilar va buning uchun oldindan minnatdorchilik bildiradilar.

*Mualliflar*

## KIRISH

Yer sharining uchdan ikki qismini suv tashkil qiladi va o‘zida juda katta zaxira energiyani saqlaydi. Shuning uchun suvdan foydalinish va uni turli sohalarda ishlatalish insoniyat paydo bo‘lishidan boshlangan desak adashmaymiz.

Arxeologik tekshirishlar odamlar juda qadim zamонларданоq qurishni bilganliklarini ko‘rsatadi. Qadimgi Xitoyda, Misrda, Yunonistonda, Rimda, O‘rta Osiyoda va boshqa madaniyati rivojlangan davlatlarda suvda harakat qiladigan transport, to‘g‘onlar, sug‘orish tizimlari buniyod etilganligi to‘g‘risida ma’lumotlar mavjud.

Gidravlikaga oid bizga yetib kelgan birinchi ilmiy ishlar eramizdan oldin 250-yillarda yashagan Arximedga tegishlidir. Ular gidrostatikaga tegishli «Tashqi kuchlar ta’sirida suyuqlikning muvozanat holati», «Suzib yuruvchi jismlar haqida», «Suyuqlik ichiga kiritilgan jismlarning sirtiga ta’sir etayotgan gidrostatik bosim kuchini aniqlash» asarlaridir.

XVI — XVII asrlarda yashagan olimlar G.Galiley («Jismlarning suyuqlikdagi harakati»), E.Torichelli («Suyuqliklarning kichik teshikchadan oqib chiqishi»), B. Paskal («Bosimning suyuqlik orqali uzatilishi»), I. Nyuton («Suyuqlikda ichki ishqalanish qonuni») va boshqalar tomonidan yaratilgan ilmiy ishlar gidravlika (suyuqlik mexanikasi) fani rivojlanishiga asos bo‘la oladi.

Lekin, nazariy tomonidan fanning rivojlanishiga XYII — XYIII asrlarda yashagan matematik-mexanik, Rossiya fanlar akademiyasining akademiklari M.Lomonosov, D.Bernulli, L.Eylerlar katta hissalarini qo‘shganlar. Ular tomonidan yaratilgan nazariya amaliyatda, hayotda qo‘llash murakkab bo‘lganligi sababli o‘sha zamon texnikasi qo‘ygan talabiga javob bera olmas edi.

XVII — XIX asrlarda olimlar Shezi, Venturi, Darsi, Businesk, Veysbax, Reynolds, Gromeka, Jukovskiy va boshqalar tomonidan yaratilgan ilmiy ishlar amaliy suyuqlik mexanikasi fanining asosi bo‘la oladi.

Hozirgi zamon gidravlikasi nazariy tekshirishlarni tajribada sinash, tajriba natijalarini esa nazariy asosda umumlashtirish yo'li bilan taraqqiy etib boruvchi va o'z tekshirishlarida gidromexanikaning usullari hamda yutuqlaridan foydalanib boruvchi fandir. Shu fan rivojiga o'z hissalarini qo'shib kelgan va kelayotgan o'zbekistonlik olimlardan X.A.Raxmatullin, D.F.Fayzullayev, F.B. Abutaliyev, K.Sh. Latipov, A.I.Umarov, S.T. Altunin, A.M. Muhamedov, R.J. Mahmudov va boshqalardir.

Amaliy suyuqlik mexanikasi fanining qonunlari xalq xo'jaligining suyuqlik bilan bog'liq bo'lgan har bir sohasida, suyuqlik bilan ishlaydigan asbob-uskunalar, mexanizmlar va boshqalarda qo'llaniladi.

Umuman olganda, gidravlikani gidrotexnik inshootlar, suv ta'minoti, oqava suvlar, gaz dinamikasi, issiqlik texnikasi, gidromashina va gidroyuritmalar, gidrogeologiya, gidromelioratsiya va suyuqlik bilan bog'liq bo'lgan boshqa fanlar poydevori desak bo'ladi.

## **1-bob. SUYUQLIKNING FIZIK VA MEXANIK XOSSALARI**

Suyuqlikni muvozanat va harakat qonuniyatlarini o'rganuvchi va ular orqali ishlab chiqarilgan uslublarni hayotiy masalalarga qo'llash bilan mashg'ul bo'lgan fan — *gidravlik fani* deyiladi.

Gidravlikaning qonuniyatları asosida barcha gidrotexnik inshootlarni (to‘g‘onlar, kanallar, suv omborlari), quvur orqali harakat qilayotgan suyuqliklar uzatuvchilarini (nasoslar, gidroturbinalar, gidrouzatuvchilar), texnikada qo'llanadigan barcha gidravlik qurilmalarni hisoblash mumkin. Undan tashqari, gidravlikaning qonuniyatları asosida sanitariya texnikasida, xususan, suv ta'minotida, ifloslangan suvni tozalashda, issiqlik va gaz ta'minotida hamda ventilatsiya sohasida turli texnik masalalarni yechish mumkin.

Suyuqlik fizik jism bo'lib, kichik kuch miqdor ta'sirida o'z shaklini yengil o'zgartirishi mumkin. U oquvchan xususiyatga ega, ya'ni suyuqlik zarrachalari o'z holatini tez o'zgartirishi mumkin va shuning uchun suyuqlik solingen idish shaklini qabul qiladi.

Mexanik xossasi bo'yicha suyuqliklar ikki sinfga bo'linadi: *kam siqiluvchan* (tomchisimon) va *sigiluvchan* (gazsimon).

Kam siqiluvchan suyuqliklar kichik miqdorda sferik shaklni qabul qiladi, ko'p miqdorda esa yoyilib ozod sirtga ega bo'ladi. Gazlar bosim ta'sirida kichik hajmga ega bo'lishi, bosim ta'sir etmasa cheksiz kengayib ketishi mumkin.

**Suyuqliklar quyidagi fizik xossalarga ega:**

1. Suyuqlik og'irligining egallagan hajmiga nisbati *solishtirma og'irlik* ( $\gamma$ ) deyiladi:

$$\gamma = \frac{G}{V} \text{ N/m}^3. \quad (1.1)$$

Xalqaro birlik o'lchovi SI tizimida  $\text{N/m}^3$  ga teng. Suv uchun:

$$\gamma = 9810 \text{ N/m}^3.$$

2. Suyuqlik massasining egallagan hajmiga nisbati *zichlik* ( $\rho$ ) deyiladi:

$$\rho = \frac{m}{V}, \text{ (kg/m}^3\text{)}. \quad (1.2)$$

Agar  $G = mg$  ni hisobga olsak,

$$\rho = \frac{G}{gV} = \frac{\gamma}{g}, \quad \text{bundan: } \gamma = \rho g.$$

3. Suyuqlik egallagan hajmning massasiga nisbati *solishtirma hajm* deyiladi:

$$v = \frac{V}{m} = \frac{1}{\rho}, \quad (\text{m}^3 / \text{kg}). \quad (1.3)$$

Suyuqlikning zichligi, solishtirma og‘irligi hamda solishtirma hajmi bosim va harorat o‘zgarishiga bog‘liq, lekin bu o‘zgarishlar tomchi va gazsimon suyuqliklar uchun har xil bo‘ladi.

Tomchisimon suyuqlikning bosim ta’sirida hajmi kamayishi *hajm kamayish koefitsiyenti* bilan tavsiflanadi va u bosimning o‘zgarishi hisobiga hajmning nisbiy o‘zgarishini bildiradi, ya’ni

$$\beta_V = \frac{V_1 - V_2}{V_1(P_2 - P_1)} = \frac{\Delta V}{V \Delta P}, \quad (1.4)$$

bunda:  $V_1$  va  $V_2$  — oldingi va keyingi hajmlar;

$P_1$  va  $P_2$  — oldingi va keyingi bosimlar.

SI tizimida hajm kamayish koefitsiyenti Paskal — minus 1-darajasida o‘lchanadi ( $\text{Pa}^{-1}$ ). Hajm kamayish koefitsiyentiga teskari bo‘lgan miqdor qayishqoqlik (упругость) moduli deyiladi:

$$E = \frac{1}{\beta_v}. \quad (1.5)$$

Hajm kamayish koefitsiyenti tomchi suyuqliklar uchun juda kam o‘zgaradi. Suv uchun  $\beta_v = 0,5 \cdot 10^{-9} \text{ Pa}^{-1}$  va  $E_0 = 2 \cdot 10^{-9} \text{ Pa}$  ga teng.

Hayotda, amaliy hisoblarda bosim ta’sirida hajmni juda kam miqdorida kamayishi nazarga olinmaydi, lekin suyuqlik bosimi yoki tezligi keskin o‘zgarganda, hajm kamayish koefitsiyentini albatta hisobga olish kerak.

Harorat ta’siridan hajmning ortib borishi harorat *hajm ko‘payish* koefitsiyenti bilan tavsiflanadi va u quyidagicha ifodalanadi:

$$\beta_t = \frac{V_2 - V_1}{V_1(t_2 - t_1)} = \frac{\Delta V}{V \Delta t}, \quad (1.6)$$

bunda:  $t_1$  va  $t_2$  — suyuqlikning oldingi va keyingi haroratlari, o‘lchov birligi Selsiy minus 1-darajasi, yoki Kelvin minus 1-darajasiga teng ( $\text{C}^{-1}$ ,  $\text{K}^{-1}$ ).

Harorat hajm ko'payish koeffitsiyenti juda kichik miqdor bo'lgani uchun, amaliyotda hisobga olinmaydi. Misol uchun, suvni 10°C dan 20°C gacha isitganda (0,1 MPa da),  $\beta = 0,00015^{\circ}\text{C}^{-1}$  ga teng.

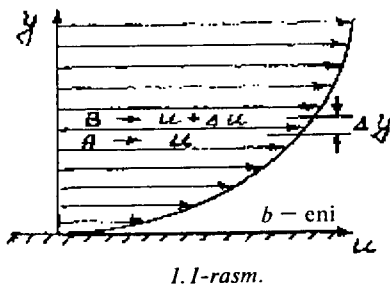
4. Suyuqlikning *yopishqoqligi* deb, zarrachalarning nisbiy harakatga (siljishga) qarshilik ko'rsatishiga aytildi.

Buni ko'rsatish uchun, faraz qilaylik, suyuqlik parallel qatlamlar bilan harakat qilayotgan bo'lsin (1.1-rasm). A qatlam tezligi  $u$  bo'lsa, unda B qatlamning tezligi  $u + \Delta u$  bo'ladi.  $\Delta u$  miqdor B qatlamning A qatlam bo'yicha absolut siljishini bildiradi. Siljish paytida qatlamlar orasida qarshilik kuchi hosil bo'ladi. Agar shu qarshilik kuchining ta'sir etayotgan yuzaga nisbatini olsak, unda urinma kuchlanish yoki qarshilik kuchining kuchlanishi  $\tau$  ni hosil qilamiz.  $\Delta u$  siljishning A va B qatlamlar orasidagi masofa  $\Delta y$  ga nisbati nisbiy siljishni bildiradi. Nyuton aniqlagani bo'yicha urinma kuchlanish nisbiy siljishga to'g'ri mutanosibdir, ya'ni

$$\tau = \mu \frac{\Delta u}{\Delta y}. \quad (1.7)$$

Mutanosiblik koeffitsiyenti  $\mu$  dinamik yopishqoqlik koeffitsiyenti deyiladi. SI tizimida dinamik yopishqoqlik koeffitsiyenti

$$[\mu] = \left[ \frac{\tau}{\Delta u / \Delta y} \right] = \frac{\text{N} \cdot \text{s} \cdot \text{m}}{\text{m}^2 \cdot \text{m}} = \frac{\text{N} \cdot \text{s}}{\text{m}^2} = \text{Pa} \cdot \text{s}$$



kabi aniqlanadi, SGS tizimida esa dinamik yopishqoqlik birligi fransuz shifokori (suyuqliklar yopishqoqligini o'rgangan) Puazeyl nomi bilan aytildi:

$$1P = 1 \frac{\text{dina} \cdot \text{s}}{\text{sm}^2} = 1 \frac{\text{g} \cdot \text{sm} \cdot \text{s}}{\text{sm}^2 \cdot \text{s}^2} = 1 \frac{10^{-3} \text{kg} \cdot 10^{-2} \text{m} \cdot \text{s}}{10^{-4} \text{m}^2 \cdot \text{s}^2} = 1 \cdot 10^{-1} \text{Pa} \cdot \text{s}.$$

Dinamik yopishqoqlik koeffitsiyentning zichlikka nisbatini olsak, unda kinematik yopishqoqlik koeffitsiyentini hosil qilamiz, ya'ni:

$$n = \frac{m}{r} = \frac{s \cdot N \cdot m^3}{m^2 \cdot kg} = \frac{kgm}{m^2 \cdot s^2} \cdot \frac{s \cdot m^3}{kg} = \frac{m^2}{s}.$$

SGS tizimida kinematik yopishqoqlik koeffitsiyenti ingliz fizigi Stoks nomi bilan ataladi:

$$1 \text{ St} = 1 \text{ sm}^2/\text{s} = 1 \cdot 10^{-4} \text{ sm}^2/\text{s}.$$

1 Stoksga nisbatan 100 barobar kichik bo'lgan kinematik yopishqoqlik koefitsiyentni santistoks ( $s\text{St}$ ) deyiladi.

Tomchi suyuqliklarning harorati oshishi bilan yopishqoqligi kamayadi, chunki suyuqlikda bir-biriga yaqin joylashgan molekulalar orasidagi masofa ortadi va shuning hisobiga ular orasidagi tortish kuchlariga bog'liq bo'lgan yopishqoqlik kamayadi.

Gazsimon suyuqliklarda esa harorat oshishi bilan yopishqoqlik ham oshadi, chunki molekulalar orasidagi masofa katta bo'lib, qizdirilgan paytda molekulalar harakati oshadi va ularning bir-biri bilan to'qnashushi ko'payadi. Bu esa yopishqoqlikning oshishiga olib keladi.

5. Gazlar suyuqlikda aralashishi har xil sharoitda har xil bo'ladi va u bosimga bog'liqdir.

Gazning suyuqlikda aralashishi bosimga to'g'ri mutanosibdir, ya'ni

$$\frac{V_g}{V_s} = K \frac{P_2}{P_1}, \quad (1.8)$$

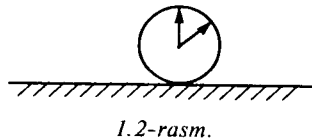
bunda:  $V_g$  — suyuqlikda aralashtiriladigan gazning hajmi;  $V_s$  — suyuqlik hajmi;  $P_1, P_2$  — boshlang'ich va oxirgi bosimlar.

Agar suyuqlikka ta'sir etayotgan bosim kamayib borsa, gaz suyuqlikda aralashishga nisbatan tashqariga tezroq chiqa boshlaydi. Bu hol esa gidravlik mashinalar va gidrotizimlar ishiga juda katta zarar keltirishi mumkin.

6. Suyuqlik qatlam yuzasidan gazga o'tish paytida sirt tortish kuchi paydo bo'ladi. Bu esa suyuqlik molekulalari orasidagi tortish kuchi gaz molekulalariga nisbatan kuchli bo'lgani hisobiga hosil bo'ladi.

Sirt tortish kuchi tomchi suyuqlik hajmiga sferik holatni bermoqchi bo'lib, suyuqlikda ortiqcha bosim hosil qiladi. Lekin, ortiqcha bosim bo'lgan

bosim o'zini kichik hajmga ega bo'lgan suyuqliklarda bildiradi (1.2-rasm) va u sferik hajmda quyidagi ifodadan topiladi:



$$P = \frac{2\sigma}{r}, \quad (1.9)$$

bunda:  $\sigma$  — suyuqlikning sirt taranglik koefitsiyenti,  $\text{N/m}$ ;  $r$  — sferaning radiusi.

Agar suyuqliklar orasidagi molekulalar tortish kuchi qattiq jism (shishali naycha) molekulalariga nisbatan kuchli bo'lsa (misol uchun simob), bosim ta'sirida suyuqlik idishiga tushirilgan shishali naychada ko'tarilgan suyuqlikni

meniski qavariq hosil qiladi. Agar suyuqlik orasidagi tortish kuchiga nisbatan qattiq jism molekulalari orasidagi tortish kuchi kuchli bo'lsa, menisk qobiq bo'ladi (1.3-rasm).

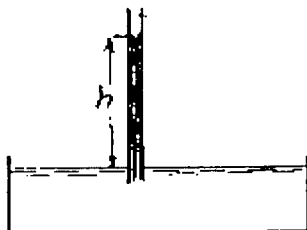
Molekulalalar orasidagi tortish kuchi bilan kapillar ko'tarilishi orasidagi bog'lanishni kichik diametrga ega bo'lgan naychalarda ko'rish mumkin. Naychalarda suyuqlik ko'tarilgan  $h$  balandlik quyidagi ifodadan topiladi:

$$h = \frac{4\sigma}{dy}, \quad (1.10)$$

bunda:  $\sigma$  — sirt taranglik koeffitsiyenti;

$y$  — og'irlilik birligi.

Gidravlikaning bir qancha masalalalarini yechishni soddarroq holga keltirish uchun ideal suyuqlik tushunchasi kiritiladi. Ideal suyuqlik deb shunday xayoliy suyuqlikka aytiladiki, unda zarrachalar absolut qo'zg'ladigan (yopishqoqlikka ega emas), absolut siqlimas bo'lgan va absolut uzilishga qarshilik ko'rsatmaydigan bo'lishi kerak.



1.3-rasm.

## MISOLLAR

1.1-m is o1. Po'lat quvurning diametri  $d = 0,4$  m, uzunligi  $l = 1$  km va uning ichidagi suvning harorati  $t_1 = 10^\circ\text{C}$  da, bosimi  $P = 2 \cdot 10^6$  Pa bo'lsin. Agar harorat  $t = 15^\circ\text{C}$  ga ko'tarilsa, quvur ichidagi suvning bosimi nimaga teng bo'ladi?

Harorat hajm ko'payish koeffitsiyenti  $\beta_t = 155 \cdot 10^{-6} \text{ } ^\circ\text{C}^{-1}$ , hajm kamayish koeffitsiyenti  $\beta_w = 5 \cdot 10^{-10} \text{ Pa}^{-1}$  ga teng.

Y e c h i s h . Harorat o'zgarishi  $\Delta t = t_2 - t_1 = 15 - 10 = 5 \text{ } ^\circ\text{C}$ . Quvurdagi suv hajmi:

$$W = \frac{\pi d^2}{4} l = \frac{3.14 \times 0.4^2}{4} \times 1000 = 125,6 \text{ m}^3.$$

Quvurdagi suvning harorati o'zgarishi hisobiga bosim ortishini quyidagi ifodadan aniqlash mumkin:

$$\beta_w = \frac{\Delta W}{(W + \Delta W) \cdot \Delta P} \quad \text{va} \quad \beta_t = \frac{\Delta W}{W \Delta t} \quad .$$

Bu yerdan  $W = \beta_w(W + \Delta W)\Delta P$ ,  $\Delta W = \beta_t W \Delta t$ . Ifodalarning chap tomonlarini tenglashtirsak,

$$\beta_w(W + \Delta W)\Delta P = \beta_t \Delta t \text{ bo'ldi.}$$

Endi  $\Delta P$  ni topamiz:

$$\begin{aligned}\Delta &= \frac{\beta_t W \Delta t}{\beta_w(W + \Delta W)} = \frac{\beta_t \Delta t}{\beta_w(1 + \frac{\Delta W}{W})} = \frac{\beta_t \Delta t}{\beta_w(1 + \frac{\beta_t W \Delta t}{W})} = \frac{\beta_t \Delta t}{\beta_w(1 + \beta_t \Delta t)} \\ &= \frac{155 \cdot 10^{-6} \cdot 5}{5 \cdot 10^{-10}(1 + 155 \cdot 10^{-6} \cdot 5)} = 155 \cdot 10^4 \text{ Pa.}\end{aligned}$$

Quvurdagi suvning harorati  $\Delta t = 5^\circ\text{C}$  oshganda, bosim  $P_1 = P + \Delta P = 2 \cdot 10 + 1,55 \cdot 10^6 = 3,55 \cdot 10^6 \text{ Pa}$  ga teng.

1.2-misol. Uzunligi  $l = 800 \text{ m}$  va diametri  $d = 400 \text{ mm}$  ga teng bo'lgan quvurni sinashda ichidagi suv bosimini  $P_1 = 8 \text{ atm}$  ga yetkazilgan. Sinash davomida quvurdan suvni oqib ketganligi sababli bosim  $P_2 = 6 \text{ atm}$  ga tushib qolgan. Shu oqib ketgan suv hajmini toping.  $\beta_w = 5 \cdot 10^{-10} \text{ Pa}^{-1}$  teng deb olinadi.

Yechish. Hajmiy kamayish koeffitsiyenti ifodasidan  $\Delta W$  ni topamiz:

$$\begin{aligned}\Delta W &= \beta_w \cdot W \cdot \Delta P = \beta_w \cdot \frac{\pi d^2}{4} \cdot l \cdot (P_1 - P_2) = \\ &= 5 \cdot 10^{-10} \frac{3,14 \cdot 0,4^2}{4} \cdot 800 \cdot (800000 - 600000) = 1,0048 \text{ m}^3.\end{aligned}$$

1.3-misol. Harorati  $t_1 = 10^\circ\text{C}$  va  $t_2 = 80^\circ\text{C}$  ga teng bo'lgan hol uchun diametri  $d = 1 \text{ mm}$  kapillar shishali naychada suvning ko'tarilgan balandligi  $h_1$  va  $h_2$  larni toping.

Yechish. Harorat  $t_1$  va  $t_2$  lar uchun suyuqlik zichligini jadvaldan topamiz:

$$t_1 = 10^\circ\text{C} \text{ uchun } \rho = 998,2 \text{ kg/m}^3,$$

$$t_2 = 80^\circ\text{C} \text{ uchun } \rho = 971,8 \text{ kg/m}^3.$$

Suvning sirt tarangligini topishda  $\sigma = \sigma_0 - \beta \Delta t$  ifodadan foydalilanadi. Bunda  $\sigma_0 = 0,076 \text{ N/m}$  harorat  $t_0 = 0^\circ\text{C}$  ga teng,  $t_1 = 10^\circ\text{C}$  da  $\sigma_1 = \sigma_0 - \beta \Delta t = 0,076 - 0,00015 \cdot 10 = 0,0745 \text{ N/m}$ , kapillar naychada suvning ko'tarilgan balandligini

$h_1 = \frac{2\sigma}{\rho_1 gr}$  dan topamiz, bunda:  $r$  — kapillar shishali naychaning radiusi.

$$h_1 = \frac{2\sigma_1}{\rho_1 gr} = \frac{2 \cdot 0,0745}{998,2 \cdot 9,8 \cdot 0,0005} = \frac{0,149}{4,89} = 0,0307 \text{ m},$$

$$h_2 = \frac{2\sigma_2}{\rho_2 gr} = \frac{2 \cdot 0,064}{971,8 \cdot 9,8 \cdot 0,0005} = \frac{0,128}{4,76} = 0,0269 \text{ m}.$$

## 2-bob. GIDROSTATIKA ASOSLARI

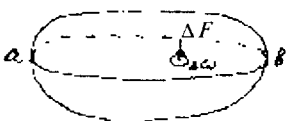
*Gidrostatika* — gidravlikaning bo‘limi bo‘lib, unda tashqi kuchlar ta’sirida suyuqlikning muvozanat qonuniyatlari o‘rganiladi. Bu qonuniyatlarni o‘rganishda ajratilgan suyuqlik hajmiga ta’sir etayotgan kuchlarni ko‘rib chiqish kerak. Bunday kuchlarni ikki sinfga ajratish mumkin:

1. Massali (hajmli) kuchlar ajratgan suyuqlik hajm massasiga mutanosib bo‘lib, har bir hajmdagi zarrachalarga ta’sir etadi. Og’irlilik kuchi, markazdan qo’chma kuch va boshqalar massali kuchlarga misol bo‘laoladi.
2. Sirt kuchlari ajratilgan suyuqlik hajmining tashqi yuzalariga ta’sir etadi va u sirtga to‘g’ri mutanosibdir. Sirt kuchlari ajratilgan suyuqlik hajmining yuzalariga uzlusiz tarqalgan. Porshenning suyuqlik sirtiga ta’sir etayotgan bosimi, idish devorlari tomonidan ichidagi suyuqlikka ta’sir etayotgan bosim, atmosfera bosimining suyuqlik yuzasiga ta’siri va boshqalar sirt kuchlariga misol bo‘laoladi.

Tashqi kuchlar ta’sirida qaralayotgan tinch holatdagi suyuqlik hajmnинг har bir zarrachasida ichki kuchlar hosil bo‘lib, suyuqlik kuchlanish holatda bo‘ladi. Suyuqlik zarrachalari kuchlanish holatda bo‘lishi bosim kuchi bilan tavsiflanadi.

### 2.1-§. GIDROSTATIK BOSIMNI ANIQLASH

Muvozanat holatda bo‘lgan ixtiyoriy suyuqlik hajmini ko‘raylik. Agar shu olingen hajmni ( $ab$ ) tekislik bilan ikki bo‘lakka bo‘lsak va xayolan bir bo‘lagini olib tashlasak, unda qolgan bo‘lak muvozanat holda bo‘lishi uchun, tashlab yuborgan suyuqlik hajmi kuchi bilan ta’sir etish kerak. Ajratilgan elementar yuz  $\Delta\omega$  ga elementar kuch  $\Delta F$  ta’sir etadi. Bu kuch shu elementar yuzning har bir zarrachasiga ta’sir etayotgan



2.1-rasm.

kuchlarning umumiy kuchi bo'ladi (2.1-rasm). Unda umumiy kuchning ta'sir etayotgan  $\Delta\omega$  yuzga nisbati o'rtacha bosimni bildiradi, ya'ni

$$\frac{\Delta F}{\Delta\omega} = P_{o\cdot rt}.$$

Agar ( $ab$ ) kesma gorizontal joylashgan bo'lib suyuqlik sathiga parallel bo'lsa, unda ( $ab$ ) kesmaning ixtiyoriy nuqtasida o'rtacha gidrostatik bosim

bir xil bo'ladi (2.2-rasm). Agar ( $ab$ ) kesma qiya (burchak ostida) joylashgan bo'lsa, unda ( $ab$ ) kesmaning har bir nuqtasida gidrostatik bosim har xil bo'ladi va u suyuqlik sathidan zarracha nuqtaning qancha chuqurlikda joylashganiga bog'liq (2.3-rasm).

Qancha chuqur joylashgan bo'lsa,

shuncha bosim ortib boradi. Shuning uchun, o'rtacha bosim tushunchasidan tashqari nuqtadagi bosim tushunchasi ham kiritiladi.

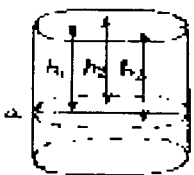
*Nuqtadagi bosim* deb kuchning ta'sir etayotgan yuzi nolga intilganda chegara nisbatiga aytildi, ya'ni

$$P = \lim_{\Delta\omega \rightarrow 0} \frac{\Delta F}{\Delta\omega}. \quad (2.1)$$

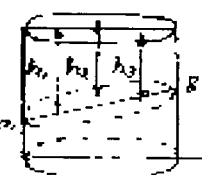
Gidrostatik bosimni noldan yoki atmosfera bosimidan boshlab o'lchash mumkin. Agar bosim noldan o'lchansa, uni *absolut bosim* deyiladi. Agar ixtiyoriy bosimni atmosfera bosimidan boshlab o'lchansa, ortiqcha yoki *manometrik bosim* deyiladi:

$$P_{abs} = P_a + P_{ort}, \quad P_{ort} - P_{abs} = P_a. \quad (2.2)$$

SI tizimida hidrostatik bosim Paskalda (Pa) o'lchanadi. Bu degan so'z  $1 \text{ m}^2$  yuzga  $1 \text{ N}$  kuch ta'sir etadi ( $1 \text{ Pa} = 1 \text{ N/m}^2$ ). Paskal kichik miqdor bo'lgani uchun, unga nisbatan 10, 1000, 1000000 barobar katta bo'lgan o'lchovlar kiritiladi.  $1 \text{ dPa} = 10 \text{ Pa}$ ,  $1 \text{ kPa} = 1000 \text{ Pa}$ ,  $1 \text{ MPa} = 1000000 \text{ Pa}$  ga teng ( $\text{dPa}$  — dekapaskal,  $\text{kPa}$  — kilopaskal,  $\text{MPa}$  — megapaskal).



2.2-rasm.



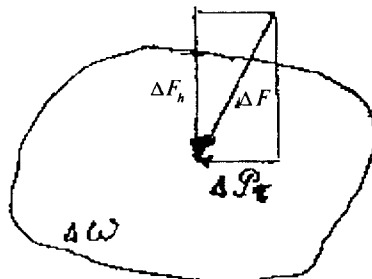
2.3-rasm.

## 2.2-§. GIDROSTATIK BOSIMNING XOSSALARI

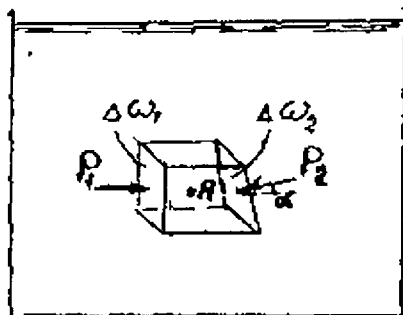
1. Suyuqlik sirtida gidrostatik bosim doim normal bo'yicha ajratilgan suyuqlik ichiga yo'nalган bo'ladi. Buni isbot qilish uchun, gidrostatik bosimning umumiy ta'sir etayotgan kuchi  $\Delta F$  sirtga perpendikular yo'nalmagan bo'lsin deb faraz qilaylik (2.4-rasm). Bu  $\Delta F$  kuchni tashkil etuvchi normal  $\Delta F_n$  va urinma  $\Delta F_t$  larga ajratishimiz mumkii. Agar  $\Delta F_t$  urinma kuch noldan farqli bo'lsa, u holda bu kuch suyuqliknini harakatga keltirar edi. Biz esa suyuqlikka tashqi kuchlar ta'sirida muvozanatligini ko'rishimiz kerak. Demak, gidrostatik bosimning ta'sir etayotgan kuchi faqat normal bo'yicha  $\Delta \omega$  sirtga yo'nalган bo'lishi kerak. Undan tashqari, qaralayotgan suyuqlik tortish kuchlariga qarshilik ko'rsatmagani uchun, bu kuch suyuqlik hajmiga nisbatan tashqi tomonga yo'nalган bo'lishi mumkin emas. Shunday qilib, ta'sir etayotgan kuch faqat normal bo'yicha suyuqlik hajmining ichki tomoniga yo'nalган bo'ladi.

2. Suyuqlikning ixtiyoriy ichki nuqtasida unga ta'sir etayotgan gidrostatik bosim turli yo'nalish bo'yicha bir xil bo'ladi, ya'ni bosim yuzanining burchagiga bog'liq bo'lmaydi.

Buni isbot qilish uchun, A nuqtaning atrofidan mumkin bo'lgan kichik prizmachani ajratamiz va uning yuqori va pastki tomonlari idish devorlariga nisbatan parallel bo'lib, bir tomoni esa  $\angle \alpha$  da bo'lsin. Prizmaning yon tomonlari yuzalari  $\Delta \omega_1$ ,  $\Delta \omega_2$  ga ta'sir etayotgan o'rtacha bosimlari  $P_1$ ,  $P_2$  bo'lsin. Bosimlar 1-xossaga asosan ta'sir etayotgan yuzalarga normal bo'yicha yo'nalgan. Ajratilgan prizma muvozanat holda bo'lishi uchun, unga ta'sir etayotgan kuchlar proeksiyalarining yig'indisi nolga teng bo'lishi kerak. Gorizontal o'qqa kuchlar proeksiyalarini olaylik:



2.4-rasm.



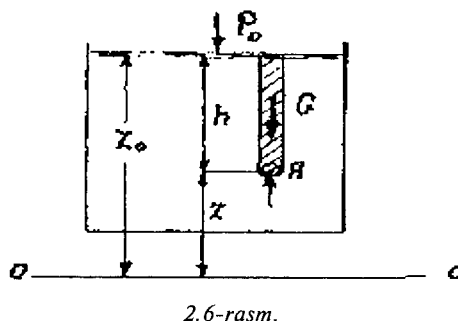
2.5-rasm.

$$P_1 \Delta \omega_1 - P_2 \omega_2 \cdot \cos \alpha = 0, \quad (2.3)$$

bunda:  $\Delta \omega_2 \cdot \cos \alpha = \Delta \omega_1$ . Demak,  $P_1 \omega_1 - P_2 \omega_1 = 0$ , ya'ni  $P_1 - P_2 = 0$ ,  $P_1 = P_2$  bo'ladi. Biz  $\angle \alpha$  ni ixtiyoriy ham qilib olishimiz mumkin. Baribir unda ham bosimlar bir-biriga teng bo'ladi, chunki  $\angle \alpha$  ga bog'liq emas. Prizmani borgan sari kichiklashtirilib borilsa, bosimlar  $P_1$  va  $P_2$  lar  $A$  nuqtaga ta'sir etayotgan bosim bo'lib,  $\angle \alpha$  ga bog'liq emasligini bildiradi.

### 2.3-\$. GIDROSTATIKANING ASOSIY TENGLAMASI

Idishda absolut tinch holatda turgan suyuqlikni ko'raylik. Suyuqlikka faqat bitta massali kuch — og'irlilik kuchi ta'sir etsin. Unda suvning sathi gorizontal sirt bo'ladi va unga  $P_0$  bosim ta'sir etgan bo'lsin. Suv sathidan  $h$  chuqurlikda joylashgan  $A$  nuqtaga ta'sir etgan bosimni aniqlaymiz (2.6-rasm).



2.6-rasm.

Buning uchun,  $A$  nuqta atrofida gorizontal yuzcha  $\omega$  ni ajratamiz va unga nisbatan  $h$  balandlikka ega bo'lgan silindrik hajjni ko'ramiz. Bunda silindrik hajm muvozanat holda bo'lgani uchun, unga ta'sir etayotgan vertikal kuchlar proeksiyalarining yig'indisi nolga teng bo'lishi kerak. Silindrik hajmga ta'sir etayotgan kuchlar:

- 1) yuqoridan pastga  $P_0$  bosimning yuzaga ta'sir etayotgan kuchi  $P_{0\omega}$  va og'irlilik kuchi  $G = \gamma h \omega$ ;
- 2) pastdan yuqoriga gidrostatik bosimning yuzga ta'sir etayotgan kuchi  $P\omega$ .

Demak,

$$P_{0\omega} + \gamma h \omega - P\omega = 0. \quad (2.4)$$

Silindrning yon tomoniga ta'sir etayotgan bosim kuchlari tenglamaga kirmaydi, chunki ular gorizontal yo'nalgan bo'lib, vertikal o'qqa proeksiya bermaydi. (2.4) tenglamani  $\omega$  ga qisqartirib va hadlarni gruppallasak,

$$P = P_0 + \gamma h \quad (2.5)$$

bo'ladi. Bu esa gidrostatikaning asosiy tenglamasi deyiladi. Suyuqlik sathidan  $h$  masofada (chuqurlikda) joylashgan suyuqlik zarrachalari to'plami bir

xil bosimga ega bo'lgan tekislik hosil qiladi. Bir xil bosimga ega bo'lgan tekisliklar quyidagi xossalarga ega:

1) ikkita bir xil bosimga ega bo'lgan tekisliklar bir-birovi bilan kesishmaydi. Haqiqatdan ham, ular kesishganda edi kesishgan chizig'ida ikkita tekisliklar bir xil bosimga ega bo'lar edi, bu esa mumkin emas;

2) massali kuchlarning umumysi bir xil bosimga ega bo'lgan tekislikka normal yo'nalgan bo'ladi.

Suyuqlik solingen sisterna tekis tezlanish bilan gorizontal yo'nalishda harakat qilganda, bir xil bosimga ega bo'lgan tekisliklar gorizontal bo'lmasdan yo'nalish tomonga  $\angle\alpha$  burchak ostida bo'ladi. Bunda suyuqlik nisbiy tinch holatda bo'ladi (2.7-rasm).

Shu suyuqliknini har bir zarrachasiga ikkita massali kuchlar ta'sir etadi: biri og'irlik kuchi  $G = mg$ , ikkinchisi esa inersiya kuchi  $F_{in} = ma$  (tezlanish hisobiga paydo bo'lgan kuch). Umumiy kuch  $R = \sqrt{G^2 + F_{in}^2}$  ga teng hamda gorizontga burchak  $\angle\alpha$  ostida joylashgan bir xil bosimga ega bo'lgan tekislikka perpendikular bo'ladi. Ular orasidagi burchak

$$\operatorname{tg}\alpha = \frac{F_{in}}{G} = \frac{a}{g} \quad (2.6)$$

bo'ladi.

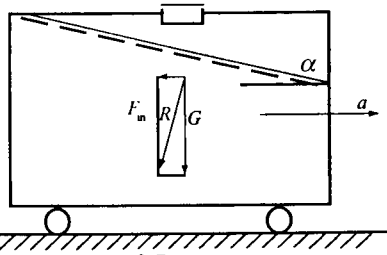
Gidrostatikaning asosiy tenglamasini boshqa ko'rinishda ham ko'rsatish mumkin; agar  $A$  nuqta zarrachaning (2.6-rasm) va suyuqlik sathining taqqoslash tekisligi (0-0) ga nisbatan uzoqligini o'lichesak,  $A$  nuqta taqqoslash tekisligidan  $Z$  masofada, suyuqlik sathi esa  $Z_0$  masofada bo'ladi. Unda  $h = Z_0 - Z_1$ . Tenglama (2.5) da  $h$  o'mriga  $Z_0 - Z$  ni qo'yib,

$$P = P_0 + \gamma(Z_0 - Z) \quad (2.7)$$

va hadlarni  $\gamma$  ga bo'lib, 0 indeksli hadlarni bir tomonda qoldirsak,

$$Z_0 + \frac{P_0}{\gamma} = Z + \frac{P}{\gamma} \quad (2.8)$$

hosil bo'ladi. Bunda:  $Z_0$  — idishdag'i suv sathidagi ixtiyoriy zarrachadan taqqoslash tekisligi (0-0) gacha bo'lgan masofa,  $P_0$  — suyuqlik sathiga ta'sir etayotgan bosim.  $Z_0$  va  $P_0$  o'zgarmas bo'lganlari uchun tenglamaning o'ng



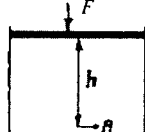
2.7-rasm.

tomoni ham o'zgarmas bo'lishi kerak. Bundan kelib chiqadiki, qaralayotgan butun hajm uchun

$$Z + \frac{P}{\gamma} = \text{const} \quad (2.9)$$

bo'ladi.

2.1-misol. Agar porshenga (diametri  $d = 200$  mm) ta'sir etayotgan kuch  $F = 6,2\text{kN}$  bo'lib, atmosfera bosimi  $P_a = 0,1 \text{ MPa}$  bo'lsa, porshendan  $h = 0,5 \text{ m}$  chuqurlikda joylashgan  $A$  nuqtada absolut va ortiqcha bosimni toping.



2.8-rasm.

Yechish. Suyuqlikka porshen orqali ta'sir etayotgan ortiqcha bosim:

$$P = \frac{F}{\omega} = \frac{F}{\frac{\pi d^2}{4}} = \frac{4 \cdot 6,2 \cdot 10^3}{3,14 \cdot 0,2^2} = 200 \cdot 10^3 \text{ Pa}.$$

$A$  nuqtaga suyuqlik tomonidan ta'sir etayotgan ortiqcha bosim:

$$P_0 = P_p + P_c = 0,2 + 0,005 = 0,205 \text{ MPa}.$$

Umumiy ortiqcha bosim:

$$P_e = \gamma h = \rho gh = 1000 \cdot 9,8 \cdot 0,5 = 4900 \text{ Pa} = 0,005 \text{ MPa};$$

$A$  nuqtadagi absolut bosim ushbuga teng:

$$P_{abs} = P_a + P_0 = 0,1 + 0,205 = 0,305 \text{ MPa}.$$

## 2.4-§. PYEZOMETRIK VA GIDROSTATIK BOSIMLAR

Usti berk va ichida suyuqlik bo'lgan idishni ko'raylik (2.9-rasm). Suyuqliknинг  $A$  nuqtasiga usti ochiq bo'lgan pyezometr o'rnatilgan bo'lsin. Idish ichidagi suyuqlik sathiga atmosfera bosimidan katta bo'lgan  $P_0$  bosim ta'sir etadi. Unda pyezometr bo'yicha ko'tarilgan suyuqlik sathi idishdagiga nisbatan yuqori ko'tarilgan bo'ladi.  $A$  nuqtadagi absolut bosim:

$$P_{abs} = P_a + \gamma h_p. \quad (2.10)$$

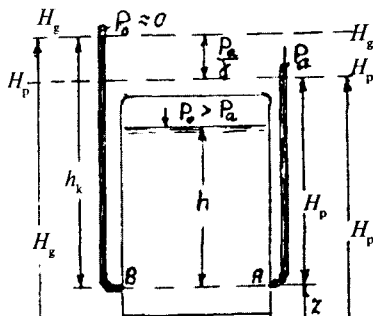
Bunda:  $h_p$  — suyuqliknинг pyezometrdagi ko'tarilgan balandligi. (2.10) ifodadan  $h_p$  ni topamiz:

$$h_p = \frac{P_{abs} - P_a}{\gamma} = \frac{P_{ort}}{\gamma}. \quad (2.11)$$

Berilgan  $A$  yoki  $B$  nuqtadagi absolut bosimni ifodalovchi balandlik *keltirilgan balandlik* deyiladi. Keltirilgan balandlikni usti berk bo'lgan va ichidan havo haydalgan shishali naychada ko'rish mumkin. Bunday naycha usti berk bo'lgan pyezometr deyiladi. Usti berk bo'lgan pyezometr ichidagi suyuqlikka

$P_{abs} = P_0 + \gamma h$  ifodani qo'llasak,

$$P_{abs} = P_0 + \gamma h_k \quad (2.12)$$



2.9-rasm.

bo'ladi. Agar  $P_0 = 0$  bo'lsa, unda  $P_{abs} = \gamma h_k$  va  $h_k = \frac{P_{abs}}{\gamma}$ .

Masalan,  $P_{abs} = P_{atm} = 0,1 \text{ MPa}$  bo'lsa,

$$h = \frac{P_{atm}}{\gamma} = \frac{100000}{9800} = 10,2 \approx 10 \text{ m} \text{ bo'ladi.}$$

Pyezometrik  $h_p$  va geometrik  $Z$  balandliklarning yig'indisi *pyezometrik dam* (напор) ( $H_p$ ) deyiladi:

$$H_p = Z + h_p = Z + \frac{P_{abs} - P_0}{\gamma} = Z + \frac{P_{ort}}{\gamma}. \quad (2.13)$$

Keltirilgan  $h_k$  va geometrik  $Z$  balandliklarning yig'indisi *gidrostatik dam* deyiladi:

$$H_g = Z + h_k = Z + \frac{P_{abs}}{\gamma}. \quad (2.14)$$

Agar (2.13) va (2.14) ifodalarni solishtirsak,

$$H_p = H_g - \frac{P_0}{\gamma} \quad (2.15)$$

ga ega bo'lamiz. Demak, gidrostatik dam pyezometrik damdan atmosfera bosimni balandlik ko'rinishda ifodalanganligi bilan farq qiladi. Agar (2.14) ifodada  $P_{abs} = P_0 + \gamma h$  bilan almashtirsak,

$$H_g = Z + \frac{P_0}{\gamma} + h$$

bo‘ladi. Bunda:  $P_0$  — idishdagi suyuqlik sathiga ta’sir etayotgan o‘zgarmas bosim,  $Z+h$  esa suyuqlikdagi ixtiyoriy nuqta uchun bir xil bo‘lgan qiymat bo‘lib,

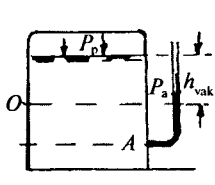
$$H_g = Z + \frac{P_0}{\gamma} + h = \text{const} \quad (2.16)$$

bo‘ladi, ya’ni gidrostatik bosim tinch holatda turgan suyuqliknini har bir zarrachalari uchun bir xil bo‘ladi. Suyuqliknining ixtiyoriy nuqtasiga o‘rnatilgan ustida berk pyezometrda suyuqlik faqat bitta balandlikka ko‘tariladi va u *gidrostatik bosim* tekisligi deyiladi.

Atmosfera bosimi suyuqliknining ixtiyoriy nuqtasiga bog‘liq bo‘lmasani uchun, pyezometrik bosim

$$H_p = Z + \frac{P_{abs}}{\gamma} - \frac{P_a}{\gamma} = \text{const} \quad (2.17)$$

bo‘ladi, ya’ni tinch holatda turgan suyuqliknining ixtiyoriy nuqtasi uchun pyezometrik balandliklari gorizontal tekislikda yotadi va u *pyezometrik bosim tekisligi* deyiladi.



2.10-rasm.

**Vakuum.** Agar idishdagi suyuqlik sathiga atmosferadan kichik bo‘lgan  $P_0$  bosim ta’sir etsa, pyezometrik bosimning tekisligi idishdagi suyuqlik sathiga nisbatan  $h_{vak}$  masofaga past joylashgan bo‘ladi (2.10-rasm). Demak,  $P_{abs}$  bosim atmosfera bosimidan kam bo‘ladi. Atmosfera bosimgacha yetmagan bosimga *vakuum* (bo‘shliq) deyiladi va quyidagicha aniqlanadi:

$$P_{vak} = P_a - P_{abs}. \quad (2.18)$$

$$h_{vak} = \frac{P_{vak}}{\gamma} = \frac{P_a - P_{abs}}{\gamma}. \quad (2.19)$$

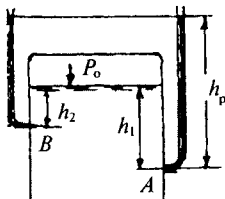
Agar umumiy ko‘rinishdagi  $P_{abs} = P_a + P_{ort}$  ifodani (2.19) ga qo‘ysak,

$$P_{abs} = -P_{ort} \quad (2.20)$$

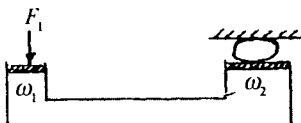
bo‘ladi, ya’ni vakuum degani ortiqcha bosimning manfiy qiymatiga teng.

## 2.5-§. PASKAL QONUNI

Suyuqlikning sirtga ta'sir etayotgan bosimi shu suyuqlikning har bir zarrachasi uchun bir xil bo'lib, har tomon bo'yicha bir xil tarqalgan bo'ladi. Ko'rsatilgan 2.11-rasmida  $P_0$  bosim A va B nuqtalarga ham beriladi. Paskal qonuni asosida gidravlik presslar ishlaydi. Agar kichik silindr ichidagi suyuqlik sirtiga porshen orqali  $F_1$  kuch bilan ta'sir etsak, unda porshenning tagida  $P_1 = \frac{F_1}{\omega_1}$  bosim hosil bo'ladi (2.12-rasm).



2.11-rasm.



2.12-rasm.

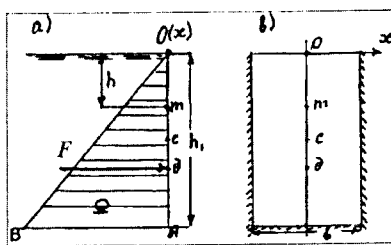
Bu bosim Paskal qonuni bo'yicha suyuqlikning har bir zarrachasiga ta'sir etadi. Demak, bosim  $P_1$  yuzi  $\omega_2$  ga teng bo'lган porshenga ham ta'sir etadi va uning kuchi  $F_2 = P_1 \cdot \omega_2$  ga teng bo'ladi, ya'ni

$$F_2 = \omega_2 \cdot \frac{F_1}{\omega_1} = F_1 \frac{\omega_2}{\omega_1}. \quad (2.22)$$

## 2.6-§. BOSIM KUCHINING TO'G'RI BURCHAKLI TEKIS YUZLARGA TA'SIR ETISHI

Eni  $b$  ga teng, asosi gorizontal bo'lган tekis vertikal shakl OA devoriga ta'sir etayotgan suvning bosim kuchini aniqlaymiz (2.13-rasm).

Vertikal devorni hisoblashda faqat ortiqcha bosimni e'tiborga olish kerak, chunki suyuqlik sirtiga ta'sir etayotgan atmosfera bosimi zarrachalar orqali vertikal devorga chapdan o'ngga ta'sir etadi. O'ngdan chapga devorni o'ziga



2.13-rasm.

ta'sir etayotgan atmosfera bosimi bilan tenglashib yig'indisi nolga teng bo'ladi. Nuqta  $m$  dagi bosimni aniqlaymiz:

$$P = \gamma h.$$

Shu nuqta 0 dan  $A$  gacha o'zgarib borganda, bosim ham o'zgarib boradi. Eng katta bosim  $m = A$  bo'lganda, ya'ni

$$P_A = \gamma h_1 \quad (2.23)$$

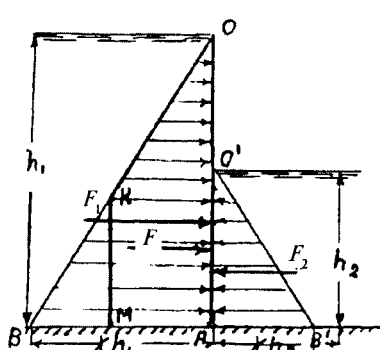
da bo'ladi.  $P_A$  bosimni masshtab bo'yicha  $OA$  ga perpendikular bo'lgan asosda belgilaymiz. Hosil bo'lgan  $B$  nuqtani  $A$  bilan birlashtiramiz. Kelib chiqqan  $OAB$  uchburchak gidrostatik bosimning epyurasi deyiladi. Agar  $OAB$  uchburchak yuzini  $b$  eniga ko'paytirsak, unda to'g'ri burchakli shaklga ta'sir etgan gidrostatik bosim kuchi  $F$  ni hosil qilamiz:

$$F = \Omega \cdot b = \frac{1}{2} h_1^2 \cdot \gamma b. \quad (2.24)$$

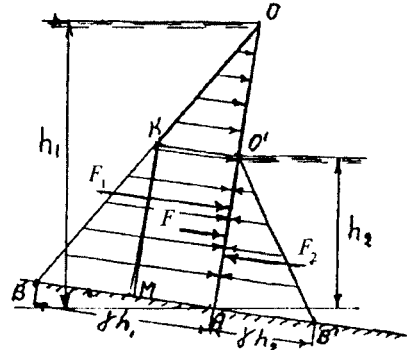
Kuch  $F \perp OA$  va u  $OAB$  gidrostatik bosim epyurasining markazidan o'tadi. Bundan xulosa qilish mumkinki,  $F$  kuchning qo'yilgan nuqtasi to'g'ri burchakli shakl asosidan  $h_2$  masofada joylashgan bo'ladi.

Agar devorga ikki tomondan suyuqlik ta'sir etsa, unda  $OA$  devorning ikki tomoni bo'yicha gidrostatik bosimning epyuralari quriladi (2.14-rasm). Keyin uchburchak  $OAB$  dan  $O'AB'$  uchburchak ayiriladi.

Hosil bo'lgan trapetsiya  $OAMK$  yuzini devor eni  $b$  ga ko'paytirilsa, qidirilayotgan  $P$  kuch kelib chiqadi va u trapetsiyaning markazidan o'tib



2.14-rasm.



2.15-rasm.

devorga perpendikular yo'nalgan bo'ladi. Burchak ostida joylashgan devorda ham qidirilayotgan  $F$  kuch xuddi oldingiga o'xshab topiladi (2.15-rasm).

## 2.7-§. BOSIM KUCHINING SILINDRIK SIRTLARGA TA'SIR ETISHI

Suyuqlikka to'la bo'lgan quvurning kesmasini ko'raylik (2.16-rasm).

Quvurning markazidagi bosimni  $P$  deb belgilaymiz. Unda eng yuqori  $a$

nuqtada bosim  $P - \frac{d}{2}\gamma$ , c nuqtada esa  $P + \frac{d}{2}\gamma$  bo'ladi. Odatta,  $\frac{d}{2}\gamma$  bosim miqdori kichik bo'lgani uchun, uni amalda hisobga olinmaydi.

Bosim  $P$  ta'sirida quvur, masalan,  $AB$  kesma bo'yicha yorilib ketishi mumkin. Yorilmasligi uchun, quvurning devor qalinligi  $e$  ni hisoblashda, biz  $F_x$  bosim kuchini  $abc$  yoki  $adc$  devorga ta'sir etishini bilishimiz kerak. Bu kuch  $ac$  to'g'ri burchakli shaklga ta'sir etayotganga tengligini ko'rsatish mumkin ( $ac$  — yarim silindrik sirtni vertikal tekislikka olingan proyeksiyasidir).

$ac$  to'g'ri burchakli shaklning tomoni quvur diametri bo'yicha olingan kesmani bildirgani uchun, kuch quyidagiga teng:

$$F_x = dlP, \quad (2.25)$$

bunda:  $l$  — quvurning uzunligi;

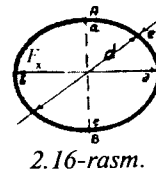
$P$  — quvur ichidagi bosim.

Bu  $F_x$  kuch ko'rilib qidirilayotgan quvurni ikki joydan ( $a$  va  $c$  nuqtalar) uzishga harakat qilmoqchi bo'lgani uchun, quvur devor qalinligi  $e$  ni  $0,5 P_x$  kuch orqali hisoblash kerak.

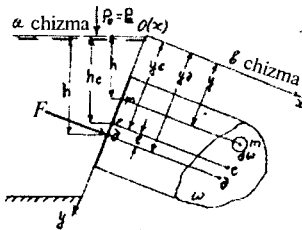
## 2.8-§. IXTIYORIY SHAKLGA EGA BO'LGAN TEKISLIKDAGI FIGURAGA TA'SIR ETAYOTGAN BOSIM KUCHI

Suyuqlik solingen usti ochiq idish berilgan bo'lsin va uning  $OM$  yon tomoni burchak  $\angle\alpha$  ostida bo'lsin (2.17-rasm).

$Ox$  va  $Oy$  koordinata o'qlarini belgilaymiz.  $OMX$  yon tomonida ixtiyoriy figuraga ega bo'lgan yuzani ajratamiz.  $Ox$  o'qni  $90^\circ$  ga bursak ( $Oy$  o'qi atrofida), u holda  $b$  chizmada ixtiyoriy figurali yuz o'z ko'rinishiga ega bo'ladi. Gidrostatikaning 1-xossasiga asosan, gidrostatik bosim ajratilgan yuzga perpendikular yo'nalgan. Bundan xulosa qilish mumkinki, absolut gidrostatik bosimning kuchi ham yuzga perpendikular bo'ladi.



2.16-rasm.



2.17-rasm.

Umumiy absolut bosim kuchi  $F$  va uni suyuqlik sathidan qo'yilgan nuqtasigacha bo'lган masofani topamiz. Buning uchun ixtiyoriy  $m$  nuqtani ko'raylik. Bu  $m$  nuqta suyuqlik sathidan  $h$  chuqurlikda joylashgan bo'lsin. Nuqta  $m$  atrofida elementar yuz  $d\omega$  ajratamiz, unda gidrostatik bosim kuchi:

$$dF = P d\omega \quad (2.26)$$

yoki

$$dF = (P_a + \gamma h) d\omega = P_a d\omega + \gamma h d\omega = P_a d\omega + \gamma y \sin \alpha d\omega. \quad (2.27)$$

(2.27) ifodani butun  $\omega$  bo'yicha integrallasak,

$$F = \int_{\omega} P_a d\omega + \gamma \sin \alpha \int_{\omega} y d\omega, \quad (2.28)$$

bunda:  $\int_{\omega} y d\omega = S_{\alpha} = y_c \omega$  — tekislikdagi figuraning  $Ox$  o'qiga olingan statik momenti;  $y_c$  — tekislikdagi figuraning og'irlik markazi.

Bundan (2.28) ifoda quyidagiga teng:

$$F = P_a \omega + \gamma \omega y_c \sin \alpha. \quad (2.29)$$

$y_c \sin \alpha = h_c$  deb belgilasak, u figuraning og'irlik markazidan suyuqlik sathigacha bo'lган masofadir. Unda:

$$F = P_a \omega + \gamma \omega h_c = (P_a + \gamma h_c) \omega. \quad (2.30)$$

Demak, ixtiyoriy shaklga ega bo'lган tekislikdagi figuraga ta'sir etuvchi gidrostatik bosim kuchi (absolut yoki ortiqcha) figuraning og'irlik markaziga ta'sir etuvchi gidrostatik bosimning  $[(P_a) \text{ yoki } P_c]$  figura yuzasining ko'paytmasiga teng.

Ta'sir etuvchi kuch  $F$  ning figura bilan kesishgan nuqta *bosim kuchi markazi* deyiladi.

Suyuqlik sathidan shu nuqtagacha bo'lган masofani topamiz.

Atmosfera bosimi  $P_a$  ko'rilib yuza bo'yicha tekis tarqalgan bo'ladi. Ortiqcha bosim esa yuz bo'yicha tekis tarqalmagan. Figuraning nuqtasi qancha chuqur joylashgan bo'lsa, bosim shuncha ortib boradi. Shuning uchun figuraga ta'sir etayotgan suyuqliknинг bosim kuchi markaz joylashgan chuqurligiga bog'liq.

*F*bosim kuchining qo'yilgan nuqtasidan suyuqlik sathigacha bo'lgan  $y_d$  masofani topamiz (2.17-rasm). Masofa  $y_d$  ni topish uchun quyidagi shartdan foydalanamiz. Suyuqlikning figuraga ta'sir etayotgan elementar kuchlar yig'indisining momenti umumiy *F* kuchning shu *Ox* o'qiga olingan momentiga teng:

$$\int_{\omega} (Pd\omega)y = Fy_d \quad \text{yoki} \quad \int_{\omega} (\gamma h d\omega)y = (\gamma h_c \omega)y_d,$$

$$\int_{\omega} (\gamma \sin \alpha \cdot y \cdot d\omega)y = (\gamma \sin \alpha \cdot y_c \omega)y_d. \quad (2.31)$$

Bundan:

$$y_d = \frac{\int_{\omega} y^2 d\omega}{y_c \cdot \omega} = \frac{J_{0x}}{S_{0x}} \quad (2.32)$$

bunda:  $\int_{\omega} y^2 d\omega = J_{0x}$  — tekislikdagi figuraning *Ox* o'qiga nisbatan inersiya momenti;

$S_{0x}$  — shu figuraning *Ox* o'qiga nisbatan statik momenti.

Agar figuraning markaziga nisbatan momentlarni qaraydigan bo'lsak, ifoda (2.32) quyidagi ko'rinishga ega bo'ladi:

$$y_d = \frac{J_{0x}}{S_{0x}} = \frac{J_c + y_c^2 \omega}{\omega y_c} = y_c + \frac{J_c}{y_c \omega} \quad (2.33)$$

yoki

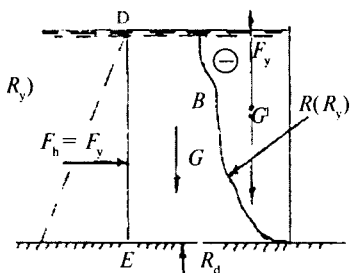
$$y_d = y_c + e, \quad (2.34)$$

bunda:  $e$  — ekssentrisitet;

$J_c$  — inersiya momenti, figuraning shakliga bog'liq.

## 2.9-\$. EGRI CHIZIQLI SIRTGA TA'SIR ETAYOTGAN SUYUQLIKNING GIDROSTATIK BOSIM KUCHI

*C* nuqtadan eni bo'yicha vertikal *CC'* tekislik o'tkazilgan va *xy* koordinata o'qlari ko'rsatilgan bo'lsin. Suyuqlikning egri sirtga ta'sir etayotgan umumiy kuchini aniqlashda oldin uni tashkil etuvchi kuchlar  $F_x$  va  $F_y$  ni topib olamiz. Buning uchun *DE* vertikal tekislik o'tkazamiz (2.28-rasm). Bu tekislik ikkinchi tomondan *ABC* egri sirtni proyeksiyasi ham bo'ladi. *DE*



2.18-rasm.

kuchning tashkil etuvchilarini  $R_x$  va  $R_y$  deb belgilaymiz;

3) chap tomonidan  $DE$  tekislikka  $F_x = F_h$  kuch ta'sir etadi;

4) suyuqlik hajmining og'irlilik kuchi

$$R_D = S_{DECC} \cdot b \cdot \gamma. \quad (2.35)$$

Suyuqlik muvozanat holatda bo'lishi uchun, unga ta'sir etayotgan kuchlarning  $x$  va  $y$  o'qlaridagi proyeksiyalari yig'indisi nolga teng bo'lishi kerak, ya'ni

$$F_x + R_x = 0, \quad F_x = -R_x. \quad (2.37)$$

$$G + F_y - R_D = 0, \quad F_y = R_D - G, \quad R_y = -F_y, \quad (2.38)$$

bo'lgani uchun:

$$F_y = -(R_D - G) \quad (2.39)$$

bo'ladi.

$$F_y = -[S_{DECC} - S_{ABCED}] \cdot \gamma \cdot b \quad \text{yoki} \quad F_y = -[S_{ABCC} \cdot \gamma \cdot b].$$

Bundan quyidagicha xulosa chiqarish mumkin:

1. Qidirilayotgan  $F$  kuchning tashkil etuvchisi  $F_x$  kuchi suyuqlik bosim kuchining vertikal tekislikka ta'sir etganiga teng. Bu tekislik esa egri sirtning vertikal tekislikka proyeksiyasidir.

2.  $F$  kuchning tashkil etuvchi  $F$  kuchi manfiy ishora bilan olingan xayoliy suyuqlik hajmnning  $W_{ABCC}$  og'irligiga teng.

Tashkil etuvchi  $F_x$  va  $F_y$  kuchlar ma'lum bo'lgandan keyin umumiyl  $F$  kuch quyidagi ifodadan topiladi:

$$F = \sqrt{F_x^2 + F_y^2}. \quad (2.40)$$

va  $ABC$  orasida suyuqlik hajmi ajralib qoladi. Bu ajralgan  $ABCDE$  orasidagi hajmga quyidagi kuchlar ta'sir etadi:

1) kanal tagidan suyuqlikka  $R_D$  kuch ta'sir etadi:

$$R_D = S_{DECC} \cdot b \cdot \gamma, \quad (2.35)$$

2) egri sirt tomonidan suyuqlikka reaksiya kuchi  $R$  ta'sir etadi. Bu

2.2-misol. Usti berk bo'lgan idishdagi suv sathiga  $P_0$  bosim ta'sir etayotgan bo'lib, unga ikkita simobli differensial manometrler o'rnatilgan (2.19-rasm). Agar  $h_1 = 120$  mm,  $h_3 = 12$  mm,  $h_4 = 20$  mm bo'lsa, o'rnatilgan pastki manometrdagi simobning pastki sathidan idishdagi suv sathigacha  $h_2$  masofani aniqlang. Suvning og'irlik birligi  $\gamma_1 = 10000 \text{ H/m}^3$ , simobniki  $\gamma_2 = 136000 \text{ H/m}^3$ .

**Yechish.** Misolni yechishda bir xil bosimga ega bo'lgan tekislik I—I va II—II lar uchun gidrostatikaning asosiy tenglamasini yozamiz.

I—I tekislik uchun:

$$P_0 + \gamma_1 h_1 = P_a + \gamma_2 h_3,$$

II—II tekislik uchun:

$$P_0 + \gamma_1 h_2 = P_a + \gamma_2 h_4,$$

bunda:  $P_0$  — idishdagi suv sathiga ta'sir etayotgan bosim;

$P_a$  — atmosfera bosimi.

Tenglamalardan  $P_0$  ni topib tenglashtiramiz:

$$P_a + \gamma_2 h_3 - \gamma_1 h_1 = P_a + \gamma_2 h_4 - \gamma_1 h_2$$

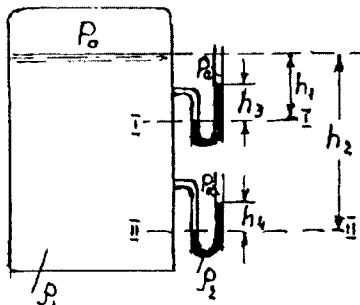
yoki

$$\gamma_2 h_3 - \gamma_1 h_1 = \gamma_2 h_4 - \gamma_1 h_2.$$

Oxirgi ifodadan  $h_2$  ni topamiz.

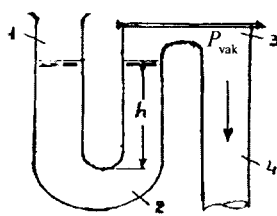
$$h_2 = \frac{\gamma_2 h_4 + \gamma_1 h_1 - \gamma_2 h_3}{\gamma_1} =$$

$$= \frac{136000 \cdot 0,02 + 10000 \cdot 0,12 - 136000 \cdot 0,012}{1000} = 0,229 \text{ m} = 229 \text{ mm.}$$



2.19-rasm.

2.3-misol. Kanalizatsiya tizimidan xonadonga gazlar kirmasligi uchun hojatxonadagi qurilmada sifon (1) mavjud bo'lib, u suvli gidravlik zatvor (tamba) hosil qiladi (2.20-rasm). (Gidravlik tamba deb sifonning suv bilan to'ldirilgan qismiga aytildi.) Sifonni bo'shatish paytida vertikal



2.20-rasm.

(4) quvurda oqava suvning tezligi katta bo'lganligi hisobiga eng yuqori qismida bo'shliq (vakuum)  $P_{\text{vak}} = 0,005 \text{ atm}$  ga teng bo'ladi.

Gidravlik tambadan suv so'rilmasligi uchun uning  $h$  balandligini toping.

Yechish. Ushbu

$$P_{\text{vak}} = P_{\text{atm}} - P_{\text{abs}} = \rho g h_{\text{vak}}$$

ifodadan:

$$h_{\text{vak}} = \frac{P_{\text{vak}}}{\rho g} = \frac{490}{1000 \cdot 9,8} = 0,05 \text{ m.}$$

Demak, sifonda suvli tambo bo'lishi uchun balandlik  $h \geq 50 \text{ mm}$  bo'lishi kerak. Odatda,  $h=70 \text{ mm}$  qabul qilinadi.

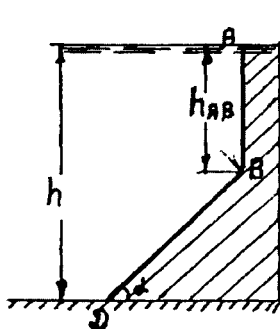
2.4-misol. To'g'onning siniq chiziqli bo'lgan devoriga (2.21-rasm) ta'sir etayotgan ortiqcha gidrostatik bosimning epyurasini quring. To'g'onning vertikal va og'ma devorlarining eni  $b=3,0 \text{ m}$  bo'lgan qismlariga teng ta'sir etuvchi kuchlarni va shu kuchlarning qo'yilgan nuqtalarini aniqlang. Agar vertikal devorning chuqurligi  $h_{AB} = 10 \text{ m}$ ,  $BD$  devorning gorizontga bo'lgan og'ishi  $\angle \alpha = 45^\circ$  ni tashkil qildi.

Umumiy chuqurlik  $h=16 \text{ m}$  ga teng.

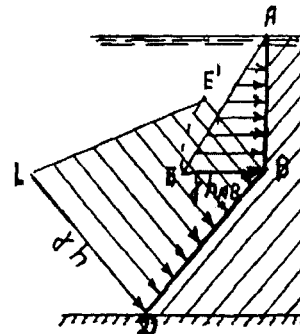
Yechish. Gidrostatik bosim epyurasini qurish uchun  $A$ ,  $B$ ,  $D$  nuqtalardagi ortiqcha bosimlarni topamiz.

$$P_{A \text{ ort}} = 0; P_{B \text{ ort}} = \gamma h_{AB} = \rho g h_{AB} = 1000 \cdot 9,8 \cdot 16 = 98000 \text{ Pa.}$$

$$P_{D \text{ ort}} = \gamma h = \rho g h = 1000 \cdot 9,8 \cdot 10 = 156800 \text{ Pa.}$$



2.21-rasm.



2.22-rasm.

$B$  nuqtadan  $AB$  tekislikga perpendikular o'tkazamiz va unga masshtab bo'yicha  $P_{B\text{on}}$  qiymatini qo'yamiz. Topilgan  $E$  nuqtani  $A$  nuqta bilan birlashtiramiz. Hosil bo'lgan  $ABE$   $AB$  devorga ta'sir etayotgan gidrostatik bosim epyurasini bo'ladi (2.22-rasm).

$BD$  devorga gidrostatik bosim epyurasini qurish uchun  $B$  va  $D$  nuqtalardan devorga nisbatan perpendikular chiqaramiz.  $B$  nuqtadan chiqarilgan o'qqa  $\gamma h_{AB}$  ni,  $D$  nuqtadan esa  $\gamma h$  larni masshtab bo'yicha qo'yamiz.  $L$  va  $E'$  nuqtalarni birlashtiramiz. Hosil bo'lgan  $BDLE'$  trapetsiya  $BD$  devorga ta'sir etayotgan gidrostatik bosim epyurasini bo'ladi.

Endi  $AB$  devorga teng ta'sir etuvchi gidrostatik bosim kuchini quyidagi ifodadan topamiz:

$$\begin{aligned} F_{AB} &= P_{c1} \cdot \omega_{AB} = \rho g h_{c1} \cdot AB \cdot b = \rho g \frac{h_{AB}}{2} \cdot h_{AB} \cdot b = \\ &= 1000 \cdot 9,8 \cdot \frac{10}{2} \cdot 10 \cdot 3 = 1470000 \text{N} \end{aligned}$$

yoki  $F_{AB} = 1470 \text{ kN}$ .

Kuchning suyuqlik sathidan qo'yilgan nuqtasigacha bo'lgan masofa quyidagiga teng:

$$h_{d1} = h_{c1} + \frac{J_{c1}}{\overline{h_{c1} \cdot \omega_{AB}}},$$

bunda:  $J_{c1}$  —  $AB$  tekis figuraning markaz  $C_1$  nuqtaga nisbatan olingan inersiya momenti;

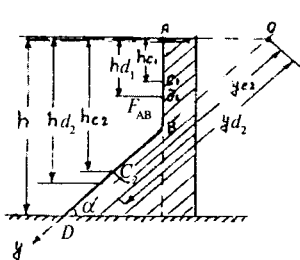
$\omega_{AB}$  —  $AB$  devorning yuzi;

$h_{c1}$  —  $AB$  to'g'ri burchakli devorning suv sathidan markazigacha bo'lgan masofa.

$$h_{d1} = \frac{h_{AB}}{2} + \frac{\frac{12}{h_{AB} \cdot h_{AB} \cdot b}}{2} = \frac{h_{AB}}{2} + \frac{h_{AB}}{6} = \frac{2}{3} h_{AB} = \frac{2}{3} \cdot 10 = 6,67 \text{ m}.$$

$BD$  devorga teng ta'sir etuvchi gidrostatik bosim kuchini topamiz (2.23-rasm).

$$\begin{aligned} F_{BD} &= P_{c2} \cdot \omega_{BD} = \rho g h_{c2} \cdot BD \cdot b = \rho g \left( h - \frac{h - h_{AB}}{2} \right) \cdot \frac{h - h_{AB}}{\sin 45^\circ} \cdot b = \\ &= 1000 \cdot 9,8 \left( 16 - \frac{16 - 10}{2} \right) \cdot \frac{(16 - 10) \cdot 2}{\sqrt{2}} \cdot 3 = 3235960 \text{ N}. \end{aligned}$$



2.23-rasm.

Teng ta'sir etuvchi kuch qo'yilgan nuqtasini umumiy ifoda  $y_d = y_c + \frac{J_c}{y_c \cdot \omega}$  dan topish uchun, biz xayolan  $BD$  chiziqini suv sathi bilan birlashtiramiz va kesishgan nuqtani  $O$  deb belgilaymiz, o'qni esa  $O_y$  o'qi deymiz.

Unda:

$$y_{d2} = y_{c2} + \frac{J_{c2}}{y_{c2} \cdot \omega_{AB}} = \frac{h_{c2}}{\sin \alpha} + \frac{bBD^3}{12h_{c2} \cdot BD \cdot b \sin \alpha}.$$

Bu yerda:

$$h_{c2} = h - \frac{h - h_{AB}}{2} = 16 - \frac{16 - 10}{2} = 13 \text{ m} ;$$

$$BD = \frac{h - h_{AB}}{\sin 45^\circ} = \frac{(16 - 10)2}{\sqrt{2}} = 17 \text{ m} .$$

Demak,

$$y_{d2} = \frac{13}{\sin 45^\circ} + \frac{3 \cdot 17^3}{12 \frac{13}{\sin 45^\circ} 3 \cdot 17} = 18,39 + \frac{289}{220,6} = 19,7 \text{ m} ;$$

$$h_{d2} = y_{d2} \cdot \sin 45^\circ = 19,7 \cdot 0,707 = 13,93 \text{ m} .$$

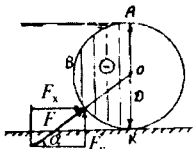
Demak,  $F_{BD}$  teng ta'sir etuvchi kuch suv sathidan  $h_{d2} = 13,93 \text{ m}$  chuqurlikda qo'yilgan bo'ladi.

2.5-misol. Diametri  $D = 2,0 \text{ m}$  bo'lgan yarim silindrik zatvorga gidrostatik bosim kuchi qiymatini va uning yo'nalishini aniqlang. Silindrik zatvorning eni  $b = 1,0 \text{ m}$  (2.24-rasm).

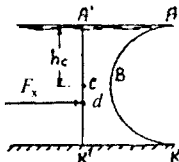
Yechish. Tashkil etuvchi  $F_x$  va  $F_y$  kuchlarni topamiz. Yarim silindrik  $ABK$  sirtni vertikal tekislikga proyeksiyalab olib, shu  $A'K'$  proyeksiya tekisligiga ta'sir etayotgan hidrostatik bosim kuchi  $F_x$  ni topamiz (2.25-rasm):

$$F_x = P_c \cdot \omega_x = \gamma h_c \omega_x$$

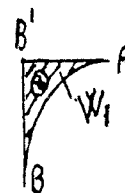
bunda:  $\omega_x$  — yarim silindrik sirtning vertikal tekislikga proyeksiyasining yuzi;



2.24-rasm.



2.25-rasm.



2.26-rasm.

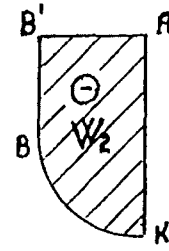
$h_c$  — proyeksiya yuzining markazi.

$$F_x = \rho g \frac{D}{2} \cdot A' K' \cdot b = 1000 \cdot 9,8 \cdot \frac{2}{2} \cdot 2 \cdot 1 = 19600 \text{ N.}$$

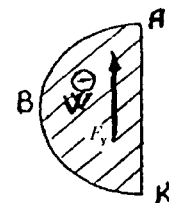
Tashkil etuvchi  $F_y$  kuchni topish uchun jism hajmiy bosimiini topamiz. Buning uchun egri sirtni eng chetki nuqtalari  $A$ ,  $B$ ,  $D$  larni suv sathi bilan birlashtiramiz.  $A$  va  $B$  larni birlashtirganda hosil bo'lgan  $W_1$  jism hajmiy bosimi (ichida suv bo'lsa) musbat bo'ladi (2.26-rasm). Agar  $B$  va  $K$  larni suv sathi bilan birlashtirsak,  $W_2$  jismning hajmi bo'lib (suv ichida yo'q, xayoliy) manfiy ishoraga ega (2.27-rasm). Agar endi musbat va manfiy ishorali jism hajmiy bosimlarni qo'shsak, unda umumiy bo'lgan  $W = W_1 + W_2$  jism hajmiy bosimini topamiz va u manfiy ishorali bo'lib,  $F_y$  kuch yuqori tomon yo'naladi (2.28-rasm).

Endi umumiy teng ta'sir etuvchi kuch  $F$  ni topamiz:

$$F = \sqrt{F_x^2 + F_y^2} = \sqrt{19600^2 + 15386^2} = 24926 \text{ N.}$$



2.27-rasm.



2.28-rasm.

Umumiy  $F$  kuchning yo'nalishi

$$\operatorname{tg} \alpha = -\frac{F_y}{F_x} = -\frac{15386}{19600} = 0,785 \text{ ga teng } (2.24\text{-rasmiga qarang}).$$

### **3-bob. SUYUQLIKNING UZLUKSIZ VA D.BERNULLI TENGLAMALARI**

#### **3.1-§. GIDRODINAMIKA ASOSLARI**

Gidrodinamika — gidravlikaning qismi bo‘lib, unda suyuqlik harakat qonuniyatları va nisbiy harakat qilayotgan suyuqlik bilan qattiq jisrn orasidagi bog‘lanish o‘rganiladi.

Suyuqlik har xil kuchlar (og‘irlilik kuchi, tashqi bosim, inersiya kuchi va boshqalar) ta’sirida harakat qiladi. Harakat qilayotgan suyuqlik qonuniyatlarini o‘rganishda asosan ikki masala ko‘riladi:

1. Tashqi masala: bunda harakat qilayotgan suyuqlik oqimini gidrodinamik tavsiflari berilgan bo‘lib, ta’sir etayotgan tashqi kuchlarni aniqlash kerak.

2. Ichki masala: bunda suyuqlik oqimiga ta’sir etayotgan tashqi kuchlar berilgan bo‘lib, gidrodinamik tavsiflarni aniqlash kerak.

Oqimning gidrodinamik tavsiflariga gidrodinamik bosim ( $P$ ) va suyuqlik zarrachalarining tezligi ( $u$ ) kiradi.

Gidrodinamik bosim — bu harakat qilayotgan suyuqlikning ichki bosimi.

Ko‘rilayotgan zarrachaning harakat tezligi deb, shu nuqtadagi zarrachaning fazodagi harakat o‘zgarish tezligiga aytildi.

Suyuqlikning harakati barqaror va beqaror bo‘lishi mumkin. Agar suyuqlikning tezligi va bosimi suyuqlik bilan egallagan fazoni ng ixtiyoriy nuqtasida vaqtga nisbatan bog‘liq bo‘limgan bo‘lib, faqat zarrachalarning koordinatalariga bog‘liq, ya’ni

$$P = f(x, y, z), \quad u = f(x, y, z) \quad (3.1)$$

bo‘lsa, suyuqlik barqaror harakatda bo‘ladi.

Barqaror harakatga suyuqlikning quvurdagi tekis harakati, bir xil bosim ta’sirida idish teshikchasidan oqib chiqayotgan suyuqlik va boshqalar misol bo‘la oladi. Agar suyuqlik harakati zarrachalarining koordinatalari  $x, y, z$  dan tashqari vaqtga ham bog‘liq, ya’ni

$$P = f(x, y, z, t), \quad u = f(x, y, z, t) \quad (3.2)$$

bo‘lsa, bunday harakat beqaror deyiladi.

Beqaror harakatga porshenli nasos ta’sirida quvurdagi harakat qilayotgan suyuqlik, idish teshikchasidan oqib chiqayotgan suyuqlik va boshqalar misol bo‘la oladi.

Suyuqlik harakat qonuniyatlari o'rganishda quyidagi tushunchalar kiritiladi: trayektoriya, tok chizig'i va elementar oqimcha.

Trayektoriya deb,  $t$  vaqt ichida suyuqlik zarrachasining qoldirgan iziga aytildi. Tok chizig'i deb, harakat qilayotgan suyuqlikdagi shu nday chiziqla aytildi, shu chiziqdagi yotgan barcha nuqtalarga (zarrachalarga) o'tkazilgan urinmalar yo'naliishi o'sha nuqtalarda yotgan zarrachalarning vaqtga nisbatan yo'naliish oniy tezligini bildiradi (3.1-rasm).

Trayektoriya va tok chizig'ini bir-biridan ajrata bilish kerak. Bu chiziqlar faqat o'zgarmas harakat paytida bir-biri bilan ustma-ust tushadi. Beqaror harakat paytida esa tok chizig'i va trayektoriya bir-biri bilan ustma-ust tushmaydi. Bunga idishdagi suyuqlikniki teshikchadan chiqib keta yotganligi misol bo'la oladi (3.2-rasm). Idishdagi suv balandligi o'zgarishi hisobiga teshikchadan chiqib ketayotgan zarrachalar oqimining trayektoriyasi va tok chizig'i o'zgarib boradi. Tok chizig'i va trayektoriyalar vaqtga bog'tiq bo'lib, har xil chiziqlarga ega bo'ladi va bir-biri bilan ustma-ust tushmaydi.

Agar harakat qilayotgan suyuqlikda mumkin bo'lgan kichik yopiq kontur olsak va uning har bir nuqtalaridan tok chizig'ini o'tkazsak, unda quvurchaga o'xshagan sirt hosil bo'lib, uni tok quvurchasi deyiladi. Undagi harakat qilayotgan suyuqlikniki *elementar oqimcha* deb nomlanadi (3.3-rasm).

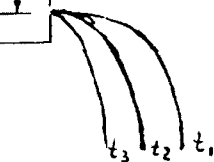
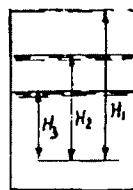
**Elementar oqimcha** quyidagi xossalarga ega:

- 1) elementar oqimcha barqaror harakat qilgan paytida o'zini fazodagi shakli va oriyentatsiyasini o'zgartirmaydi;
- 2) tashqaridan bitta ham zarracha elementar oqimchaning ichiga kirolmaydi va tashqariga tok quvurchasidan chiqolmaydi, ya'ni tok quvurchasi bo'ylab harakat qilayotgan zarrachalarning tezligi urinma bo'yicha yo'nalgan, normal bo'yicha tashkil etuvchi zarrachalarning tezligi esa nolga teng (yo'q bo'ladi).

Elementar oqimchalar to'plamining yuzasi katta bo'lgan kesmadan o'tishiga *oqim suyuqligi* deyiladi. Suyuqlik oqim harakatini uch xil guruhga bo'lish mumkin: damli, damsiz, oqimli.



3.1-rasm.



3.2-rasm.



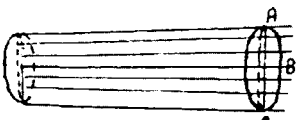
3.3-rasm.

Damli oqim har tomonlama qattiq devorlar bilan chegaralangan bo'ladı. Bunga bosim ta'sirida quvurdagi suyuqlik harakati misol bo'la oladi.

Damsiz harakatda oqim ozod sathi bilan suyuqlik og'irligi ta'sirida harakat qiladi.

Oqim har tomonlama suyuqlik yoki gazsimon modda bilan o'rالgan. Bu holda suyuqlik inersiya yoki oldingi tezlik bo'yicha harakat qi ladi.

Oqim kesma o'lchovini va shaklini tavsiflash uchun oqimning gidravlik elementlari tushunchasi kiritiladi. Ularga jonli kesma, namlangan perimet, gidravlik radiusi va ekvivalent diametri kirdi.



3.4-rasm.

*Jonli kesma* deb tok chiziqlariga nisbatan perpendikular oqim kesmasiga aytildi. Umumiy holda jonli kesma egri bo'lgan sirt ko'rinishiga ega. Masalan, suyuqlik konik kengaygan quvurda harakat qilayotgan paytda jonli kesma egri bo'lgan ABC sirt bo'ladı (3.4-rasm).

Agar tarqalgan tok chiziqlar orasidagi burchaklar egriligi juda kichik bo'lsa, unda oqimning markazi bo'yicha o'tgan tok chizig'iga o'tkazilgan perpendikular sirtning yuzi jonli kesma deb olish mumkin. Jonli kesma yuzi bilan belgilanadi. Kanal yoki quvurda oqayotgan oqimni kesma bo'yicha devorning namlangan qismi *namlangan perimet* deyiladi va  $\chi$  harfi bilan belgilanadi.

Quvur yoki kanal jonli kesmasining namlangan perimet rga nisbati *gidravlik radius* deyiladi:

$$R = \frac{\omega}{\chi}.$$

Uylar va korxonalarini isitishda va ventilatsiya bo'yicha hisoblashda ko'pincha *ekvivalent diametr* tushuncha kiritiladi.

Ekvivalent diametr to'rtta gidravlik radiusiga teng, ya'ni

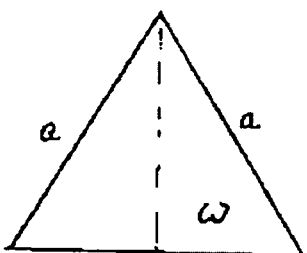
$$d_e = 4R = \frac{4\omega}{\chi}.$$

Masalan, tomoni  $a$  ga teng bo'lgan teng tomonli uchburchak (3.5-rasm) quvur uchun:

$$\text{jonli kesma yuzi: } \omega = \frac{\sqrt{3}}{4} a^2;$$

namlangan perimet:  $\chi = 3a$ ;

$$\text{gidravlik radius: } R = \frac{\omega}{\chi} = \frac{a}{4\sqrt{3}};$$



3.5-rasm.

$$\text{ekvivalent diametr: } d_e = \frac{a}{\sqrt{3}}.$$

Agar suyuqlik barqaror harakat qilib olingan oqim bo'yicha ixtiyoriy kesrnalar nuqtalarida jonli kesma va tezliklar bir xil bo'lsa, bunday harakat *barqaror tekis oqimli harakat* deyiladi. Agar suyuqlik harakati bo'yicha uning jonli kesma shakli o'zgarsa yoki jonli kesma o'zgarmasdan tezliklar har xil kesmalarda tarqalishi har xil bo'lsa, bunday harakat *barqaror notebris harakat* deyiladi. Notebris harakat ko'rيلayotgan paytda *silliq o'zgaruvchan harakat* tushunchasi kiritiladi. Silliq o'zgaruvchan suyuqlikning hara kati deb shunday harakatga aytildiki, unda tok chiziqlarning egriligi va ular orasidagi burchak tafovuti hisobga olinmaydi. Bunda jonli kesma tekis yuzga ega deb, u oqim o'qiga normal bo'ladi. Suyuqlikning silliq o'zgaruvchan harakatida kesma bo'yicha olingan gidrodinamik bosim gidrostatikaning asosiy tenglamasiga bo'ysunadi.

### 3.2-§. SUYUQLIK OQIMINING UZLUKSIZ TENGLAMASI

Oqimning jonli kesma bo'yicha birlik vaqt ichida o'tgan suyuqlik miqdoriga *suyuqlik sarfi* deyiladi. Bu miqdorni vaqtga nisbatan birlik hajmida ( $\text{m}^3/\text{s}$ ), massasida ( $\text{kg}/\text{s}$ ), og'irligida ( $\text{kN}/\text{s}$ ) o'lchash mumkin. Shuning uchun, sarflar hajmiy, og'irlilikli, massali bo'llishi mumkin. Sarflar orasidagi bog'lanishlar:

$$Q = \frac{W}{t} = \frac{G}{\gamma t} = \frac{Mg}{\rho gt} = \frac{M}{\rho t}, \quad (3.5)$$

bunda:  $\gamma$  — og'irlilik birligi,

$\rho$  — suyuqlik zichligi.

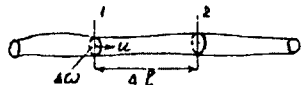
Arnalda ko'proq qo'llanadigan birlik — bu hajmiy suyuqlik sarfidir ( $\text{m}^3/\text{s}$ ,  $\text{m}^3/\text{soat}$ ,  $1/\text{min}$ ,  $1/\text{s}$ ).

Cheksiz kichik yuzga ega bo'lgan va tezligi  $u$  bo'lgan elementar oqimchani ko'raylik.  $\Delta t$  vaqt ichida suyuqlik zarrachalari 1 kesmadan o'tib

$\Delta l$  m asofaga siljiydi. Shunda:  $\Delta l = u\Delta t$ .

Zarrachalalar o'rnini boshqa — ulardan keyingi suyuqlik zarrachalari egallab,  $\Delta t$  vaqt ichida 1 kesmadan  $\Delta W$  hajm o'tadi, ya'ni

$$\Delta W = \Delta\omega \cdot \Delta l. \quad (3.6)$$



3.6-rasm.

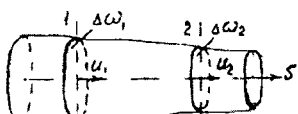
(3.6) ni  $\Delta t$  ga bo'lsak,

$$\Delta Q = \frac{\Delta W}{\Delta t} = \Delta \omega \cdot u \quad (3.7)$$

hajmiy suyuqlik sarfi kelib chiqadi.

Endi elementar oqimchaning ikkita kesmasini ko'raylik (3.7-rasm).

Shu kemsalar yuzcha  $\Delta\omega_1$ ,  $\Delta\omega_2$  lardagi zarrachalar tezliklarini  $u_1$  va  $u_2$  desa k, unda



3.7-rasm.

$$\Delta Q_1 = u_1 \Delta \omega_1, \quad \Delta Q_2 = u_2 \Delta \omega_2. \quad (3.8)$$

Faraz qilaylik, elementar oqi mchaning harakatida bo'shlqlar hosil bo'lishi mumkin emas, ya'ni zarrachalar harakati u zluktsizdir.

Unda suyuqlik harakati va hajmi hamda elementar oqimchaning vaqtga nisbatan shakli o'zgarmasligi, yon tomondan ortiqcha suyuqlik hajmi qo'shilishi yoki ayirilishi mumkin emasligidan xulosa qilish mumkinki,  $\Delta Q_1 = \Delta Q_2$ . Ixtiyoriy kemsalar uchun:

$$\Delta Q_1 = \Delta Q_2 = \Delta Q_3 = \dots = \Delta Q_n = \text{const}, \quad (3.9)$$

$$u_1 \Delta \omega_1 = u_2 \Delta \omega_2 = u_3 \Delta \omega_3 = \dots = u_n \Delta \omega_n = \text{const}. \quad (3.10)$$

Hosil bo'lган tenglama elementar suyuqliknинг узлуксиз төнгламасидир. Endi bu tenglamani oqim uchun chiqaramiz. Oqim elementar suyuqliklar to'plamidan — yig'indisidan tashkil topgan bo'lib, uning butun umumiy kesmasini egallagan. Unda oqim uchun suyuqlik sarfi quyidagiga teng:

$$Q = \sum \Delta Q_i = \sum u_i \Delta \omega_i \quad (i = 1, 2, 3, \dots, n). \quad (3.11)$$

Oqimda olingan ixtiyoriy kesmada zarrachalar tezligi har xil bo'lгани sababli, suyuqlik sarfini hisoblash ancha qiyinchiliklarga olib keladi, chunki biz shu kesmada har bir oqimchaning tezligi  $u_i$  va yuzcha  $\Delta\omega_i$  rabi bilishimiz kerak. Masalani soddallashtirish uchun, shu ko'rilib, uning butun umumiy olinadigan xayoliy o'ttacha tezlik v tushunchasi kiritiladi. Buriday o'ttacha tezlik deb kesmadan o'tayotgan hajmiy suyuqlik sarfi  $Q$  shu kesmadan haqiqiy oqimchalar tezliklari bilan o'tgan hajmiy sarfiga teng bo'ladi. Demak,

$$Q = \sum u_i \Delta \omega_i = v \cdot \omega, \quad (3.12)$$

bundan

$$v = \frac{\sum u_i \Delta \omega_i}{\omega}, \quad (3.13)$$

ya'ni ko'rيلayotgan kesmada suyuqlik sarfi shu kesma uchun olingan o'rtacha tezlikning umumiy jonli yuzga ko'paytmasiga teng. Agar endi oqim harakatida ixtiyoriy ikkita kesma olsak va shu kesmalardan elementar oqimchalar yig'indisi o'tayotgan bo'lsa, unda suyuqlik sarfi:

$$Q = \sum \Delta Q_{1i} = \sum \Delta Q_{2i} \quad (i = 1, 2, 3, \dots \text{ oqimchalar soni}); \quad (3.14)$$

$$\sum u_{1i} \cdot \Delta \omega_{1i} = \sum u_{2i} \cdot \Delta \omega_{2i}. \quad (3.15)$$

Kesmalar uchun o'rtacha tezliklar kirmsak, oqim uchun yozilgan uzluksizlik tenglamasi quyidagicha bo'ladi:

$$Q_1 = Q_2 = \text{const}; \quad (3.16)$$

$$v_1 \omega_1 = v_2 \omega_2 = \text{const}. \quad (3.17)$$

Ixtiyoriy kesmalar uchun:

$$Q_1 = Q_2 = Q_3 = \dots = Q_n = \text{const}; \quad (3.18)$$

$$v_1 \omega_1 = v_2 \omega_2 = v_3 \omega_3 = \dots = v_n \omega_n = \text{const}. \quad (3.19)$$

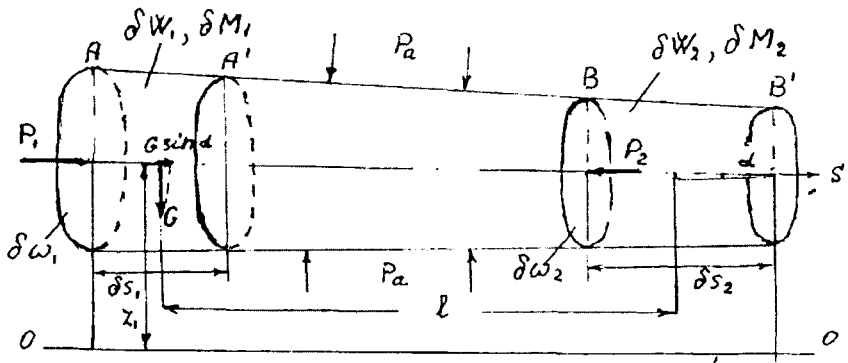
Bu tenglamadan ko'rindikli,

$$\frac{v_1}{v_2} = \frac{\omega_2}{\omega_1}, \quad (3.20)$$

ya'ni oqimda ko'rيلayotgan ikkita har xil kesmalarda tezliklarning nisbati yuzlarga teskari mutanosibdir.

### 3.3-§. D.BERNULLI TENGLAMASI

Oldin D. Bernulli tenglamasini elementar oqimcha uchun keltirib chiqaramiz. Buning uchun mexanika kursida ma'lum bo'lgan kinetik energiyaning o'zgarish haqidagi teoremani qo'llaymiz. Ko'rيلayotgan suyuqli kning yo'nalishi bo'yicha o'zgargan kinetik energiyasi shu yo'nalish bo'yicha ta'sir etayotgan tashqi kuchlar ishlaringning yig'indisiga teng. *AB*



3.8-rasm.

kesma orasidagi suyuqlikni  $\Delta t$  vaqt ichida  $\Delta l$  ga siljiganda kinetik enerqiyaning o'zgarishi (3.8-rasm) quyidagicha bo'ladi:

$$\begin{aligned}\delta(KE) &= (KE)(A'B') - (KE)(AB) = [(KE)(A'B') + \\ &+ (KE)(BB') - (KE)(AA') + (KE)(A'B)] \cdot \\ &\cdot (KE)(BB') - (KE)(AA') \\ \delta(KE) &= \frac{u_2^2 \delta M}{2} - \frac{u_1^2 \delta M}{2}. \end{aligned}\quad (3.21)$$

Agar  $\delta M = \frac{\gamma}{g} \delta W$  desak,  $\delta M_1 = \delta M_2 = \delta M$ ;  $\delta W_1 = \delta W_2 = \delta W$  bo'lib

$$\delta(KE) = \left( \frac{u_2^2}{2g} - \frac{u_1^2}{2g} \right) \gamma \delta W \quad (3.22)$$

bo'ladi.

Endi suyuqlikka ta'sir etayotgan kuchlar  $\delta t$  vaqt ichida bajargan ishlarini topamiz.

1)  $P_1$  bosim kuchining bajargan ishi:

$$A_1 = P_1 \cdot \delta \omega_1 \delta s_1; \quad (3.23)$$

2)  $P_2$  bosim kuchining bajargan ishi:

$$A_2 = P_2 \cdot \delta\omega_2 \delta s_2; \quad (3.24)$$

3) ajratilgan suyuqlikka tashqi tomondan ta'sir etayotgan bosimning kuchi oqimchaning yo'nalishi tomoniga perpendikular bo'lgani uchun hech qanday ish bajarmaydi, chunki uning proyeksiyasi nolga teng;

4) ajratilgan suyuqlikning og'irligi bajargan ish:

$$G \sin \alpha \cdot l = \gamma \delta W \cdot \sin \alpha = \gamma \delta W l \cdot \frac{z_1 - z_2}{l} = \gamma \delta W (z_1 - z_2). \quad (3.25)$$

Endi kuchlar  $\delta t$  vaqt ichida bajargan ishlarni kinetik energiya o'zgarishiga tenglashtiramiz:

$$\left( \frac{u_2^2}{2g} - \frac{u_1^2}{2g} \right) \cdot \gamma \delta W = P_1 \delta \omega_1 \delta s_1 - P_2 \delta \omega_2 \delta s_2 + \gamma \delta W (z_2 - z_1). \quad (3.26)$$

Agar endi (3.26) ni  $\gamma \delta W$  ga bo'lsak va indeksi 1 bo'lgan hadlarni chapga o'tkazib, indeksi 2 bo'lganlarni o'ngga o'tkazsak, ushbuga ega bo'lamiz:

$$-\left( z_1 + \frac{P_1}{\gamma} + \frac{u_1^2}{2g} \right) = -\left( z_2 + \frac{P_2}{\gamma} + \frac{u_2^2}{2g} \right) \cdot (-1) \quad (3.27)$$

yoki

$$z_1 + \frac{P_1}{\gamma} + \frac{u_1^2}{2g} = z_2 + \frac{P_2}{\gamma} + \frac{u_2^2}{2g}. \quad (3.28)$$

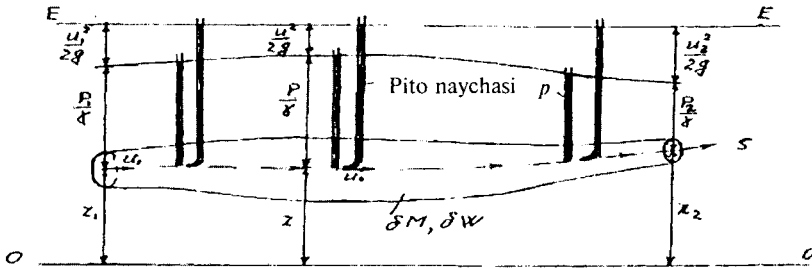
Olingan kasmalar ixtiyoriy bo'lgani uchun (3.28) ifodani quyidagicha yozish mumkin:

$$z + \frac{P}{\gamma} + \frac{u^2}{2g} = \text{const}. \quad (3.29)$$

### **3.4-§. O'ZGARMAS HARAKAT QILAYOTGAN BENUQSON (IDEAL SUYUQLIK UCHUN D.BERNULLI TENGLAMASINING GEOMETRIK SHARHLOVI**

Geometrik nuqtayi nazar bo'yicha D.Bernulli tenglamasi (3.28) dagi hadlar 3.9-rasmda ko'rsatilgan bo'lib, ular quyidagicha aytildi:

1)  $z$  — taqqoslash tekisligi (0—0) dan ko'rيلайотган kesmaning markazigacha bo'lgan masofa, geometrik balandligi;



3.9-rasm.

- 2)  $\frac{P}{\gamma}$  — ko'rileyotgan kesmaning markazidan pyezometrda ko'tarilgan suyuqlikning sathigacha bo'lган masofa, pyezometr balandligi;
- 3)  $\frac{u^2}{2g}$  — tezlik dami bo'lib, uni Pito naychasi orqali aniqlashı mumkin;
- 4)  $z + \frac{P}{\gamma}$  — ko'rileyotgan kesmada harakat qilayotgan suyuqlikning pyezometrik dami;
- 5)  $z + \frac{P}{\gamma} + \frac{u^2}{2g}$  — ko'rileyotgan kesmada harakat qilayotgan suyuqlikning to'la dami.

Pito naychasida pyezometrning pastki qismi  $90^\circ$  burchak ostida egilgan bo'lib, uchi silliq toraygan bo'ladi (3.9-rasm). U bilan harakat qilayotgan suyuqlikning ixtiyoriy kesmadagi nuqtasining zarracha tezligini aniqlash mumkin. Buning uchun Pito naychasi uchini suyuqlik ichiga kiritib, topmoqchi bo'lган ixtiyoriy kesmadagi nuqtaga o'rnataladi. Shu nuqtada suyuqlik zarrachasining bosimi va tezligi hisobiga Pito naychasida ko'tarilgan suyuqlik sathi to'g'ri pyezometrdagiga nisbatan  $\frac{u^2}{2g}$  ga baland roq bo'ladi.

Agar o'sha balandlikni  $h$  deb belgilasak,  $h = \frac{u^2}{2g}$  bo'ladi. Bundan tezlik  $u$  ni topamiz:

$$u = \sqrt{2gh}. \quad (3.30)$$

Bu ifoda suyuqlik zarrachasining aniq tezligini bermaydi, chunki Pito naychasi suyuqlikka kiritish natijasida ortiqcha qarshilik hosil bo'ladi. Shuning uchun zarrachaning haqiqiy tezligini aniqlashda tezlik ifodasiga koeffitsiyent  $K$  (tajribadan topilgan tuzatish koeffitsiyenti) kiritiladi, ya'ni

$$u = K \sqrt{2gh} . \quad (3.31)$$

Taqqoslash tekisligidan  $z$  masofada joylashgan oqimning o'qi bo'yicha yotgan nuqtalarga pyezometrlar o'rnatilgan bo'lsin. Shu pyezometrlardagi ko'tarilgan suyuqlik sathlarini chiziq bilan birlashtirsak, pyezometr chizig'i hosil bo'ladi. Agar endi suyuqliknинг o'qi bo'yicha yotgan nuqtalarga Pito naychalarini o'rnatib, ulardagи suyuqliklar sathini chiziq bilan birlashtirsak, to'la dam chizig'ini hosil qilamiz. To'la dam chizig'i va pyezometr chiziqlar orasidagi masofa oqim bo'yicha o'zgarayotgan tezlik damini bildiradi.

### **3.5-\$. BENUQSON ELEMENTAR OQIM UCHIUN D. BERNULLI TENGLAMASINING ENERGETIK SHARHLOVI**

3.9-rasmda elementar suyuqlik massasi  $\delta M$  ga teng bo'lib,  $s$  yo'naliш bo'yicha harakatda bo'lsin. Shu suyuqliknинг ixtiyoriy kesma uchun to'la energiyasini topamiz. To'la energiya suyuqliknинг potensial va kinetik energiyalarining yig'indisiga teng.

0—0 taqqoslash tekisligiga nisbatan potensial energiya suyuqlik og'irligini geometrik  $z$  va pyezometrdagi ko'tarilgan balandlik  $\frac{P}{\gamma}$  bilan yig'indisiga ko'paytirilganiga teng:

$$\gamma \delta W \left( z + \frac{P}{\gamma} \right) = g \delta M \left( z + \frac{P}{\gamma} \right). \quad (3.32)$$

Xuddi shunga o'xshash, suyuqliknинг ixtiyoriy kesmasi uchun (3.32) ifodani yozish mumkin.

Elementar oqim uchun ko'rيلayotgan kesmadagi kinetik energiya:

$$\frac{\delta M u^2}{2} \quad (3.33)$$

ga teng.

Suyuqliknинг kesmadagi to'la energiyasi:

$$\delta E = g \delta M \left( z + \frac{P}{\gamma} \right) + \delta M \frac{u^2}{2}. \quad (3.34)$$

Agar (3.34) ifodaning birinchi hadini suyuqlik og'irligi  $g \delta M$  ga bo'lsak, unda biz kesmadagi solishtirma potensial energiyani, ikkinchi hadga bo'lsak, solishtirma kinetik energiyani hosil qilamiz.

Demak, harakat qilayotgan suyuqlikning ixtiyoriy kesmadagi olingen to'la solishtirma energiyasi shu kesmadagi uchta solishtirma energiyalarining yig'indisidan tashkil topadi:

$z$  — solishtirma potensial energiyaning holati;

$\frac{P}{\gamma}$  — solishtirma potensial energiyaning bosimi;

$z + \frac{P}{\gamma}$  — solishtirma potensial energiya;

$\frac{u^2}{2g}$  — solishtirma kinetik energiya .

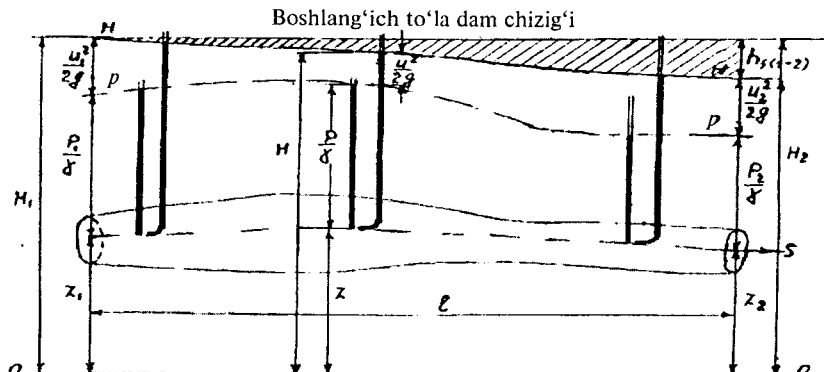
To'la solishtirma energiya quyidagiga teng:

$$\delta E = z + \frac{P}{\gamma} + \frac{u^2}{2g} . \quad (3.35)$$

Benuqson harakat qilayotgan suyuqlik uchun uchhad yig'indisi to'la solishtirma energiya yo'nalish bo'yicha o'zgarmasdir.

### 3.6-\$. MAVJUD ELEMENTAR OQIMCHA UCHUN D.BERNULLI TENGLAMASI

Mavjud elementar oqimchada yopishqoqlik hisobiga zarrachalar harakati bir-biriga qarshilik ko'rsatadi. Shuning uchun suyuqlik yo'nalishi bo'yicha solishtirma to'la energiya boshqa tur energiyaga (masalan, issiqlik energiyasiga) o'tib ketadi. Buni gidravlikada yo'qolgan dam  $h_f$  deyiladi. Suyuqlik boshlang'ich kesma 1-1 dan qancha uzoqlashgan sari, shuncha yo'qolgan dam ortib boradi (3.10-rasm).



3.10-rasm.

Buni suyuqlik harakati bo'yicha o'rnatilgan Pito naychalaridagi suv sathlarni kamayib borishi ko'rsatadi. Agar Pito naychalaridagi suv sathlarini chiziq bilan birlashtirsak, mavjud bo'lgan elementar oqimcha uchun to'la dam chizig'ini hosil qilamiz.

Oqimchaning ikkita kesmada o'rnatilgan Pito naychalaridagi suv sathlari farqi shu oraliq l da yo'qolgan dam  $h_{f(1-2)}$  ni bildiradi:

$$H_1 - H_2 = h_{f(1-2)} \quad (3.36)$$

yoki

$$z_1 + \frac{P_1}{\gamma} + \frac{u_1^2}{2g} = z_2 + \frac{P_2}{\gamma} + \frac{u_2^2}{2g} + h_{f(1-2)}. \quad (3.37)$$

(3.37) ifoda elementar mavjud bo'lgan suyuqlik uchun yozilgan D. Bernulli tenglamasıdir.

Mavjud bo'lgan suyuqlikni tavsiflash uchun gidravlik va pyezometrik nishab tushunchasi kiritiladi.

Elementar oqimcha yo'nalishi bo'yicha olingan ikki kesma uchun topilgan to'la damlar ayirmasining shu kesmalar orasidagi masofaga nisbati gidravlik nishab  $I_g$  deyiladi:

$$I_g = \frac{\left( z_1 + \frac{P_1}{\gamma} + \frac{u_1^2}{2g} \right) - \left( z_2 + \frac{P_2}{\gamma} + \frac{u_2^2}{2g} \right)}{l} = \frac{h_{f(1-2)}}{l}. \quad (3.38)$$

Agar ikki kesma uchun topilgan pyezometrik damlar ayirmasining shu kesmalar orasidagi masofaga nisbatini olsak, uni pyezometrik nishab  $I_p$  deyiladi.

$$I_p = \frac{\left( z_1 + \frac{P_1}{\gamma} \right) - \left( z_2 + \frac{P_2}{\gamma} \right)}{l}. \quad (3.39)$$

### 3.7-§. MAVJUD SUYUQLIK OQIMI UCHUN D.BERNULLI TENGLAMASI

Oqim deganda, uning yuzasidan oqib o'tayotgan elementar oqimchalar yig'indisi tushuniladi. Demak, oqim uchun yozilgan D.Bernulli (3.37) tenglamalarining yig'indisi, ya'ni integraliga teng bo'ladi. Integrallashdan avval D.Bernulli tenglamasini og'irlik sarfi  $\gamma dQ$  ga ko'paytiramiz va keyin integrallaymiz:

$$\int_{\omega_1} \left( z_1 + \frac{P_1}{\gamma} \right) \gamma dQ + \int_{\omega_1} \frac{u_1^2}{2g} \gamma dQ = \int_{\omega_2} \left( z_2 + \frac{P_2}{\gamma} \right) \gamma dQ + \int_{\omega_2} \frac{u_2^2}{2g} \gamma dQ + \int h_f \gamma dQ . \quad (3.40)$$

Agar endi shu integrallarni hisoblab chiqsak, D.Bernulli tenglamasini mavjud oqim uchun topgan bo'lamiz. Birinchi integral ichidagi had  $z + \frac{P}{\gamma}$  elementar oqimcha va umumiy oqim uchun ham o'zgarmas. Shuning uchun  $\gamma(z + \frac{P}{\gamma})$  hadni integral tashqarisiga chiqarish mumkin:

$$\gamma \left( z + \frac{P}{\gamma} \right) \int_{\omega} u d\omega = \gamma \left( z + \frac{P}{\gamma} \right) Q , \quad (3.41)$$

$z + \frac{P}{\gamma}$  ikkihadning o'zgarmasligi parallel va silliq o'zgaruvchan oqimchalar uchun olingan jonli kesmaning ixtiyoriy nuqtasida o'rindlidir:

$$\int_{\omega_1} \left( z_1 + \frac{P_1}{\gamma} \right) \gamma u d\omega = \left( z + \frac{P}{\gamma} \right) \gamma \int dQ = \left( z + \frac{P}{\gamma} \right) \gamma Q . \quad (3.42)$$

D.Bernulli tenglamasidagi ikkinchi had  $\int_{\omega} \frac{u^2}{2g} \gamma dQ$  elementar oqimchalar yig'indisining kesma yuzasidan o'tib borayotgan kinetik energiyasini bildiradi. Bunda  $dQ = u d\omega$  desak, unda

$$\int_{\omega} \frac{u^2}{2g} \gamma dQ = \int_{\omega} \frac{u^3}{2g} \gamma d\omega = \frac{\gamma}{2g} \int_{\omega} u^3 d\omega . \quad (3.43)$$

(3.43) ifoda bo'yicha olingan kesma yuzasidan o'tayotgan oqimning kinetik energiyasi aniqlanadi;  $u = f(y, z)$  esa o'zgaruvchan mahalliy tezlikdir.

Gidravlikada (3.43) ifodani integrallash uchun, butun jonli kesma bo'yicha oqim zarrachalarining tezliklari o'rtacha tezlikka teng deb faraz qilinib, integral hisoblanadi:

$$K_{sh} = \frac{\gamma}{2g} \int_{\omega} u^3 d\omega = \frac{\gamma}{2g} \int_{\omega} v^2 v d\omega = \frac{\gamma v^2 Q}{2g}. \quad (3.44)$$

$K_{sh}$  ni «chartli» kinetik energiyasi desa bo'ladi va u haqiqiy kinetik energiya  $K_x$  dan farqli bo'ladi, chunki u jonli kesma bo'yicha olingan zarrachalarning haqiqiy tezliklari orqali topiladi:

$$K_x = \frac{\gamma}{2g} \int_{\omega} u^3 d\omega. \quad (3.45)$$

Shuni aytib o'tish kerakki, «chartli» kinetik energiya doim haqiqiy kinetik energiyadan kam bo'ladi. Agar haqiqiy kinetik energiyaga «chartli» kinetik energiyani bo'lsak, unda

$$\frac{K_x}{K_{sh}} = \frac{\frac{\gamma}{2g} \int_{\omega} u^3 d\omega}{\frac{\gamma}{2g} v^2 Q} = \frac{\int_{\omega} u^3 d\omega}{v^2 Q} = \alpha, \quad (3.46)$$

bunda:  $\alpha$  — kinetik energiyaning koefitsiyenti, uning miqdori olingan jonli kesmadagi oqimning notekis tarqalgan tezligiga bog'liq.

$\alpha$  koefitsiyent tajriba orqali, ya'ni suyuqlik oqiminining har xil nuqtalardagi maxsus qurilma yordamida o'lchangan tezliklar bo'yicha aniqlanadi.

Quvur va kanallarda silliq o'zgaruvchan suyuqlik turbulent holatda harakat qilayo tgan oqim uchun kinetik energiya koefitsiyentining o'rtacha qiymati  $\alpha = 1,05 \div 1,10$ .  $\alpha > 1$  ligini nazariy yo'l bilan ham ko'rsatish mumkin. Agar (3.46) ifodada haqiqiy tezlikni o'rtacha tezlik bilan almashtirilsa,  $u = v \pm \Delta u$ :

$$\frac{\int_{\omega} u^3 d\omega}{v^3 \omega} = \frac{1}{\omega} \int_{\omega} \left( \frac{u}{v} \right)^3 d\omega = \frac{1}{\omega} \int_{\omega} \left( \frac{v \pm \Delta u}{v} \right)^3 d\omega = \frac{1}{\omega} \int_{\omega} \left( 1 \pm \frac{\Delta u}{v} \right)^3 d\omega. \quad (3.47)$$

Agar integral ostidagi ifodani yoxsak, quyidagini hosil qilamiz:

$$\begin{aligned} \frac{1}{\omega} \int_{\omega} \left[ \left( 1 \pm 3 \frac{\Delta u}{v} + 3 \left( \frac{\Delta u}{v} \right)^2 \pm \left( \frac{\Delta u}{v} \right)^3 \right) \right] d\omega = \frac{1}{\omega} \int_{\omega} d\omega \pm \frac{3}{\omega} \int_{\omega} \frac{\Delta u}{v} d\omega + \\ + \frac{3}{\omega} \int_{\omega} \left( \frac{\Delta u}{v} \right)^2 d\omega \pm \frac{1}{\omega} \int_{\omega} \left( \frac{\Delta u}{v} \right)^3 d\omega. \end{aligned} \quad (3.48)$$

(3.48) ifodaning 4-hadidagi  $\left( \frac{\Delta u}{v} \right)^3$  ko‘paytuvchi juda kichił bo‘lgani uchun,

$$\pm \frac{1}{\omega} \int_{\omega} \left( \frac{\Delta u}{v} \right)^3 d\omega = 0; \quad (3.49)$$

2-had esa  $\pm \frac{\Delta u}{v} = 0$ . Buni ko‘rsatish uchun suyuqlik sarfini ko‘ramiz:

$$Q = \int u d\omega \text{ va } Q = v \cdot \omega. \quad (3.50)$$

Agar haqiqiy tezlikni  $u = v \pm \Delta u$  desak, unda:

$$Q = \int_{\omega} (v \pm \Delta u) d\omega = \int_{\omega} v d\omega \pm \int_{\omega} \Delta u d\omega = Q \pm \int_{\omega} \Delta u d\omega \pm \int_{\omega} \Delta u d\omega = 0. \quad (3.51)$$

Shuning uchun (3.46) ifoda quyidagi ko‘rinishga ega bo‘laadi:

$$\alpha = 1 + \frac{3}{\omega} \int_{\omega} \left( \frac{\Delta u}{v} \right)^2 d\omega. \quad (3.52)$$

Bundan ko‘rinadiki, kinetik energiyaning koeffitsiyenti  $\alpha$  doim 1 dan katta ekan.

D.Bernulli tenglamasi (3.37) ning o‘ng tomonidagi 4-hadini ko‘rib chiqaylik. Harakat qilayotgan suyuqlikning haqiqiy tezligi o‘rtacha tezlik bilan almashtirilganday, yo‘qolgan dam uchun ham o‘rtacha qiymat  $h_{f_0, n}$  ni kiritamiz. Unda:

$$\int_{\omega} h_f \gamma dQ = \int_{\omega} h_{f_0, n} \gamma dQ = \gamma h_{f_0, n} \int_{\omega} dQ = \gamma Q h_{f_0, n}. \quad (3.53)$$

Endi D.Bernulli tenglamasini oqim uchun yozamiz:

$$\left( z_1 + \frac{P_1}{\gamma} \right) \gamma Q + \frac{\gamma Q \alpha_1 v_1^2}{2g} = \left( z_2 + \frac{P_2}{\gamma} \right) \gamma Q + \frac{\gamma Q \alpha_2 v_2^2}{2g} + \gamma Q h_{for}. \quad (3.54)$$

Agar bu ifodani  $\gamma Q$  ga bo'lsak,

$$z_1 + \frac{P_1}{\gamma} + \frac{\alpha_1 v_1^2}{2g} = z_2 + \frac{P_2}{\gamma} + \frac{\alpha_2 v_2^2}{2g} + h_{for}. \quad (3.55)$$

### 3.8-§. D.BERNULLI TENGLAMASINI QO'LLASH SHARTLARI

D. Bernulli tenglamasi yordamida amaliy masalalarni yechishda quyidagi shartlar bajarilishi kerak:

1) oqimda olingen ikkita jonli kesma (1—1 va 2—2) uchun D. Bernulli tengla masini qo'llashda shu kesmalar yonida suyuqlikning silliq o'zgaruvchan yoki tekis harakati bo'lishi kerak. Ixtiyoriy olingen ikkita kesmalar orasida bu shart bajarilmasligi ham mumkin;

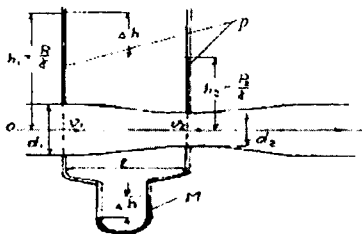
2) silliq o'zgaruvchan harakatda olingen jonli kesmaning ixtiyoriy nuqtasida  $z + \frac{P}{\gamma}$  ikkihad o'zgarmas bo'lganligi uchun, uni kesmaning istalgan nuqtasiga nisbatan qarash mumkin. Odatda, tenglamani sodda lashtirish uchun, bu ikkihadni oqimning ozod sathiga yoki quvurning o'qiga nisbatan qaraladi.

### 3.9-§. D.BERNULLI TENGLAMASIGA ASOSLANGAN ASBOB-USKUNALAR

D. Bernulli tenglamasi yordamida Venturi suv o'lchagichi, Pito naychasi, ichki yong'in yurgazgich va hokazolarni ishslash tamoyilini tushun tirib berish mumkin. Misol tariqasida Venturi suv o'lchagichi va Pito naychasini ko'rib chiqaylik.

**Venturi suv o'lchagichi** qurilma bo'lib, uni quvurga o'matib suv sarfini topish mumkin (3.11-rasm).

U ilki bo'limdan iborat: silliq toraygan va sekin-asta kengaygan qismlar. Qurilmanning toraygan joyida oqimning tezligi oshadi, bosim esa Bernulli tenglamasiga asosan kamayadi. Shunday qilib, olingen ikkita kesmada (1—1) va (2—2) har xil bosimlar bo'ladi va ularni aniqlashda pyezometr  $P$



3.11-rasm.

yoki differensial manometr o‘rnataladi, ular yordamida kesmalardagi bosimlar farqi — balandligi  $\Delta h$  o‘chanadi. Kesmalardagi bosimlar farqi qancha ko‘p bo‘lsa, quvurdan o‘tuvchi suvning sarfi shuncha oshadi. Buni isbotlash maqsadida (1—1) va (2—2) kesmalar uchun (0—0) taqqoslash tekisligiga nisbatan D. Bernulli tenglamasini yozamiz. Kesma (1—1) dagi tezlikni  $v_1$ , bosimni  $P_1$  va kesmaning yuzini  $\omega_1$ ; (2—2) kesmada esa tezlikni  $v_2$ , bosimni  $P_2$  va yuzni  $\omega_2$  deymiz. Shy kesmalarga o‘rnatilgan pyezometrlar ko‘rsatkichlarining ayirmalarini  $\Delta h$  deb belgilaymiz. Olingan kesmalarda harakat qilayotgan oqim tekis harakat qiladi desak,  $\alpha_1 = \alpha_2 = 1,0$  bo‘ladi. Quvurning toraygan joyida oqimlar orasidagi yo‘qolgan dam hisobga olinmasa (ya’ni  $h_1=0$ ), Bernulli tenglamasi (3.55) quyidagi ko‘rinishga ega bo‘ladi:

$$\frac{P_1}{\gamma} + \frac{v_1^2}{2g} = \frac{P_2}{\gamma} + \frac{v_2^2}{2g} \quad \text{yoki} \quad \frac{P_1 - P_2}{\gamma} = \frac{v_2^2 - v_1^2}{2g}. \quad (3.56)$$

Taqqoslash tekisligi (0-0) quvur o‘qi bo‘yicha o‘tkazilgarligi sababli, D. Bernulli tenglamasidagi  $z_1$  va  $z_2$  hadlar nolga teng bo‘ladi. (3.56) ifodada chap tomonidagi qiymat  $\Delta h$  ga teng, shuning uchun:

$$\Delta h = \frac{v_2^2 - v_1^2}{2g}. \quad (3.57)$$

(3.57) dagi  $v_1$  tezlikni o‘zgarmas suyuqlik sarfi  $Q = \omega_1 v_1 = \omega_2 v_2$  dan foydalanib,  $v_2$  tezlik bilan almashtiramiz:

$$v_1 = v_2 \frac{\omega_2}{\omega_1} = v_2 \frac{d_2^2}{d_1^2}. \quad (3.58)$$

(3.58) ni (3.57) ga qo‘ysak,

$$\Delta h = \frac{v_2^2 - v_1^2 \left( \frac{d_2}{d_1} \right)^2}{2g} = \frac{v_2^2}{2g} \left[ 1 - \left( \frac{d_2}{d_1} \right)^2 \right]. \quad (3.59)$$

Bundan:

$$v_2 = \sqrt{\frac{2g\Delta h}{1 - \left(\frac{d_2}{d_1}\right)^4}}. \quad (3.60)$$

Suyuqlik sarfi esa

$$Q = \omega_2 v_2 = \frac{\pi d_2^2}{4} \sqrt{\frac{2g\Delta h}{1 - \left(\frac{d_2}{d_1}\right)^4}} \quad (3.61)$$

yoki

$$Q = k \sqrt{\Delta h} \quad (3.62)$$

ga teng, bu yerda

$$k = \frac{\pi d_2^2}{4} \sqrt{\frac{2g}{1 - \left(\frac{d_2}{d_1}\right)^4}} \quad (3.63)$$

Venturi suv sarfi o'lchagichining o'zgarmas koefitsiyenti.

Nazariy yo'l bilan topilgan suyuqlik sarfi tajriba yo'li bilan olingan suyuqlik sarfidan farq qiladi. Shuning uchun (3.62) ifodaga μ suyuqlik sarfi koefitsiyenti kiritiladi:

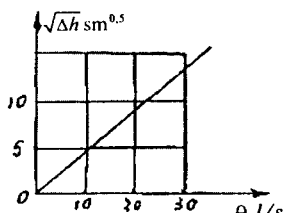
$$Q = \mu k \sqrt{\Delta h}. \quad (3.64)$$

Suyuqlik sarfi  $\mu < 1$  bo'ladi. Yangi suv sarfi o'lchagichlari uchun

$\mu = 0,98$  ga teng.

Annalda Venturi suv sarfi o'lchagichlari uchun berilgan grafikdan foydalaniladi (3.12-rasm). Buning uchun tajribadan topilgan  $\Delta h$  ga grafikdan to'g'ri keladigan suv sarfini topib olish ruminlik.

**Pito naychasi.** Pito naychasi ingichka shisha naychadan iborat bo'lib, uning pastki qismi to'g'ri burchak bo'yicha bukilgan. Shu naycha



3.12-rasm.

orqali kesmaning ixtiyoriy nuqtasida harakat qilayotgan suyuqlik tezligini aniqlash mumkin. Buning uchun kanalda oqayotgan suyuqlik yo‘nalishi tomoniga qaratib Pito naychasini qiziqtirayotgan jonli kesmaning nuqtasiga o‘rnatish kerak (3.13-rasm).

Shunda naychadagi suyuqlik ko‘tarila boshlaydi hamda kanaldagi suyuqlik sathiga

nisbatan  $h$  ga oshadi va tezlik dami  $\frac{v_1^2}{2g}$  ga teng bo‘ladi. Buni isbotlash uchun (0—0) taqqoslash tekislikka nisbatan (1—1) va (2—2) kesmalardagi elementar oqimchalari uchun D.Bernulli tenglamasini yozamiz:

$$z_1 + \frac{P_1}{\gamma} + \frac{u_1^2}{2g} = z_2 + \frac{P_2}{\gamma} + \frac{u_2^2}{2g} + h_f, \quad (3.65)$$

bunda  $z_1 = z_2 = 0$ ,  $\frac{P_1}{\gamma} - \frac{P_2}{\gamma} = h$ ,  $h_f = 0$  ga teng.

(1—1) va (2—2) kesmalar bir-biriga yaqin. Suyuqlikning Pito naychasiga kirish joyida tezligi  $v_2 = 0$  bo‘lgani uchun

$$\frac{P_2}{\gamma} - \frac{P_1}{\gamma} = \frac{u_1^2}{2g} - \frac{u_2^2}{2g} \quad \text{dan}$$

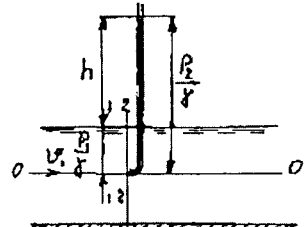
$$h = \frac{u_1^2}{2g}. \quad (3.66)$$

Bundan:

$$u_1 = \sqrt{2gh}. \quad (3.67)$$

Topilgan tezlik tajribadan olingan tezlikdan farqli bo‘ladi, chunki nazariy yo‘l bilan topilgan tezlikda yo‘qolgan dam va suyuqlikka Pito naychasi kiritilganda hosil bo‘lgan qarshilik hisobga olinmagan. Shu sababli, haqiqiy tezlikni topishda (3.67) ifodaga tuzatish koeffitsiyenti  $\varphi$  kiritiladi. Unda haqiqiy tezlikni quyidagi ifodadan topish mumkin:

$$u = \varphi \sqrt{2gh}. \quad (3.68)$$

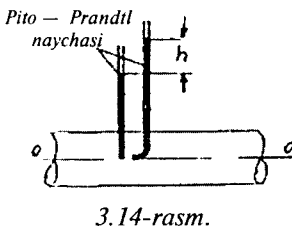


3.13-rasm.

Bunda  $\varphi$  turli xildagi Pito naychalari uchun tajribä yo'li bilan aniqlanadi va u etalonga qabul qilib olingan Pito naychasi bilan solishtiriladi.

Quvurning ixtiyoriy jonli kesmasi nuq tasidagi tezlikni topishda ikkita oddiy va Pito naychalaridan iborat bo'lgan Pito—Prandtl naychasi ishlataladi (3.14-rasm). Shu naychalardagi ko'tarilgan suyuqliklar balandliklari orasidagi farq tezlik damiga teng bo'ladi, ya'ni

$$h = \frac{u^2}{2g}, \quad u = \sqrt{2gh}. \quad (3.69)$$



3.14-rasm.

### 3.10-§. SUYUQLIK TEKIS HARAKATINING ASOSIY TENGLAMASI

D. Bernulli tenglamasini yozamiz:

$$z_1 + \frac{P_1}{\gamma} + \frac{\alpha_1 v_1^2}{2g} = z_2 + \frac{P_2}{\gamma} + \frac{\alpha_2 v_2^2}{2g} + h_f.$$

Suyuqlik tekis harakat qilgan paytda  $v_1 = v_2$ ,  $\alpha_1 = \alpha_2 = 1,0$  bo'ladi va

$$z + \frac{P}{\gamma} = z_2 + \frac{P_2}{\gamma} + h_f. \quad (3.70)$$

Bu tenglamani ajratilgan suyuqlik qismiga ta'sir etayotgan kuchlar yordamida topib olish ham mumkin. Suyuqlikka ta'sir etayotgan kuchlarni ko'rib chiqamiz (3.15-rasm).

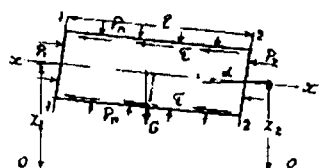
Suyuqlikning og'irlilik kuchi:

$$G = \gamma \cdot \omega \cdot l. \quad (3.71)$$

Kesma (1—1) va (2—2) larga ta'sir etayotg'an kuchlar teng:

$$F_1 = P_1 \cdot \omega; \quad F_2 = P_2 \cdot \omega. \quad (3.72)$$

Qarshilik kuch ta'siri:



3.15-rasm.

$$T = \tau \cdot \chi \cdot l. \quad (3.73)$$

Endi kuchlarni suyuqlik yo‘nalishiga proyeksiyalarini olib, ularning yig‘indisini nolga tenglashtiramiz, ya’ni

$$\sum_{i=1}^4 F_{ix} = 0, \quad F_1 - F_2 - G \sin \alpha - T = 0 \quad (3.74)$$

yoki

$$P_1\omega - P_2\omega - \gamma\omega l \sin \alpha - \tau\chi l = 0. \quad (3.75)$$

Topilgan ifodani  $\gamma\omega$  ga bo‘lamiz va  $\sin \alpha = \frac{z_1 - z_2}{l}$  deb qabul qilamiz, shunda:

$$\frac{P_1}{\gamma} - \frac{P_2}{\gamma} + (z_1 - z_2) - \frac{\tau\chi l}{\gamma\omega} = 0. \quad (3.76)$$

Hadlarni guruhshtirilgandan so‘ng ifoda

$$z_1 + \frac{P_1}{\gamma} = z_2 + \frac{P_2}{\gamma} + \frac{\tau\chi l}{\gamma\omega} \quad (3.77)$$

ko‘rinishga keladi.

Agar (3.70) ifodani (3.77) bilan solishtirsak, D. Bernulli tenglamasining oxirgi hadi

$$h_f = \frac{\tau\chi l}{\gamma\omega} \quad (3.78)$$

ga tengligini ko‘rish mumkin.

Gidravlik radius  $R = \frac{\omega}{\chi}$  va gidravlik nishab  $I = i = \frac{h_f}{l}$  bo‘lgani uchun, (3.78) ifoda quyidagi ko‘rinishga ega bo‘ladi:

$$\frac{\tau}{\gamma} = R \cdot i. \quad (3.79)$$

Bu tenglama suyuqlik tekis harakatining asosiy tenglama si deyiladi.

3.1-misol. Quvur ichida harakat qilayotgan suyuqlikni eng toraygan joyida o‘rnatalgan naychaning ikkinchi tomoni idishdagisi suvgaga tushirib qo‘yilgan. Agar quvurdagi oqayotgan suv sarfi  $Q = 20 \text{ l/s}$ , 1—1 kesmadagi

ortiqcha bosim  $P_1 = 30 \cdot 10^3$  Paskal, diametrlar  $d_1 = 100$  mm,  $d_2 = 50$  mm bo'lsa, naychadagi ko'tarilgan suv balandligi  $h_{vak}$  ni aniqlang (3.16-rasm).

Yechish. Quvur o'qidan taqqoslash tekisligi o'tkazib 1—1 va 2—2 kesmalar uchun D.Bernulli tenglmmasini yozamiz:

$$\frac{P_1}{\gamma} + \frac{\alpha_1 v_1^2}{2g} = \frac{P_2}{\gamma} + \frac{\alpha_2 v_2^2}{2g} + h_{f(1-2)}.$$

Bu tenglamada  $\alpha_1 = \alpha_2 = 1,0$  deb qabul qilamiz. 1—1 va 2—2 kesmalar bir-biriga yaqin bo'lgani uchun, yo'qolgan dam  $h_{f(1-2)} = 0$  deymiz. Unda:

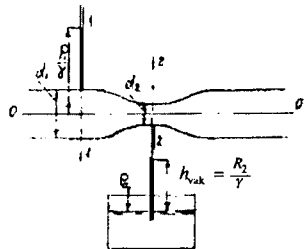
$$\frac{P_1}{\gamma} + \frac{v_1^2}{2g} = \frac{P_2}{\gamma} + \frac{v_2^2}{2g} .$$

**Uzluksiz tenglama**  $Q = \omega_1 v_1 = \omega_2 v_2$  va  $\omega = \frac{\pi d^2}{4}$  larni hisobga olib

D.Bernulli tenglmasidan  $\frac{P_2}{\gamma} = \frac{P_2}{\rho g}$  ni topamiz.

$$\begin{aligned} \frac{P_2}{\rho g} &= \frac{P_1}{\rho g} + \frac{v_1^2}{2g} - \frac{v_2^2}{2g} = \frac{P_1}{\rho g} + \left( \frac{4Q}{\pi} \right)^2 \cdot \frac{1}{2g} \cdot \left( \frac{1}{d_1^4} - \frac{1}{d_2^4} \right) = \\ &= \frac{30000}{1000 \cdot 9,8} + \frac{16 \cdot 0,02^2}{3,14^2} \cdot \frac{1}{2 \cdot 9,8} \cdot \left( \frac{1}{0,1^4} - \frac{1}{0,05^4} \right) = -1,9 \text{ m.} \end{aligned}$$

Hisob bo'yicha chiqqan manfiy son vakuum (bo'shliq) balandligi bo'lib,  $\frac{P_2}{\rho g} = h_{vak} = 1,9$  m ga teng va u shu quvurni toraygan joyidan o'tayot gan suyuqlik bosimi atmosfera bosimidan qanchaga kamayganligini ko'rsatadi.



3.16-rasm.

## **4-bob. SUYUQLIKNING LAMINAR VA TURBULENT HARAKAT XUSUSIYATLARI**

### **4.1-§. GIDRAVLIK QARSHILIKLAR**

Suyuqlik harakat qilayotgan paytda ko‘rilayotgan kesmada bosim va tezliklar bir-biri bilan bog‘langanligini uzluksizlik va D.Bernulli tenglamalarida ko‘rish mumkin:

$$Q = \omega v, \quad (4.1)$$

$$z + \frac{P}{\gamma} + \frac{\alpha v^2}{2g} + h_f = \text{const}. \quad (4.2)$$

Lekin bu tenglamalar uchta noma'lum  $P$ ,  $v$ ,  $h_f$  ga ega; uchirchi had  $h_f$  tajribadan olinadi. Yo‘qolgan dam  $h_f$  ko‘p hollarda tezlik  $\frac{v^2}{2g}$  ga mutanosibdir:

$$h_m = \zeta \frac{v^2}{2g}, \quad (4.3)$$

bunda:  $\zeta$  — o‘lchovsiz mahalliy qarshilik koeffitsiyenti.

Bu topilgan ifoda *Veysbax ifodasi* deyiladi. Odatta, uni quvurdagi mahalliy qarshiliklarda yo‘qolgan damlarni aniqlashda ishlataladi (mahalliy qarshiliklarga kranlar, diafragmalar, batareyalar, quvurning qayilish joyi, quvurning keskin kengaygan, toraygan joylari va boshqalar ki radi).

Tajribada mahalliy qarshiliklar koeffitsiyentlarini aniqlash uchun quyidagicha ish tutiladi: quvurdagi ko‘rilayotgan mahalliy qarshilik oldiga va undan keyin pyezometrlar o‘rnataliladi. Ikki kesmaga o‘rnatalgan pyezometrlar ko‘rsatkichlariga shu kesmalardagi tezliklar darrini qo‘sib, ularning ayirmasini topamiz. Topilgan qiymat shu mahalliy qarshilikdagi yo‘qolgan dam bo‘ladi. Endi yo‘qolgan damni (4.3) ifodaga qo‘yib, undan shu mahalliy qarshilikka tegishli bo‘lgan koeffitsiyentni aniqlaymiz.

Mahalliy qarshiliklardan tashqari yo‘qolgan dam quvurning butun uzunasi bo‘yicha ham bo‘ladi. Quvur qancha uzun bo‘lsa, shuncha ko‘p dam yo‘qotiladi, ya’ni u quvurning uzunligiga va diametriga bog‘liq. Shuning uchun uzunlik bo‘yicha topish kerak bo‘lgan, yo‘qolgan däm ifodasiga quvurning nisbiy uzunligi  $\frac{l}{d}$  kiritiladi va Veysbax ifodasini quyidagicha yozish mumkin:

$$h_f = \lambda \frac{l}{d} \frac{v^2}{2g}, \quad (4.4)$$

(4.4) ifoda Veysbax — Darsi ifodasi deyiladi.

Shunday qilib, quvurdagi mahalliy qarshiliklarda va quvurning butun uzunasi bo'yicha ikki xil damlar yo'qoladi. Quvurlar tizimida umumiy yo'qolgan dam ushbuga teng:

$$h = \sum_{i=1}^n h_{li} + \sum_{j=1}^m h_{uj}. \quad (4.5)$$

$\lambda$  ba  $\zeta$  koeffitsiyentlarni topish gidravlikaning asosiy masalalaridan biri hisoblanadi va u har xil omillarga bog'liq; xususan, suyuqlik harakatining tartibiga ham. Harakat tartiblari ikki xil bo'lishi mumkin: *laminar* (parallel oqimchalar) va turbulent (tartibsiz). Bu harakatlarni Reynolds qurilmasida ko'rish mumkin. Laminar harakatdan turbulentga o'tish kritik Reynolds soni bilan aniqlanadi. Masalan, dumaloq bo'lgan quvurlar uchun:

$$Re_{kr} = \frac{v_{kr} \cdot d}{\nu}. \quad (4.6)$$

#### 4.2-§. LAMINAR TARTIBDA HARAKAT QILAYOTGAN SUYUQLIKNING XUSUSIYATLARI

Dumaloq bo'lgan quvurdagi suyuqlik laminar harakatining asosiy qonuniyatlarini ko'rib chiqamiz.

Tekis harakatning asosiy tenglamasidan:

$$\tau = \gamma R i. \quad (4.7)$$

Agar endi gidravlik  $R$  radiusi o'rniga dumaloq bo'lgan quvur radiusi  $r$  ni ifodaga qo'ysak, unda kuchlanish  $\tau$  quyidagiga teng bo'ladi:

$$\tau = \gamma \cdot i \cdot \frac{r}{2}. \quad (4.8)$$

Chegaraviy qiymatlarda:

$$r = 0 \quad \text{da} \quad \tau = 0 ; \quad (4.9)$$

$$r = r_0 \quad \text{da} \quad \tau_{\max} = \gamma i \frac{r_0}{2}. \quad (4.10)$$

Demak, quvurning o'qi bo'yicha urinma kuchlanish 0 ga teng, quvurning ichki devori bo'yicha esa  $\tau_{\max}$  ga teng.

Bizga ma'lumki, Nyuton qonuni bo'yicha urinma kuchlanish laminar harakat qilayotgan suyuqlik uchun tezlik gradiyentiga mutanosibdir:

$$\tau = \mu \frac{du}{dr}. \quad (4.11)$$

Unda

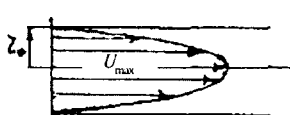
$$\mu \frac{du}{dr} = \gamma i \frac{r}{2}. \quad (4.12)$$

(4.12) dan tezlik  $u$  ni topamiz:

$$\int_0^u du = \frac{\gamma i}{2\mu} \int_r^0 r dr; \quad (4.13)$$

$$u = \frac{\gamma i}{4\mu} (r_0^2 - r^2). \quad (4.14)$$

Topilgan tezlik quvurda olingan ixtiyoriy kesmaning jonli yuzi bo'yicha o'zgarayotgan  $u=f(r)$  tezlikni bildiradi (4.1-rasm):



4.1-rasm.

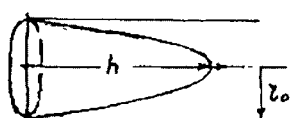
$$1. r = 0 \text{ da } u_{\max} = \frac{\gamma i}{4\mu} r_0^2. \quad (4.15)$$

$$2. r = r_0 \text{ da } u = 0. \quad (4.16)$$

Bundan ko'rindiki, quvurning o'qi bo'yicha oqimning zarrachalar tezligi eng katta, devorlari yaqinida esa 0 ga teng.

Olingan kesma bo'yicha tezlik taqsimlanishini (4.1-rasmiga qarang) quvurdagi oqayotgan suyuqlik sarfini aniqlash uchun qo'llaymiz.

Dumaloq quvurda harakat qilayotgan suyuqlik ixtiyoriy kesmasining jonli yuzi bo'yicha taqsimlangan tezlik epyurasi quvurning o'qida tezlikning maksimum qiymatiga ega bo'lgan aylanma paraboloidga o'xshaydi (4.2-rasm).



4.2-rasm.

Bu paraboloidning hajm miqdori suyuqliknинг hajmiy sarfiga teng. Geometriya fanidan ma'lumki, paraboloidning hajmi

$$V = \pi r_0^2 \cdot \frac{h}{2} \quad (4.17)$$

ga teng, bunda:  $h$  — paraboloid balandligi.

Bizning holimiz uchun  $h$  maksimal tezlikka teng bo‘ladi. Demak,

$$V = Q = \pi r_0^2 \frac{u_{\max}}{2} = \pi r_0^2 \cdot \frac{\gamma i}{8\mu} \cdot r_0^2. \quad (4.18)$$

(4.18) ifodadan o‘rtacha tezlikni topib olishimiz mumkin:

$$\nu = \frac{Q}{\omega} = \frac{\gamma i r_0^2}{8\mu}. \quad (4.19)$$

Agar endi maksimum tezlik bilan o‘rtacha tezlikni solishtirsak:

$$\nu = \frac{u_{\max}}{2} \text{ yoki } \nu = 0,5u_{\max}. \quad (4.20)$$

Ouvurdagi harakat qilayotgan suyuqlikning uzunlik bo‘yicha yo‘qolgan damini topishda (4.19) ifodadan foydalanamiz:

$$i = \frac{h_f}{l} = \frac{8\mu\nu}{\gamma r_0^2}, \quad (4.21)$$

bundan:

$$h_f = \frac{8\mu l \nu}{\gamma r_0^2}. \quad (4.22)$$

(4.22) ifodada  $\mu = \nu\rho$ ,  $\gamma = \rho g$ ,  $r_0 = \frac{d}{2}$  deb almashtirsak,

$$h_f = \frac{32\nu l \nu}{gd^2} \quad (4.23)$$

bo‘ladi.

Bu ifoda *Gagen — Puazeyl* ifodasi deyiladi.

(4.23) bo‘yicha tekis harakat qilayotgan suyuqliklar uchun uzunlik bo‘yicha yo‘qolgan damlarni aniqlash mumkin.

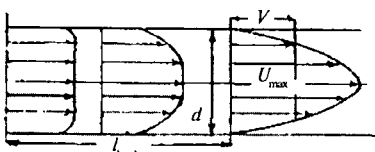
*Gagen — Puazeyl* ifodasini Veysbax — Darsi umumiy ifodasiga keltirish uchun (4.23) ifodaning surat va maxrajlarini  $2\nu$  ga ko‘paytiramiz:

$$h_l = \frac{32\nu l \nu \cdot 2\nu}{gd^2 \cdot 2\nu} = \frac{64}{\nu d / \nu} \cdot \frac{l}{d} \cdot \frac{\nu^2}{2g} = \frac{64}{Re} \cdot \frac{l}{d} \cdot \frac{\nu^2}{2g}. \quad (4.24)$$

Agar endi (4.24) ifodani Veysbax — Darsi ifodasi  $h_t = \lambda \frac{l}{d} \frac{v^2}{2g}$  bilan solishtirsak, unda

$$\lambda = \frac{64}{Re} \quad (4.25)$$

ga ega bo'lamiz. Bundan xulosa qilish mumkinki, quvurdagi suyuqlik laminar harakatining ishqalanish koefitsiyenti  $\lambda$  Reynolds soniga teskari mutanosibdir. Suyuqlik quvurga kirish joyida laminar harakatda bo'lmaydi. Agar suyuqlik qandaydir idishdan quvurga o'tayotgan bo'lib, unda laminar harakat qilayotgan bo'lsa, quvurga kirish joyida suyuqlik tezliklari butun jonli kesma bo'yicha bir xil bo'ladi. Kirish joyidan uzoqlashgan sari quvurning o'qidan boshlab ichki devorlariga yaqinlashayotgan suyuqlik qatlamlarining tezliklari kamaya boshlaydi (4.3-rasm), chunki quvurning ichki devori bilan suyuqlik orasidagi ishqalanish kuchi harakat tezligining o'qi bo'yicha ta'sir etadi.



4.3-rasm.

Shundan keyin laminar harakatning kesma bo'yicha taqsimplanishi tugaydi va harakat tezligi chizmadagi oxirgi korinishga ega bo'ladi. Quvur boshidan to tartib bilan taqsimlangan harakat qilayotgan kesmagacha bo'lgan masofa *boshlang'ich quvur bo'limi* deyiladi.

Boshlang'ich bo'limni topishda quyidagi taqrifiy ifodadan foydalanish mumkin:

$$\frac{l_{\text{bosh}}}{d} = 0,027 Re \quad (4.26)$$

Agar shu ifodaga dumaloq bo'lgan quvurlar uchun berilgan kritik Reynolds soni  $Re_{kr} = 2300$  ni qo'ysak, unda biz boshlang'ich bo'limning eng katta uzunligini topamiz va u quvurning 66,5 diametriga (kalibr) teng:

$$l_{\text{bosh}} = 0,027 \cdot 2300 \cdot d = 66,5d \quad (4.27)$$

Boshlang'ich bo'limda yo'qolgan dam tartib bilan harakat qilayotgan suyuqlik uchastkasiga nisbatan ko'proq bo'ladi va  $l < l_{\text{bosh}}$  bo'lsa, quyidagi ifodadan topish mumkin:

$$h_t = K \frac{64}{Re} \cdot \frac{l}{d} \cdot \frac{v^2}{2g}, \quad (4.28)$$

bunda:  $K$  — tuzatish koefitsiyenti;

Tuzatish koeffitsiyenti  $K$  suyuqlikning quvurga kirish shartiga, Reynolds soniga va boshqa omillarga bog'liq.

4. 1-m isol. Uzunligi  $l = 1 \text{ km}$ , diametri  $d = 100 \text{ mm} = 0,1 \text{ m}$  bo'lgan qurvurda suyuqlik oqayotgan bo'lib, hajmiy sarfi  $Q = 5 \text{ l/s} = 0,00785 \text{ m}^3/\text{s}$ ; qovushqoqlik kinematik koeffitsiyenti  $v = 0,4 \text{ m}^2/\text{s}$  ga teng. Uzunlik bo'yicha yo'qolgan  $h_l$  darinni toping.

Yechish. Quvurni kesim yuzi va o'rtacha tezligi ushbuga teng:

$$\omega = \frac{\pi d^2}{4} = \frac{3,14 \cdot 0,1^2}{4} = 0,00785 \text{ m}^2; \quad v = \frac{Q}{\omega} = \frac{0,00785}{0,00785} = 0,64 \text{ m/s}.$$

Suyuqlikning harakat tartibini aniqlash uchun Reynolds sonini topamiz:

$$Re = \frac{v \cdot d}{\nu} = \frac{0,64 \cdot 0,1}{0,4 \cdot 10^{-4}} = 1600.$$

H isoblangan Reynolds soni  $Re = 1600$  va u kritik Reynolds soni 2300 dan kichik. Demak, suyuqlikning harakat tartibi laminar ekan. Laminar tartibcla harakat qilayotgan suyuqlik uchun yo'qolgan dam Gagen — Puazeyl ifodasiidan aniqlanadi:

$$h_l = \frac{32\nu l}{gd^2} = \frac{32 \cdot 0,4 \cdot 10^4 \cdot 1000 \cdot 0,64}{9,81 \cdot 0,1^2} = 8,35 \text{ m}.$$

#### **4.3-§. TEKIS HARAKAT QILAYOTGAN SUYUQLIK UCHUN O'RTACHA TEZLIK VA SUYUQLIK SARFI IFODALARI. SHEZI IFODASI**

Yo'qolgan dam uchun ishlataladigan Veysbax — Darsi ifodasini gidravlik radius orqali yozamiz, ya'ni

$$h_l = \lambda \frac{l}{d} \frac{v^2}{2g} = \lambda \frac{l}{4R} \frac{v^2}{2g}, \text{ bunda } R = \frac{d}{4}. \quad (4.29)$$

Bu ifodaga ko'ra o'rtacha tezlik

$$v = \sqrt{\frac{8gR}{\lambda} \cdot \frac{h_l}{l}} \quad (4.30)$$

ga teng.

Agar  $\sqrt{\frac{8g}{\lambda}} = C$  va  $\frac{h_l}{l} = i$  deb belgilasak, unda

$$v = C \sqrt{Ri} \quad (4.31)$$

ga ega bo'lamiz.

(4.31) ifoda Shezi ifodasi deyiladi (bunda:  $C$  — Shezi koeffitsiyenti,  $i$  — gidravlik nishabi).

Koeffitsiyent  $C$  ning o'lchovi:  $[C] = \frac{[L]}{[T]} = \frac{m^{0.5}}{s}$ . Agar su yuqlik sarfi  $Q = \omega v$  ni e'tiborga olsak, tekis laminar harakat uchun suyuqlik sarfi ifodasi kelib chiqadi:

$$Q = \omega C \sqrt{Ri}. \quad (4.32)$$

Shezi ifodasini o'zgartirib yozamiz:

$$v = C \sqrt{Ri} = \sqrt{\frac{8gR}{\lambda} \cdot i} = \sqrt{\frac{8}{\lambda}} \cdot \sqrt{gRi}. \quad (4.33)$$

Bu yerdagi  $\sqrt{gRi}$  had tezlik o'lchoviga ega bo'lgani uchun, uni  $u^*$  orqali belgilab dinamik tezlik ifodasini hosil qilamiz:

$$u^* = \sqrt{gRi}. \quad (4.34)$$

Unda

$$v = \sqrt{\frac{8}{\lambda}} \cdot u. \quad (4.35)$$

Yo'qolgan damni Shezi ifodasi bo'yicha aniqlaydigan bo'lsak, u quyidagicha topiladi:

$$h_l = \frac{v^2 l}{C^2 R}. \quad (4.36)$$

Odatda, Shezi koeffitsiyentini empirik ifodalardan topiladi:

$$\text{Manning ifodasi: } C = \frac{1}{n} R^{1/\sigma}; \quad (4.37)$$

$$\text{Pavlovskiy ifodasi: } C = \frac{1}{n} R^\nu; \quad (4.38)$$

Agroskin ifodasi:  $C = \frac{1}{n} + 17,72 \lg R$ , (4.39)

bu yerda:  $n$  — quvur ichki devorining g'adir-budurligi;  $R$  — gidravlik radius;

$y = f(n, R)$  — daraja ko'rsatkichi  $n$  va  $R$  ga bog'liq.

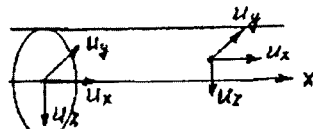
#### 4.4-§. TURBULENT HARAKAT QILAYOTGAN SUYUQLIK XUSUSIYATLARI

Turbulent harakatda suyuqlik zarrachalari bir-biri bilan aralashib tartibsiz harakat qilish hisobiga tezlik va bosimning uzilib-uzilib turishi (pulsatsiya) namo yon bo'ladi. Oqimdag'i olingan ixtiyoriy zarracha o'z yo'naliish miqdorini va yo'naliish tezligini o'zgartiradigan bo'lsin. Hozirgi vaqt lahzasiga nisbatan ko'rيلayotgan nuqtadagi zarracha tezligiga *onyi mahalliy tezlik* deyiladi. Ixtiyoriy zarrachaning oniy tezligini 3 ta tashkil etuvchilarga ajratish mum kin: birinchisini oqim yo'naliishi bo'yic ha, qolgan ikkitasini esa oqim yo'naliishiga ko'nd alang bo'lgan kesmada ko'rish mumkin (4.4-rasm).

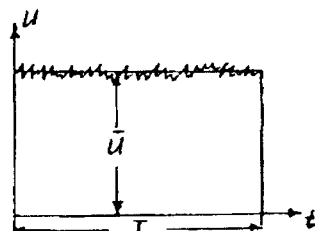
Oniy tezlikni tashkil etuvchilaridan biriniring o'zgarishi tezlik pulsatsiyasi deyiladi. Tezlik pulsatsiyasini aniqlashda va uning vaqtga nisbatan ko'rيلayotgan nuqtada o'zgarishini yozib olishda juda sezgir bo'lgan o'zi yozadigan asbob ishlataladi. Asbob orqali yozib olingan zarracha tezligi o'zgarishidan ko'rindaniki, u tartibsiz harakat qilib vaqtga nisbatan olingan o'rtacha tezlik miqdoriga yaqin bo'ladi (4.5-rasm).

Bunday hodisa biz ko'rib chiqayotgan turbulent oqimda zarrachalar uchun o'rtacha tezlik  $\bar{u}$  ni kiritishga imkon beradi. Zarrachaning o'rtacha tezligi deb qaralayotgan nuqtada yetarli cha vaqt ichida topilgan tezliklarning o'rtacha qiymatiga aytildi va uni quyidagicha ifodalash mumkin:

$$\bar{u} = \frac{u_1 \Delta t_1 + u_2 \Delta t_2 + u_3 \Delta t_3 + \dots + u_n \Delta t_n}{T} = \frac{\sum_{i=1}^n u_i \Delta t_i}{T}, \quad (4.40)$$



4.4-rasm.



4.5-rasm.

bunda:  $u_1, u_2, u_3, \dots, u_n$  — ko‘rilayotgan nuqtada zarrachaning juda kichik vaqt miqdori  $\Delta t_1, \Delta t_2, \Delta t_3, \dots, \Delta t_n$  lardagi tezligi;  $T$  — umumiy kuzatilgan vaqt davri.

Zarracha uchun kiritilgan o‘rtacha tezlik tushunchasi turbulent oqim tuzilishini o‘rganish masalasini ancha yengillashtiradi va tartibsiz (xaotik) harakatni tartibli, parallel oqimchalardan iborat deb qarashga imkon beradi. Shuning uchun, bu harakatga D. Bernulli tenglamasini qo‘llash mumkin bo‘ladi.

Turbulent oqimda zarrachalar uzluksiz aralashishi natijasi da ortiqcha ishqalanish kuchi hosil bo‘lib, u laminar harakat qilayotgan suyuqlikning zarrachalar orasidagi ishqalanish kuchiga nisbatan bir necha o‘n marotaba ortiq bo‘ladi. Shu boisdan, laminar harakat uchun berilgan Nyuton qonuni

$$\tau = \mu \frac{du}{dy} \quad (4.41)$$

ni qo‘llash mumkin emas. Umumiy holda turbulent oqim uchun ishqalanish kuchini topishda quyidagi ifodadan foydalanish mumkin:

$$\tau = \mu \frac{du}{dy} + \rho l^2 \left( \frac{du}{dy} \right)^2, \quad (4.42)$$

bunda:  $\rho$  — suyuqlik zichligi;

$l$  — zarrachalar aralashishining cheklangan uzunligi;

$\frac{du}{dy}$  — tezlik gradiyenti;

$\mu$  — suyuqlikning dinamik yopishqoqlik koeffitsiyenti.

(4.42) ifodaning birinchi hadi —  $\mu \frac{du}{dy}$  zarrachalarining ichki ishqalanish natijasida hosil bo‘lgan qovushqoqlik kuchlanishini bildiradi. Ikkinchi hadi:

$\rho l^2 \left( \frac{du}{dy} \right)^2$  esa turbulent oqimda zarrachalar aralashishi natijasida hosil bo‘lgan inersiya kuchlanishi deyiladi.

Nemis olimi Prandtl tuzgan chizmasi bo‘yicha quvurda gi turbulent harakatning asosiy oqimi turbulent yadrosida, devorning yaqinida esa juda yupqa bo‘lgan laminar qatlamda laminar oqimi bo‘ladi (4.6-rasm). Laminar qatlamda tezlik 0 dan keskin ko‘payib chekli tezlik  $u_l$  gacha boradi ( $0 \leq u \leq u_l$ ). Tezlik  $u_l$  laminar harakatning chegarasida bo‘ladi. Laminar

qatlamning qalinligi δ juda yupqa bo'ladi va hisoblangan Reynolds soni shu qatlam uchun o'zgarmasdir, ya'ni

$$Re = \frac{u_n \cdot \delta_n}{\nu} = \text{const.} \quad (4.43)$$

Demak, laminar qatlamdagi tezlik qancha oshib borsa, qatlamning qalinligi shuncha kamaya boradi va u katta Reynolds sonlarda umuman yo'q desa bo'ladi. Quvur ichki devorlarining g'adir-budurligi hisobiga chegaraviy qatlamda tez o'zgaruvchan harakat (вихреобразование) hosil bo'lib, asosiy yadro oqimiga ham ta'sir etadi va u yerda sekin-asta so'na boshlaydi. Asosiy yadro o'qi bo'yicha harakat qilayotgan suyuqlik bir vaqt ichida pulsatsiya ta'siridan ko'ndalang harakat ham qiladi. Buning natijasida suyuqliklar zarrachalari aralashadi va yadrodagи oqimning tezliklari tinchlanadi. Kesma bo'yicha turbulent harakat uchun olingan o'rtacha tezliklari laminar oqimning taqsimlangan tezliklaridan keskin farq qiladi (4.7, 4.8-rasmlar).

Agar laminar va turbulent harakat tezliklarini solishtiradigan bo'lsak, turbulent harakatda (4.7-rasm) laminar (4.8-rasm) ga nisbatan taqsimlanish tezligi tekisroq bo'ladi, devorga yaqin bo'lgan qatlamdagi tezlik esa tez o'sib boradi. Quvurda turbulent harakat uchun olingan ixtiyoriy kesma yuzi bo'yicha taqsimlangan tezlik quyidagi tenglama bilan ifodalanadi:

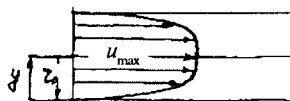
$$u = u_{\max} \left( \frac{y}{r_0} \right)^m, \quad (4.44)$$

bunda:  $u_{\max}$  — quvur o'qidagi suyuqlikning maksimal tezligi;

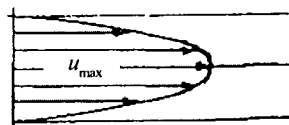
$y$  — devordan o'qqacha bo'lgan masofa;

$r_0$  — quvur o'qidan devorgacha bo'lgan masofa, radius;

$m$  — ko'rsatkich darajasi.



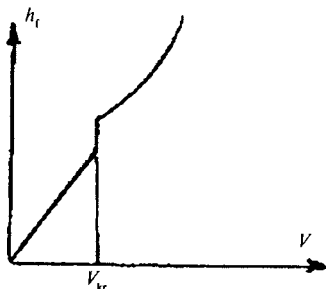
4.7-rasm.



4.8-rasm.

A.D. Altshul bo'yicha:  $m = 0,9\sqrt{\lambda}$ . Agar  $0,1 \leq m \leq 0,25$  bo'lsa, uni g'adir-budur quvurlar uchun; agar  $m < 0,1$  bo'lsa, silliq quvurlar uchun qo'llash mumkin. Agar  $m = \frac{1}{7}$  bo'lsa, unda kesma bo'yicha quvurdagi tezlik taqsimlanishi Karman qonuniga bo'ysunadi:

$$u = u_{\max} \left( \frac{y}{r_0} \right)^{\frac{1}{7}}. \quad (4.45)$$



4.9-rasm.

ikkinchidagi darajasiga bog'liq bo'ladi. Suyuqlikni quvurdagi yo'qolgan damini o'rtacha tezlik bilan bog'lanishni (4.42) ifoda bilan ko'rsatish mumkin. Haqiqatdan ham, laminar harakatda (4.42) ifodada zarrachalar aralashish masofasi  $l = 0$  bo'ladi va u Nyuton qonuni (4.41) ga aylanadi. Turbulent harakatda esa (4.42) ifoda ikkinchi hadining miqdori keskin ko'payib ketadi. Bu holda Reynolds sonlarining katta qiymatlarida ( $Re > 10^5$ ) birinchi hadni hisobga olmasa ham bo'ladi. Unda urinma kuchlanish

$$\tau = \rho l^2 \left( \frac{du}{dy} \right)^2 \quad (4.46)$$

ga teng bo'lib, tezlik gradiyentini kvadratiga mutanosib bo'ladi. Agar turbulent harakat uchun Reynolds sonlari uncha katta bo'lmasa ( $3000 < Re < 10000$ ) va qovushqoqlik, inersion kuchlanishlar qiymati bir tartibda bo'lsa, to'la urinma kuchlanish tezlik gradiyentining ikkinchi darajasiga nisbatan kam mutanosibdir.

Yo‘qolgan damni aniqlashda laminar va turbulent harakatlar uchun asosan Veysbax — Darsi ifodasi ishlataladi:

$$h_l = \lambda \frac{l}{d} \frac{v^2}{2g}. \quad (4.47)$$

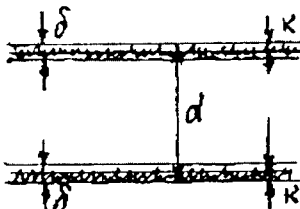
Bu ifodada qarshilik koeffitsiyenti  $\lambda$  ning qiymati quvurda oqayotgan suyuqlik qanday harakat qilayotganiga bog‘liq. Laminar harakatda faqat Reynolds soniga bog‘liq bo‘lgan bo‘lsa, turbulent harakatda Reynolds soni bilan quvur devorining ichki g‘adir-budurligiga ham bog‘liq bo‘ladi. G‘adir-budurlikning asosiy xususiyatlaridan biri absolut g‘adir-budurlik bo‘lib, u uzunlik birligida o‘lchanadi va quvur ichki devoridan chiqib turgan va notejis bo‘lgan o‘lchovlarning o‘rtacha qiymatiga teng. Agar chiqib turgan g‘adir-budurlikning o‘rtacha qiymati  $k$  laminar qatlam qalinligi  $\delta$  dan kichik ( $k < \delta$  bo‘lsa va gidravlik qarshilik  $\lambda$  qiymatiga hech qanday ta’sir etmasa, bunday quvurni gidravlik silliq quvur deyiladi (4.10-rasm). Agar  $k > \delta$  bo‘lib, g‘adir-budurlik asosiy turbulent yadrosida harakat qilayotgan oqimga ta’sir etsa, bunday quvurni g‘adir-budur bo‘lgan quvur deyiladi. Bunday quvurlarda qarshilik koeffitsiyenti  $\lambda$  g‘adir-budurlikka ham bog‘liq bo‘ladi.  $\lambda$  ni aniqlash uchun juda ko‘p empirik ifodalar mavjud.

Gidravlik silliq quvurlar uchun Blazius ifodasidan foydalanish mumkin:

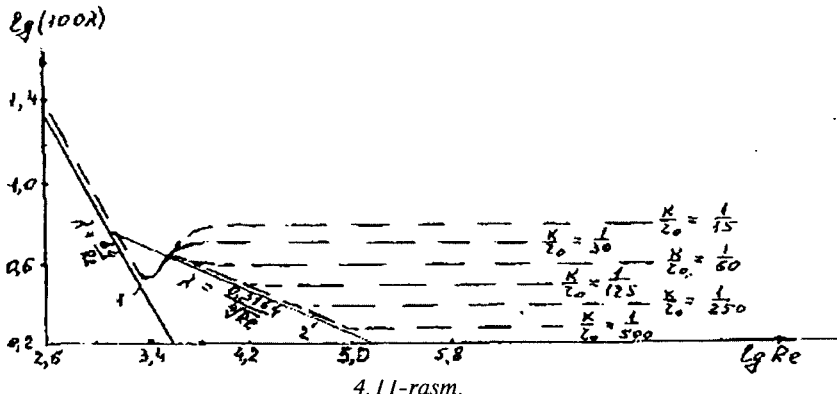
$$\lambda = \frac{0,3164}{\sqrt[4]{Re}}. \quad (4.48)$$

G‘adir-budur bo‘lgan quvurda turbulent harakat qilayotgan suyuqlik uchun  $\lambda$  ni topishda Reynolds sonidan tashqari g‘adir-budurlik qiymatini quvurning radiusi yoki diametriga olingan nisbati  $\frac{k}{\eta}$ ,  $\frac{k}{d}$  ga ham bog‘liq. Nisbat ni olish sababi shundaki, g‘adir-budurlik qiymati ( $k$ ) ni o‘zi katta bo‘lgan diametrli quvurda harakat qilayotgan suyuqlikka kam ta’sir etadi; lekin diametrлари kichik bo‘lgan quvurlarda uning ta’siri katta bo‘lishi mumkin. Reynolds soni va nisbiy g‘adir-budurlikni qarshilik koeffitsiyenti  $\lambda$  ga ta’sir etishini Nikuradze grafигida ko‘rish mumkin (4.11-rasm).

I.I. Nikuradze o‘z tajribasida quvurni ichki devorlariga bir xil o‘lchovga ega bo‘lgan mayda qum zarrachalarini bir tekisda yopishtirgan. Bunday



4.10-rasm.



4.11-rasm.

quvurni tekis taqsimlangan g‘adir-budurlik quvuri deyiladi. U har xil sun’iy yo‘l bilan hosil qilingan g‘adir-budurlikli qurvurda suyuqlik harakatini o‘rgangan. Reynolds soni  $Re = 500 \div 10^6$  va nisbiy g‘adir-budurlik o‘zgarish

$\frac{k}{r_0} = \frac{1}{15} \div \frac{1}{500}$  sohasida o‘tkazilgan bo‘lib, undan quyidagi xulosani chiqarish mumkin:

1) har xil g‘adir-budurlikka ega bo‘lgan qurvurda laminar harakat qilayotgan ( $Re < 2300$  yoki  $lgRe < 3,36$ ) suyuqlik uchun topilgan nuqtalar

$\lambda = \frac{64}{Re}$  bo‘yicha qurilgan to‘g‘ri chiziq ustiga joylashadi, ya’ni qarshilik

koeffitsiyent  $\lambda$  laminar harakatda faqat  $Re$  soniga bog‘liq;

2) Re kritik soni qurvurning deyarli har xil g‘adir-budurlik qiymatiga bog‘liq bo‘lmaydi, chunki tajribada aniqlanishicha olingan to‘g‘ri chiziqdandan ajralishi taxminan  $Re_{k_1}$  sonidan boshlanadi;

3) turbulent harakat hududida ( $Re > 3000$  yoki  $lgRe > 3,48$ ) uncha katta bo‘Imagan Reynolds sonlarida va  $\frac{k}{r_0}$  lar uchun tajribadan olingan nuqtalar rasmida ko‘rsatilgan ikkinchi to‘g‘ri chiziqni ustiga joylashadi ( $3000 < Re < 30000$ ;  $\frac{k}{r_0} = \frac{1}{250}$ ). Demak, bu holatlar uchun ham  $\lambda$  faqat Reynolds soniga bog‘liq bo‘ladi;

4) katta Reynolds sonlari ( $Re > 30000$ ) va  $\frac{k}{r_0}$  lar uchun qarshilik koeffitsiyenti  $\lambda$  Reynolds soniga bog‘liq bo‘lmasdan, faqat nisbiy g‘adir-budurlikka bog‘liq, ya’ni tajribadan olingan  $\lambda = \frac{0,3164}{\sqrt[4]{Re}}$  ifoda bo‘yicha

qurilgan ikkinchi to'g'ri chiziqdan ajralib abssissa (Reynolds) o'qiga parallel bo'lib joylashadi.

Shunday qilib, turbulent harakat qilayotgan suyuqlik uchun topiladigan gidravlik qarshilikni uchta sohaga bo'lish mumkin:

1. Silliq gidravlik quvur sohasi:

$$\lambda = f(\text{Re}). \quad (4.49)$$

2.  $\lambda$  ni aniqlashda kvadratikgacha bo'lган soha:

$$\lambda = f\left(\text{Re}, \frac{k}{r_0}\right). \quad (4.50)$$

3. Kvadratik (avtomodel) soha, ya'ni:

$$\lambda = f\left(\frac{k}{r_0}\right). \quad (4.51)$$

Yuqorida aytildi bo'yicha I.I. Nikuradze tajribalari sun'iy tekis taqsimlangan g'adir-budur quvurlarda o'tkazilgan. Hayotda qo'llanadigan quvurlarning g'adir-budurligi esa tekis taqsimlangan bo'lmaydi. Shuning uchun sanoatda qo'llanadigan quvurning g'adir-budurligini tavsiflashda ekvivalent g'adir-budurlik tushunchasi kiritiladi. Ekvivalent g'adir-budurlik deb shunday tekis taqsimlangan absolut g'adir-budurlik o'lchamiga aytildiği, undagi hisob bo'yicha yo'qolgan dam haqiqiy quvurdagi yo'qolgan damga teng bo'ladi. Ekvivalent g'adir-budurlik qiymati quvurning gidravlik sinovi asosida hamda tegishli ifodalar bo'yicha hisoblab topiladi.

Tabiiy g'adir-budurlikka ega bo'lган quvur uchun qarshilik koeffitsiyenti  $\lambda$  ni topishda keng tarqagan ifodalardan biri — A.D. Altshul ifodasi qo'llaniladi:

$$\lambda = 0,11 \left( \frac{k_e}{d} + \frac{68}{\text{Re}} \right)^{0,25}. \quad (4.52)$$

Reynoldsning kichik qiymatlari uchun ( $\text{Re} < 10 \frac{d}{k_e}$ ) (4.52) ifoda boshqa ifoda — Blazius (4.48) ifodasiga o'tadi. Agar Reynolds sonlari juda katta bo'lsa ( $\text{Re} > 500 \frac{d}{k_e}$ ), unda (4.52) ifoda Shifrinson ifodasiga, ya'ni g'adir-budur bo'lган quvurlarda suyuqlikni harakati kvadratik sohaga tegishli ifodaga o'tadi:

$$\lambda = 0,11 \left( \frac{k_e}{d} \right)^{0,25}. \quad (4.53)$$

(4.52) ifoda ilmiy tomondan asoslangan bo'lib, hisoblash uchun qulay. Shuning uchun suyuqlikning turbulent harakatida qarshilik koeffitsiyentini  $\lambda$  ni topishda, issiqlik ta'minotida, ventilatsiyada va boshqa sohalarda qo'llash tavsiya etiladi.

#### 4.5-§. MAHALLIY QARSHILIKLAR

Mahalliy yo'qolgan dam Veysbax ifodasi orqali topiladi:

$$h_\mu = \zeta_\mu \frac{v^2}{2g}. \quad (4.54)$$

Bu ifodadan yo'qolgan damni aniqlash uchun, odatda, quvurda o'rnatilgan mahalliy qarshilikdan keyin oqayotgan suyuqlikning o'rtacha tezligi  $v_2$  dan foydalilanadi, ya'ni biz mahalliy qarshilikdan oldin suyuqlikning oqib kelayotgan tezligini  $v_1$  desak,  $v_2$  — qarshilikdan keyingi tezligi bo'ladi. Ko'pincha eslatish kitoblari (ma'lumotnomalar) larda keltirilgan mahalliy qarshiliklardagi koeffitsiyentlar  $\zeta$  tezlik  $v_2$  ga nisbatan berilgan bo'ladi. Ba'zi paytlarda qarshilik koeffitsiyenti  $\zeta$  ni  $\frac{v_1^2}{2g}$  damiga nisbatan, ya'ni mahalliy qarshilikdan oldingi harakat qilayotgan suyuqlikning tezligi  $v_1$  ga nisbatan olingan bo'ladi. Shuning uchun, eslatish kitobidan foydalanganda tezlikni mahalliy qarshilikdan oldin yoki keyin oorganiga e'tibor berish kerak.

$v_1$  va  $v_2$  tezliklar orqali mahalliy qarshilikdagi yo'qolgan dam quyidagicha hisoblanadi:

$$h_\mu = \zeta'_\mu \frac{v_1^2}{2g} = \zeta'_\mu \frac{v_2^2}{2g}; \quad (4.55)$$

$$\frac{\zeta'_\mu}{\zeta_\mu} = \frac{v_1^2}{v_2^2} = \frac{\omega_2^2}{\omega_1^2}, \quad (4.56)$$

bunda:  $\omega_1$  va  $\omega_2$  — kesmalarning mahalliy qarshilikdan oldin va undan keyin olingan yuzlari,  $m^2$ .

Gohida mahalliy qarshilikdagi yo‘qolgan dam o‘rniga ekvivalent bo‘lgan quvur uzunligi  $\lambda_e$  bo‘yicha topilgan dam bilan aniqlanadi. Ekvivalent uzunlik  $\lambda_e$  deb shunday quvur uzunligiga aytildiki, undagi harakat qilayotgan suyuqlikni  $\lambda_e$  yo‘l bo‘yicha yo‘qolgan dami quvurda o‘rnatilgan mahalliy qarshilikda, shu suyuqlik sarf bilan o‘tganda, topilgan yo‘qolgan damini tengligiga aytildi, ya’ni

$$\lambda \frac{l_e}{d} \frac{v^2}{2g} = \zeta \frac{v^2}{2g}, \quad \text{bundan} \quad \zeta = \frac{l_e \lambda}{d}. \quad (4.57)$$

Oddiy mahalliy qarshiliklarni uch xilga bo‘lish mumkin: quvurning kengaygan, toraygan va qayilgan joylari.

Oqimning keskin kengaygan (4.12-rasm) joyida turbulent harakat qilayotgan suyuqlikning yo‘qolgan damini yetarli darajada nazariy yo‘l bilan topish mumkin. D.Bernulli tenglamasi va kuchlar impulsi teoremasiga asosan quyidagi ifodani keltirib chiqarish mumkin:

$$h_{kk} = \frac{(v_1 - v_2)^2}{2g}, \quad (4.58)$$

ya’ni keskin kengaygan joydagi yo‘qolgan dam quvurning kichik diametridan katta diametrqa o‘tish paytda suyuqlikning yo‘qolgan tezlik damiga teng. (4.56) ifodani Veysbax (4.54) ko‘rinishda yozish uchun tezlik  $v_1$  ni qavsdan tashqariga chiqaramiz:

$$h_\mu = \left( 1 - \frac{v_2}{v_1} \right)^2 \frac{v_1^2}{2g} = \zeta_1 \frac{v_1^2}{2g}, \quad (4.59)$$

bunda

$$\zeta_1 = \left( 1 - \frac{v_2}{v_1} \right)^2.$$

Agar suyuqlikning uzlusiz tenglamasini hisobga olsak,

$$Q = \omega_1 v_1 = \omega_2 v_2,$$

$$\zeta_1 = \left( 1 - \frac{\omega_1}{\omega_2} \right)^2 = \left( 1 - \frac{d_1^2}{d_2^2} \right)^2. \quad (4.60)$$



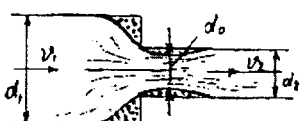
4.12-rasm.

(4.58) ifodada  $\frac{v_2^2}{2g}$  ni qavsdan tashqariga chiqarilsa,

$$h_\mu = \zeta_2 \frac{v_2^2}{2g} \quad (4.61)$$

ga ega bo'lamiz, bunda

$$\zeta_2 = \left( \frac{\omega_2}{\omega_1} - 1 \right)^2 = \left( \frac{d_2^2}{d_1^2} - 1 \right)^2. \quad (4.62)$$



4.13-rasm.

Oqim keskin toraygan joydan o'tganda (4.13-rasm) uning diametri quvur diametri  $d_2$  dan kichik bo'ladi. Toraygan joy oldida aylanma, halqasimon harakat hosil bo'ladi.

Tajribalardan ma'lumki, keskin toraygan joyda yo'qolgan dam, asosan, oqimning eng tor joyidagi  $d_0$  diametridan quvurning  $d_2$  diametriga o'tayotgan paytda, ya'ni oqimning eng tor joyidagi kesma  $\omega_0$  yuzidan quvurning  $\omega_2$  yuzasigacha kengaygan joyida hosil bo'ladi. Shuning uchun, qarshilik koefitsiyenti  $\zeta$  ni quyidagi ifodadan topish mumkin:

$$\zeta_2 = \left( \frac{\omega_2}{\omega_0} - 1 \right)^2. \quad (4.63)$$

Agar bu ifodaga torayish koefitsiyent  $\varepsilon = \frac{\omega_0}{\omega_2}$  ni kirlitsak,

$$\zeta_2 = \left( \frac{1}{\varepsilon} - 1 \right)^2 \quad (4.64)$$

bo'ladi.

Torayish koefitsiyenti  $\varepsilon$  bilan quvurlar yuzlari  $\omega_1$  va  $\omega_2$  ning nisbatlari orasidagi bog'lanishni N.E.Jukovskiy tomonidan nazariy yo'l bilan aniqlangan va quyidagi jadvalda keltirilgan:

4.1-jadval

$\frac{\omega_2}{\omega_1}$	0,01	0,1	0,2	0,3	0,4	0,5	0,6	0,7	0,8
$\varepsilon$	0,611	0,612	0,616	0,622	0,633	0,644	0,662	0,687	0,722

A malda qarshilik koefitsiyent  $\zeta$  ni topishda quyidagi empirik ifodadan foydalanish mumkin:

$$\zeta_2 = 0,5 \left( 1 - \frac{\omega_2}{\omega_0} \right). \quad (4.65)$$

Agar  $\omega_1 >> \omega_2$  (ancha katta) bo'lsa, unda  $\zeta = 0,5$  deb toraygan joyda yo'qolgan dam quyidagicha hisoblanadi:

$$h_{km} = 0,5 \frac{v_2^2}{2g}. \quad (4.66)$$

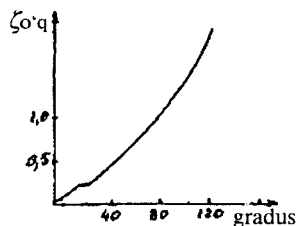
Quvurni qayrilgan joyidagi yo'qolgan dam

$$h_k = \zeta_k \frac{v_2^2}{2g} \quad (4.67)$$

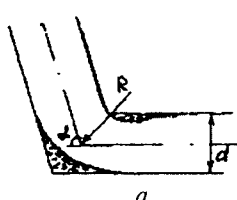
ga teng.

Agar quvur  $\alpha$  burchakga qayrilgan bo'lsa (4.15, a-rasm), qarshilik koefitsiyenti  $\zeta$  grafik (4.14-rasm) dan olinadi. Silliq qayrilgan quvurda (4.15, b-rasm) suyuqlikning aylanma harakati kamayishi hisobiga qarshilik koefitsiyenti kamayadi (o'tkir burchak ostida qayrilgan quvurlarga nisbatan). Bu kamayish quvurning nisbiy egrilik radiusiga bog'liq.  $\alpha$  burchak qancha katta bo'lsa, qarshilik koefitsiyenti shuncha kichik bo'ladi. Burchak  $\alpha = 90^\circ$  bo'lgan silliq, qayrilgan quvurda qarshilik koefitsiyenti  $\zeta$  ni quyidagi ifoda orqali topish mumkin:

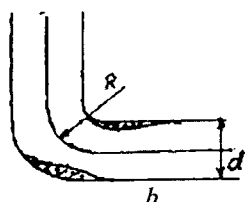
$$\zeta_{90^\circ} = \left[ 0,2 + 0,01(100\lambda)^8 \right] \sqrt{\frac{d}{R}}. \quad (4.68)$$

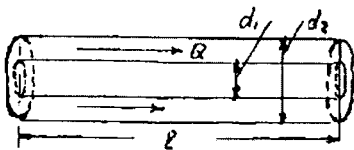


4.14-rasm.



4.15-rasm.





4.16-rasm.

4.2-misol. Halqasimor<sup>1</sup> kesmaga ega bo'lgan ikkita kontsentrik po'lat quvur orasida harorati  $t = 15^\circ C$  bo'lgan suv sarfi  $Q = 0,01 \text{ m}^3 / \text{s}$  oqmo qda. Ichki quvurning tashqi diametri  $d_1 = 100 \text{ mm}$ , tashqi quvurning ichki diametri  $d_2 = 100 \text{ mm}$ , quvurning uzunligi  $d_2 = l_2 = 200 \text{ m}$  (4.16-rasm). Shu quvurdə yo'qolgan damni toping. Quvurning g'adir-budurligi  $k = 0,15 \text{ mm}$ .

Yechish. Quvurning jonli kesim yuzi  $\omega$  ni topamiz.

$$\omega = \frac{\pi d_2^2}{4} - \frac{\pi d_1^2}{4} = \frac{\pi}{4} (d_2^2 - d_1^2) = \frac{3,14}{4} (0,15^2 - 0,1^2) = 0,0095 \text{ m}^2.$$

Quvurning namlangan perimetri  $\chi = 3,14 (0,1 + 0,15) = 0,785 \text{ m}$ , ekvivalent diametri  $d_e = 4 \cdot 0,0125 = 0,05 \text{ m}$ , gidravlik radiusi

$$R = \frac{\omega}{\chi} = \frac{0,0095}{0,785} = 0,0125 \text{ m}, \quad \text{suvning o'ratcha tezligi}$$

$$v = \frac{Q}{\omega} = \frac{0,01}{0,0095} = 1,02 \text{ m/s ga teng.}$$

Suvning harakat tartibini aniqlash uchun Reynolds soni ni topamiz. Buning uchun suvning harorati  $t = 15^\circ C$ -ga to'g'ri keladiga<sup>2</sup> jadvaldan yopishqoqlik kinematik koeffitsiyentini topamiz. Yopishqoqlik kinematik koeffitsiyenti  $\nu = 0,011 \text{ sm}^2/\text{s}$  bo'lsa,

$$Re = \frac{v \cdot d}{\nu} = \frac{1,02 \cdot (0,15 - 0,10)}{0,011 \cdot 10^{-4}} = 45946.$$

$Re > Re_{kr} = 2300$ , demak, turbulent harakatga egamiz. Gidravlik ishqalanish koeffitsiyentini quyidagicha hisoblaymiz:

$$\lambda = 0,11 \left( \frac{K_e}{d} + \frac{68}{Re} \right)^{0,25} = 0,11 \left( \frac{0,15 \cdot 10^{-3}}{0,05} + \frac{68}{45946} \right)^{0,25} = 0,028.$$

Endi yo'qolgan damni topamiz:

$$h_l = \lambda \cdot \frac{l}{d} \cdot \frac{v^2}{2g} = 0,028 \cdot \frac{200}{0,05} + \frac{1,02^2}{2 \cdot 9,8} = 5,9 \text{ m.}$$

4.3-misol. Diametri  $d=100$  mm ga teng bo'lgan quvurdan manzilga neft  $Q=10$  l/s sarfi bilan yetkazilib berilmoxda. Quvurdagi neft harorati  $t = 10^\circ C$  ga teng bo'lganda, harakat tartibi va kritik chegaraviy tezlikni toping.

**Yechish.** Quvurdagi harakat qilayotgan neftning o'rtacha tezligi:

$$v = \frac{Q}{\omega} = \frac{4 \cdot 0,01}{3,14 \cdot 0,1^2} = 1,275 \text{ m/s.}$$

Neftni  $10^\circ C$  ga to'g'ri keladigan yopishqoqlik kinematik koefitsiyenti:

$$v = 0,415 \cdot 10^{-4} \text{ m}^2/\text{s}.$$

Eindi Reynolds sonini topamiz:

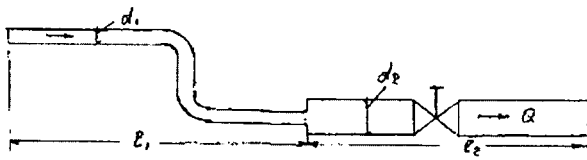
$$Re = \frac{v \cdot d}{\nu} = \frac{1,275 \cdot 0,1}{0,415 \cdot 10^{-4}} = 3070.$$

Topilgan Reynolds soni  $Re_{kr} = 2300$  dan katta bo'lganligi sababli, neftni ng harakati turbulent bo'ladi.

Agar kritik Reynolds soniga unga to'g'ri keladigan tezlikni topsak, uni *kritik* (laminar harakatdan turbulentga o'tish) *chegaraviy tezlik* deyiladi va u quiyi dagiga teng:

$$v_{kr} = \frac{Re_{kr} \cdot v}{d} = \frac{2300 \cdot 0,415 \cdot 10^{-4}}{0,1} = 0,95 \text{ m/s.}$$

4.4-misol. Diametrlari  $d_1 = 100$  mm,  $d_2 = 125$  mm va uzunliklari  $l_1 = 30$  m,  $l_2 = 20$  m bo'lgan quvurlar tizimida suv  $Q=0,008 \text{ m}^3/\text{s}$  sarfi bilan harakat qilmoqda. Quvurlar tizimida ikkita  $\alpha = 90^\circ$  ga burilgan joy (qarshilik koefitsiyenti  $\xi_{bj}=0,3$ ) keskin kengaygan va kran (qarshilik koefit siyent  $\xi_{kr}=3,0$ ) mahalliy qarshiliklar mavjud. Quvur tizimi bo'yicha harakat qilayotgan suvning yo'qolgan umumiy damini aniqlang. Birinchi va ikkinchi quvurlardagi ishqalanish koefitsiyent  $\lambda_1 = 0,03$ ;  $\lambda_2 = 0,028$ . Keskir kengaygan joydagisi yo'qolgan damni Borda ifodasidan toping.



4.17-rasm.

Yechish. Diametrlari  $d_1$  va  $d_2$  ga teng bo'lgan quvurlardan o'rtacha tezliklar quyidagi ifodalardan topiladi:

$$v_1 = \frac{Q}{\omega_1} = \frac{4Q}{\pi d_1^2} = \frac{4 \cdot 0,008}{3,14 \cdot 0,1^2} = 1,02 \text{ m/s};$$

$$v_2 = \frac{Q}{\omega_2} = \frac{4Q}{\pi d_2^2} = \frac{4 \cdot 0,008}{3,14 \cdot 0,125^2} = 0,65 \text{ m/s.}$$

Quvurlar tizimidagi umumiy yo'qolgan dam:

$$\begin{aligned}
 H &= \sum h_i + \sum h_{\mu j} = \lambda_1 \frac{l_1}{d_1} \frac{v_1^2}{2g} + \lambda_2 \frac{l_2}{d_2} \frac{v_2^2}{2g} + 2\xi_{bj} \frac{v_1^2}{2g} + \frac{(v_1 - v_2)^2}{2g} + 2\xi_{kr} \frac{v_2^2}{2g} = \\
 &= 0,03 \frac{30}{0,1} \cdot \frac{1,02^2}{2 \cdot 9,8} + 0,028 \frac{20}{0,125} \cdot \frac{0,0,65^2}{2 \cdot 9,8} + 2 \cdot 0,3 \frac{1,02^2}{2 \cdot 9,8} + \frac{(1,02 - 0,65)^2}{2 \cdot 9,8} + \\
 &+ 3 \cdot \frac{0,65^2}{2 \cdot 9,8} = 0,587 \text{ m.}
 \end{aligned}$$

## 5-bob. TESHIKCHA VA QO'NDIRG'ICHLARDAN SUYUQLIKNING OQIB CHIQISHI

Suyuqlikning teshikcha va qo'ndirg'ichlardan oqib chiqishini hayotda ko'plab kuzatish mumkin, masalan, devor teshikchasiidan oqib chiqishda, to'g'on tagidagi zatvor va shluzlardan oqib chiqishini, yong'in brandspoytlari, forsunkalap va boshqa qo'ndirg'ichlarda kuzatish mumkin. Suyuqlik teshikchadan va qo'ndirg'ichlardan oqib chiqayotganda uning tezligi va sarfini aniqlash asosilardan biri hisoblanadi.

### 5.1-\$. YUPQA DEVOR TESHIKCHADAN SUYUQLIKNING OQIB CHIQISHI

O'zgarmas  $H$  damga ega bo'lган idishning yupqa devoridagi dumaloq teshikchadan barqaror oqim oqib chiqishini ko'raylik (5.1-rasm). Teshik yupqa devorda deyiladi, agar uning qirrasi o'tkir bo'lib, oqib chiqayotgan suyuqlikka idish devorining qalinligi ta'sir etmasa.

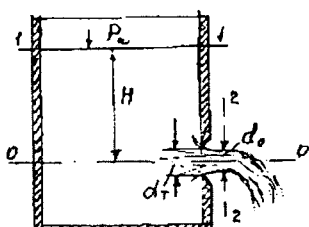
Idishdagi suyuqlik zarrachalari teshikka yaqinlashganda, ular o'z harakat yo'nalishini o'zgartiradi, oqimda markazdan qochma kuch hosil bo'ladi. Markazdan qochma va suyuqlikning og'irlik kuchlari ta'sirida oqim torayib chiqadi va uning  $d_0$  diametri teshikcha  $d_t$  diametriga nisbatan kichik bo'ladi. Eng tor joyda zarrachalar tok chiziqlariga parallel bo'ladi. Oqimning torayish darajasi torayish koeffitsiyenti  $\varepsilon$  bilan aniqlanadi:

$$\varepsilon = \frac{\omega_0}{\omega_t} = \left( \frac{d_0}{d_t} \right)^2. \quad (5.1)$$

Torayish koeffitsiyenti oqimning torayish xususiyatiga bog'liq bo'lib, to'la va to'liqsiz bo'lishi mumkin. Agar teshikcha idish devorlaridan yetarli

darajada uzoqda bo'lib, oqib chiqayotgan suyuqlikka ta'sir etmasa, oqim *to'la toraygan* deyiladi; agar idish devorlaridan biri teshikdan oqib chiqayotgan suyuqlikka ta'sir etsa, suyuqlik oqimi *to'la toraymagan* deyiladi. Oddiy hollarda katta idishning kichik teshikchasiidan chiqib ketayotgan suyuqlik *to'la toraygan* bo'lib, uning torayish koeffitsiyenti  $\varepsilon = 0,61 \div 0,63$  ga teng.

Teshikdan chiqayotgan suyuqlik tezligini aniqlash uchun idishdagi suv sathining kesmasi



5.1-rasm.

1-1 va idish teshigidan chiqayotgan suyuqlikning eng tor joydagi kesmasi 2-2 lar uchun D. Bernulli tenglamasini yozamiz. Taqqoslash tekisligi sifatida idish teshigi markazidan o'tgan tekislikni olib, 1-1 va 2-2 kesmalardagi tezliklar tekis harakatda, ya'ni  $\alpha_1 = \alpha_2 = 1,0$  deb qabul qilsak, D. Bernulli tenglamasi quyidagi ko'rinishga ega bo'ladi:

$$H + \frac{P_a}{\gamma} + \frac{v_1^2}{2g} = \frac{P_a}{\gamma} + \frac{v_2^2}{2g} + h_{f(1-2)}, \quad (5.2)$$

bunda:  $h_{f(1-2)}$  — mahalliy yo'qolgan dam; u Veysbax  $h_m = \zeta_m \frac{v^2}{2g}$  ifodasidan topiladi. Idish yuzi undagi teshikcha yuziga nisbatan juda katta bo'lgani uchun, 1-1 kesmadagi tezlik o'zgarishi juda kichik yoki  $v_1 = 0$  desak bo'ladi va Bernulli tenglamasi quyidagicha bo'ladi:

$$H = \frac{v_2^2}{2g} + \zeta \frac{v_2^2}{2g}. \quad (5.3)$$

(5.3) dan  $v_2$  tezlikni topish mumkin:

$$v_2 = \frac{1}{\sqrt{1 + \zeta}} \sqrt{2gH} \quad \text{yoki} \quad v_2 = \varphi \sqrt{2gH}, \quad (5.4)$$

bunda:  $\frac{1}{\sqrt{1 + \zeta}} = \varphi$  — tezlik koeffitsiyenti.

Teshikchadan ideal suyuqlik oqib chiqadigan bo'lsa, mahalliy qarshilik  $\zeta = 0$ , tezlik koeffitsiyenti  $\varphi = 1,0$  bo'ladi va (5.4) ifoda bizga fizikadan ma'lum bo'lgan Torrichelli nazarii ifodasiga aylanadi:

$$v_n = \sqrt{2gH}. \quad (5.5)$$

Agar (5.4) va (5.5) larni solishtirsak, tezlik koeffitsiyenti  $\varphi$  haqiqiy tezlikning nazariy yo'l bilan topilgan tezlikka nisbatiga teng bo'ladi:

$$\varphi = \frac{v_2}{v_n}.$$

Teshikdan oqib chiqayotgan suyuqlikning hajmiy sarfi haqiqiy tezlikning eng tor joydagi kesma yuziga bo'lgan ko'paytmasiga teng, ya'ni

$$Q = v_2 \cdot \omega_0. \quad (5.6)$$

(5.6) ga torayish koeffitsiyenti  $\varepsilon = \frac{\omega_0}{\omega_T}$  va tezlik  $v = \varphi \sqrt{2gH}$  larni qo'ysak,

$$Q = \varepsilon \varphi \omega_T \sqrt{2gH} \quad (5.7)$$

ga ega bo'lamiz.

Torayish koeffitsiyenti  $\varepsilon$  bilan tezlik  $\varphi$  ning ko'paytmasi sarf koeffitsiyenti  $\mu$  deb belgilanadi, ya'ni

$$\mu = \varepsilon \varphi. \quad (5.8)$$

Unda suyuqlik sarfi:

$$Q = \mu \cdot \omega_T \sqrt{2gH}. \quad (5.9)$$

$\omega_T \sqrt{2gH}$  ko'paytma nazariy suyuqlik sarfi  $Q_n$  ga teng. Tajribadan olingan suyuqlik sarfi  $Q$  ning nazariy sarf  $Q_n$  ga nisbatli koeffitsiyent  $\mu$  ni beradi:

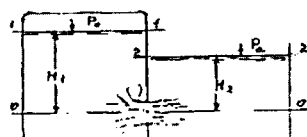
$$\mu = \frac{Q}{Q_n}. \quad (5.10)$$

$\varepsilon, \varphi, \zeta, \mu$  koeffitsiyentlar teshikchaning shakliga va Reynolds soniga bog'liq. Suyuqlik teshikchadan katta Reynolds soniga teng ( $Re > 105$ ) oqimda chiqib ketayotgan bo'lsa (hayotda tez uchrab turadigan hol), unga tegishli o'rtacha koeffitsiyentlar  $\varepsilon = 0,52 \div 0,63$ ;  $\varphi = 0,97 \div 0,98$ ;  $\mu = 0,61 \div 0,62$ ;  $\zeta = 0,06$  bo'ladi.

Agar usti berk idish teshikchasidan sathiga  $P_o$  bosim ta'sirida oqib chiqayotgan suyuqlik ikkinchi usti ochiq idishga tushsa (5.2-rasm), unda tezlik va suyuqlik sarfi quyidagi D.Bernulli tenglamasini qo'llash natijasida hosil qilingan ifodadan topiladi:

$$v = \varphi \sqrt{2g \left( \Delta H + \frac{P_o}{\gamma} - \frac{P_a}{\gamma} \right)}; \quad Q = \mu \omega_T \sqrt{2g \left( \Delta H + \frac{P_o}{\gamma} - \frac{P_a}{\gamma} \right)}.$$

Bunday holda  $\varepsilon, \varphi, \zeta, \mu$  koeffitsiyentlari son qiymat jihatidan juda kam o'zgarganligi uchun o'zlarini qoldirish mumkin. Shunday qilib, oqib chiqayotgan suyuqlik tezligi va sarfi teshikchaning joylashganiga bog'liq bo'lmasdan, balki suyuqlik sathiga ta'sir etayotgan bosimga va undan teshikkacha bo'lgan masofaga bog'liqidir (5.2-rasm).



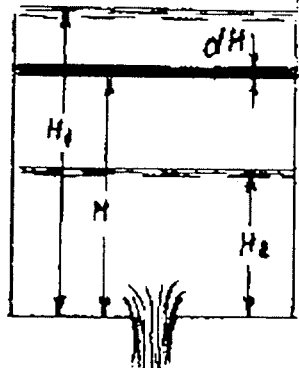
5.2-rasm.

## 5.2-§. IDISHDAGI SUYUQLIKNI YUPQA DEVORDAGI TESHIKCHADAN BO'SHATISH

Yuzi o'zgarmas  $\Omega = \text{const}$  bo'lgan prizmatik idishdagi suyuqlikni bo'shatish uchun uning asosida teshik hosil qilamiz (5.3-rasm).

Yuzi  $\omega_T$ , boshlang'ich dami  $H_1$ , oxirgisi esa  $H_2$  ga teng bo'lisin.

Idishdagi suyuqlikni  $H_1$  dan  $H_2$  gacha bo'shatishda sarflangan vaqtни aniqlaymiz. Idish teshigidan  $dt$  vaqt ichida  $dW$  suyuqlik oqib chiqadi:



5.3-rasm.

bunda:  $H$ — teshik markazidan suyuqlik sathigacha bo'lgan masofa (dami). Teshikchadan oqib chiqish hisobiga idishdagi suv chuqurligi kamayadi, ya'ni

$$dH = \frac{dW}{\Omega}. \quad (5.14)$$

Demak,

$$-dH \cdot \Omega = \mu \omega_T \sqrt{2gH} dt, \quad (5.15)$$

bu yerda idishdagi dam kamayishi hisobiga manfiy ishora qo'yilgan. Bu ifodadan:

$$dt = -\frac{dH \cdot \Omega}{\mu \omega_T \sqrt{2gH}}. \quad (5.16)$$

Endi (5.16) ni  $H_1$  dan  $H_2$  gacha integrallaymiz:

$$t = - \int_{H_1}^{H_2} \frac{\Omega dH}{\mu \omega_T \sqrt{2gH}} = \frac{2\Omega(\sqrt{H_1} - \sqrt{H_2})}{\mu \omega_T \sqrt{2g}}. \quad (5.17)$$

Idishdagi suyuqlikni to'la bo'shatishda  $H_2 = 0$  bo'lib, (5.17) ifoda quyidagicha ko'rinishga ega bo'ladi:

$$t = \frac{2\Omega \cdot \sqrt{H_1}}{\mu \omega_T \sqrt{2g}} \quad (5.18)$$

yoki

$$t = \frac{2\Omega \cdot H_1}{\mu\omega_T \sqrt{2gH_1}} = \frac{2W}{Q},$$

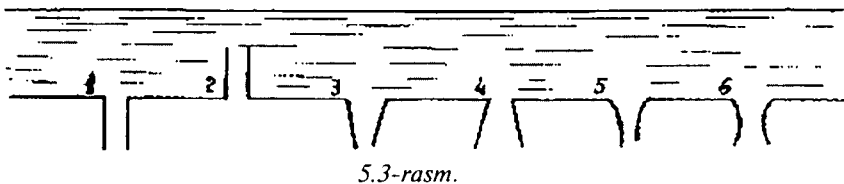
bunda:  $W$  — idishdagi suyuqlik hajmi;

$Q$  — idishdagi suyuqlik dami  $H_1$  ga teng bo'lgan holdagi suyuqlik sarfi.

Shunday qilib, idishdagi suyuqlik hajmi  $W$  ni teshikchadan bo'shatish uchun ketgan vaqt shu idishdagi dami  $H_1 = \text{const}$  bo'lganda  $W$  hajmning to'la chiqib ketishiga ketgan vaqtning ikki barobariga teng.

### 5.3-\$. IDISHDAGI SUYUQLIKNING QO'NDIRG'ICHLARDAN OQIB CHIQISHI

Idishdagi teshikchaga o'rnatilgan kalta  $l = (3 \div 4)d$  quvurga *qo'ndirg'ich* deyiladi. Amalda uchraydigan quyidagi qo'ndirg'ichlar mavjud (5.3-rasm).



5.3-rasm.

- |                                   |                                     |
|-----------------------------------|-------------------------------------|
| 1. Tashqi silindrik qo'ndirg'ich; | 2. Ichki silindrik qo'ndirg'ich;    |
| 3. Konik toraygan qo'ndirg'ich;   | 4. Konik kengaygan qo'ndirg'ich;    |
| 5. Konoidal qo'ndirg'ich;         | 6. Kombinatsiyalashgan qondirg'ich. |

Qo'ndirg'ichlarni qo'llashdan maqsad teshikchaga nisbatan suyuqlik sarfini oshirish va uzoq masofaga yetadigan kuchli oqimni hosil qilishdir. Yuqorida keltirilgan qo'ndirg'ichlarni ko'rib chiqamiz.

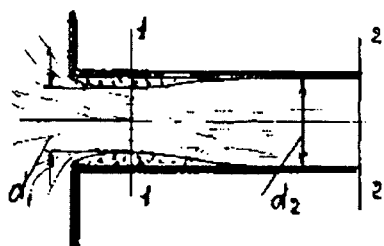
**1. Tashqi silindrik qo'ndirg'ich.** Bunday qo'ndirg'ich amalda tez-tez uchrab turadi. Uni hosil qilish uchun qalin devorga ega bo'lgan idish teshilsa bas. Shu tashqi silindrik qo'ndirg'ichdan suyuqlik oqib chiqayotganda, uni ikki hol ko'rinishda kuzatish mumkin: uzlusiz va uzlukli. Uzlusiz oqib chiqishda suyuqlik qo'ndirg'ichga kirishi bilan torayadi, keyin esa qo'ndirg'ichdan chiqishdan oldin kengayib quvur devorlariga tegib chiqadi. Oqimning diametri quvur diametriga teng bo'lib, torayish koeffitsiyenti

$\epsilon = 1,0$  da  $\mu = \epsilon \cdot \varphi = \varphi$  ga teng bo'ladi. Ko'p tajribalar o'tkazish natijasiga ko'ra suyuqlikning rivojlangan turbulent harakatida Reynolds sonlari  $Re > 105$  bo'lganda qarshilik koeffitsiyentlari quyidagi qiymatlarga ega bo'ladi:  $\mu = \varphi = 0,82$ ;  $\epsilon = 1,0$ ;  $\zeta = 0,5$ .

Teshikcha va tashqi silindrik qo'ndirg'ich uchun oqimning rivojlangan turbulent harakatida topilgan qarshilik koeffitsiyentlarini solishtiradigan bo'lsak, quyidagi xulosaga kelishimiz mumkin: Tashqi silindrik qo'ndirg'ichda suyuqlik sarfi 35% oshadi, tezlik esa 15% kamayadi. Bunday o'zgarishning fizik ma'nosi, qo'ndirg'ich devori bilan toraygan oqim orasidagi hosil bo'lgan bo'shliq (vakuum) va shu joyda oqim zarrachalarini halqasimon, aylanma sohasi paydo bo'lishidir. Suyuqlik tashqi silindrik qo'ndirg'ich ichida torayishi va undan chiqish oldidan kengayishi yo'qolgan damning ko'payishiga olib keladi. Bu esa tezlik kamayishiga sabab bo'ladi.

Toraygan joyda bo'shliq hosil bo'lishi hisobiga qo'ndirg'ich nasosga o'xshab ishlaydi, ya'ni idishdagi suyuqlikni tortib olishga harakat qiladi. Shuning uchun, bu qo'ndirg'ichda yo'qolgan dami ortsasida ham suyuqlik sarfi teshikchadan oqib chiqqanga nisbatan ko'p bo'ladi.

Qo'ndirg'ich ichida bo'shliq hosil bo'lishni ko'rish uchun D.Bernulli tenglamasini 1—1 va 2—2 kesmalarga qo'llaymiz ( $0—0$  taqqoslash tekisligiga nisbatan).



5.4-rasm.

1—1 kesma suyuqlikning eng toraygan joyidan, 2—2 kesma esa suyuqlikning qo'ndirg'ichdan chiqib ketayotgan joyidan olinadi (5. 4-rasm):

$$\frac{P_1}{\gamma} + \frac{v_1^2}{2g} = \frac{P_2}{\gamma} + \frac{v_2^2}{2g} + h_{f(1-2)}, \quad (5.19)$$

bunda:  $h_{f(1-2)}$  — 1-1 va 2-2 kesmalar orasidagi yo'qolgan dam. Bu  $h_{f(1-2)}$  ichiga quvur uzunligi va suyuqlik toraygan

joydan kengaygan joygacha bo'lgan yo'qolgan damlar kiradi. Uzunlik bo'yicha yo'qolgan dam juda kichik bo'lgani uchun, uni hisobga olmasa ham bo'ladi. Mahalliy yo'qolgan damni aniqlashda esa keskin toraygan joydan kengaygan joyga o'tishda Borda ifodasidan foydalansa bo'ladi:

$$h = \frac{(v_1 - v_2)^2}{2g}. \quad (5.20)$$

(5.20) ni (5.19) ifodaga qo'yamiz. Keyin o'zgarmas sarf tenglamasi  $Q = \omega_1 v_1 = \omega_2 v_2$  dan foydalanib,  $v_1$  tezlikni  $v_2$  tezlik bilan torayish  $\epsilon$  koeffitsiyenti orqali ifodalaymiz, ya'ni

$$v_1 = \frac{v_2 \cdot \omega_2}{\omega_1}, \quad \text{bunda} \quad \frac{\omega_1}{\omega_2} = \varepsilon.$$

Endi quyidagini yozishimiz mumkin:

$$\frac{P_1 - P_2}{\gamma} = \frac{v_2^2 - v_1^2}{2g} + \frac{(v_1 - v_2)^2}{2g} = \frac{v_2^2 - v_2^2 \left( \frac{\omega_2}{\omega_1} \right)^2}{2g} + \frac{\left( v_2 \frac{\omega_2}{\omega_1} - v_2 \right)^2}{2g};$$

$$P_1 - P_2 = \gamma \frac{v_2^2 \left( 1 - \frac{1}{\varepsilon^2} \right) + v_2^2 \left( \frac{1}{\varepsilon^2} - \frac{2}{\varepsilon} + 1 \right)}{2g}, \quad (5.21)$$

$$P_1 - P_2 = v_2^2 \cdot \gamma \frac{\left( 1 - \frac{1}{\varepsilon} \right)}{g}. \quad (5.22)$$

Bu yerda  $v$  tezlik o‘rniga  $\varphi\sqrt{2gH}$  ni qo‘ysak,

$$P_1 - P_2 = \varphi^2 \cdot 2gH\gamma \frac{\left( 1 - \frac{1}{\varepsilon} \right)}{g} \quad (5.23)$$

bo‘ladi va uning o‘ng va chap tomonlarini — 1 ga ko‘paytiramiz, natijada quyidagini hosil qilamiz:

$$P_2 - P_1 = \varphi^2 \cdot 2gH\gamma \left( \frac{1}{\varepsilon} - 1 \right). \quad (5.24)$$

Agar endi (5.24) ga  $\varphi = 0,82$  va  $\varepsilon = 0,62$  ni qo‘ysak,

$$P_2 - P_1 = 0,75\gamma H \quad (5.25)$$

bo‘ladi.

Suyuqlik qo‘ndirg‘ichdan atmosferaga chiqqanda  $P_2 = P_{atm}$  bo‘lib, qo‘ndirg‘ich ichida 1-1 kesmada bo‘sliq hosil bo‘ladi.  $H$  dami ko‘paygan sari bo‘sliq qiymati  $P_1$  0 ga yaqinlashib boradi,  $H$  kritik qiymatga yetganda esa qo‘ndirg‘ich ichidagi absolut bosim  $P_1$  taqriban nolga teng bo‘ladi: aniqrog‘i, bug‘langan zarrachalar bosimi  $P_p$  ga teng bo‘ladi va shuning uchun:

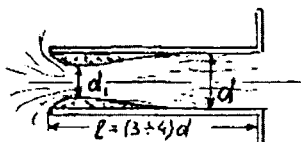
$$H = \frac{P_a}{0,75\gamma} . \quad (5.26)$$

Xususiy holda

$$H_{kr} = \frac{P_a}{0,75\gamma} = \frac{10^5}{0,75 \cdot 9790} \approx 14 \text{ m.}$$

Agar  $H > H_{kr}$  bo'lsa,  $P_1$  bosim manfiy qiymatga ega bo'lishi kerak, lekin manfiy bosim bo'limgani uchun, uzluksiz oqib chiqayotgan suyuqlik uzlukli oqimga aylanadi. Bunday uzlukli oqim qo'ndirg'ichni uzunligi  $1 < 2d_0$  bo'lganda ham kuzatiladi.

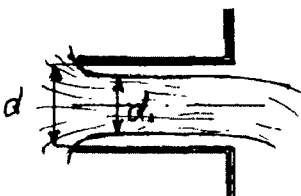
**2. Ichki silindrik qo'ndirg'ich** ham tashqi silindrik qo'ndirg'ichga o'xshab ishlaydi (5.5-rasm).



5.5-rasm.

Lekin suyuqlik qo'ndirg'ich ichiga kirganda ko'proq torayadi va sarf hamda tezlik koefitsiyentlari tashqi silindrik qo'ndirg'ichga nisbatan kichik, qarshilik va torayish koefitsiyentlari esa 1 ga teng bo'ladi:

$$\mu = \varphi = 0,71; \varepsilon = 1,0; \zeta = 1,0 .$$



5.6-rasm.

Qo'ndirg'ich uzunligi  $1 < 2d_0$  bo'lganda (5.6-rasm), oqim uzlukli harakatlanadi. Bu holda torayish va sarf koefitsiyenti yupqa devordagi teshikcha uchun topilgan koefitsiyentlarga nisbatan kichik bo'ladi:  $\varepsilon = 0,51, \zeta = 0,06$  .

Ko'pincha ichki silindrik qo'ndirg'ichni tashqi silindrik qo'ndirg'ichni qo'llash mumkin bo'limgan joyda ishlatiladi.

**3. Konussimon toraygan qo'ndirg'ich** (5.7-rasm) ga kirish joyida oqim torayishi tashqi silindrik qo'ndirg'ichga nisbatan kichikroq, yo'qolgan dam ham kamroq bo'ladi. Oqim tezligi qo'ndirg'ichdan chiqish joyida ancha katta bo'ladi. Qarshilik koefitsiyentlari konik toraygan qo'ndirg'ichda burchak konusligiga bog'liq. Optimal burchak konussimonligi  $13^\circ$  ni tashkil qildi va  $\varepsilon = 0,98; \varphi = 0,96; \mu = 0,945; \zeta = 0,07$  ga teng.

Bunday qo'ndirg'ichlar ko'pincha suyuqlikni uzoq masofaga yetkazish, katta tezlik hamda katta kuch zARBini hosil qilishda ishlatiladi. Masalan, aktiv gidroturbinalarda, yong'in o'chirish brandspoytlari, gidromonitor va boshqalarda qo'llaniladi.

**4. Konussimon kengaygan qo'ndirg'ich**  
 (5.8-rasm) larning kirish joyida suyuqlik ancha torayadi, keyin esa kengayib chiqishning butun yuzi bo'yicha oqib chiqadi. Shuning uchun torayish koeffitsiyenti  $\epsilon = 1,0$  bo'ladi.

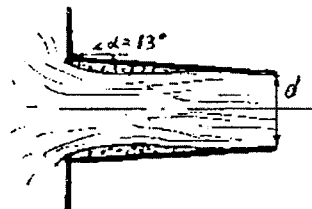
Suyuqlik toraygan joyda katta bo'shilq hosil bo'lib, u idishdagi suyuqliknari tortib olish qobiliyatiga ega. Tashqi silindrik qo'ndirg'ichga nisbatan suyuqlik sarfi oshadi. Yo'qolgan dam keskin kengaygan joyda ko'payadi. Qo'ndirg'ich ichi kengayishi hisobiga oqim tezligi kamayadi. Bu qo'ndirg'ichda ham qarshilik koeffitsiyentlar burchak konusligiga bog'liqdir. Qo'ndirg'ichning optimal konuslik burchagi  $\angle\alpha = 8^\circ$ . Bu holda suyuqliknining rivojlangan turbulent harakatida:  $\mu = \varphi = 0,45$ ;  $\zeta = 3 \div 4$ ;  $\epsilon = 1,0$ .

Keltirilgan koeffitsiyentlar suyuqliknining qo'ndirg'ichdan chiqishdagi katta yuziga nisbatan olingan. Bunday qo'ndirg'ichlar ko'pincha tezlik kamaytiriladigan joylarda, masalan, nasosga kirish patrubkalarda, gidroturbinalarda, surtdigan moyni ishlatalish uchun qo'llanadigan qo'ndirg'ichlar va boshqalarda qo'llaniladi.

**5. Konoid ko'rinishdagi qo'ndirg'ich suyuqliknining oqib chiqayotgan shakliga qarab tayyorlangan bo'ladi** (5.9-rasm). Qo'ndirg'ichning shakli undagi oqayotgan suyuqlik torayishini yo'q qiladi va dam yo'qolishini minimumga olib keladi. Bu qo'ndirg'ich uchun sarf va tezlik koeffitsiyentlari boshqa qo'ndirg'ichlarga nisbatan eng katta bo'ladi ( $\mu = \varphi = 0,97 \div 0,99$ ); shy bilan birga, u oqim tezligini ham eng katta, qarshilik koeffitsiyenti eng kichik ( $\zeta = 0,04$ ) va suyuqlik sarfi yupqa devordagi teshikchaga nisbatan 1,5 barobar ko'p bo'lishini ta'minlaydi. Bunday qo'ndirg'ichni tayyorlash qiyin bo'lgani uchun u kam uchraydi.

**6. Kombinatsiyalashgan qo'ndirg'ich** yoki Venturi quvuri konoidsimon qo'ndirg'ich va diffuzor kombinatsiyasidan tashkil topgan (5.10-rasm).

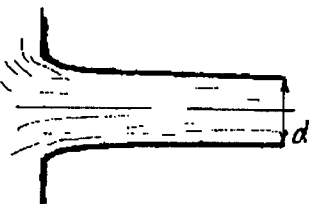
Diffuzorni konoidsimon qo'ndirg'ichga ulash natijasida toraygan joyidagi bosimning kamayishi suyuqlik sarfi ko'payishiga olib keladi. Agar bizga ikkita idish berilgan bo'lib, biriga kombinatsiyalashgan, ikkinchisiga



5.7-rasm.



5.8-rasm.



5.9-rasm.



5.10-rasm.

konoidsimon qo‘ndirg‘ichlar o‘rnatilgan bo‘lsa (konoidsimon qo‘ndirg‘ichning diametri kombinatsiyalashgan qo‘ndirg‘ichning toraygan joyidagi diametriga teng), unda bir xil dam ta’sirida kombinatsiyalashgan qo‘ndirg‘ichdan oqib chiqayotgan suyuqlik sarfi konoidsimon qo‘ndirg‘ichga nisbatan 2,5 barobargacha ko‘p bo‘ladi. Lekin bunday qo‘ndirg‘ichlarni idishda kichik damlar ( $H=1 \div 4$  m) bo‘lganida qo‘llash mumkin, aksincha,  $H > 4$  m da toraygan joyidagi bosim shunchalik kamayib ketishi mumkinki, unda kavitatsiya boshlanadi. Bu holda qarshilik koeffitsiyenti ko‘payib, suyuqlik o‘tkazish qobiliyati pasayib ketadi.

5.1-misol. Suyuqlikning harorati  $t = 20^\circ\text{C}$  va uning o‘zgarmas sathi  $H = 3\text{m}$  bo‘lgan idish uchun tashqi silindrik qo‘ndirg‘ich diametrini toping.

**Yechish.** Uzluksiz va turbulent suyuqlikning harakati uchun ( $\text{Re} > 10^5$ ) sarf koefitsiyentini deb  $\mu = 0,82$  olamiz. Suyuqlik sarfi ifodasi

$$Q = \mu \omega_0 \sqrt{2gH}$$

ni qo‘llab, qo‘ndirg‘ichning kesma yuzini topamiz:

$$\omega_0 = \frac{Q}{\mu \sqrt{2gH}} = \frac{2 \cdot 10^{-3}}{0,82 \sqrt{2 \cdot 9,8 \cdot 3}} = 3,2 \cdot 10^{-4} \text{ m}^2.$$

Bundan qo‘ndirg‘ich diametrini topamiz:

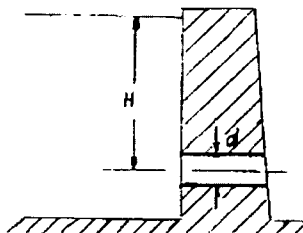
$$d_0 = \sqrt{\frac{4\omega_0}{\pi}} = \sqrt{\frac{4 \cdot 3,2 \cdot 10^{-4}}{3,14}} = 2 \cdot 10^{-2} \text{ m} = 20 \text{ mm}.$$

Suyuqlik oqimi rivojlangan turbulent harakatda ekanligini aniqlash uchun Reynolds soni hisoblanadi:

$$\text{Re} = \frac{\nu \cdot d_0}{v} = \frac{\sqrt{2gH} \cdot d_0}{v} = \frac{\sqrt{2 \cdot 9,8 \cdot 3} \cdot 2 \cdot 10^{-2}}{1 \cdot 10^{-6}} = 1,53 \cdot 10^5.$$

Demak, qo‘ndirg‘ich uchun olingan suyuqlik sarfi koeffitsiyenti  $\mu = 0,82$  to‘g‘ri olingan. Uzluksiz harakat qilish uchun qo‘ndirg‘ichning uzunligini  $l = 4 \cdot 20 = 80 \text{ mm}$  qilib olamiz.

5.2-misol. Betonli devor ichidan o‘tgan suv o‘tkazuvchi quvurdan o‘tadigan suv sarfi  $Q$  ni toping, bunda quvur o‘qidan kanaldagi suv



5.11-rasm.

sathigacha bo'lgan dam  $H = 9$  m, quvur diametri  $d = 1,0$  m va uzunligi  $l = 5,0$  m (5.11-rasm).

**Y e c h i s h.** Quvurdan oqayotgan suv sarfini

$Q = \mu \omega \sqrt{2gH}$  ifodadan topamiz. Sarf koeffitsiyenti  $\mu$  ni aniqlashda suv o'tkazuvchi quvur qanday ishlashini (qo'ndirg'ich, teshikcha yoki «kalta quvur»ga o'xshab) bilishimiz kerak. Quvur qo'ndirg'ichga o'xshab ishlashi uchun bir vaqt ichida ikkita shart bajarilishi kerak:

1. Quvur uzunligi  $4d \leq l \leq 6d$  bo'lishi kerak.
2. Qo'ndirg'ichdagi hosil bo'ladigan maksimal bo'shliq  $H_{vak}^{\max}$  chegaraviy bo'shliq (vakuum)  $H_{vak}^{cheg} = 8$  mm.s. ust. dan kichik bo'lishi kerak, ya'ni

$$H_{vak}^{\max} < H_{vak}^{cheg} = 8 \text{ mm. s.ust.}$$

Maksimal vakuumni  $H_{vak}^{\max} = 0,8 \cdot H$  ifodadan topsa bo'ladi, bunda  $H$  — suv dami. Bizni misolimizda 1-shart:  $4 \cdot 1 \leq 5 \leq 6 \cdot 1$  bajariladi.

2-shart:  $0,8 \cdot 9 = H_{vak}^{\max} < H_{vak}^{cheg} = 8$  mm.s.ust. ham bajariladi. Demak, quvurimiz tashqi silindrik qo'ndirg'ich shaklida ishlaydi. Unda sarf koeffitsiyentini  $\mu = 0,82$  deb olamiz. Suv sarfi quyidagiga teng:

$$Q = 0,82 \cdot \frac{3,14 \cdot 1^2}{4} \cdot \sqrt{2 \cdot 9,8 \cdot 9} = 8,55 \text{ m}^2 / \text{s.}$$

## 6-bob. QUVURLARDAGI SUYUQLIK HARAKATI

### 6.1-§. QUVURLAR TASNIFI

Quvurlar orqali suyuqlik, gaz va boshqa turli xil aralashmalarni bir joydan ikkinchisiga yetkazish katta ahamiyatga egadir. Suvli, gazli, neftli, bug'li quvurlarni *magistral* quvurlarga, ya'ni manbadan olingan suyuqlik uzoq masofadagi manzilga yetkazib beruvchi hamda *tarqalgan* quvurlarga, ya'ni suyuqliknini ishlatuvchilarga taqsimlab beruvchilarga ajratiladi. Bir chiziqda joylashgan quvurlarga *oddiy* quvur deyiladi. Asosiy magistral va unga ulangan yoki undan tarqalgan quvurlarga *murakkab* quvurlar deyiladi. Murakkab quvurlar o'z navbatida quyidagi asosiy ko'rinishlarga bo'linadi:

ketma-ket, parallel, oxiri berk, yo'l bo'yicha sarflanuvchi va halqasimon quvurlar.

Oddiy va murakkab quvurlarda juda ko'p mahalliy qarshiliklar mavjud bo'lishi mumkin. Bu quvurlarda umumiy yo'qolgan dam uzunlik va mahalliy qarshiliklarda yo'qolgan damlar yig'indisidan iborat. Mahalliy qarshiliklar va quvur butun uzunasi bo'yicha yo'qolgan damlar nisbatiga qarab quvur kalta yoki uzun deyiladi. Agar uzunasi bo'yicha yo'qolgan dam shu quvurdagi mahalliy qarshiliklardagi yo'qolgan damlar yig'indisiga nisbatan ancha katta bo'lsa, uzun quvur deyiladi, va aksincha, bir-biriga yaqin bo'lsa, kalta quvur deyiladi.

Quvurlar qanday xomashyodan tayyorlanganiga qarab temirli (po'lat, cho'yan, aluminiy, latunli va hokazo) va temirdan bo'Imagan (betonli, asbesttsegmentli, plastmassali, shishali va boshqa) larga, ishlatalish joyiga qarab esa magistralli, shaharli, korxonali, zavodli, fabrikalilarga bo'linadi. O'tkaziladigan mahsulotga qarab ular suv, neft, benzin, yog', gaz, bug' o'tkazuvchilarga ajratiladi. Qanday xomashyodan tayyorlanganiga ko'ra quvurning ichki devorlarining g'adir-budurligi va qarshilik koefitsiyenti har xil bo'ladi va uni maxsus eslatma kitoblardan ko'rish mumkin.

Quvur boshidagi energiya oxiridagiga qaraganda katta bo'Igani uchun suyuqlik harakatda bo'ladi. Quvur boshidagi energiya ortig'i (zaxira)ni turli yo'l — nasos ishlatalish, rezervuarlardagi suyuqlik sathlarini farqi hamda gaz bosimi bilan hosil qilish mumkin.

## 6.2-\$. UZUN QUVURNI GIDRAVLIK HISOBBLASH

Oddiy uzun quvurni ko'raylik. Suyuqlik sarfi va diametri o'zgarmas damli quvurdagi harakat tekis va taqsimlangan bo'ladi. Undagi uzunlik bo'yicha yo'qolgan dam Veysbax — Darsi ifodasi bilan aniqlanadi:

$$h_l = \lambda \frac{l}{d} \frac{v^2}{2g}, \quad (6.1)$$

bunda:  $l$  — umumiy holda ikkita kattalik  $Re$  ga,  $\frac{k}{d}$  ga bog'liq bo'ladi. Agar (6.1) ifodadagi  $v$  ni o'rnini  $Q$  bilan almashtirsak, unda

$$v = \frac{4Q}{\pi d^2}; \quad (6.2)$$

$$h_l = \lambda \frac{l}{d} \frac{16Q^2}{\pi^2 d^4 2g} = \frac{16\lambda}{2g\pi^2 d^5} l Q^2, \quad h_f = A l Q^2, \quad (6.3)$$

bunda:  $\frac{16\lambda}{2g\pi^2 d^5} = A$  — quvurning solishtirma qarshiligi deyiladi.

Agar quvurdagi harakat qilayotgan suyuqlik uchun hisoblangan Reynolds soni  $Re > 10^5$  bo'lsa, quvurning solishtirma qarshiligi  $A$  faqat uning ichki devorining g'adir-budurligiga va diametriga bog'liq. Bunday hol uchun eslatma kitoblarda  $A$  ning qiymatlari berilgan. Eslatma kitoblardagi jadvaldan foydalanib, quvurni gidravlik hisoblash ishlarni kamaytirish va tezlatish mumkin. Misol tariqasida uzoq vaqt davomida ishlatalgan quvurlar uchun qarshilikning kvadratik sohasiga tegishli solishtirma qarshilik  $A$  ning qiymatlari (6.1-jadval) da berilgan.

### 6.1-jadval

**Uzoq vaqt davomida ishlatalgan po'lat va cho'yan quvurlardagi suyuqlik harakati  $v \geq 1,2 \text{ m/s}$  uchun  $A$  ning topilgan qiymatlari**

$d$ , mm	$A$ , $\text{s}/\text{sm}^6$ quvurlar		$d$ , mm	$A$ , $\text{s}/\text{sm}^6$ quvurlar	
	po'lat	cho'yan		po'lat	cho'yan
75	—	1709	350	0,41	0,46
60	1168	—	400	0,206	0,233
100	267	368	450	0,109	0,119
125	106	111	500	0,062	0,068
150	45	41.8	600	0,024	0,026
200	9.27	9.03	800	0,00566	0,00567

Quvurdagi suyuqlik tezligi  $v < 1,2 \text{ m/s}$  bo'lib, kvadratik sohagacha bo'lsa, solishtirma qarshiligi  $A$  quyidagi ifodadan topiladi:

$$A_0 = A \cdot K_t, \quad (6.4)$$

bunda:  $K_t$  — tuzatma koefitsiyent; u ishqalanish gidravlik koefitsiyenti  $\lambda$  ni Reynolds soniga bog'liqligini hisobga oladi.

### 6.2-jadval

**Po'lat va cho'yan quvurlar uchun  $K_t$  tuzatish koefitsiyenti**

$v$ , m/s	0,2	0,3	0,4	0,5	0,6	0,7	0,8	0,9	1,0	1,1
$K_t$	1,41	1,28	1,20	1,15	1,115	1,085	1,06	1,04	1,03	1,015

Quvurlarni gidravlik hisoblashda solishtirma qarshilik  $A$  dan tashqari boshqa umumlashgan parametrlar: sarf moduli  $K = \frac{1}{\sqrt{A}}$ , quvur qarshiligi  $S = Al$  va quvur o'tkazuvchanligi  $P = \frac{1}{\sqrt{S}} = \frac{1}{\sqrt{Al}}$  qo'llaniladi. Agar quvurdagi yo'qolgan damni shu parametrlar orqali ifodalasak, u quyidagiga teng bo'ladi:

$$h_l = AlQ^2 = SQ^2 = \frac{lQ^2}{K^2} = \frac{Q^2}{P^2}. \quad (6.5)$$

$S, K, P$  parametrlar uchun ham eslatma kitoblarda jadvallar keltirilgan.

### 6.3-§. ODDIY QUVURNI GIDRAVLIK HISOBLASH

Bunday quvurlarni hisoblashdan oldin eslatib o'tamizki, uzun bo'lган quvurda mahalliy qarshiliklardagi yo'qolgan dam uzunlik bo'yicha yo'qolgan damdan ancha kichik bo'lGANI uchun hisobga olinmaydi. Undan tashqari, tezlik dami  $\frac{v^2}{2g}$  yo'qolgan damga nisbatan kichik bo'lGANligi uchun uni ham hisobga olmasak bo'ladi. Unda pyezometr chizig'i bilan to'la dam chizig'i ustma-ust tushadi.

Endi suyuqlikni bir idishdan quvurlar orqali ikkinchi idishga oqib o'tganini ko'raylik (6.1-rasm). Ikkinci idishga oqib o'tayotgan suyuqlik sarfini topamiz. Buning uchun taqqoslash tekisligi 0-0 ga nisbatan tizimning eng chekki kesmalarini  $a-a$ , va  $b-b$  larga tegishli D.Bernulli tenglamasini tuzamiz:

$$z_a + \frac{P_a}{\gamma} + \frac{\alpha_a v_a^2}{2g} = z_b + \frac{P_b}{\gamma} + \frac{\alpha_b v_b^2}{2g} + h_{f(a-b)}. \quad (6.6)$$

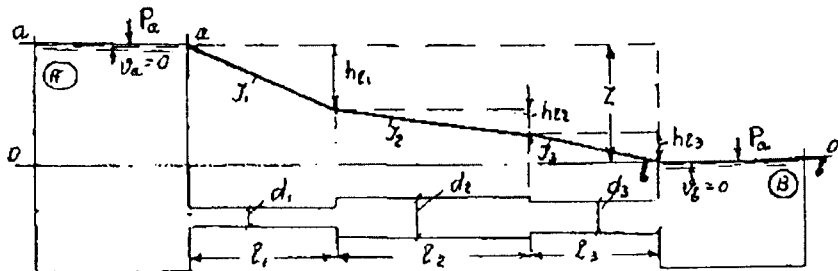
Har bir had nimaga tengligini topamiz:

$$z_a = z, \quad v_a = 0, \quad P_a = P_b = P_{atm}, \quad z_b = 0, \quad \alpha_a = \alpha_b = 1,0,$$

bunda:  $z$  — idishlardagi suyuqlik sathlarining farqi;

$$h_{f(a-b)} = h_{l_1} + h_{l_2} + h_{l_3} — quvurlardagi yo'qolgan damlarning yig'indisi.$$

Quvurlarni uzun deb faraz qilsak, yo'qolgan dam sarf moduli orqali quyidagicha hisoblanadi:



6. I-rasm.

$$h_i = \frac{l_i Q^2}{K_i^2}. \quad (6.7)$$

Umda

$$h_f = \frac{l_1 Q^2}{K_1^2} + \frac{l_2 Q^2}{K_2^2} + \frac{l_3 Q^2}{K_3^2}, \quad (6.8)$$

bunda:  $K_1, K_2, K_3$  — sarf modullari, ular quvur diametriga bog'liq;

$l_1, l_2, l_3$  — quvurlarning uzunligi;  $Q$  — quvurlar uchun umumiyl suyuqlik sarfi.

Agar (6.8) ifodadan  $Q^2$  ni qavsdan tashqari chiqarsak,

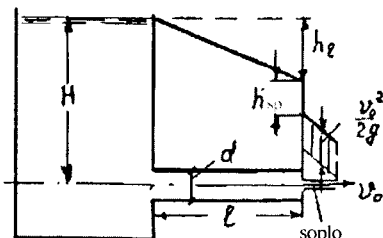
$$Z = Q^2 \sum_{i=1}^n \frac{l_i}{K_i^2} \quad (6.9)$$

bo'lib

$$Q = \sqrt{\frac{Z}{\sum \frac{l_i}{K_i^2}}}. \quad (6.10)$$

(6. 10) ifoda yordamida har xil masalalarni yechish mumkin. Masalan, yo'qol gan dam  $h_f = Z$  ni va quvurlarning  $l_i, d_i$  larni bilib,  $Q$  ni topish mumkin yoki  $Q, l_i, K_i$  larni bilib,  $Z$  ni topish mumkin va hokazo.

## 6.4-§. IDISHDAGI SUYUQLIKNING ATMOSFERAGA OQIB CHIQISHI



6.2-rasm.

Bunday hollarda quvur tuzun bo'lsa ham chiqib ketayotgan joyidagi mahalliy qarshilikni hisobga olish kerak, chunki tezlik soplo (6.2-rasm) dan chiqishda juda katta bo'lishi mumkin (yuzi juda kichik bo'lgani hisobiga). Shuning uchun D. Bernulli tenglamasini quyidagicha yozish mumkin:

$$H = h_l + h_{sp} + \frac{v_0^2}{2g}. \quad (6.11)$$

Soploda mahalliy qarshilikdagi yo'qolgan damni Veysbax ifodasidan aniqlanadi:

$$h_{sp} = \zeta_{sp} \frac{v_0^2}{2g}. \quad (6.12)$$

(6.12) ni ifoda (6.11) ga qo'ysak,

$$H = h_l + \left(1 + \zeta_{sp}\right) \frac{v_0^2}{2g} \text{ yoki } H = h_l + \frac{v_0^2}{2g\mu_{sp}^2}, \quad (6.13)$$

bunda:  $\mu_{sp} = \frac{1}{\sqrt{1 + \zeta_{sp}}}.$

(6.13) ni quyidagicha ham yozish mumkin:

$$H = \frac{Q^2}{K^2} l + \frac{Q^2}{\mu_{sp}^2 \cdot \omega_0^2 \cdot 2g}. \quad (6.14)$$

Agar soplo berilgan bo'lsa, uning yuzi  $\omega_0$  va  $\mu_{sp}$  ma'lum esa bo'ladi. (6.14) formuladan foydalanib, quyidagi masalalarni yechish mumkin:

1) quvurda  $d$ ,  $l$  va unda oqayotgan suyuqlik sarfi  $Q$  berilgan bo'lsa, idishdagi suyuqlik daminni aniqlash kerak;

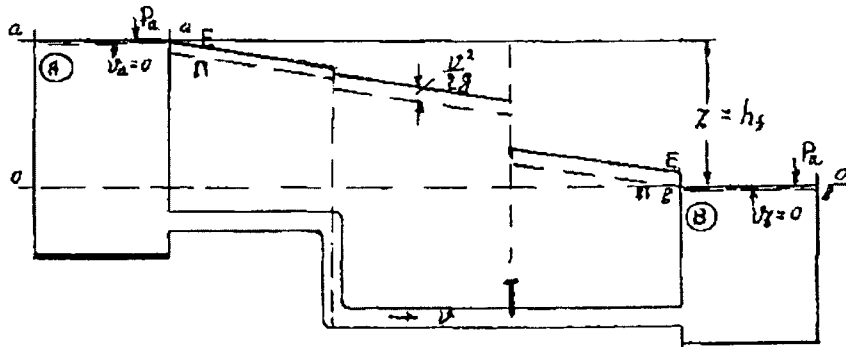
2) quvurning  $d$ ,  $l$ ,  $H$  lari berilgan.  $Q$  ni topish kerak;

3) berilganlar  $Q$ ,  $H$ ,  $l$  bo'lsa,  $d$  ni topish kerak. Buning uchun biz oldin suyuqlik sarf modulini topamiz va eslatma kitobidan tunga tegishli bo'lgan diametrni aniqlaymiz.

Agar quvurning oxirida soplo bo'lmasa, unda damning tezligini hisobga olmasa ham bo'ladi. Bu holda masala yana ham soddalashadi.

### 6.5-§. KALTA QUVURLAR

Gidravlik hisoblashni suyuqlik bir idishdan ikkinchi idishdagi suyuqlik ostiga oqib chiqish misolida ko'raylik (6.3-rasm).



6.3-rasm.

Ikkita  $A$  va  $B$  idish bir-biri bilan quvur orqali bog'langan bo'lib, undagi harakat tezligi vaqtga nisbatan o'zgarmas va barqaror bo'lsin. Suyuqlik sarfini topamiz. Buning uchun 0-0 taqqoslash tekisligiga nisbatan eng chetki 1-1 va 2-2 kesmalar uchun D. Bernulli tenglamasini yozamiz:

$$z_a + \frac{P_a}{\gamma} + \frac{\alpha_a v_a^2}{2g} = z_b + \frac{P_b}{\gamma} + \frac{\alpha_b v_b^2}{2g} + h_{f(a-b)},$$

bunda:  $z_a = z$ ,  $v_a = 0$ ,  $v_b = 0$ ,  $P_a = P_b = P_{atm}$ ,  $z_2 = 0$ ,  $\alpha_a = \alpha_b = 1,0$  va D. Bernulli tenglamasi quyidagi ko'rinishga ega bo'ladi:

$$Z = h_f. \quad 6.15$$

Demak, suyuqlik ikkinchi idishdagi suvning ostiga oqib chiqqanda, yo'qolgan dam  $h_f$  shu idishlardagi suv sathlarining ayirmasiga teng ekan:

$$H = \zeta_f \frac{v_1^2}{2g}, \quad 6.16$$

bunda:  $\zeta_f = A - B$  idishlar orasidagi quvurning umumiy qarshilik koeffitsiyenti.

(6. 16) dan:

$$v = \frac{1}{\sqrt{\zeta_f}} \cdot \sqrt{2gZ} . \quad (6.17)$$

Suyuqlik sarfi  $Q = \omega v$  ga teng. U holda

$$Q = \frac{\pi d^2}{4} \cdot \frac{1}{\sqrt{\zeta_f}} \cdot \sqrt{2gZ} . \quad (6.18)$$

Agar suyuqlik quvur orqali atmosferaga chiqib ketayotgan bo'lsa,

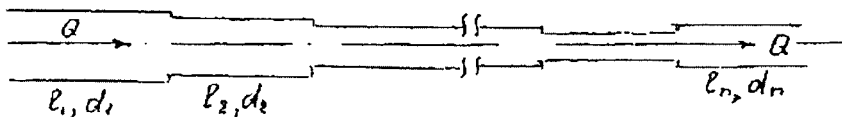
$$H = h_f + \frac{v^2}{2g} = \zeta_f \frac{v^2}{2g} + \frac{v^2}{2g} = (1 + \zeta_f) \frac{v^2}{2g} \quad (6.19)$$

bo'ladi. Demak, birinchi idish ichidagi suvning  $H$  dami quvurdagi yo'qolgan damlarni yengishga va tezlik damini hosil qilishga sarflanadi.

## 6.6-§. MURAKKAB QUVURLAR

Murakkab quvurlardan ketma-ket va parallel ulangan, oxiri berk va halqasimonlarini ko'rib chiqamiz.

**1. Ketma-ket ulangan quvur.** Bir chiziq bo'yicha ketma-ket joylashgan har xil diametrga ega bo'lgan quvurlarni ko'rib chiqaylik (6.4-rasm).



6.4-rasm.

Bunday quvurlarda harakat qilayotgan suv sarfi bir xil, ya'ni  $Q$  ga teng bo'ladi:

$$Q = Q_1 = Q_2 = Q_3 = \dots = Q_n . \quad (6.20)$$

Umumiy yo'qolgan dam esa har bir quvurdagi yo'qolgan damlar yig'indisiga teng:

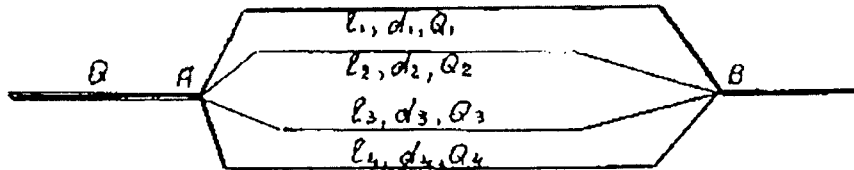
$$H = H_1 + H_2 + H_3 + \dots + H_n . \quad (6.21)$$

Agar endi  $H = \frac{IQ^2}{K^2}$  ni ifoda (6.21)ga qo'ysak, ushbuga ega bo'lamiz:

$$H = Q^2 \left( \frac{l_1}{K_1^2} + \frac{l_2}{K_2^2} + \frac{l_3}{K_3^2} + \dots + \frac{l_n}{K_n^2} \right). \quad (6.22)$$

(6.22) ifodadan foydalanim uchta turli masalani ko'rish mumkin. Birinchi masalada  $Q, l_i, K_i$  lar berilgan bo'lib,  $H$  ni topish kerak. Ikkinci masalada  $Q, l_i, K_i$  lar berilgan bo'lib,  $Q$  ni topish kerak. Uchinchi masalada  $H, Q, l_i$  lar berilgan bo'lib, sarf modullari  $K_i$  larni topish kerak. Quvurlar diametri  $d_i$  larni topishda noma'lumlar soni  $K_i$  lar tenglama soniga nisbatan ko'p bo'lganligi uchun noaniqlikka olib keladi va u yechimga ega bo'lmaydi.

**2. Parallel ulangan quvurlarda suyuqlik**  $A$  nuqtaga kelib parallel quvurlar bo'yicha tarqalib ketadi, keyin  $B$  nuqtada yig'ilib o'z harakatini umumiyl quvurda davom ettiradi (6.5-rasm). Bunday quvurlarni hisoblashda asosiy masalalardan biri parallel quvurlardagi suyuqliklar sarfi  $Q_1, Q_2, \dots, Q_n$  larni topish va yo'qolgan damlarni aniqlashdir.



6.5-rasm.

Yo'qolgan dam har bir parallel ulangan quvurda bir xil bo'ladi, chunki ular  $A$  va  $B$  nuqtalarda yana birlashadi va oralarida faqat bitta yo'qolgan dam bo'lishi mumkin. Undan tashqari, har bir quvurdagi suyuqlik sarflarining yig'indilari umumiyl  $A$  nuqtagacha va  $B$  nuqtadan keyingi magistral quvurdagi suyuqlik sarfiga teng:

$$Q = Q_1 + Q_2 + Q_3 + \dots + Q_n; \quad (6.23)$$

$$H = H_1 = H_2 = H_3 = \dots = H_n. \quad (6.24)$$

Agar  $H = \frac{IQ^2}{K^2}$  ifodani qo'llasak, unda har bir parallel ulangan quvurlardagi yo'qolgan damlarni quyidagicha yozish mumkin:

$$H_1 = \frac{l_1 Q_1^2}{K_1^2}, H_2 = \frac{l_2 Q_2^2}{K_2^2}, H_3 = \frac{l_3 Q_3^2}{K_3^2}, \dots, H_n = \frac{l_n Q_n^2}{K_n^2}. \quad (6.25)$$

(6.24) va (6.25) ifodalardan foydalaniб, har bir parallel ulangan quvurlarda oqayotgan suyuqlik sarflarini birinchi quvurda oqayotgan suyuqlik sarfi bilan ifodalasa bo‘ladi, ya’ni

$$\frac{l_1 Q_1^2}{K_1^2} = \frac{l_2 Q_2^2}{K_2^2} \text{ dan: } Q_2 = Q_1 \sqrt{\frac{l_1}{l_2} \frac{K_2^2}{K_1^2}} = Q_1 \frac{K_2}{K_1} \sqrt{\frac{l_1}{l_2}}, \quad (6.26)$$

$$\frac{l_1 Q_1^2}{K_1^2} = \frac{l_3 Q_3^2}{K_3^2} \text{ dan: } Q_3 = Q_1 \frac{K_3}{K_1} \sqrt{\frac{l_1}{l_3}}; \quad (6.27)$$

$$\frac{l_1 Q_1^2}{K_1^2} = \frac{l_4 Q_4^2}{K_4^2} \text{ dan: } Q_4 = Q_1 \frac{K_4}{K_1} \sqrt{\frac{l_1}{l_4}}; \quad (6.28)$$

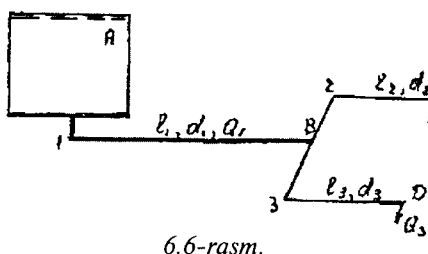
$$\frac{l_1 Q_1^2}{K_1^2} = \frac{l_n Q_n^2}{K_n^2} \text{ dan: } Q_n = Q_1 \frac{K_n}{K_1} \sqrt{\frac{l_1}{l_n}}. \quad (6.29)$$

Agar topilgan Q larni (6.23) ga qo‘ysak, unda

$$Q = Q_1 + Q_1 \frac{K_1}{K_2} \sqrt{\frac{l_1}{l_2}} + Q_1 \frac{K_3}{K_1} \sqrt{\frac{l_1}{l_3}} + \dots + Q_1 \frac{K_n}{K_1} \sqrt{\frac{l_1}{l_n}}. \quad (6.30)$$

Bu (6.30) ifodadan  $Q_1$  suyuqlik sarfini topish mumkin bo‘ladi.

Endi  $Q_1$  dan foydalaniб, (6.26—6.29) ifodalar dan qolgan quvurlardagi suyuqlik sarflarini topib olish mumkin. Parallel quvurlardagi yo‘qolgan damlarga kelganda, (6.25) ifodaning biri bo‘yicha aniqlab olinadi. Bu yo‘qolgan dam har bir quvur uchun taalluqlidir.



**3. Oxiri berk quvurlar A** rezervuардан та’mинловчи магистрал 1-quvur va undan chiqqan 2- va 3- quvurlarning oxirida suyuqlik sarfi  $Q_2$  va  $Q_3$  ga teng bo‘lgan tizimni ko‘raylik. Bunday tizim (6.6-rasm) ni ko‘rganda

asosiy masala bo'lib shu  $Q_2$  va  $Q_3$  larni berilgan boshlang'ich dam  $H$  orqali topish yoki shu  $H$  damni quvurlar oxiridagi berilgan suyuqlik sarflari  $Q_2$  va  $Q_3$  orqali topishdir. Chizmadan ko'rinish turibdiki 1- va 2-quvurlar bir-biri bilan ketma-ket ulangan. Bu 1- va 3-quvurlarga ham tegishlidir:

$$H = H_1 + H_2, \quad H = H_1 + H_3.$$

Agar endi  $H = \frac{lQ^2}{K^2}$  ifodani inobatga olsak, yuqoridagi tenglamalarni quyidagicha yozish mumkin:

$$H = \frac{l_1 Q_1^2}{K_1^2} + \frac{l_2 Q_2^2}{K_2^2}; \quad (6.31)$$

$$H = \frac{l_1 Q_1^2}{K_1^2} + \frac{l_3 Q_3^2}{K_3^2}. \quad (6.32)$$

(6.31) ifoda bilan (6.32) ni tenglashtirsak,

$$\frac{l_2 Q_2^2}{K_2^2} = \frac{l_3 Q_3^2}{K_3^2} \quad (6.33)$$

bo'ladi.

Tarqalgan 2- va 3-quvurlarning oxirgi nuqta  $C$  va  $D$  lardan suyuqlik sarfi  $Q_2$  va  $Q_3$  lar atmosferaga oqib chiqishi va umumiy  $B$  boshlang'ich nuqtaga ega bo'lganligi uchun bu quvurlarni parallel ulangan desa bo'ladi:

$$Q_1 = Q_2 + Q_3. \quad (6.34)$$

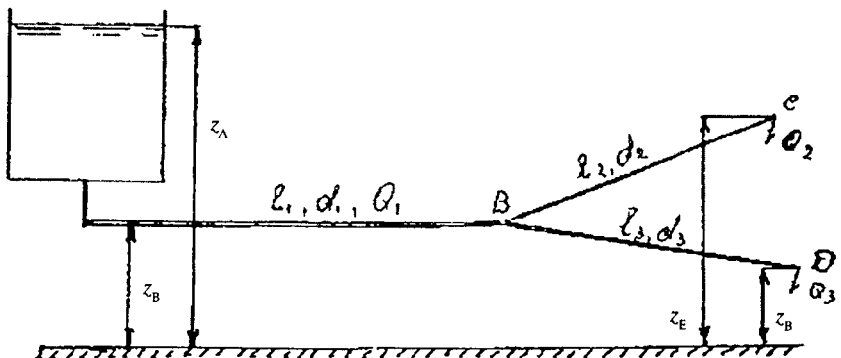
6.33) dan:

$$Q_3 = Q_2 \frac{K_3}{K_2} \sqrt{\frac{l_2}{l_3}}. \quad (6.35)$$

Agar endi  $Q_3$  ni (6.34) ifodaga qo'ysak,  $Q_1$  kelib chiqadi:

$$Q_1 = Q_2 \left( 1 + \frac{K_3}{K_2} \sqrt{\frac{l_2}{l_3}} \right). \quad (6.36)$$

(6.36) ifodani (6.31) ga qo'ysak, berilgan  $H$  dam orqali  $Q_2$  ni topib olish mumkin, (6.35) ifodadan  $Q_3$  suyuqlik sarfi topiladi.



6.7-rasm.

Agar  $C$  va  $D$  nuqtalar har xil gorizontal tekisliklarda yotgan bo'lsa (6.7-rasm), tenglama quyidagicha yoziladi:

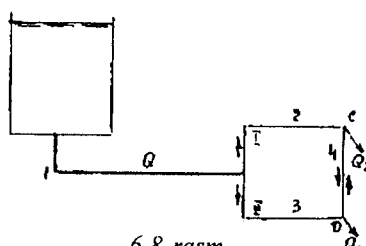
$$z_A - z_C = \frac{l_1 Q_1^2}{K_1^2} + \frac{l_2 Q_2^2}{K_2^2}; \quad (6.37)$$

$$z_A - z_D = \frac{l_1 Q_1^2}{K_1^2} + \frac{l_3 Q_3^2}{K_3^2}. \quad (6.38)$$

Bu ifodalardan  $z_A - \frac{l_1 Q_1^2}{K_1^2}$  ni topib ularni bir-biriga tenglashtiramiz:

$$z_C + \frac{l_2 Q_2^2}{K_2^2} = z_D + \frac{l_3 Q_3^2}{K_3^2}. \quad (6.39)$$

Undan tashqari,  $Q_1 = Q_2 + Q_3$ . Bu tenglamalarni yuqorida ko'rsatilgan yo'l bilan yechilsa, tarqalgan quvurlar oxiridagi chiqib ketayotgan suyuqlik sarflarini topib olish mumkin.



6.8-rasm.

**4. Halqasimon quvurlar** tashqi suv o'tkazgich tizimlarda, suv orqali isitgichlarida va boshqalarda ishlataladi.

Oddiy quvur halqasini va uning  $C$  va  $D$  nuqtalaridan suyuqlik sarfi olinayotgan holni ko'ramiz (6.8-rasm).

Masalani yechishdan asosiy maqsad  $C$  va  $D$  lardagi berilgan  $Q_2$  va  $Q_3$  sarflar

orqali dam  $H$  ni topishdir (bunda quvurlarni uzunliklari, diametrlari berilgan). Bu masalani yechishning qiyinligi shundaki, uning  $CD$  bo'limida suyuqlik sarfi va uning yo'nalishi noma'lumdir. Agar, misol uchun, suyuqlik  $C$  nuqtadan  $D$  tomon harakat qilsa, unda 1-bo'limda suyuqlik sarfi

$$Q_I = Q_2 + 0,5Q_3, \quad (6.40)$$

ikkinchi yarmisida esa

$$Q_{II} = 0,5Q_3 \quad (6.41)$$

bo'ladi. Agar suyuqlik sarfi  $D$  nuqtadan  $C$  nuqta tomon harakat qilsa,

$$Q_I = 0,5Q_2; \quad (6.42)$$

$$Q_{II} = Q_3 + 0,5Q_2. \quad (6.43)$$

Bunda biz faraz qilamizki, tizimni  $CD$  bo'limida suyuqlik yo'nalishiga qarab  $Q_2$  yoki  $Q_3$  sarfni yarmisi harakat qilayotgan bo'lsin.

Halqasimon bo'lgan quvurlarni gidravlik hisoblashda, avvalo, bitta suyuqlik sarfi mujassamlashgan nuqtani tanlab olish kerak. *Mujassamlashgan nuqta* deb ikki tomonlama suyuqlik oqib kelayotgan halqasimon quvurlarining tuguniga aytildi. Bu nuqta shunday xususiyatga egaki, halqa boshlanish  $B$  nuqtasidan quvurning tugun nuqtasigacha ikki tomonlama oqib kelayotgan suyuqliklarni yo'qolgan damlari bir xil bo'lish kerak.

Faraz qilaylik,  $D$  nuqta mujassamlashgan nuqta bo'lsin. Agar halqani fikran ikki bo'lakka ajratilsa, unda quvurlar  $D$  nuqtasida ikkita oddiy quvurga ajralgan bo'ladi. Bunday bo'lingan quvurlarni esa yuqorida ko'rgan edik. Shunday qilib, halqasimon bo'lgan quvurlarni hisoblashda avvalo  $CD$  bo'limda suyuqlik yo'nalishi belgilab olinadi va tugun nuqtasi tayinlanadi, keyin esa halqaning bo'limlari bo'yicha yo'qolgan damlar topiladi. Agar tugun nuqtasi to'g'ri belgilab olingan bo'lsa, yarim halqalardagi yo'qolgan damlar bir-biriga teng bo'lishi kerak. Bizning chizmamizda  $D$  nuqtani tugun nuqtasi desak,

$$h_2 + h_4 = h_3$$

bo'ladi. Yo'qolgan damlar orasidagi farq 5% dan oshmasligi kerak. Agar yuqorida shart bajarilmasa, demak, biz tugun nuqtasini noto'g'ri olgan bo'lamic va bu nuqtani  $D$  dan  $C$  ga ko'chiramiz (yo'qolgan dam ko'p bo'lgan tomonga qarab). Qayta urinish usuli bilan yarim halqalardagi yo'qolgan damlar teng bo'imaguncha hisoblanadi.

Aholi ko‘p joylarni va katta shaharlarni suv bilan ta’minlash uchun o‘n va undan ortiq halqasimon quvurlar joylashtiriladi. Bu quvurlarni gidravlik hisoblash ancha murakkab bo‘lgani uchun, elektron hisob mashinalari, kompyuterlar qo‘llaniladi, yechish usullari esa maxsus suv ta’minot kurslarida beriladi.

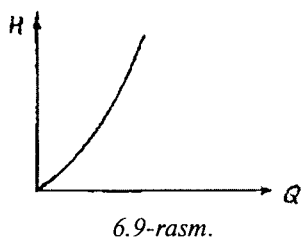
### 6.7-§. ODDIY VA MURAKKAB BO‘LGAN QUVURLARNI GRAFIK USULI BILAN YECHISH

Grafik usul hayotda keng qo‘llaniladi va u bir qancha qiyin bo‘lgan masalalarni yechishni soddalashtirib beradi. Bunday usul quvur tavsifini ko‘rishdan iborat. Quvur tavsifi deb quvurdagi uzunlik bo‘yicha yo‘qolgan dam bilan oqayotgan suyuqlik sarfi orasidagi bog‘lanish grafigiga aytildi. Quvurdagi suyuqlik harakati kvadratik sohaga tegishli bo‘lgan holda:

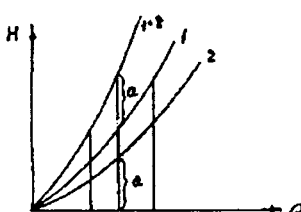
$$H = \frac{IQ^2}{K^2} = A/Q^2 = SQ^2 = \frac{Q^2}{P^2}. \quad (6.44)$$

Bundan ko‘rinadiki, quvurdagi yo‘qolgan dam faqat undagi oqayotgan suyuqlik sarfi funksiyasi bilan bog‘liq bo‘ladi. Har xil  $Q$  lar uchun  $H$

larni hisoblab,  $H = \frac{IQ^2}{K^2}$  bog‘lanishni grafik yordamida ko‘rsatamiz (6.9-rasm). Topilgan egri chiziq quvur tavsifini bildiradi.



Agar bir qancha quvurlar ketma-ket ulangan bo‘lsa, unda har bir quvur uchun alohida grafik chiziladi. Keyin esa hamma quvur uchun umumiy tavsifini ko‘rishda, bitta suyuqlik sarfi uchun topilgan yo‘qolgan damlarning yig‘indisini olish kerak, ya’ni 1 va 2 chiziqlarni ordinata bo‘yicha qo‘sish kerak.



Keyin ikkinchi suyuqlik sarfi uchun ham xuddi shu amallar bajariladi va hokazo. Topilgan nuqtalarini birlashtirsak, hosil bo‘lgan egri chiziq quvurlarning umumiy tavsifini beradi. Agar quvurlar bir-biri bilan parallel ulangan bo‘lsa, bunda barcha quvurlarning alohida tavsifini chizish kerak.

Keyin ular uchun umumiyl tavsifni qurishda har bir  $H_i$  lar yo'qolgan dam uchun topilgan  $Q_{1i}$ ,  $Q_{2i}$ ,  $Q_{3i}$  va hokazo suyuqlik sarflari yig'indisi topiladi (6.11-rasm).

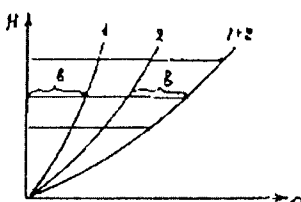
Hosil bo'lgan nuqtalarni birlashtirsak, parallel ulangan quvurlarning umumiyl tavsifi kelib chiqadi.

Agar quvurlar parallel va ketma-ket ulangan bo'lsa, ularning umumiyl tavsifini qurish uchun quyidagicha yo'l tutiladi: avval hamma parallel ulangan quvurlarning tavsifi quriladi, keyin u ketma-ket ulangan quvurlar tavsifiga qo'shiladi.

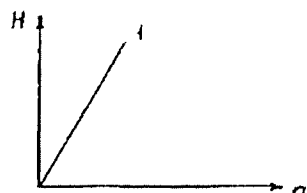
Quvurlar tavsifini qurish usuli laminar harakatga ham tegishli. Lekin bu laminar harakatda yo'qolgan dam va suyuqlik sarfi orasidagi bog'lanish chiziqlidir (6.12-rasm).

$$H = SQ,$$

shuning uchun quvur tavsifi ham chiziqlidir.



6.11-rasm.



6.12-rasm.

## 6.8-§. QUVURDAGI GIDRAVLIK ZARBA

Suyuqliknинг beqaror harakatida gidravlik zarba paydo bo'ladi. Gidravlik zarba deb bosim sezilarli darajada o'zgaruvchi beqaror suyuqlik harakatiga aytildi. Bunday o'zgaruvchi bosim ta'sirida quvurning mustahkamligiga putur yetkazilishi mumkin. Quvurdagi suyuqliknинг harakat tezligi va bosimi keskin o'zgarishi zulfinni tez berkitish yoki ochish, nasosning to'satdan to'xtab qolishidan paydo bo'ladi. Gidravlik zarba paytida hosil bo'lgan ortiqcha bosim a ncha sezilarli. Masalan, agar po'lat quvurda oqayotgan suv tezligi vaqt birligi ichida 1,0 m/s ga kamaytirilsa, quvur ichidagi bosim birdaniga 981 kPa ga ko'payadi, taxminan 10 atmosferaga oshadi. Gidravlik zarba chuqur bo'shliq (vakuum) da ham paydo bo'ladi. Gidravlik zarbadan kelib chiqqan ortiqcha bosim va hosil bo'lgan chuqur vakuum quvurning ishdan chiqishiga sabab bo'ladi. Gidravlik zarbani o'rghanishda suyuqliknинг zichlanishi va quvur devorlari tayyorlangan materialning elastikligi e'tiborga olinishi kerak, aks holda katta xatoga yo'l qo'yilgan bo'ladi.

## 6.9-§. ZULFINNI BIR ZUMDA BERKITILGANDA HOSIL BO'LGAN GIDRAVLIK ZARBA

Gorizontal joylashgan quvurning oxirida o'rnatilgan zulfinni berkitish natijasida hosil bo'lgan gidravlik zarbani ko'ramiz. Buning uchun quyidagi belgilashlarni kiritamiz:  $D$  — quvurning ichki diametri,  $E$  — quvur tayyorlangan materialning elastiklik moduli,  $e$  — quvur devorining qalinligi,  $v_0$  — zarbadan oldin quvurda harakat qilayotgan suyuqlikning o'rtacha tezligi,  $P_0$  — zarbadan oldin bo'lgan quvur ichidagi suyuqlikning

gidrodinamik bosimi,  $H_0 = \frac{P_0}{\gamma}$  — idishdagi suyuqlik dami,  $\omega_0$  — zarbadan keyingi quvurning kesim yuzi,  $K$  — suyuqlikning hajm zichlarish moduli. Gidravlik zarbani ko'rishdan oldin quyidagi hollarni qabul qilamiz:

1. Quvurdagi yo'qolgan dam va tezlik dami shunday qiyamatlarga egaki, uni hisobga olmasa ham bo'ladi, ya'ni pyezometr chizig'i to'la dam chizig'i bilan ustma-ust tushadi.

2. Idish  $A$  ning o'lchovlari shundayki, undagi suyuqlik sat hi quvurdagi suv sarfi qanday bo'lishidan qat'iy nazar o'zgarmas bo'ladi.

3. Zulfinni berkitish vaqtı  $T=0$  deb qabul qilamiz, ya'ni birdaniga berkilib qoldi deymiz.

Zarbani hisoblashda suyuqlik zichlanish moduli va quvur devorining elastikligini hisobga olamiz. Gidravlik zarbadan oldin quvurda harakat qilayotgan suyuqlikning o'rtacha tezligi  $v_0$  ga, bosimi esa  $P_0$  ga teng deb olamiz. Bir zumda zulfin berkitilgan bo'lsin (6.13-rasm). Agar suyuqlik absolut zichlanmaydigan, quvur devorlari elastik bo'lmasa, quvurdagi butun suyuqlik massasi birdaniga to'xtab qolganda, suyuqlik harakat miqdori nolga teng bo'lib, quvur uzunligi bo'yicha juda katta bosimini hosil qilar edi. Haqiqatan esa, suyuqlikning zichlanishi va quvur devorining elastikliligi hisobiga bo'ladigan hodisa butunlay boshqacha bo'ladi.

Juda kichik miqdor vaqt  $\Delta t$  ichida zulfin birdan berkilishi natijasida  $mn$  qatlam to'xtaydi. Bu qatlam zulfindan  $mm$  kesmagacha bo'lgan oraliq  $\Delta S$  da joylashadi va u suyuqlik zichlanish moduli bilan quvur devorining elastikligiga bog'liq.  $t+\Delta t$  vaqt ichida  $mm$  kesmadan suyuqlik inersiya bo'yicha kirib boradi va u zichlanish moduliga asosan  $\Delta W_1$  hajmga ortadi. Shu bilan birga quvur devorlarining elastikligi, ya'ni kengayishi hisobiga  $\Delta W_2$  hajmdagi suvga ko'payadi (6.14-rasm). Demak,  $\Delta t$  vaqt ichida  $mm$  —  $nn$  kesmalar orasidagi suyuqlik hajmi

$$\Delta W = \Delta W_1 + \Delta W_2 \quad (6.45)$$

ga ko'payadi.

Endi gidravlik zarba ta'sirida  $mn$  kesma orasida ortgan  $\Delta P$  bosimni topamiz. Buning uchun  $mn$  oralig'iadi  $\Delta t$  vaqt ichida harakat miqdorining o'zgarish qonunini qo'llaymiz. Bu qonun bo'yicha  $\Delta t$  vaqt ichida suyuqlik harakat miqdori rini ortishi tashqi ta'sir etuvchi kuchlar impulsinining harakat qilayotgan suyuqlik yo'nali shiga olingan proyeksiyalari yig'indisiga teng bo'ladi.  $t_0$  vaqtida  $nm$  kesmada bosim  $P_0$  ga,  $t_0 + \Delta t$  vaqtida esa  $P_0 + \Delta P$  ga teng. Kesma  $mm$  ga  $P_0$  bosim ta'sir etadi. Unda  $\Delta t$  vaqt ichida  $mn$  kesma orasiga ta'sir etayotgan kuchlar impulsilarini yig'indisi quyidagiga teng bo'ladi:

$$P_0 \omega_0 \Delta t - (P_0 + \Delta P) \omega \Delta t = -\Delta P \omega \Delta t . \quad (6.46)$$

$\Delta t$  vaqt ichida  $mn$  qatlama orasidagi suyuqlikning harakat miqdori o'zgarishi ushbuga teng:

$$\rho \omega \Delta S v - \rho \omega_0 \Delta S v_0 = -\rho \omega_0 \Delta S v_0 , \quad (6.47)$$

chunki

$$\rho \omega \Delta S v = 0 \quad (v = 0) .$$

Buradan

$$-\Delta P \omega \Delta t = -\rho \omega_0 \Delta S v_0 . \quad (6.48)$$

Endi (6.48)ning ikkala tomonini  $\omega = \omega_0$  deb qisqartirsak,

$$\Delta P \Delta t = \rho \Delta S v_0 . \quad (6.49)$$

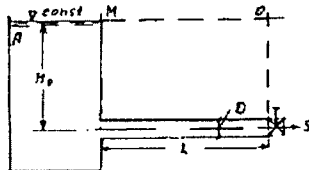
Aga r  $\lim_{\Delta t \rightarrow 0} \frac{\Delta S}{\Delta t} = C$  deb olsak, unda biz Jukovskiy ifodasini keltirib chiqargan bo'lamiz:

$$\Delta P = \rho C v_0 \quad (6.50)$$

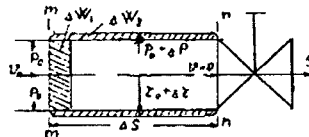
yoki

$$\Delta H = \frac{C v_0}{g} , \quad (\Delta P = \rho g \Delta H) . \quad (6.51)$$

$C = \frac{dS}{dt}$  miqdor quvur bo'yicha gidravlik zARBAning tarqalish tezligini, ya'ni zaRBa to'lqinining tezligini bildiradi.



6.13-rasm.



6.14-rasm.

## 6.10-§. GIDRAVLIK ZARBA TO'LQININING TARQALISH TEZLIGI

Gidravlik zarba to'lqini  $S$  ning tarqalish tezligini topamiz.  $\Delta t = \frac{\Delta S}{C}$  vaqtida  $\Delta S$  oralig'idagi  $W_0 = \Delta S \cdot \omega_0$  hajmga  $mm$  kesma orqali ortiqcha hajm qo'shiladi:

$$\Delta W = v_0 \omega_0 \Delta t = v_0 \omega_0 \frac{\Delta S}{C}. \quad (6.52)$$

Bu  $\Delta W$  hajm  $\Delta t$  vaqt ichida suyuqlikning hajmiy zichlanish moduli va quvur devori materialining elastik kengayishi hisobiga  $\Delta S$  oraliqqa kiradi. Bunda quvur devorlariga ta'sir etadigan ortiqcha bosim  $\Delta P = \rho C v_0$  ga teng. Suyuqlikning hajmiy zichlanish moduli hisobiga  $mn$  orasida gi  $W_0$  hajm

$$\Delta W_1 = \Delta W_0 \frac{\Delta P}{K} = \Delta S \cdot \Delta \omega_0 \frac{\Delta P}{K} \quad (6.53)$$

ga kamayadi. Quvur devorlarini kengayishi hisobiga  $mn$  orasi dagi  $W_0$  hajm

$$\Delta W_2 = \Delta S (\omega - \omega_0) = \Delta S \cdot \Delta \omega \quad (6.54)$$

ga ko'payadi. Demak,  $\Delta t$  vaqt ichida  $mn$  orasidagi  $W_0$  hajm  $\Delta W$  ga ortadi:

$$\Delta W = \Delta W_1 + \Delta W_2 \quad (6.55)$$

yoki

$$v_0 \omega_0 \frac{\Delta S}{C} = \Delta S \cdot \omega_0 \frac{\Delta P}{K} + \Delta S \cdot \Delta \omega. \quad (6.56)$$

Agar (6.56) ifodani  $\Delta S \cdot \omega_0$  ga bo'lib va  $v_0 = \frac{\Delta P}{\rho C}$  ni h isobga olsak, unda:

$$\frac{\Delta P}{\rho C^2} = \frac{\Delta P}{K} + \frac{\Delta \omega}{\omega_0}. \quad (6.57)$$

Bu ifodada

$$\begin{aligned} \frac{\Delta \omega}{\omega_0} &= \frac{\pi r^2 - \pi r_0^2}{\pi r_0^2} = \frac{\pi \left[ (r_0 + \Delta r)^2 - r_0^2 \right]}{\pi r_0^2} = \\ &= \frac{r_0^2 + 2r_0 \Delta r + \Delta r^2 - r_0^2}{r_0^2} = \frac{2r_0 \Delta r + \Delta r^2}{r_0^2}, \end{aligned} \quad (6.58)$$

bunda:  $\Delta r = r - r_0$ .

Agar (6.58) ifodadagi ikkinchi tartibli kichik miqdor  $\frac{\Delta r^2}{r_0^2}$  ni hisobga olmasak,

$$\frac{\Delta\omega}{\omega_0} \approx \frac{2r_0\Delta r}{r_0^2} \quad (6.59)$$

bo‘ladi.

Quvur radiusi nisbiy uzunligi  $\frac{\Delta r}{r_0}$  ni quvur materialining elastiklik moduli  $E$  va ortiqcha kuchlanish  $\Delta\sigma$  orqali topamiz. Guk qonuni bo‘yicha:

$$\frac{\Delta r}{r} = \frac{\Delta\sigma}{E} \quad (6.60)$$

yoki

$$\frac{\Delta\omega}{\omega_0} = \frac{2\Delta\sigma}{E}. \quad (6.61)$$

O rtiqcha bosim ta’sirida quvur devorining kuchlanishini *Mariotta ifodasi* orqali topish mumkin:

$$\Delta\sigma = \frac{\Delta P \cdot D}{2e}. \quad (6.62)$$

(6.62) ifodani (6.61) ga qo‘ysak,

$$\frac{\Delta\omega}{\omega_0} = \frac{2 \cdot \Delta P \cdot D}{2 \cdot e \cdot E} = \frac{\Delta P \cdot D}{eE}. \quad (6.63)$$

Agar endi (6.63) ni (6.57) ga qo‘yilsa, unda

$$\frac{\Delta P}{\rho C^2} = \frac{\Delta P}{K} + \frac{\Delta P \cdot D}{eE}. \quad (6.64)$$

Bu ifodaning o‘ng va chap tomonlarini  $\Delta P$  ga qisqartirsak,

$$\frac{1}{\rho C^2} = \frac{1}{K} + \frac{D}{eE}. \quad (6.65)$$

(6.65) ifodadan gidravlik zarba to‘lqini tezligi  $C$  ni topamiz:

$$\frac{1}{\rho C^2} = \frac{1}{K} + \frac{D}{eE} = \frac{eE + DK}{eEK} \quad \text{yoki} \quad \rho C^2 = \frac{eEK}{eE + DK};$$

$$\rho C^2 = \frac{eEK}{eE \left( 1 + \frac{DK}{eE} \right)} = \frac{K}{1 + \frac{DK}{eE}}; \quad (6.66)$$

$$C = \frac{\sqrt{\frac{K}{\rho}}}{\sqrt{1 + \frac{DK}{eE}}} \text{ yoki } C = \frac{C_0}{\sqrt{1 + \frac{DK}{eE}}}, \quad (6.67)$$

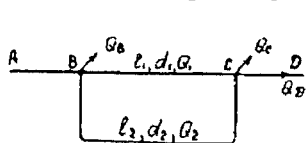
bunda:  $C_0 = \sqrt{\frac{K}{\rho}}$  — suyuqlikda tovush tarqalish tezligi;

$E$  — quvur materialining elastiklik modulleri;

$e$  — quvur devorining qalinligi;

$D$  — quvur ichki diametri;

$K$  — suyuqlikning hajm zichlanish modulleri.



6.15-rasm.

6.1-misol. Quvur tizimining  $BC$  oralig'ida quvurlar parallel ulangan bo'lib  $l_1=150$  m,  $l_2=300$  m,  $d_1=150$  mm,  $d_2=100$  mm ga teng.

$B$  nuqtadan  $Q_B=8$  l/s,  $C$  nuqtadagi  $Q_c=50$  l/s,

$D$  nuqtadan  $Q_D=5$  l/s suv sarfi olinmoqda.

Quvurlarning ichki devor g'adi r-budurligi

$n=0,012$ .  $AB$ ,  $CD$  va parallel ulangan quvurlardagi suv sarflarini toping (6.15-rasm).

Yechish. Quvur tizimining  $CD$  qismida  $Q_D=5$  l/s; quvurlarning parallel ulangan qismida  $Q_{BC}=Q_D+Q_c=5+50=55$  l/s va  $AB$  qismida

$$Q_{AB}=Q_D+Q_c+Q_B=5+50+8=63 \text{ l/s ga teng.}$$

Parallel ulangan  $BC$  oraliqda birinchi va ikkinchi quvurlarda yo'qolgan dam bir xil bo'ladi, ya'ni

$$H=A_1l_1Q_1^2; H=A_2l_2Q_2^2,$$

bunda:  $A_1, A_2$  lar quvurning diametriga qarab 6.1-jadvaldan olinadi.  $d_1=150$  mm ga  $A_1=45 \text{ s}^2/\text{m}^6$ ;  $d_2=100$  mm ga  $A_2=267 \text{ s}^2/\text{m}^6$ .

Agar endi yuqoridagi tengliklarni bir-biriga tenglashtirsak,  $Q_1$  ga nisbatan kvadrat tenglama kelib chiqadi. Kvadrat tenglamaning ildizi  $Q_{BC}=55 \text{ l/s}$  dan kichik va musbat bo'lish kerak:

$$A_1 l_1 Q_1^2 = A_2 l_2 Q_2^2 = A_2 l_2 (Q_{BC} - Q_1)^2$$

yoki

$$\begin{aligned} A_2 l_1 Q_1^2 &= A_2 l_2 (Q_{BC}^2 - 2Q_{BC} \cdot Q_1 + Q_1^2) = 45 \cdot 150 \cdot Q_1^2 = \\ &= 267 \cdot 300 (0,055^2 - 2 \cdot 0,055 \cdot Q_1 + Q_1^2) = 73350 Q_1^2 - 88110 Q_1 + 242,3 = 0; \end{aligned}$$

$$Q_{1.1,2} = \frac{8811 \pm \sqrt{77633721 - 71091553}}{146700};$$

$$Q_{1.1} = 0,075 \text{ m}^3/\text{s}; \quad Q_{1.2} = 0,044 \text{ m}^3/\text{s};$$

$Q_{1.1} > Q_{BC} = 0,055 \text{ m}^3/\text{s}$  katta bo'lgani uchun to'g'ri kelmaydi,

$Q_{1.2} = 0,044 \text{ m}^3/\text{s}$  to'g'ri keladi. U holda

$$Q_1 = Q_{BC} - Q_{1.2} = 0,055 - 0,044 = 0,011 \text{ m}^3/\text{s}; \quad Q_2 = 0,044 \text{ m}^3/\text{s}.$$

6.2-m isol. Uzunligi  $l=2000 \text{ m}$ , diametri  $d=450 \text{ mm}$ , devor qalinligi  $\delta=10 \text{ mm}$  bo'lgan quvurda  $Q=220 \text{ l/s}$  suv sarfi bilan harakat qilmoqda. Quvur devorining mumkin bo'lgan kuchlanishi  $\sigma_{mb} = 150 \text{ MPa}$  ga teng. Agar quvurni bir zumda  $T_{kr}=3 \text{ s}$  jo'mrak bilan berkitilsa, hosil bo'lgan ortiqcha bosim  $\Delta P$  ni aniqlang va quvurda maksimal mumkin bo'lgan bosimni toping.

Yechish. To'g'ri gidravlik zarbadan hosil bo'lgan ortiqcha bosim

$$\Delta P = \rho C v$$

dan, noto'g'ri gidravlik zarba esa

$$\Delta P = \rho C v \frac{T}{T_{kr}}$$

dan topiladi,

bunda:  $T$  — zarba to'lqin davri (fazasi);  
 $T_{kr}$  — jo'mrakni berkitish vaqtida.

To'lqin tarqalish tezligini quyidagicha topamiz:

$$C = \frac{1425}{1 + 0,01 \frac{d}{\delta}} = \frac{1425}{1 + 0,01 \cdot \frac{0,45}{0,01}} = 1183 \text{ s.}$$

Zarba to'lqin davri

$$T = \frac{2l}{C} = \frac{2 \cdot 2000}{1183} = 3,38 \text{ s}$$

ga teng.

Zarba to'lqin davri jo'mrakni berkitish vaqtiga nisbatan katta  $T=3,38 > 3 = T_{kr}$  bo'lgani uchun to'g'ri gidravlik zarba bo'ladi. Hosil bo'lgan quvurdagi ortiqcha bosim  $\Delta P = \rho v C$  dan topiladi, bunda

$$v = \frac{Q}{\omega} = \frac{4Q}{\pi D^2} = \frac{4 \cdot 0,22}{3,14 \cdot 0,45^2} = 1,38 \text{ m/s};$$

$$\Delta P = 1000 \cdot 1,38 \cdot 1183 = 1633,1 \text{ kPa.}$$

Maksimal mumkin bo'lgan quvurdagi bosimni Mariotta ifodasi orqali topish mumkin:

$$\sigma_{mb} = \frac{P_{mb} d}{2e},$$

bundan

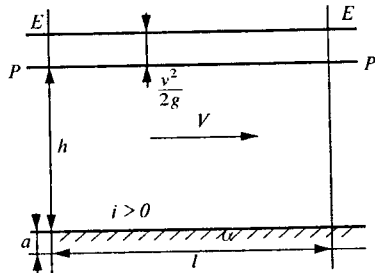
$$P_{mb} = \frac{\sigma_{mb} 2e}{d} = \frac{150 \cdot 10^6 \cdot 2 \cdot 0,01}{0,45} = 6,7 \cdot 10^6 \text{ Pa.}$$

## 7-bob. KANALLARDA SUVNING HARAKATI

### 7.1-§. KANALDAGI SUVNING TEKIS HARAKATI

Suyuqlik amalda ko‘pincha sun’iy bo‘lgan silindrik kanallarda tekis harakat qiladi.

Kanal nishabi  $I = \sin\alpha$  orqali topiladi. Nishab burchagi uncha katta bo‘limgani uchun, kanaldagi suv chuqurligini vertikal bo‘yicha o‘lchash mumkin (7.1-rasm) chunki biz shartli ravishda olingan oqimning jonli kesmasini vertikal deb qabul qilamiz. Kanaldagi suyuqlikning gidravlik qarshiligi kvadratik sohaga tegishli bo‘lgan turbulent harakatini ko‘ramiz. Kanaldagi suyuqlik harakatini hisoblashda asosiy uchraydigan ifodalar:



7.1-rasm.

$$Q = v \cdot \omega, \quad (7.1)$$

$$v = c \sqrt{R \cdot i}. \quad (7.2)$$

Kanalda suv tekis harakat qilgan paytida to‘la dam chizig‘i pyezometr chizig‘i va kanalning nishabi bir-biriga parallel hamda tengdir, ya’ni

$$J_g = J_p = i, \quad (7.3)$$

$$v = c \sqrt{R \cdot i}. \quad (7.4)$$

Bu ifodalardan tashqari yana quyidagi ifodalardan ham foydalanish mumkin:

$$i = \frac{v^2}{c^2 \cdot R}; \quad (7.5)$$

$$h_l = i \cdot l = \frac{v^2}{c^2 \cdot R} \cdot l; \quad (7.6)$$

$$Q = \omega \cdot c \sqrt{R \cdot i}. \quad (7.7)$$

Agar  $\omega \cdot c \sqrt{R \cdot i} = k$  — sarf moduli,  $c \sqrt{R} = w$  — tezlik moduli desak, unda

$$v = w\sqrt{i} . \quad (7.8)$$

$$Q = k\sqrt{i} . \quad (7.9)$$

$$i = \frac{v^2}{w^2} . \quad (7.10)$$

$$i = \frac{Q^2}{k^2} . \quad (7.11)$$

(7.4) va (7.7) ifodalardagi Shezi koefitsiyenti empirik ifodalardan topiladi. Amalda ko'p uchrab turadigan ifodalardan ba'zilarini keltiramiz:

$$\text{Manning ifodasi: } c = \frac{1}{n} R^{\frac{1}{6}} ; \quad (7.12)$$

$$\text{Pavlovskiy ifodasi: } c = \frac{1}{n} R^y ; \quad (7.13)$$

$$\text{Agroskin ifodasi: } c = \frac{1}{n} + 17,72 \lg R , \quad (7.14)$$

bunda:  $n$  — kanalning g'adir-budurligi;

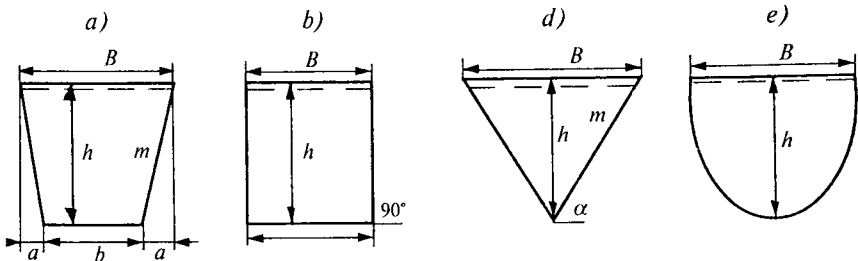
$R$  — kanalning gidravlik radiusi.

G'adir-budurlik koefitsiyenti  $n$  ni eslatma kitoblarda berilgan jadvallardan va tegishli ifodalardan topib olish mumkin.

## 7.2-\$. KANAL KO'NDALANG KESMASINING GIDRAVLIK ELEMENTLARI

7.2-rasmida hayotda tez-tez uchrab turadigan kanallarning ko'ndalang kesmalari ko'rsatilgan.

$m = ctg\alpha$  koefitsiyent gidravlik yo'l bilan hisoblanmasdan gruntuning mustahkamligiga bog'liq. Tog'li gruntlarda kanal yon tomonlarining qiyaligi ixtiyoriy bo'lishi mumkin.



7.2-rasm. a) trapetsiyasimon kesmali; b) to‘g‘ri to‘rt burchakli;  
d) uchburchakli; e) parabolik kesma.

a) trapetsial kesmali kanalda suv sathining eni:

$$B = b + 2mh, \quad (7.15)$$

chunki

$$m = \frac{a}{h}, \quad a = mh, \quad (7.16)$$

bu yerda:

$b$  — kanal tagining eni;  $h$  — kanalda suyuqlikning chiqqarligi;  $m$  — kanal devorining og‘ma koefitsiyenti (qiyaligi).

Kanalning jonli kesmasi:

$$\omega = (b + mh)h, \quad (7.17)$$

$$\chi = b + 2h\sqrt{1 + mh^2}. \quad (7.18)$$

$\omega$  va  $\chi$  larni topgandan keyin gidravlik radius  $R$  ni hisoblash mumkin:

$$R = \frac{\omega}{\chi} = \frac{(b + mh)h}{b + 2h\sqrt{1 + mh}}. \quad (7.19)$$

Gohida kanalni gidravlik hisoblashda uning nisbiy eni  $\beta$  dan foydalilaniladi:

$$\beta = \frac{b}{h}. \quad (7.20)$$

Agar jonli kesma va jonli perimetrlarni  $\beta$  orqali ifodalasak:

$$\omega = bh + mh^2 = h^2 \left( \frac{b}{h} + m \right) = h^2 (\beta + m); \quad (7.21)$$

$$\chi = b + 2h\sqrt{1 + m^2} = h \left( \frac{b}{h} + 2\sqrt{1 + m^2} \right) = h(\beta + 2\sqrt{1 + m^2}) \quad (7.22)$$

ga ega bo'lamiz.

b) To'g'ri to'rtburchakli kanalda oqayotgan suv sathining eni  $B$  kanal tagining eni  $b$  ga teng ( $B=b$ ), jonli yuzi  $\omega = bh$ , jonli perimetri  $\chi = b + 2h$  (bunda:  $m = \operatorname{ctg} 90^\circ = 0$ ), gidravlik radiusi:

$$R = \frac{bh}{b + 2h}.$$

Agar kanalning, anhorning eni juda katta bo'lsa ( $b \gg h$ ), u holda  $\chi = b$  bo'lib, gidravlik radiusi quyidagiga teng bo'ladi:

$$R = \lim_{b \rightarrow \infty} \frac{bh}{b + 2h} = \lim_{b \rightarrow \infty} \frac{h}{1 + 2 \frac{h}{b}} = h. \quad (7.23)$$

d) uchburchakli kesmada kanalning tagi  $b = 0$ , jonli kesmasi yuzi  $\chi = mh^2$ , suv sathining eni  $B = 2mh$ , jonli perimetri esa:

$$\chi = 2h\sqrt{1 + m^2}.$$

g) parabolik kesmada parabola tenglamasi berilgan bo'ladi:

$$x^2 = 2py, \quad (7.24)$$

bunda:  $p$  — parabolaning parametri.

Bunday anhor va kanallar uchun suyuqlik sathining eni

$$2x = B = 2\sqrt{2py} \quad (7.25)$$

ga teng, jonli yuz esa:

$$\omega = \frac{2}{3} Bh. \quad (7.26)$$

Jonli perimetrik kanallardagi suyuqlik chuqurligining undagi suv sathi eniga nisbatlariga bog'liq, ya'ni

$$\chi = B, \text{ agar } (h : B) \leq 0,15 \text{ bo'lsa};$$

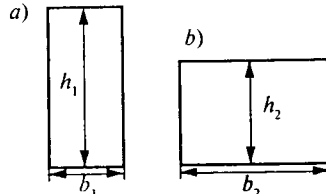
$$\chi = B \left[ 1 + \frac{8}{3} \left( \frac{h}{B} \right)^2 \right], \text{ agar } 0,15 < (h : B) \leq 0,33 \text{ bo'lsa};$$

$$\chi = 1,78h + 0,61B, \text{ agar } 0,33 < (h : B) < 2,0 \text{ bo'lsa}; \quad (7.27)$$

$$\chi = 2h, \text{ agar } (h : B) \geq 2,0 \text{ bo'lsa.}$$

Bu yerda aytib o'tish kerakki, ixtiyoriy shaklga ega bo'lgan kanallarda  $b >> h$  lar uchun namlangan perimetrlar taxmiran kanaldagi suv sathi eniga teng ( $\chi = B$ ), shuning uchun:

$$R = \frac{\omega}{\chi} = \frac{\omega}{B} = h_{o,r}. \quad (7.28)$$



7.3-rasm.

### 7.3-§. KANALNING ENG QULAY BO'LGAN GIDRAVLIK JONLI KESMASI

Ma'lumki, jonli kesma yuzasi va namlangan perimetrlari uzunligi kanaldagi oqayotgan suvning chiqurligi ( $h$ ) va kanal tagining eni ( $b$ ) parametrlariga bog'liq. Kanalning berilgan jonli kesmasiga har xil namlangan perimetrlar to'g'ri kelishi mumkin. Masalan, ikkita to'g'ri burchakli kanal (7.3-rasm) bo'lib, ularning o'lchovlari:

$$a) h_1 = 2\text{m}, b_1 = 1\text{m}; \quad b) h_2 = 1\text{m}, b_2 = 2\text{m}.$$

Bunday kanallarning kesma yuzalari bir-biriga teng:

$$\omega_1 = b_1 \cdot h_1 = 1 \cdot 2 = 2 \text{ m}^2;$$

$$\omega_2 = b_2 \cdot h_2 = 2 \cdot 1 = 2 \text{ m}^2.$$

Namlangan perimetrlari esa

$$\chi_1 = 1 + 2 \cdot 2 = 5 \text{ m};$$

$$\chi_2 = 2 + 2 \cdot 1 = 4 \text{ m}.$$

Bunday bo'lsa, bizga geometriya kursidan ma'lumki, o'zgarmas yuz uchun minimal namlangan perimetrlari mavjud. Gidravlik eng qulay bo'lgan jonli kesma deb berilgan  $\omega$  yuz uchun namlangan perimetrlar minimal qiymatiga aytildi. Bunday kanal suyuqlikni o'zidan o'tkazishda maksimal o'tkazuvchanlik qobiliyatga ega. Bu esa quyidagi Shezi ifodasi  $Q = \omega \cdot c \sqrt{R \cdot i}$

dan kelib chiqadi, ya'ni  $R = \frac{\omega}{\chi}$  qancha katta bo'lса,  $Q$  shuncha katta bo'ladi.

Trapetsiya kesmali kanalning eng qulay bo'lган gidravlik kesmasini topamiz. Yuqorida aytigandek, berilgan jonli kesma uchun namlangan perimetр uzunligini eng kichik bo'lган qiyamatini topish kerak. Geometriyadan ma'lumki, bunday shakl doira bo'ladi. Demak, ideal eng qulay bo'lган kanal — yarim doiradir, yoki bo'lmasa, doira ichiga chizilgan muntazam olti burchakli yarmi trapetsiya kesmali kanal bo'ladi va undagi

suv sathining eni  $B=2b$ , yon tomonlarning og'masi  $m = \frac{\sqrt{3}}{3} = 0,58$  ga teng. Lekin kanal og'masi  $m$  ni har xil gruntda qurilgan kanallarga qo'llash mumkin emas, chunki u gruntning xususiyatlariga bog'liqdир. Shuning uchun ixtiyoriy gruntda trapetsiya kesmali kanal qurishdan oldin uni yon tomonlarining og'masi  $m$  berilgan bo'lib, eng qulay gidravlik kesma hisoblanadi. Buning uchun jonli kesma  $\omega$  va namlangan perimetр  $\chi$  ni kanalning nisbiy eni  $\beta$  orqali ifodalamiz:

$$\omega = h^2(\beta + m); \quad (7.29)$$

$$\chi = h(\beta + 2\sqrt{1+m^2}). \quad (7.30)$$

Jonli kesma  $\omega = \text{const}$  va  $\chi = \min$  qiyatlarda  $\beta$  ning shunday qiyamatini topish mumkinki, u kanalning eng qulay bo'lган gidravlik kesmasiga ega bo'ladi. Buning uchun  $\omega$  va  $\chi$  dan  $\beta$  bo'yicha hosila olib nolga tenglashtiramiz, ya'ni

$$\frac{d\omega}{d\beta} = 2h \frac{dh}{d\beta} (\beta + m) + h^2 = 2h\beta \frac{d\omega}{d\beta} + 2hm \frac{dh}{d\beta} + h^2 = 0; \quad (7.31)$$

$$\frac{d\chi}{d\beta} = \frac{dh}{d\beta} (\beta + 2\sqrt{1+m^2}) + h = \beta \frac{dh}{d\beta} + 2\sqrt{1+m^2} \frac{dh}{d\beta} + h = 0. \quad (7.32)$$

Tizimning birinchi ifodasi (7.31) dan  $\frac{dh}{d\beta}$  ni topib, u ni (7.32) ga qo'yamiz:

$$\begin{aligned} \frac{dh}{d\beta} &= -\frac{h}{2(\beta + m)}; \\ -\frac{\beta \cdot h}{2(\beta + m)} - \frac{2h\sqrt{1+m^2}}{2(\beta + m)} + h &= 0; \end{aligned}$$

$$\begin{aligned}-\beta h - 2h\sqrt{1+m^2} + 2h\beta + 2hm &= 0; \\ \beta h &= 2h(\sqrt{1+m^2} - m); \\ \beta &= 2(\sqrt{1+m^2} - m).\end{aligned}\tag{7.33}$$

To‘pilgan ifoda berilgan eng qulay trapetsial kanalni yon tomonlari og‘masi  $m$  uchun, chuqurlik  $h$  va kanal tagining eni  $b$  qanday nisbatda bo‘lishini bildiradi.

#### **7.4-§. TRAPETSIYASIMON KESMALI KANALDA TEKIS HARAKAT QILAYOTGAN SUYUQLIKNI HISOBЛАSHDA KO‘RILADIGAN ASOSIY MASALAR**

Kanalndagi oqayotgan suv uning shakliga, o‘lchov parametrlariga, g‘adir-budurlik koefitsiyentiga va nishabiga bog‘liq. Demak, trapetsiyasimon kanal quyidagi 6 ta parametrغا bog‘liq:  $b$ ,  $h$ ,  $m$  (kanalning butun kesim yuzini tavsiflovchi),  $n$ ,  $i$ ,  $Q$  (yoki  $v = \frac{Q}{\omega}$ ).

Bu nday masalani yechish shundan iboratki, yuqorida ko‘rsatilgan parametrlardan 5 tasi ma’lum bo‘lib, 6-parametrni topish kerak. Noma’lum parametrغا qarab masala 3 turga bo‘linadi.

I turdagи masalada kanalning jonli kesmasi berilgan, ya’ni parametrlar ichida  $b$ ,  $h$ ,  $m$  ham bor.

**1-masala.** Jonli kesmaning parametrlari  $b$ ,  $h$ ,  $m$ ,  $n$ ,  $i$  berilgan bo‘lib,  $Q$  ni topish kerak.

Masalani yechish uchun oldin kanalning jonli yuzini topamiz:  
 $\omega = (b + mh)h$ .

Jonli perimetri  $\chi = b + 2h\sqrt{1+m^2}$ , gidravlik radiusi  $R = \frac{\omega}{\chi}$ . Endi Shezi koefitsiyentini yuqorida ko‘rsatilgan (7.12—7.14) ifodalarning biri bo‘lgan Pavlovskiy ifodasidan topamiz:  $c = \frac{1}{n} R^i$ .

Tezlikni topishda Shezi formulasi  $v = c\sqrt{Ri}$  dan foydalananamiz.

Suyuqlik sarfini esa  $Q = \omega c \sqrt{Ri}$  dan aniqlaymiz.

**2-masala.** Berilganlar  $b$ ,  $h$ ,  $m$ ,  $n$ ,  $Q$  bo‘lib, kanal  $i$  ni topish kerak. Avvalgi masaladagi kabi  $\omega$ ,  $\chi$ ,  $R$ ,  $c$ ,  $v$  ni topamiz. Keyin esa  $Q = \omega c \sqrt{Ri}$

dan  $i = \frac{Q^2}{\omega^2 c^2 R}$  ni topamiz.

**II turdagি** masalalarga kanalning jonli kesmasi parametrlaridan biri  $h$  yoki  $b$  berilmagan masalalar kiradi.

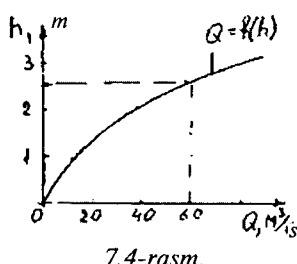
**1-masala.** Berilganlar:  $Q = 60 \text{ m}^3/\text{s}$ ,  $i = 0,0004$ ,  $b = 15\text{m}$ ,  $m = 1,5$ ,  $n = 0,025$ . Kanal chuqurligi  $h$  ni topish kerak.

Yechish.  $h$  ni topish uchun jadval tuzamiz:

7.1-jadval

$h, \text{m}$	$\omega, \text{m}^2$	$\chi, \text{m}$	$R, \text{m}$	$C$	$Q, \text{m}^3/\text{s}$	Eslatma
1	16,5	18,6	0,89	38	11,8	$c = \frac{1}{n} R^y$ $n = 0,025$
2	36,0	22,2	1,62	44	40,4	
3	58,5	25,9	2,26	47	82,8	
4	84,0	29,4	2,86	49	139,2	

Berilgan  $Q$  uchun  $h$  ni topishda ketma-ket yaqinlashish usulidan foydalанилди.



Jadval asosida suyuqlik sarfi  $Q_i$  va chuqurlik  $h_i$  lar qiymatlaridan foydalаниб grafik chizamiz (7.4-rasm) va topilgan egri chiziqdan masalani sharti bo'yicha berilgan  $Q = 60 \text{ m}^3/\text{s}$  ga mos  $h$  ni topamiz ( $h = 2,5\text{m}$ ).

**2-masala.** Berilganlar:  $Q, h, m, n, i$ . Kanal tagining eni  $b$  ni topish kerak.

Yechish. Bu masalani yechish uchun yuqoridagi masalaga o'xshab jadval tuzamiz:

7.2-jadval

$b, \text{m}$	$\omega, \text{m}^2$	$\chi, \text{m}$	$R, \text{m}$	$C$	$Q, \text{m}^3/\text{s}$	Eslatma
$b_1$	...	...	...	...	$Q_1 < Q$	$c = \frac{1}{n} R^y$ $n = 0,025$
$b_2$	...	...	...	...	$Q_2 < Q$	
$b_3$	...	...	...	...	$Q_3 \approx Q$	
$b_4$	...	...	...	...	$Q_4 > Q$	

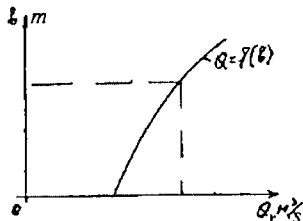
Kanal eni  $b_1$  ga ixtiyoriy qiymat berib,  $Q_1$  ni topamiz. Topilgan  $Q_1$  ni masala sharti bo'yicha berilgan  $Q$  bilan solishtiramiz. Agar  $b_1$  uchun topilgan  $Q_1$  berilgan  $Q$  dan farqli bo'lsa (kichik yoki katta), unda keyingi  $b_2$  qiymat sharoitga qarab olinadi. Faraz qilaylik, topilgan  $Q_1$  berilgan  $Q$  dan kichik bo'lsin, unda  $b_2$  qiymatni kattaroq qilib olamiz va shunday davom etamiz, toki  $b_1$  uchun topilgan sarf  $Q_1 > Q$  bo'lguncha.

To'pilgan  $b$ , va  $Q$ , lar asosida egri chiziq grafigi (7.5-rasm) ni chizganda qiynalib qolmaslik uchun ular soni 4 tadan kam bo'imasligi kerak. Qurilgan grafikdan masalani sharti bo'yicha berilgan  $Q$  uchun kanal eni  $b$  ni topamiz.

**3-masala.** Berilganlar:  $Q, i, m, n, \beta = b/h$ .

Kanalndagi suv chuqurligi  $h$  va eni  $b$  ni topish kerak.

Bu masalani yechishda yana jadval tuzamiz:



7.5-rasm.

7.3-jadval

$h, m$	$b, m$	$\omega, m^2$	$\chi, m$	$R, m$	$C$	$Q, m^3/s$
$h_1$	$b_1$	...	...	...	...	$Q_1 < Q$
$h_2$	$b_2$	...	...	...	...	$Q_2 < Q$
$h_3$	$b_3$	...	...	...	...	$Q_3 \approx Q$
$h_4$	$b_4$	...	...	...	...	$Q_4 > Q$

So'ng ixtiyoriy  $h_1$  uchun  $b_1, Q_1$  larni topamiz va berilgan shart bo'yicha  $Q$  bilan solishtiramiz. Agar  $Q_1$  kichik bo'lsa, keyingi  $h_2$  ni  $h_1$  ga nisbatan katta qilib olamiz va hokazo, to  $h_1$  uchun topilgan  $Q_1$  masala sharti bo'yicha berilgan  $Q$  dan katta bo'lib ketmaguncha. Keyin grafik (7.6-rasm) qurib berilgan  $Q$  uchun  $h$  ni topamiz va  $b = \beta h$  dan kanal enini topamiz.

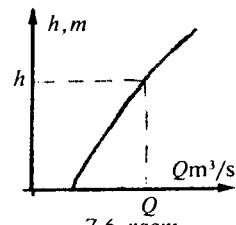
**III turdag'i** masalada kanalndagi suyuqlik harakati uchun o'rtacha tezligi berilgan bo'ladi.  $h$  va  $b$  larni aniqlash kerak.

**Masala.** Berilganlar:  $Q, i, v, n, m$ . Kanal chuqurligi  $h$  va eni  $b$  ni topish kerak. Berilgan shartlardan jonli kesma:

$$\omega = \frac{Q}{v} = A.$$

She'zi ifodasidan esa:

$$c\sqrt{R} = \frac{v}{\sqrt{i}} = B.$$



7.6-rasm.

To'pilgan ifodalar asosida tenglamalar tizimini tuzamiz:

$$\left. \begin{aligned} A &= \omega = h(b + mh) = f_1(b, h) \\ B &= c\sqrt{R} = \frac{v}{\sqrt{i}} = f_2(b, h) \end{aligned} \right\}.$$

Tenglamalar tizimini yechib, kanal chuqurligi  $h$  va eni  $b$  larni topamiz (grafik yoki qidirish usuli bilan).

### 7.5-§. HALQASIMON VA TASHKIL ETUVCHI KANAL LARNI GIDRAVLIK HISOBBLASH

Tashkil etuvchi shakldagi kanal (7.7-rasm) ni hisoblashda uni butun jonli kesmasini bir qancha bo'laklarga (I, II, III) bo'lish kerak. Keyin har bir ajratilgan bo'lakni alohid a kanal deb ulardagi suyuqliklar sarfi  $Q_1$ ,  $Q_{II}$ ,  $Q_{III}$  lar topiladi. Umumiy suyuqlik sarfi qu'yidagiga teng bo'ladi:



7.7-rasm.

$$Q = Q_1 + Q_{II} + Q_{III}$$

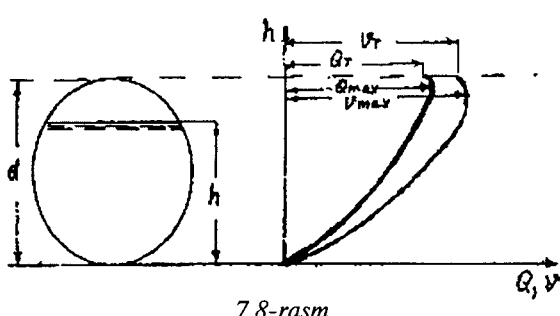
Halqasimon shaklga oqava suv drenaj quvurlari, gidrotexnik tunnellar kiradi. Bu oqimlar damsiz oqim bo'lgani uchun, ularning gidravlik nuqtayi nazardan usti ochiq kana llardan farqi bo'lmaydi.

Doira kesmaga ega bo'lgan oqava suv quvurlar (7.8-rasm) ni ko'raylik.  $h$  deb quvurning to'lish chuqurligini,  $d$  deb uning diametrini belgilaymiz.

Nisbat  $\frac{h}{d} = a$  deb quvurning to'lish darajasi deyiladi. Hayot da ko'pincha  $a = 0,5 \div 0,75$  orasida bo'ladi. Quvur nishabiga qarab to'lish chuqurligi  $h = 0$  dan  $h = d$  gacha o'zgaradi. Demak, tezlik  $v$  va suv sarfi  $Q$  noldan to qandaydir qiymatgacha o'zgaradi.

To'lish chuqurligi  $h = d$  yoki  $a = 1$  ga teng bo'lganda, tezlik va suv sarfini  $V_T$ ,  $Q_T$  bilan belgilaymiz. Shuni aytish kerakki,  $Q = f_1(h)$  va  $v = f_2(h)$  funksiyalar halqasimon bo'lgan quvurlarda  $Q_{max} > Q_T$ ,  $v_{max} > v_T$  ga egadir (rasmdagi grafikka qarang). Usti ochiq bo'lgan kanallarda bunday hol yuz bermaydi.

Tezlik va suyuqlik sarflarini Shezi ifodasi bo'yicha hisoblaganda,



7.8-rasm.

tezlik  $v_{\max}$  ga to‘g‘ri keladigan chuqurlik  $h = (0,8 \div 0,85)d$  ga to‘g‘ri keladi.  $Q_{\max}$  ga to‘g‘ri keladigan  $h$  chuqurlik  $h = (0,93 \div 0,95)d$  chegarada yotadi.

Oqava quvurlar uchun, odatda, g‘adir-budurlik koeffitsiyenti  $n = 0,012 \div 0,014$  qabul qilinadi.

**7.1-mis ol.** Trapetsiya shaklida bo‘lgan kanalda suv  $Q = 5 \text{ m}^3/\text{s}$  sarf bilan harakat qilmoqda. Kanalning nishabi  $i = 0,0008$ , yon tomonlarining qiyaligi  $m = 1,5$ , gidravlik g‘adir-budurligi  $n = 0,03$  ga teng. Gidravlik eng qulay bo‘lgan kanalning kesimi uchun  $h$  va eni  $b$  ni toping.

**Yechish.** Eng qulay bo‘lgan maksimal suv o‘tkazuvchi kanalda chuqurlik  $h$  va eni  $b$  larning nisbatini topamiz:

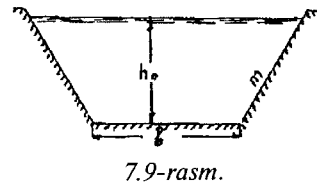
$$\beta = \frac{b}{h} = 2 \left( \sqrt{1 + m^2} - m \right) = 2 \left( \sqrt{1 + 1,5^2} - 1,5 \right) = 0,6.$$

Kanalning eni  $b$  va chuqurligi  $h$  larni ketma-ket yaqinlashish usuli bilan topamiz.  $h$  ga  $h = 1,0, 1,5, 2,0$  va h.k. qiymatlar berib,  $b$ ,  $\omega$ ,  $\chi$ ,  $R$ ,  $C$ ,  $Q$  larni hisoblab, 7.4-jadvalga yozamiz:

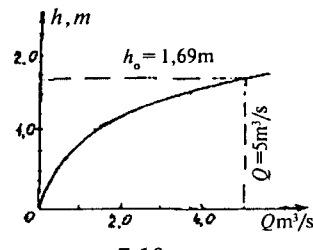
7.4-jadval

$\mathcal{H}, \text{m}$	$\mathcal{B}, \text{m}$	$\omega, \text{m}^2$	$\chi, \text{m}$	$R, \text{m}$	$\sqrt[4]{R}, \text{m}^{1/16}$	$c = \frac{1}{n} R^{1/16}$	$Q, \text{m}^3/\text{s}$
1	0,6	2,1	4,2	0,5	0,890	29,67	1,245
1,5	0,9	4,75	6,309	0,753	0,955	31,83	3,717
2,0	1,2	8,40	8,412	0,998	1,0	33,33	7,912
1,8	1,08	6,204	7,571	0,899	0,983	32,72	5,980
1,69	1,014	5,908	7,008	0,856	0,974	32,47	5,09

Jadval asosida  $h$  lar uchun topilgan  $Q$  lar grafikini quramiz. Grafikka misol shartida berilgan  $Q$  ni qo‘yib, unga to‘g‘ri keladigan chuqurlik  $h$  ni topamiz. To‘g‘ri topganligimizni tekshirish uchun  $h$  ni jadvalga qo‘yib hisoblaymiz. Hisoblangan  $Q_x$  misol shartida berilgan  $Q$  bilan to‘g‘ri kelishi kerak. Topilgan



7.9-rasm.

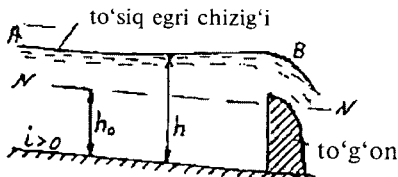


7.10-rasm.

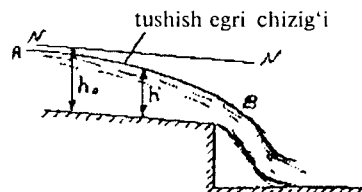
$h_0$  kanalda tekis harakat qilayotgan suvning normal chuqurligi deyiladi. Kanalning eni  $b = \beta h_0 = 1,014$  ga teng.

## 8-bob. O'ZAN VA KANALLARDA SUYUQLIKNING NOTEKIS HARA KATI

Anhor, kanallarda noteoris harakat qilayotgan suyuqlikni o'rganishda, odatda shu oqim harakatining egri sath chizig'ini ko'rish masalasi ko'rildi. Bu egri chiziqni topish bilan biz anhordagi suyuqlik oqimining olingan ixtiyoriy kesmasida uning chuqurligini va o'rtacha tezligini bilib olishimiz mumkin. Hayotda bunday noteoris harakat anhorda qurilgan sun'iy inshootlar oldida (to'g'on, kanal asosi pastga tushish joyi, kanalning bir nishabdan ikkinchi nishabga o'tish joyida va hokazo) bo'ladi.



8.1-rasm.



8.2-rasm.

Birinchi chizma (8.1-rasm) da oqimning yo'nalishi bo'yicha suyuqlik chuqurligi ortib boradi. Bunday holda suyuqlik sath chizig'i ( $AB$ ) ni to'siq egri chizig'i deyiladi. Ikkinci chizma (8.2-rasm) da oqimning chuqurligi yo'nalishi bo'yicha kamayib boradi. Bu holda esa egri sath chizig'ini tushish egri chizig'i deyiladi.

### 8.1-\$. SUYUQLIK NOTEKIS HARA KATINING DIFFERENSIAL TENGLAMASI

Anhordagi oqimning noteoris harakati tenglamasini keltirib chiqarish uchun 0—0 taqqoslash tekisligiga nisbatan ikkita 1—2 va 2—2 jonli kesmalarni olamiz (8.3-rasm). Bular uchun D. Bernulli tenglamasini yozamiz:

$$Z_1 + \frac{\alpha_1 v_1^2}{2g} = Z_2 + \frac{\alpha_2 v_2^2}{2g} + h_f, \quad (8.1)$$

Bunda:  $v_1$  va  $v_2$  — o'rtacha tezliklar;  $Z_1, Z_2$  — taqqlash tekisligidan suyuqlik sathigacha bo'lgan masofalar;

$\alpha_1, \alpha_2$  — tezlik tuzatmlari bo'lib, kesmalar bo'yicha notejis taqsimlangan tezlikni hisobga olgan koefitsiyentlar.  $h_f$  — 1-1 va 2-2 kesmalar orasidagi yo'qolgan dam.

(8.1) ifodani quyidagicha ham yozish mumkin:

$$Z_1 - Z_2 = \frac{\alpha_2 v_2^2}{2g} - \frac{\alpha_1 v_1^2}{2g} + h_f. \quad (8.2)$$

(8.2) ifodadan ko'rindiki, 1-1 va 2-2 kesmalar orasidagi solishtirma potensial energiyaning o'zgarishi solishtirma kinetik energiya o'zgarishi bilan yo'qolgan damlarning yig'indisiga teng.

Endi suyuqlik harakati bo'yicha ixtiyoriy kichik bo'lakcha  $\Delta s$  ni ajratib olamiz. Unda shu cheksiz kichik bo'lakcha  $\Delta s$  uchun D.Bernulli tenglamasi quyidagi ko'rinishga ega bo'ladi:

$$-dz = d\left(\frac{\alpha v^2}{2g}\right) + dh_f. \quad (8.3)$$

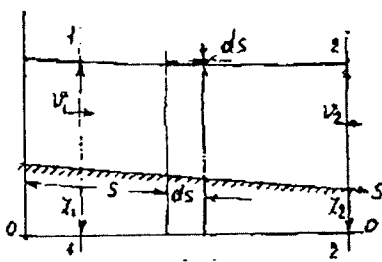
(8.3) ifodani  $ds$  bo'lakchaga bo'lsak,

$$-\frac{dz}{ds} = \frac{d}{ds}\left(\frac{\alpha v^2}{2g}\right) + \frac{dh_f}{ds}. \quad (8.4)$$

Endi bu ifodaning har bir hadini ko'rib chiqamiz.

1)  $\frac{dh_f}{ds}$  had yo'qolgan damni shu  $ds$  oraliqqa bo'linganligini, ya'ni gidravlik nishabi  $J_r$  ni bildiradi ( $\frac{dh_f}{ds} = J_r$ ). Bu gidravlik nishabni topish uchun biz shu kichik  $ds$  oraliqda notejis harakat qilayotgan suyuqliknii tekis harakat qilmoqda deb faraz qilamiz. Unda Shezi ifodasi

$$v = c\sqrt{Ri} \quad \text{dan:} \quad i = J_r = \frac{v^2}{c^2 R}. \quad (8.5)$$

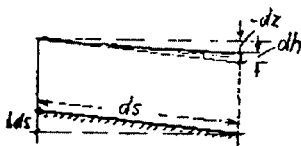


8.3-rasm.

Demak,

$$\frac{dh_f}{ds} = \frac{v^2}{c^2 R} = \frac{Q^2}{\omega^2 c^2 R}. \quad (8.6)$$

2)  $\frac{dh_f}{ds}$  ni ko'rish uchun  $ds$  oraliqni kattaroq bo'lgan masshtabda tekshiraylik. Suyuqlik o'z og'irligi bo'yicha erkin harakat qilgani uchun pyezometrik chiziq suyuqlik sathi ustiga tushadi. 8.4-rasmdan ko'rindadiki,



8.4-rasm.

yoki

$$-dz + dh = ids$$

$$-\frac{dz}{ds} + \frac{dh}{ds} = i;$$

$$-\frac{dz}{ds} = i - \frac{dh}{ds}. \quad (8.7)$$

Oxirgi hadda

$$\frac{d}{ds} \left( \frac{\alpha v^2}{2g} \right) = \frac{d}{ds} \left( \frac{\alpha Q^2}{\omega^2 \cdot 2g} \right).$$

$Q = \text{const}$ ,  $\alpha = \text{const}$ ,  $\omega = f_1(h)$ ,  $h = f_2(s)$  bo'lgan holda  $ds$  bo'yicha hosila olsak, unda

$$\frac{d}{ds} \left( \frac{\alpha Q^2}{\omega^2 \cdot 2g} \right) = -\frac{\alpha Q^2}{g \omega^3} \cdot \frac{d\omega}{dh} \cdot \frac{dh}{ds}.$$

Agar endi  $\frac{d\omega}{dh} = B$  ni hisobga oladigan bo'lsak,

$$\frac{d}{ds} \left( \frac{\alpha v^2}{2g} \right) = -\frac{\alpha Q^2}{g} \cdot \frac{B}{\omega^3} \cdot \frac{dh}{ds}. \quad (8.8)$$

(8.6), (8.7), (8.8) larni (8.4) ga qo'ysak, ushbuga ega bo'lamiz:

$$i - \frac{dh}{ds} = -\frac{\alpha Q^2}{g} \cdot \frac{B}{\omega^3} \cdot \frac{dh}{ds} + \frac{Q^2}{\omega^2 c^2 R}. \quad (8.9)$$

(8.9) dan  $\frac{dh}{ds}$  ni topamiz:

$$\frac{dh}{ds} = \frac{i - \frac{Q^2}{\omega^2 c^2 R}}{1 - \frac{\alpha Q^2}{g} \frac{B}{\omega^3}}. \quad (8.10)$$

Bu tenglama notekis harakat qilayotgan suyuqlikning asosiy differensial tenglamasi deyiladi (uning birinchi ko'rnishi).

## 8.2-§. KANAL KESMASINING SOLISHTIRMA ENERGIYASI VA KRITIK CHUQURLIGI

Kanal yoki anhorning ixtiyoriy kesmasini olib, undagi suv chuqurligini  $h$  deb belgilaymiz. Endi 0-0 taqqoslash tekisligini o'tkazamiz. Shu olingan kesma uchun to'la dam  $H$  quyidagi hadlar yig'inisiga teng, ya'ni

$$H = Z + \frac{P}{\gamma} + \frac{\alpha v^2}{2g} = Z + h + \frac{\alpha v^2}{2g}, \quad (8.11)$$

bunda:  $Z$  — taqqoslash tekisligidan kesmaning eng pastki nuqtasigacha bo'lgan masofa.

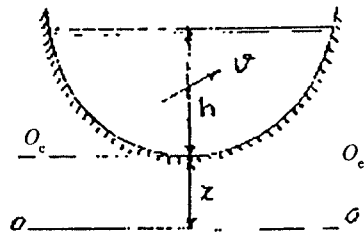
Agar endi anhordagi olingan eng pastki nuqtasidan taqqoslash tekisligi  $O_E$  ni o'tkazsak, u holda to'la dam  $H$  solishtirma energiya  $E$  ga teng bo'ladi, ya'ni solishtirma energiya to'la  $H$  damning xususiy holidir:

$$E = h + \frac{\alpha v^2}{2g} = h + \frac{\alpha Q^2}{\omega^2 \cdot 2g}. \quad (8.12)$$

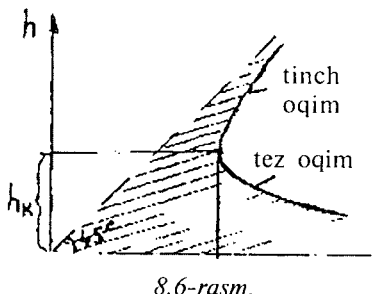
(8.12) ifodani ( $Q=\text{const}$ ) chuqurlik  $h$  o'zgarishiga qarab tekshirib ko'ramiz. Faraz qilaylik,

$$\begin{aligned} h &\rightarrow 0 \text{ da } E \rightarrow \infty, \\ h &\rightarrow \infty \text{ da } E \rightarrow \infty \end{aligned}$$

bo'lsin.



8.5-rasm.



bo‘ladi. Shtrixlangan soha esa tezlik dami o‘zgarishini ko‘rsatadi. Funktsianing minimumi egri chiziqni ikki bo‘lakka bo‘ladi. Egri chiziqning minimum qiyamatidan pastki qismi, ya’ni  $h < h_k$  qiyatlarga, yuqori qismi esa  $h > h_k$  larga ega.

Agar  $h = h_k$  bo‘lsa oqim kritik holatda bo‘ladi,  $h < h_k$  lar uchun oqim tez oqar,  $h > h_k$  lar uchun esa tinch oqar deyiladi.

Anhorning kesim yuzi va suyuqlik sarfi berilgan bo‘lsa, oqim kritik chuqurligi  $h_k$  ni topamiz.

Buning uchun oqimning solishtirma energiyasidan  $h$  bo‘yicha hosila olamiz:

$$\frac{dE}{dh} = \frac{d\left(h + \frac{\alpha Q^2}{\omega^2 \cdot 2g}\right)}{dh} = 0 ; \quad (8.13)$$

$$1 - \frac{\alpha Q^2}{g \omega^3} \cdot \frac{d\omega}{dh} = 0. \quad (8.14)$$

Agar  $\frac{d\omega}{dh} = B$  ni hisobga olsak,

$$1 - \frac{\alpha Q^2}{g \omega^3} \cdot B = 0. \quad (8.15)$$

Topilgan tenglamada  $B$  va  $\omega$  kritik chuqurlik  $h_k$  ga to‘g‘ri keladi, shuning uchun ularga indeks  $k$  qo‘yib yozish kerak:

$$\frac{\alpha Q^2}{g} = \frac{\omega_k^3}{B_k}. \quad (8.16)$$

Matematikadan ma’lumki,  $h$  ning chegara qiyatlarida  $E$  funksiya cheksizlikka intilganda  $h$  lar orasida shunday qiyamat borki, u qiyamatda funksiya  $E$  minimumga ega bo‘ladi.  $E_{\min}$  da chuqurlik  $h_k$  kritik chuqurlikka teng. 8.6-rasmidagi egri chiziqning  $E = f(h)$  da ikkita asimptotalari bor: biri  $45^\circ$  burchak ostida o‘tkazilgan  $OM$  chiziq bo‘lsa, ikkinchisi gorizontal chiziq  $OE$

(8.16) tenglamadan foydalanib,  $h_k$  chuqurlikni tanlash yo‘li bilan yoki grafik orqali topish mumkin. Buning uchun, bir necha  $h$  qiymatlarga mos  $\omega^3/B$  larni hisoblaymiz, keyin shular asosida egri chiziq grafigini quramiz. Grafikka anhordagi oqayotgan suv sarfi

$Q$  orqali topilgan qiymatni  $\left( \frac{\alpha Q^2}{g} = \frac{\omega^3}{B} \right)$  qo‘yib, unga to‘g‘ri keladigan  $h_k$  ni aniqlaymiz (8.7-rasm).

Xususiy holda anhorning kesma yuzi to‘g‘ri burchakli bo‘lsa, ya’ni  $B = b$  va  $\omega = h_k b$  bo‘lsa, (8.16) tenglama quyidagi ko‘rinishga ega bo‘ladi:

$$\frac{\alpha Q^2}{g} = \frac{b^3 h_k^3}{b}; \quad h_k^3 = \frac{\alpha Q^2}{gb^2}.$$

Bundan:

$$h_k = \sqrt[3]{\frac{\alpha Q^2}{b^2 g}}; \quad h_k = \sqrt[3]{\frac{\alpha q^2}{g}}, \quad (8.17)$$

bunda:  $q = Q/b$  — solishtirma suyuqlik sarfining oqim eniga bo‘lgan nisbat.

(8.17) ni boshqa ko‘rinishda ham yozish mumkin:

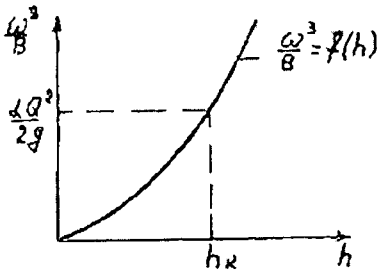
$$h_k = \sqrt[3]{\frac{\alpha Q^2}{b^2 g}} = \sqrt[3]{\frac{\alpha b^2 h^2 v^2}{b^2 g}}; \quad h_k^3 = \frac{h^2 \alpha v^2}{g}; \quad h_k = \frac{av^2}{g}.$$

Demak,

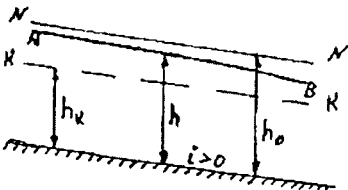
$$\frac{av^2}{2g} = 0,5 h_k. \quad (8.18)$$

Shunday qilib, to‘g‘ri burchakli anhorlar uchun chuqurlik  $h = h_k$  bo‘lganda, tezlik dami (solishtirma kinetik energiya) kritik chuqurlikning yarim qiymatiga teng bo‘ladi.

Agar berilgan suyuqlik sarfi uchun anhordagi oqayotgan suvning harakati tekis bo‘lsa, undagi hosil bo‘lgan chuqurlik *normal chuqurlik* deyiladi va  $h_0$  bilan belgilanadi (8.8-rasm). Normal chuqurlik  $h_0$  ga to‘g‘ri keladigan



8.7-rasm.



8.8-rasm.

anhorning har bir parametrini 0 indeks bilan belgilaymiz, ya'ni  $\omega_0$ ,  $\chi_0$ ,  $R_0$ ,  $c_0$ . Unda tekis harakat qilayotgan suyuqlikning tenglamasi

$$Q = \omega_0 c_0 \sqrt{R_0 i} = k_0 \sqrt{i} \quad (8.19)$$

bo'ladi, bunda:  $k_0 = \omega_0 c_0 \sqrt{R_0}$  —

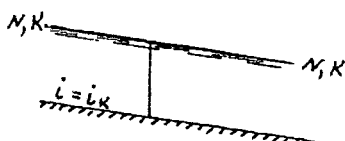
normal chuqurlik uchun sarf moduli.

Kanal tagidan  $h_0$  masofada o'tkazilgan chiziqlqa normal chuqurlikning chizig'i deyiladi; agar kritik  $h_k$  masofada o'tkazilgan bo'lsa, uni kritik chuqurlik chizig'i deyiladi.

### 8.3-§. KANALNING KRITIK NISHABI

Kanalning nishabiga va undagi oqayotgan suyuqlik sarfiga to'g'ri keladigan normal chuqurlik mayjud. Kanalning nishabi o'zgarishi bilan normal  $h_0$  chuqurlik ham o'zgaradi. Nishab qancha katta bo'lsa, chuqurlik  $h_0$  shuncha kichik bo'ladi. Kritik  $h_k$  chuqurlik esa kanalning nishabiga bog'liq emas, u faqat suyuqlik sarfiga va ko'ndalang kesmaning parametrlariga bog'liq.

Demak, biz kanal nishabini o'zgartirish natijasida shunday bir nishab  $i$  topib olishimiz mumkinki, bu nishab uchun suyuqlik chuqurliklari  $h_0$  va  $h_k$  lar bir-biriga teng:  $h_k = h_0$  bo'lishi mumkin.



8.9-rasm.

Bunday holda kanal nishabi  $i_k$  kritik nishab deyiladi. Kanalning kritik  $i_k$  nishabi deb shunday nishabga aytildiki, undagi oqayotgan suyuqlik sarfi  $Q$  tekis harakati sharti bilan oqib, chuqurligi  $h_k = h_0$  ga teng bo'ladi (8.9-rasm).

Quyidagi hollarni ko'rish mumkin:

$$\begin{aligned} i < i_k &\text{ bo'lsa, } h_0 > h_k; \\ i > i_k &\text{ bo'lsa, } h_0 < h_k; \\ i = i_k &\text{ bo'lsa, } h_0 = h_k. \end{aligned}$$

Kanal kritik nishabini topish uchun faraz qilaylik, oqayotgan suvning chuqurligi  $h_0 = h_k$  bo'lsin, unda nishab  $i = i_k$  bo'ladi. Normal  $NN$  va kritik  $KK$  chiziqlar ustma-ust tushib, kanaldagi oqim tekis harakatda bo'ladi, ya'ni

$$Q = \omega_0 c_0 \sqrt{R_0 i} = \omega_k c_k \sqrt{R_k i_k}, \quad (8.20)$$

bundan

$$i_k = \frac{Q^2}{\omega_k^2 c_k^2 R_k}. \quad (8.21)$$

Yuqorida aytilganga asosan kritik chuqurlik  $h_k$  ni (8.16) ifodadan aniqlab olish mumkin. Agar undan  $Q^2$  ni topib (8.21) ga qo'ysak,

$$i_k = \frac{\omega_k^3 g}{\alpha B_k \omega_k^2 c_k^2 R_k} = \frac{\omega_k g}{\alpha B_k c_k^2 R_k} = \frac{g}{\alpha c_k^2} \cdot \frac{\omega_k}{B_k R_k} = \frac{g}{\alpha c_k^2} \cdot \frac{\chi}{B_k}. \quad (8.22)$$

Eri keng bo'lgan kanallar uchun ( $\chi = B$ ) kritik nishabi quyidagicha bo'ladi:

$$i_k = \frac{g}{\alpha c_k^2}. \quad (8.23)$$

#### 8.4-§. NOTEKIS HARAKATNING ASOSIY DIFFERENSIAL TENGLAMASINI TEKSHIRISH

Differensial tenglamaning ko'rinishi quyidagicha:

$$\frac{dh}{ds} = \frac{i - \frac{Q^2}{\omega^2 c^2 R}}{1 - \frac{\alpha Q^2 \cdot B}{g \cdot \omega^3}}. \quad (8.24)$$

Bu tenglamani tekshirish uchun ikki holni ko'rib chiqamiz:

1) (8.24) ifodaning surati nolga teng:

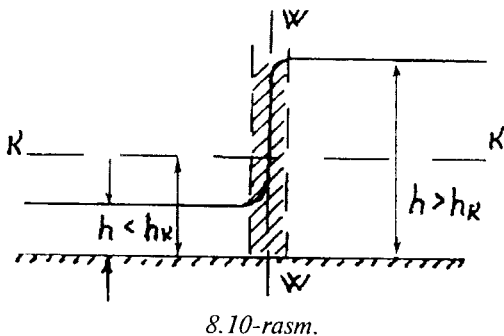
$$\begin{aligned} i - \frac{Q^2}{\omega^2 c^2 R} &= 0 && \text{yoki} && Q = \omega c \sqrt{R i}; \\ \frac{dh}{ds} &= 0, && dh = 0, && h = \text{const.} \end{aligned} \quad (8.25)$$

Bundan ko'rindiki, surati nol bo'lgan holda biz kanalda suyuqlikning tekis harakatiga ega bo'lamiz, ya'ni  $h = h_0$ .

2) (8.24) ifodada maxraj nolga teng:

$$1 - \frac{\alpha Q^2}{g} \cdot \frac{B}{\omega^3} = 0 \quad \text{yoki} \quad \frac{\omega^3}{B} = \frac{\alpha Q^2}{g} \quad \text{va} \quad \frac{dh}{ds} \rightarrow \infty . \quad (8.26)$$

Bilamizki, (8.26) ifoda chuqurlik  $h = h_k$  da to‘g‘ri bo‘ladi. Bundan ko‘rinadiki, (8.24) ifodaning maxraji nolga teng bo‘lganda  $h = f(s)$  funksiyaning hosilasi uzilishga ega. Bunda suyuqlik sathi egri chizig‘iga o‘tkazilgan urinma ( $dh/ds = \infty$ ) vertikal bo‘lib qoladi. Vertikal chiziqning yaqin oralig‘ida suyuqlik harakati keskin o‘zgarishini ko‘ramiz (8.10-rasm).



Chizmadan ko‘rinadiki, suyuqlik sathi shtrixlangan sohada silliq egri chiziqqa ega bo‘lmaydi; bunday hol faqat kritik chuqurlik chizig‘idan o‘tish paytida uchraydi. Chuqurlik  $h < h_k$  dan  $h > h_k$  ga o‘tish paytida, ya’ni tez oqar harakatdan tinch oqar harakatga o‘tish gidravlik sakrash yo‘li bilan amalga oshadi. Shuni esda tutish kerakki, suyuqlik chuqurligi  $h_k$  ga teng bo‘lganda, notejis harakatning differensial tenglamasi maxraji nolga aylanadi va  $\frac{dh}{ds} = \infty$  bo‘lib qoladi.

## 8.5-§. ANHORDAGI NOTEKIS HARAKAT QILAYOTGAN SUYUQLIK DIFFERENSIAL TENGLAMASINING IKKINCHI KO‘RINISHI

$\omega^2 c^2 R = K^2$  ni e’tiborga olsak, (8.24) tenglamani quyidagi ko‘rinishda yozish mumkin:

$$\frac{dh}{ds} = \frac{i - \frac{Q^2}{K^2}}{1 - \frac{\alpha Q^2 \cdot B}{g \cdot \omega^3}} . \quad (8.27)$$

Bu ifodadagi suyuqlik sarfi  $Q$  ni tekis harakat tenglamasidan aniqlaydigan bo'lsak,

$$Q = \omega_0 c_0 \sqrt{R_0 i} = K_0 \sqrt{i} \quad (8.28)$$

bo'ladi, bunda  $K_0 = \omega_0 c_0 \sqrt{R_0}$ .

(8.27) dagi  $\omega^3$  ni quyidagicha yozamiz:

$$\omega^3 = \omega^2 \cdot \omega = \omega^2 R \chi = \omega^2 R \chi \cdot \frac{c^2}{c^2} = K^2 \frac{\chi}{c^2}. \quad (8.29)$$

Yuqorida keltirilgan (8.28) va (8.29) ifodalarni (8.27) tenglamaga qo'syak:

$$\frac{dh}{ds} = \frac{i - \frac{K_0^2 i}{K^2}}{1 - \frac{K_0^2}{K^2} \left( \frac{\alpha c^2 i}{g} + \frac{B}{\chi} \right)}. \quad (8.30)$$

Agar  $\frac{\alpha c i^2}{g} \cdot \frac{B}{\chi} = j$  deb belgilasak, (8.30) tenglama quyidagi ko'rinishga ega bo'ladi:

$$\frac{dh}{ds} = i \frac{i - \frac{K_0^2}{K^2}}{1 - j \frac{K_0^2}{K^2}}. \quad (8.31)$$

To'pilgan tenglama suyuqlik notekis harakatining differensial tenglamasining ikkinchi ko'rinishini bildiradi. Bu (8.31) ifodada  $K = \omega c \sqrt{R}$  sarf moduli anhorning uzunligi bo'yicha o'zgarib boradi. U anhorning ixtiyoriy kesmasiga to'g'ri keladigan  $h$  chuqurlik bilan bog'liqdir. Suyuqlik sarfi  $Q = K_0 \sqrt{i}$  esa o'zgarmas miqdor bo'lib, normal chuqurlik  $h_0$  ga to'g'ri keladi. Chuqurlik o'zgarishi bilan  $j$  ham o'zgaradi.

To'pilgan (8.31) ikkinchi ko'rinishdagi differensial tenglamani integrallashda juda ko'p usullar bor. O'sha usullardan biri B.A. Baxmetyev usulidir. Bunday usulni ko'pincha har xil geometrik shaklga ega bo'lgan kanallarni hisoblashda tavsiya etiladi.

## 8.6-§. SARF MODULLARI NISBATLARI UCHUN KO'RSATKICHLI BOG'LANISH. ANHORNING GIDRAVLIK KO'RSATKICHI

Suyuqlikning notekis harakati differensial tenglamasiga kiruvchi  $K_0^2/K^2$  had chuqurlik  $h$  bilan juda murakkab funksiya orqali bog'langan ( $K = \omega c \sqrt{R}$  da  $\omega, c, R$  lar ba'zi holda,  $h$  orqali juda murakkab ko'rinishda bog'langan bo'ladi). Shu munosabat bilan differensial tenglama (8.31) ni yechishda ancha qiyinchilikka duch kelinadi. Masalani yengillashtirish uchun, B.A. Baxmetiyev taqribiy bo'lgan ko'rsatkichli bog'lанишдан foydalanishni tavsija etadi:

$$\left( \frac{K_1}{K_2} \right)^2 = \left( \frac{h_1}{h_2} \right)^x, \quad 8.32)$$

bunda:  $h_1$  va  $h_2$  — prizmasimon kanalda olingan ixtiyoriy chuqurliklar;  $K_1$  va  $K_2$  — shu chuqurliklarga mos keladigan sarf modullari. To'g'ri nishab ( $i > 0$ ) ga ega bo'lgan anhordagi chuqurliklardan birini (8.32) ifodada normal  $h_0$  chuqurlik bilan bog'lasak, unda

$$\left( \frac{K_0}{K} \right)^2 = \left( \frac{h_0}{h} \right)^x \quad (8.33)$$

ga ega bo'lamiz. Bu ifodadagi  $x$  ko'rsatkich anhorning gidravlik ko'rsatkichi deyiladi. Ko'rsatkich  $x$  ni topishda (8.33) ifodani logarifmlash kerak bo'ladi:

$$x = \frac{2(\lg K_0 - \lg K)}{\lg h_0 - \lg h}. \quad (8.34)$$

Topilgan  $x$  miqdor anhorlarni ko'ndalang kesmalarining geometrik shakliga qarab har xil qiymatlarga ega, lekin to'g'ri shaklga ega bo'lgan silindrik anhorlar uchun  $x$  miqdorni o'zgarmas deb hisoblasa bo'ladi.

(8.33) ifoda taqribiy hisoblanadi, shunday bo'lsa ham kanallarga qo'llaniladi. Lekin shunday anhorlar guruhi borki, ularga (8.33) ifodani butunlay qo'llash mumkin emas (masalan, shakli halqasimon bo'lgan kanallarga).

## 8.7-§. ANHORDAGI SUYUQLIK NOTEKIS HARAKATINING DIFFERENSIAL TENGLAMASINI B.A.BAXMETYEV USULI BILAN INTEGRALLASH

(8.31) differensial tenglamaning ikkinchi ko‘rinishini ba’zi o‘zgarishlar orqali integrallash uchun qulay holga keltiriladi. Shu maqsad bilan B.A.Baxmetev ifodasi (8.33) dan foydalani, (8.31) dagi sarf modullar nisbat kvadrati  $(K_0/K)^2$  ni chuqurliklar nisbatining  $x$  darajasi  $\left(\frac{h_0}{h}\right)^x$  bilan almashtiramiz:

$$\frac{dh}{ds} = i \frac{1 - \left(\frac{h_0}{h}\right)^x}{1 - j\left(\frac{h_0}{h}\right)^x}; \quad (8.35)$$

$$\frac{dh}{ds} = i \frac{h^x - h_0^x}{h^x - jh_0^x}. \quad (8.36)$$

(8.36) ifoda differensial tenglamaning uchinchi ko‘rinishini bildiradi. Bu tenglamani integrallash uchun  $h/h_0 = \eta$  o‘zgarish kiritamiz ( $\eta$  – nisbiy chuqurlik), unda  $h = \eta h_0$  yoki  $dh = h_0 d\eta$  bo‘ladi.

Shu nisbatlarni hisobga olganda (8.36) tenglamani quyidagicha yozish mumkin:

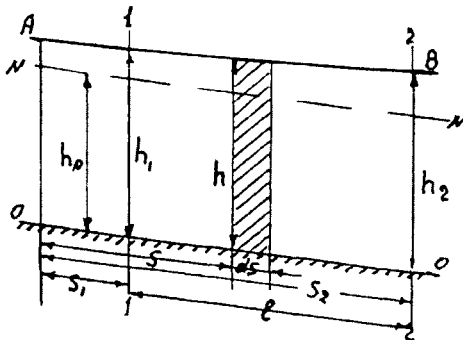
$$\frac{h_0 d\eta}{ds} = i \frac{\eta^x - 1}{\eta^x - j}. \quad (8.37)$$

Agar endi o‘zgaruvchilarni ajratib yozadigan bo‘lsak,

$$\frac{ids}{h_0} = \frac{\eta^x - j}{\eta^x - 1} d\eta = \left[ \frac{\eta^x - 1 + 1 - j}{\eta^x - 1} \right] d\eta = d\eta + \frac{1 - j}{\eta^x - 1} d\eta.$$

Bundan esa:

$$\frac{ids}{h_0} = d\eta - \frac{1 - j}{1 - \eta^x} d\eta. \quad (8.38)$$



8.11-rasm.

quyidagiga ega bo‘lamiz:

$$\frac{i(S_2 - S_1)}{h_0} = \eta_2 - \eta_1 - \int_{\eta_1}^{\eta_2} \frac{1-j}{1-\eta^x} d\eta, \quad (8.39)$$

bunda

$$\eta_1 = \frac{h_1}{h_0} \quad \text{va} \quad \eta_2 = \frac{h_2}{h_0}.$$

Odatda, miqdor  $j$  oqim chiqarligiga bog‘liq bo‘lsa ham juda kam o‘zgaradi. Shuni hisobga olgan holda,  $(1-j)$  ni integral tashqarisiga chiqarish mumkin. Chiqarishdan oldin  $j$  ni  $1-1$  va  $2-2$  kesmalar orasidagi o‘rtacha qiymati topiladi. Uzunlik  $S_2 - S_1 = l$  ni hisobga olsak, (8.39) ifoda quyidagiga teng bo‘ladi:

$$\frac{il}{h_0} = \eta_2 - \eta_1 - (1-j) \int_{\eta_1}^{\eta_2} \frac{d\eta}{1-\eta^x}. \quad (8.40)$$

Agar endi berilgan anhor uchun  $x = \text{const}$  bo‘lsa, (8.40) ifodaning integral ostidagi funksiyasini faqat  $h$  ga bog‘liq deb qarash mumkin:

$$\int_{\eta_1}^{\eta_2} \frac{d\eta}{1-\eta^x} = B(\eta). \quad (8.41)$$

Uni Baxmetev funksiyasi deymiz va (8.40) ifodaga qo‘yamiz:

8.11-rasmda suyuqlik harakati ko‘rsatilgan. Bunda  $AB$  egri chiziq topish kerak bo‘lgan chiziqdir.  $1-1$  va  $2-2$  kesmalar orasidagi masofa  $l$  ga teng. Agar o‘lchov boshidan qaraladigan bo‘lsa,  $1-1$  kesma  $S_1$  masofada,  $2-2$  kesma esa  $S_2$  masofada joylashgan. Agar endi gidravlik elementlari  $1-1$  kesma va  $2-2$  larga qarab «1» va «2» indekslar bilan belgilansa va (8.38) ifodani integrallallasak,

$$\frac{il}{h_0} = \eta_2 - \eta_1 - (1 - j_{ort}) [B(\eta_2) - B(\eta_1)]. \quad (8.42)$$

Bu esa  $AB$  egri chiziq (suyuqlik sathi)ning tenglamasi bo‘ladi va uni Baxmetyev tenglamasi deyiladi.

Baxmetyev tenglamasiga kirgan  $j_{o\cdot n} = \frac{j_1 + j_2}{2}$  da:

$j_1$  va  $j_2$  lar chuqurlik  $h_1$  va  $h_2$  lar uchun:

$$j = \frac{\alpha i c^2}{g} \cdot \frac{B}{\chi} \quad \text{yoki} \quad j_{o\cdot n} = \frac{\alpha i c_{o\cdot n}^2}{g} \cdot \frac{B_{o\cdot n}}{\chi_{o\cdot n}}.$$

$C_{o\cdot n}$ ,  $B_{o\cdot n}$ ,  $\chi_{o\cdot n}$  lar chuqurlik  $h_{o\cdot n} = \frac{h_1 + h_2}{2}$  uchun topiladi.

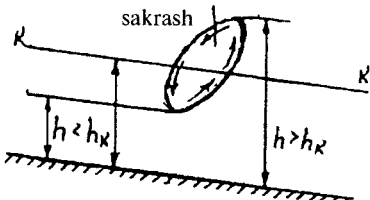
Baxmetyev funksiyasi  $B(\eta)$  har xil  $\eta$  va  $x$  lar uchun qatorga yoyilib integrali hisoblangan. Topilgan qiymatlar gidravlikadan eslatma kitoblarining maxsus jadvallarida beriladi.

Berilgan anhor uchun gidravlik ko‘rsatkich  $x$  ni (8.33) ifodadan topib, maxsus jadvaldan ma’lum bo‘lgan  $h_1$  va  $h_2$  lar uchun ularga to‘g‘ri keladigan  $B(\eta_1)$  va  $B(\eta_2)$  funksiyalarni topib olamiz. Notekis harakat tenglamasi yorda mida hayotda uchraydigan har xil masalalarni yechish mumkin. Masalan, suyuqlik sathi egri chizig‘ini va ixtiyoriy berilgan oqim kesmasining chuqurligini topish mumkin.

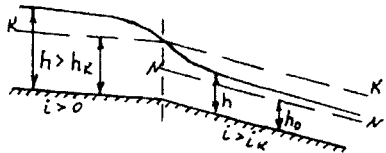
## 8.8-§. PRIZMATIK ANHORDA NOTEKIS HARAKAT QILAYOTGAN SUV SATHINING MUMKIN BO‘LGAN SHAKLI

Suv sathining egri chizig‘i turli shaklda bo‘lishi mumkin. Egri chiziq sathining shakli haqiqiy, normal va kritik chuqurliklarning qiymatlariga bog‘liq. Yuqorida aytilgan bo‘yicha  $h = h_k$  da  $\frac{dh}{ds} = \infty$  bo‘lib,  $h = f(s)$  funksiya uzilishga ega bo‘ladi. Demak, notekis harakat tenglamasini suyuqlik chuqurligi kritik chuqurlikka yaqin bo‘lgan oqim sohasida qo’llash mumkin emas.

Tez oqim harakatidan tinch oqimga o‘tish (8.12-rasm) gidravlik sakrash bilan amalga oshiriladi. Tinch oqimdan tez oqim harakatiga o‘tish (8.13-rasm) esa oqib tushish orqali bo‘ladi.



8.12-rasm.



8.13-rasm.

To'g'ri nishabga ega ( $i > 0$ ) anhordagi suyuqlik sathining mumkin bo'lgan shaklini ko'ramiz.

Buning uchun notejis harakat differensial tenglamasining uchinchi ko'rinishidan foydalanamiz:

$$\frac{dh}{ds} = i \frac{h^x - h_0^x}{h^x - jh_0^x}.$$

Bu tenglamaning o'ng tomonidagi maxraj  $h = h_k$  bo'lgan holda nolga aylanishini hisobga olsak,  $h_k^x - jh_0^x = 0$  deb yozishimiz mumkin. Agar  $j = \text{const}$  bo'lganda o'zgarmas keng kanallarda  $B = \chi$  deb olinsa,  $jh_0^x = h_k^x$  bo'ladi. Demak, differensial tenglamaning uchinchi ko'rinishini boshqacha ham yozish mumkin:

$$\frac{dh}{ds} = i \frac{h^x - h_0^x}{h^x - h_k^x}. \quad (8.43)$$

Topilgan ifoda notejis harakat qilayotgan suyuqlik differensial tenglamasining to'rtinchi ko'rinishi bo'ladi. (8.43) ifodani kanalda oqayotgan suv sathi shaklini aniqlashda ishlatish mumkin.

Asosi to'g'ri nishab bo'lgan anhorda oqayotgan suv sarfi chizig'inining uchta holatini ko'rish mumkin:

- 1)  $h_0 > h_k$  bo'lganda,  $i < i_k$  bo'ladi;
- 2)  $h_0 < h_k$  bo'lganda,  $i > i_k$  bo'ladi;
- 3)  $h_0 = h_k$  bo'lganda,  $i = i_k$  bo'ladi.

Har bir hol uchun suyuqlik sathining mumkin bo'lgan shaklini ko'ramiz.

**Birinchi hol:**  $h_0 > h_k$  va  $i < i_k$ .

Suyuqlik yo'nalishi bo'yicha o'tkazilgan  $NN$  va  $KK$  chiziqlar suv oqayotgan sohani chuqurlik  $h$ ,  $h_0$ ,  $h_k$  larga nisbatan uch bo'lakka bo'ladi va bu bo'laklarda uch xil sath egri chizig'i bo'lishi mumkin (8.14-rasm):

1) agar  $h > h_0 > h_k$  bo'lsa,  $a_1$  egri chiziq bo'ladi. Bu holda egri chiziq  $a$  sohada  $h_0$  normal chiziqdan yuqorida yotadi. Bundan (8.43) ifodada, ya'ni differential tenglamaning to'rtinchi ko'rinishida surat va maxraji musbatdir, ya'ni  $dh/ds > 0$ .

Bundan xulosa qilish mumkinki, oqim chuqurligi yo'nalishi bo'yicha oshib boradi. Odatda, bunday chiziqlar to'g'on oldilarida kuzatiladi.

2) Agar  $h_0 > h > h_k$  bo'lsa,  $b_1$  egri chiziq bo'ladi. Bu holda egri chiziq  $b$  sohaning  $NN$  va  $KK$  chiziqlari orasida joylashadi. Haqiqiy chuqurlik  $h > h_k$  va  $h < h_0$  bo'lgani uchun, to'rtinchi tenglamaning o'ng tomoni manfiy, ya'ni  $dh/ds < 0$  bo'ladi. Suyuqlik sathining egri chizig'i tushish chizig'i deyiladi.

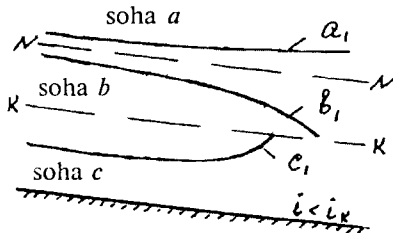
3) Agar  $h < h_k < h_0$  bo'lsa,  $c_1$  egri chiziq bo'ladi va  $c$  sohada  $KK$  kritik chiziqdan pastda bo'ladi. Haqiqiy chuqurlik  $h < h_k < h_0$  bo'lgani uchun to'rtinchi tenglamaning o'ng tomoni surati va maxraji manfiy, nisbati esa musbat, ya'ni  $dh/ds > 0$  bo'ladi. Demak,  $c_1$  egri chiziq to'siq chizig'i bo'ladi.

**Ikkinci hol:**  $h_0 < h_k$  va  $i > i_k$ .

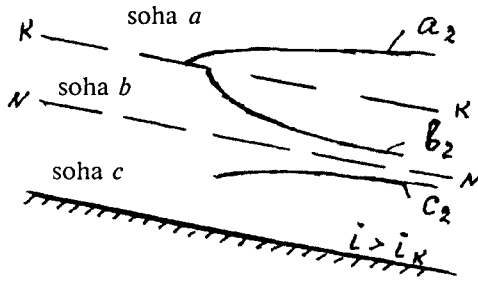
Normal chuqurlik chizig'i kritik chuqurlik chizig'iga nisbatan pastda joylashgan. Bunda ham suyuqlik sathining egri chizig'i uch ko'rinishda bo'ladi (8.15-rasm):

1) agar  $h > h_k > h_0$  bo'lsa,  $a_2$  egri chiziq bo'ladi. Bu egri chiziq  $a$  sohada bo'ladi. Differential tenglamaning o'ng tomoni musbat:  $dh/ds > 0$ . Demak, suyuqlik chuqurligi harakat yo'nalishi bo'yicha ortib boradi va hosil bo'lgan chiziq to'siq egri chizig'i deyiladi;

2) agar  $h_k > h > h_0$  bo'lsa,  $b_2$  egri chiziq bo'ladi. Bunday egri chiziq  $b$  sohada joylashadi. To'rtinchi differential tenglama o'ng tomonining surati musbat, maxraji manfiy, nisbati ham manfiy bo'ladi. Demak,



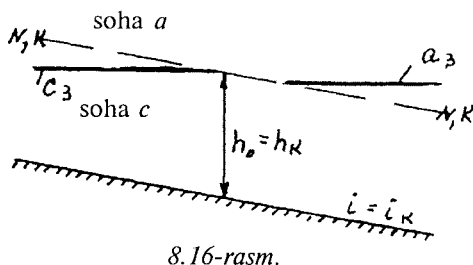
8.14-rasm.



8.15-rasm.

$dh/ds < 0$ , ya'ni suyuqlik chuqurligi oqim yo'nalishi bo'yicha kamayib boradi va hosil bo'lgan sath egri chiziqlarning tushish egri chizig'i deyiladi;

3)  $h < h_0 < h_k$  bo'lganda,  $c_2$  egri chiziqlar bo'ladi. Bunday egri chiziqlar  $c$  sohada bo'ladi. To'rtinchi



differensial tenglama o'ng tomonining surati ham, maxraji ham manfiy, nisbati musbat bo'ladi:  $dh/ds > 0$ . Bu degani, suyuqlik chuqurligi oqim yo'nalishi bo'yicha ko'payib boradi va hosil bo'lgan sath egri chizig'i to'siq egri chizig'i deyiladi.

**Uchinchi hol:**  $h_0 = h_k$ ,  $i = h_k$ .

Normal NN va KK kritik chiziqlar ustma-ust tushgan. Bunda  $b$  soha yo'q bo'ladi (8.16-rasm).

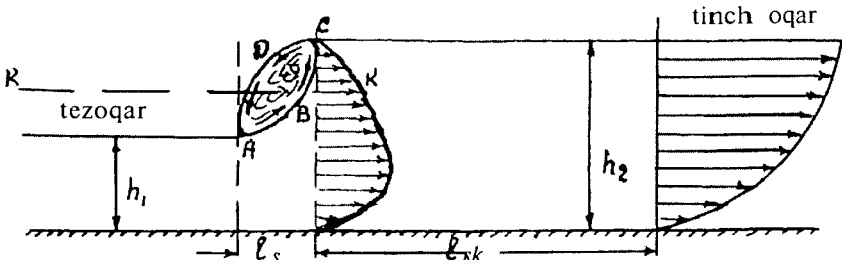
1)  $h > (h_0 = h_k)$  va  $dh/ds > 0$  da to'siq egri chizig'i bo'ladi.

2)  $h < (h_0 = h_k)$  va  $dh/ds > 0$  da to'siq chizig'i bo'ladi.

Maxsus tekshirishlar shuni ko'rsatadiki, bu  $a_3$  va  $c_3$  egri chiziqlar gorizontal to'g'ri chiziqlarga yaqin bo'ladi.

### 8.9-§. GIDRAVLIK SAKRASH

Gidravlik sakrash deb oqim chuqurligi keskin ko'payganda, tezoqar holatdan tinch oqar holatga, ya'ni  $h_1 < h_k$  chuqurlikdan  $h_2 > h_k$  chuqurlikka o'tishga aytildi. Bunday o'tish kanalning uncha katta bo'lmagan  $l_s$  masofada sodir bo'ladi.  $l_s$  — sakrash uzunligi deyiladi. O'lcangan 1 — 1 va 2 — 2 kesimlardagi chuqurliklar bir-biri bilan bog'liqidir. Bu chuqurliklar sakrash boshida  $h_1$ , sakrashdan keyin  $h_2$  ga teng (8.17-rasm).



8.17-rasm.

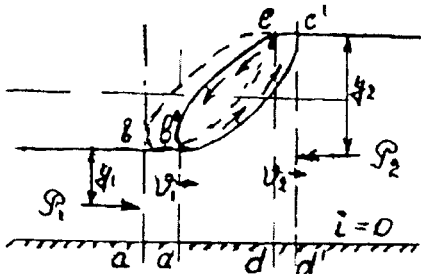
Chuqurliklar ayirmasi  $a = h_2 - h_1$  sakrash balandligi deyiladi. Suyuqlik oqimi chuqurligi ortib borib, kritik chuqurligi chizig'idan o'tib ketsa, gidravlik sakrash paydo bo'ladi. Sakrash oralig'ida suyuqlik quyidagi harakatda bo'lishini kuzatish mumkin:

*ABC* chiziq halqasimon *ABCD* dan ajralib turadigan sirt bo'lib, tranzit oqayotgan suyuqlikni ajratib turadi. *ABC* sirt ostida oqimning chuqurligi keskin  $h_1$  chuqurlikdan  $h_2$  ga ortib boradi, yuqorisida esa halqasimon sirt (o'rama suv soha) hosil bo'ladi. Halqaning pastida suyuqlik harakatining o'rtacha tezliklari oqim yo'nalishi bo'yicha yo'nalgan, yuqori qismida esa zarrachalar harakati *CDA* yo'nalish bo'yicha teskari harakatda bo'ladi. Halqadagi suyuqlik harakati kuchli va havo pufakchalarga to'yingan bo'lganligi uchun ham suyuqlik oqimi tiniq bo'lmaydi. Sakrash bir joyda turmasdan, oldiga yoki orqaga siljib turadi. Sakrashdan keyingi oraliqda kesma  $2 - 2$  dan  $3 - 3$  gacha suyuqlikning o'rtacha tezliklari taqsimlangani ko'rsatilgan. Bu  $2 - 2$  kesmaning eng yuqori *C* nuqtasida tezlik nolga teng. Kanalning tagiga yaqin joylarda tezlik katta, shuning uchun kanalning tagi yuvilib ketish hollari bo'ladi. Tezliklar epyurasi sekin-asta o'zgaradi va kesma  $3 - 3$  ga kelganda, tekis taqsimlangan tezlik epyurasi hosil bo'ladi, ya'ni suyuqlik tekis harakatlanadi. Undan tashqari, shu oraliqda sakrash natijasida tezlikning keskin oshishi hamda pulsatsiya hisobiga anhorning tagi yuvilishi ko'payadi. Demak, anhor tagi yuvilishi asosan sakrashdan keyingi  $2 - 2$  va  $3 - 3$  oraliqda bo'ladi. Anhorni  $3 - 3$  kesmasidan keyin suyuqlik oqimi tekis taqsimlangan bo'lib, tagining yuvilishi ancha kam bo'ladi. Gidravlik sakrash birinchi bo'lib Belanje va Businesk tomonidan XIX asrning oxirlarida o'rganilgan. Ular harakat miqdori teoremasini qo'llab, bir-biriga bog'liq bo'lgan sakrashdan oldindi  $h_1$  chuqurlik bilan sakrashdan keyingi  $h_2$  tenglamasini topishgan va uni sakrashning asosiy tenglamasi deyiladi.

## 8.10-§. GIDRAVLIK SAKRASHINING ASOSIY TENGLAMASI

To'g'ri shaklga ega bo'lgan prizmatik kanalda gidravlik sakrashni ko'ramiz. Sakrash kichik  $1 - 2$  oraliqda bo'lgani uchun, kanal nishabini shu oraliqda hisobga olmaymiz va uni gorizontal ( $i = 0$ ) deb qaraymiz (8.18-rasm).

Suyuqlik yo'nalishini  $S$  deb belgilaymiz. Sakrash tenglamasini keltirib chiqarish uchun  $dt$  vaqt ichida harakat miqdor o'zgarishini ko'rileyotgan



8.18-rasm.

$$\begin{aligned}\delta(XM) &= XM(a'b'c'd') - XM(abcd) = \\ &= XM(a'b'cd + dc'c'd') - XM(abb'a' - a'b'cd) \\ \text{yoki} \quad \delta(XM) &= XM(dc'c'd') - XM(abb'a').\end{aligned}\tag{8.44}$$

Agar harakat miqdorini suyuqlik sarfi orqali ifodalasak,

$$XM(abb'a') = \frac{\gamma}{g} QV_1 dt; \tag{8.45}$$

$$XM(dc'c'd') = \frac{\gamma}{g} QV_2 dt. \tag{8.46}$$

Topilgan (8.45) va (8.46) ifodalar suyuqlikning tezligi  $v_1$  bo‘lgan  $a - b$  kesmadan va tezligi  $v_2$  bo‘lgan  $c - d$  kesmadan  $dt$  vaqt ichida o‘tgan harakat miqdori bo‘ladi.  $dt$  vaqt ichida harakat miqdorining o‘zgarishi quyidagi teng:

$$\begin{aligned}\delta(XM) &= \frac{\gamma}{g} QV_2 dt - \frac{\gamma}{g} QV_1 dt = \frac{\gamma}{g} Q(V_2 - V_1) dt; \\ \delta(XM) &= \frac{\gamma}{g} Q^2 \left( \frac{1}{\omega_2} - \frac{1}{\omega_1} \right) dt, \\ \text{bunda} \quad V_1 &= \frac{Q}{\omega_1}, \quad V_2 = \frac{Q}{\omega_2}.\end{aligned}\tag{8.47}$$

$dt$  vaqt ichida  $abcd$  hajmga ta’sir etgan kuchlar impulsini suyuqlik harakat yo‘nalishiga proyeksiyalari yig‘indisini topamiz. Buning uchun quyidagi shartlarni qabul qilamiz:

suyuqlik hajmiga ( $abcd$ ) qo‘llaymiz. Faraz qilaylik, juda kichik vaqt  $dt$  ichida kesma  $a - b$  dan  $a' - b'$  ga siljiganda kesma  $c - d$   $c' - d'$  ga suriladi. Shunda suyuqlik hajmi  $abcd$  holatdan  $a'b'c'd'$  holatga o‘tadi.  $dt$  vaqt ichida  $abcd$  hajmnинг harakat miqdori o‘zgarishining yo‘nalish  $S$  tomonga proyeksiyasini topamiz:

1)  $a - b$  va  $c - d$  kesmalarda suyuqlik harakati silliq o'zgaruvchan bo'lib, bosim taqsimlanishi gidrostatik qonuniyatga to'g'ri keladigan bo'lsin;

2) sakrash oralig'i kichik bo'lgani uchun, shu oraliqda kanalning devor tomonidan suyuqlikka ta'sir etayotgan ishqalanish kuchi hisobga olinmasin. Bu shartlarni hisobga olganda, kuchlar impulsini hisoblashda faqat ikkita kuch:  $F_1$  va  $F_2$  ni olamiz.  $F_1$  kuch  $ab$  kesmaga chap tomondan ta'sir etadi,  $F_2$  esa  $cd$  kesmaga o'ng tomondan ta'sir etadi.  $F_1$  va  $F_2$  kuchlarlarni solishtirma og'irlik birligi bilan ifodalasak,

$$F_1 = \gamma_1 y_1 \omega_1; \quad F_2 = \gamma_1 y_2 \omega_2, \quad (8.48)$$

bunda:  $y_1$  va  $y_2$  — kesma  $ab$  va  $dc$  larning og'irlik markazidan suyuqlik sathigacha bo'lgan masofalar;  $\omega_1$ ,  $\omega_2$  —  $ab$  va  $dc$  kesmalarining yuzi.

(8.48) ifodadan foydalanib,  $dt$  vaqt ichida suyuqlik yo'nalishi bo'yicha olingan kuchlar impulsi proyeksiyalarining yig'indisini topamiz:

$$\sum(KI) = \gamma y_1 \omega_1 dt - \gamma y_2 \omega_2 dt = \gamma(y_1 \omega_1 - y_2 \omega_2) dt. \quad (8.49)$$

Agar harakat miqdori o'zgarishi teoremasiga asosan suyuqlik harakat miqdori o'zgarishini kuchlar impulsini yig'indisiga tenglashtirsak, quyidagiga ega bo'lamiz:

$$\frac{\gamma}{g} Q^2 \left( \frac{1}{\omega_2^2} - \frac{1}{\omega_1^2} \right) dt = \gamma(y_1 \omega_1 - y_2 \omega_2) dt. \quad (8.50)$$

(8.50) ifodani  $\gamma dt$  ga qisqartirib, 1 indeksli hadlarni chap tomonga, 2 indeksli hadlarni o'ng tomonga o'tkazamiz:

$$\frac{Q^2}{g \omega_1} + y_1 \omega_1 = \frac{Q^2}{g \omega_2} + y_2 \omega_2. \quad (8.51)$$

Hosil bo'lgan ifoda *gidravlik sakrashning asosiy tenglamasi* deyiladi. Bu tenglamadan ko'ramizki, uning chap tomoni  $h_1$  chuqurlikka tegishli bo'lgan funksiya, o'ng tomoni esa  $h_2$  chuqurlikka tegishli bo'lgan funksiyalarini bildiradi. Ushbu

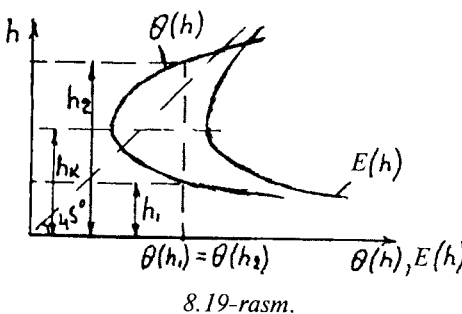
$$\frac{Q^2}{g \omega} + y \omega = \theta(h) \quad (8.52)$$

belgilashni kiritamiz, bunda  $h$  kesmaga tegishli bo'lgan chuqurlik,  $y$ ,  $\omega$  lar esa shu kesmaga tegishli bo'lgan miqdorlar. Bunday  $\theta(h)$  funksiyani *sakrash funksiyasi* deyiladi. Agar sakrash funksiyasini (8.51) ga qo'ysak, unda:

$$\theta(h_1) = \theta(h_2), \quad (8.53)$$

bu yerda:  $\theta(h_1)$  va  $\theta(h_2)$  lar  $h_1$  va  $h_2$  larga to'g'ri keladigan sakrash funksiyalaridir. (8.53) tenglamadan ko'rish mumkinki, bir-biriga bog'liq bo'lgan  $h_1$  va  $h_2$  chuqurliklar uchun sakrash funksiyalarining qiymatlari bir xildir. Shundan foydalanib, bir-biri bilan bog'liq bo'lgan chuqurliklardan biri ma'lum bo'lsa, ikkinchisini topib olish mumkin.

8.19-rasmda sakrash funksiyasi  $\theta(h)$  ning grafigi chizilgan va bizga ma'lum solishtirma energiya  $E(h)$  grafigi ham berilgan. Bu grafiklarni solishtirma energiya (8.12) va sakrash (8.52) funksiyalari yordamida qurish mumkin.



Grafikdan ko'rinib turibdiki, sakrash va solishtirma energiya funksiyalarining eng kichik minimum qiymatlari kritik  $h_k$  chuqurlikka to'g'ri keladi. Sakrash funksiyasi grafigidan foydalanib, hamda  $\theta(h_1) = \theta(h_2)$  bog'lanishi-

ni hisobga olgan holda chuqurlik  $h_1$  ma'lum bo'lsa, unga bog'liq bo'lgan chuqurlik  $h_2$  ni topib olishimiz mumkin.

Sakrash uzunligini aniqlashda olimlar tomonidan ko'p tajribalar o'tkazish natijasida topilgan empirik ifodalardan foydalilanildi. Ulardan eng oddiysi:

$$I_s = ma \quad (8.54)$$

bo'lib, bunda:  $a$  — sakrash balandligi;

$m = 3 \leq m \leq 6$  oralig'ida olingan koeffitsiyent.

Sakrash uzunligini topish uchun juda ko'p ifodalar mavjud. Shulardan biri adabiyotlarda tez-tez uchrab turadigan Safranets ifodasi

$$I_s = 4,5 h_2 \quad (8.55)$$

va Pavlovskiy ifodasidir:

$$l_s = 2,5(1,9 h_2 - h_1), \quad (8.56)$$

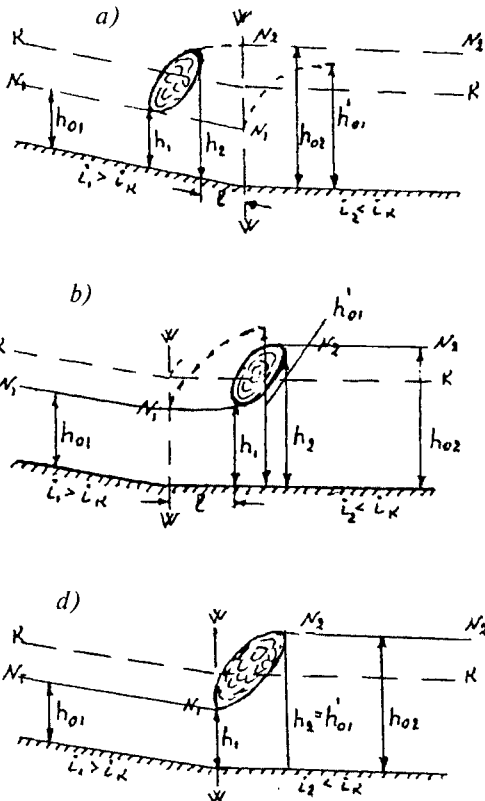
bunda:  $h_1$  va  $h_2$  — sakrashdan oldingi va undan keyingi chuqurliklar.

### 8.11-§. SILINDRIK KANAL TAGINING NISHABI KESKIN O'ZGARGAN HOLDA OQIM SATHINING SHAKLLARI

8.20-rasmdagi silindrik kanalning nishabi  $WW$  kesmada keskin o'zgargan. Bu  $WW$  kesmagacha kanalning nishabi  $i_1 > i_k$ , chuqurligi  $h_{01}$ ; kesmadan keyin esa nishabi  $i_2 < i_k$ , chuqurligi  $h_{02}$  bo'lisin. Demak,  $h_{01} < h_k$  va  $h_{02} > h_k$  bo'ladi. Bu holda oqimni kritik chuqurlik chizig'i  $KK$  kesib o'tadi va suyuqlik sathining shakli uch xil ko'rinishda bo'lishi mumkin (rasmgaga qarang). Rasmida ko'rsatilgan har bir holatni ko'rib chiqamiz. Buning uchun kanalning  $WW$  kesmasigacha bo'lgan chap tomonida tezoqar oqim tekis harakatda va chuqurligi  $h_{01}$  deb qabul qilamiz va sakrashning asosiy teng lamasiga ko'ra chuqurlik  $h'_{01}$  ikkinchi chuqurlikni topamiz. So'ng aniqlangan chuqurlikni  $WW$  kesmadan keyingi o'ng tomonidagi normal  $h_{02}$  chuqurlik bilan solishtiramiz: agar  $h_{02} >$

$h'_{01}$  bo'lsa, unda oqim sathining shakli 8.20-a rasmda ko'r-satilganday bo'ladi; agar  $h_{02} < h'_{01}$  bo'lsa, 8.20-b rasmdagi ko'rinish bo'ladi: agar  $h_{02} = h'_{01}$  bo'lsa, 8.20-d rasmdagi ko'rinish bo'ladi.

Shunday qilib, oqim sathi shakli aniqlab olingandan so'ng



8.20-rasm.

8.20-a, 8.20-b rasmlarda ko'rsatilgan  $l$  uzunliklarni osonlikcha topish mumkin. Masalan, 8.20-b rasm uchun: 1) gidravlik sakrashning asosiy tenglamasidan chuqurlik  $h_2 = h_{02}$  ga bog'liq bo'lgan  $h_1$  chuqurlikni topamiz; 2) Baxmetyev tenglamasi (8.42) dan  $l$  uzunlikni (to'siq  $s_1$ , egri chiziqa tegishli bo'lgan masofani) topamiz.  $s_1$  chiziq boshidagi ( $WW$  kesma) chuqurlik  $h_{01}$ , sakrash oldidagi chuqurlik esa tenglama (8.51) dan topilgan  $h_1$  ga teng.

8.1-misol. Trapetsiya shaklida bo'lgan kanalda suv  $Q = 5 \text{ m}^3/\text{s}$  sarf bilan harakat qilmoqda. Kanalning nishabi  $i=0,0008$ , yon tomonlarining qiyaligi  $m=1,5$ , g'adir-budurligi  $n = 0,03$  ga teng, kanalning eng qulay bo'lgan kesimi  $\beta = b/h = 0,6$  uchun kritik chuqurligi  $h_k$  va kritik nishabi  $i_k$  ni toping.

Yechish. Kritik chuqurlik  $h_k$

$$\frac{Q^2}{g} = \frac{\omega_k^3}{B_k} \quad \text{ifodadan topiladi.}$$

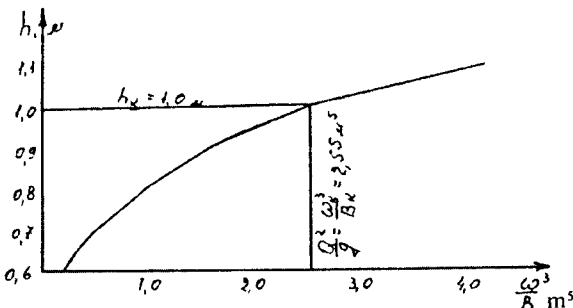
Bu ifodaning chap tomoni  $\frac{Q^2}{g} = \frac{5^2}{9,8} = 2,55 \text{ m}^5$  ga teng.  $\frac{\omega_k^3}{B_k}$  ni shu topilgan qiymatga tenglashtirish uchun  $\omega_k$  va  $B_k$  ifodalariga kirgan  $h_k$  ni ketma-ket yaqinlashish usuli bilan topamiz. Buning uchun quyidagi jadvalni tuzamiz:

8.1-jadval

$h, \text{m}$	$\beta = \beta h, \text{m}$	$\omega_k = \sqrt{b+m}, \text{m}^2$	$\omega_k^3, \text{m}^6$	$B_k = b+2mh, \text{m}$	$\frac{\omega_k^3}{B_k}, \text{m}^5$
0,6	0,36	0,756	0,432	2,16	0,200
0,7	0,42	1,029	1,089	2,52	0,432
0,8	0,48	1,314	2,269	2,88	0,878
0,9	0,54	1,701	4,922	3,24	1,519
1,0	0,60	2,100	9,261	3,60	2,270
1,1	0,66	2,541	16,387	3,96	4,138

Jadval bo'yicha hisob-kitoblar asosida  $h$  va  $\frac{\omega_k^3}{B_k}$  lar uchun grafik chizamiz

va undan  $\frac{Q^2}{g} = \frac{\omega_k^3}{B_k} = 2,55 \text{ m}^5$  uchun kritik chuqurlik  $h_k$  ni topamiz



8.21-rasm.

(8.21-rasm). Kritik nishab  $i_k = \frac{g}{\alpha c_k^2} \cdot \frac{\chi_k}{B_k}$  ifodadan topiladi. Bunda  $\alpha = 1,05$

tuzatma koefitsiyent.

$h_k$  kritik chuqurlik uchun 8.1-jadvalda keltirilgan  $\omega_k = 1,03 \text{ m}^2$ ,  $B_k = 2,52 \text{ m}$  larni olib,  $\chi$ ,  $R_k$ ,  $C_k$  larni hisoblab chiqamiz:

$$\chi_k = b + 2h\sqrt{1+m^2} = 0,6 + 2 \cdot 1\sqrt{1+1,5^2} = 4,2 \text{ m};$$

$$C_k = \frac{1}{h} \cdot R_k^{\frac{1}{6}} = \frac{1}{0,03} \cdot 0,5^{\frac{1}{6}} = 29,33;$$

$$R_k = \frac{\omega_k}{\chi_k} = \frac{2,1}{4,2} = 0,5 \text{ m}.$$

Topilgan qiymatlarni  $i_k$  kritik nishab ifodasiga qo'yamiz:

$$i_k = \frac{9,8}{1,05 \cdot 29,33^2} \cdot \frac{4,2}{3,6} = \frac{41,16}{3251,5} = 0,012.$$

8.2-misol. Tezoqar to'g'ri burchakli ariq uzunligi  $l = 40 \text{ m}$ , eni  $b = 4,0 \text{ m}$ , g'adir-budurligi  $n = 0,014$ , nishabi  $i = 0,1$  bo'lsin. Ariqda oqayotgan suv sarfi  $Q = 12 \text{ m}^3/\text{s}$ , normal chuqurligi  $h_0 = 0,32 \text{ m}$ , kritik chuqurligi  $h_k = 0,97 \text{ m}$  ga teng bo'lsin. Shu tezoqar ariqda suv sathi egri chizig'ini quring va oxiridagi chuqurlikni toping.

Yechish. Hisoblarni V.I. Charnomskiy usuli bilan bajaramiz:

$$\Delta l = \frac{\Delta E}{i_0 - i_{\text{o'n}}},$$

bunda:  $\Delta l = l_2 - l_1$  — qaralayotgan kesimlar orasidagi masofa;

$\Delta E = E_2 - E_1$  — kesimlar orasidagi solishtirma energiyaning o'zgarishi;

$i_{\text{ср}} = \frac{i_1 + i_2}{2}$  — kesimlar orasidagi solishtirma energiyaning o'rtacha gidravlik nishabi.

Gidravlik nishab ko'rilibayotgan kesimlar uchun quyidagi Shezi ifodasidan topiladi:

$$i = \frac{V^2}{C^2 R}.$$

Solishtirma energiya  $E = h + \frac{V^2}{2g}$  ifoda bo'yicha aniqlanadi.

Ariqdagagi tezoqar suv sathi egri chizig'ini qurish uchun uni to'rt bo'lakka bo'lish yetarlidur. Egri chiziqning boshidagi chuqurlik  $h_1 = h_k$  kritik chuqurlikka, oxirida esa  $h_5 = h_0$  normal chuqurlikka teng deb olamiz. Ular orasidagi chuqurliklarni quyidagi ifodalardan topamiz:

$$h_2 = \frac{h_1 + h_5}{2}; \quad h_3 = \frac{h_2 + h_5}{2}; \quad h_4 = \frac{h_3 + h_5}{2}.$$

Shu chuqurliklar orasi ( $h_1$  bilan  $h_2$ ,  $h_2$  bilan  $h_3$ ,  $h_3$  bilan  $h_4$ ,  $h_4$  bilan  $h_5$ ) dagi masofalar  $\Delta l_1$ ,  $\Delta l_2$ ,  $\Delta l_3$ ,  $\Delta l_4$  ni topib 8.2- jadvalga kiritamiz.

## 8.2-jadval

$h$ , m	$\chi$ , m	$\omega$ , $m^2$	$R$ , m	$C$	$v$ , m/s	$\frac{V^2}{2g}$	$\gamma$	$Z$ , m	$\Delta Z$ , m	$i_{\text{ср}}$	$i_0 - i_{\text{ср}}$	$\Delta i$ , m	$\zeta$ , m
0,97	5,94	3,88	0,65	66,4	3,09	0,49	0,003	1,46					0
									0,27	0,0065	0,093	2,9	
0,65	5,30	2,60	0,49	63,6	4,61	1,08	0,010	1,73					2,9
									0,67	0,018	0,082	8,17	
0,49	4,98	1,96	0,39	61,1	6,12	1,91	0,026	2,40					11,7
									0,87	0,037	0,063	13,8	
0,40	4,80	1,60	0,33	59,3	7,50	2,87	0,048	3,27					24,87
									1,53	0,071	0,029	52,7	
0,32	4,64	1,28	0,28	57,8	9,37	4,48	0,095	4,80					77,57

Egri chiziq uzunligi  $l = 77,57$  m ga teng. Shu uzunlikdan keyin ariqda suvning chuqurligi  $h_0$  o'zgarmas, harakati tekis bo'ladi. Agar tezoqar



8.22-rasm.

ariqning uzunligi  $l = 77,57$  m dan kichik bo'lsa, undagi suvning harakati notejis hamda chuqurligi harakat bo'yicha kamayib boradi. Bizning holimizda tezoqar ariqning uzunligi  $l = 40$  m, ariq oxirida chuqurlik  $h = 0,35$  m bo'lib,  $h_0$  dan katta bo'ladi. Bu holda tezoqar ariq *gidravlik kalta* deyiladi. Jadval yordamida tezoqar ariqdagi suv sathi egri chizig'ini quramiz va uni qaysi turga tegishli ekanini topamiz.

$i > i_k$  hol uchun haqiqiy chuqurlik  $h$  ni  $h_0$  va  $h_k$  bilan solishtiriladi. Bizda  $h_0 < h < h_k$ , demak, tushish egri chizig'i  $b_2$  bo'ladi (8.22-rasm).

## 9-bob. SUV OQIB TUSHAR (NOV)LAR

### 9.1-§. SUV OQIB TUSHARLAR SINFI

Agar kanaldagi oqim yo'lini devor bilan to'silsa, oqim chuqurligi ortib borib devor qirrasidan o'tib tusha boshlaydi. Bunday devor *suv tushish devori* deyiladi. Agar shu devorni o'zida maxsus teshik o'yilgan bo'lsa, uni *suv oqib tushar (nov)* deyiladi. Suv oqib tushar devoridan  $l$  masofada  $O'$  kesmani olamiz. Shu kesmadan boshlab suyuqlik sathi o'zgarishi, chuqurlik kamayishi boshlangan bo'lsin (9.1-rasm).

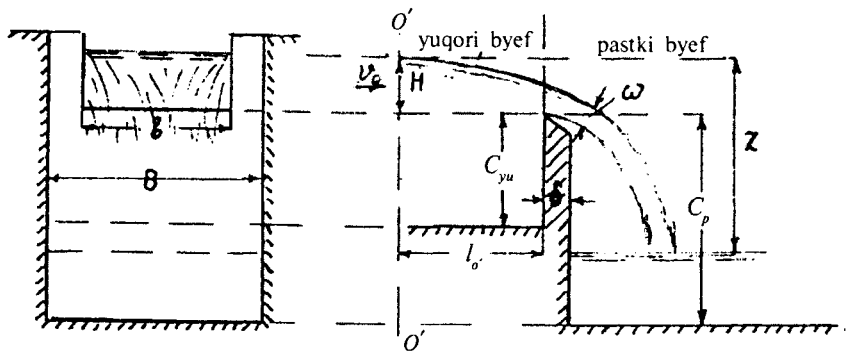
Suv oqib tushar devor qirrasidan kesmaning suyuqlik sathigacha bo'lgan  $H$  masofa devor oldidagi suv dami deyiladi.

Quyidagi belgilashlarni kiritamiz:

$b$  — suv oqib tushar devordagi o'yilgan teshikning eni;

$\delta$  — devorning qalinligi;

$C_{yu}$ ,  $C$  — suv oqib tushar devorning yuqori va pastki byefdani qirrasiga bo'lgan masoфа, balandlik;



9.1-rasm.

$B$  — kanal eni;

$Z$  — yuqori va pastki byeflardagi suyuqlik sathlari orasidagi masofa;  
 $v_0$  — suv sathi o'zgarishi boshlangan  $O'$  kesmada olingan o'rtacha tezlik;

$H_0$  — suv oqib tushar joy oldidagi to'la dam;

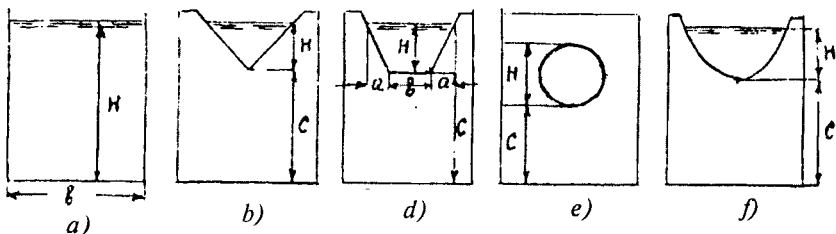
$A$  — oqim tagidagi fazo.

Suv oqib tusharlar ko'rinishiga qarab quyidagi sinflarga bo'linadi:

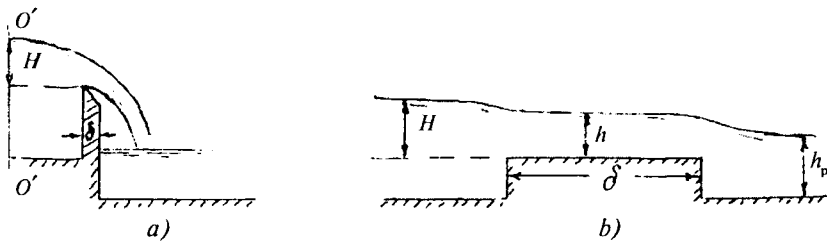
**1-sinf.** Geometrik shakliga qarab: a) to'g'ri burchakli; b) uch burchakli; d) trapetsiyasimon; e) doiraviy; f) parabolik va boshqalar (9.2-rasm).

**2-sinf.** Suv oqib tushish devorining qalinligiga qarab: a) yupqa devorli, agar  $\delta \leq (0,1 \div 0,5)H$  bo'lsa; b) keng ostonalni suv oqib tusharlar, agar  $2H \leq \delta \leq 8H$  bo'lsa (bunda devor qirrasi gorizontal bo'ladi) (9.3-rasm).

Keng ostonalni suv oqib tusharlarda ostonadagi suvning oqimi silliq o'zgaruvchan bo'ladi va undagi yo'qolgan dam kichikligi tufayli hisobga

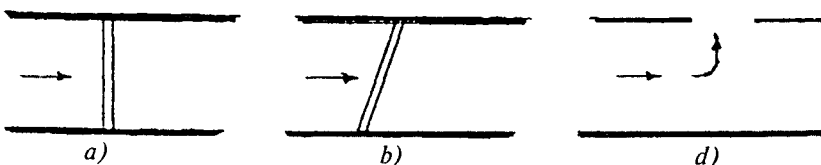


9.2-rasm.



9.3-rasm.

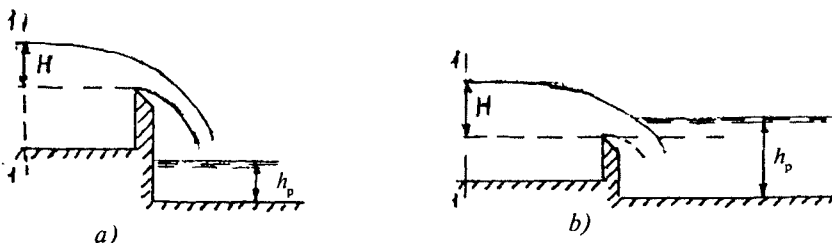
olinmaydi. Faqat ostonaga kirish va chiqish paytdagi mahalliy yo‘qolgan damlar hisobga olinadi. Agar  $\delta > 8H$  bo‘lsa, suv oqib tushar emas, balki kalta kanal deyiladi va uzunligi bo‘yicha yo‘qolgan dam hisobga olinadi. d) bu guruhga yuqorida qayd etilganlardan tashqari qolgan suv oqib tusharlar kiradi.



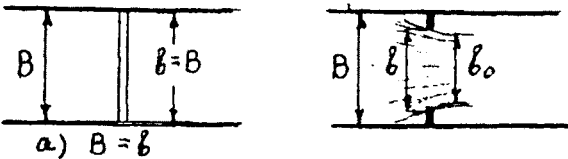
9.4-rasm.

**3-sinf.** Suv oqib tusharningi ko‘rinishiga qarab: a) to‘g‘ri, b) og‘ma, d) yondan suv oqib tusharlar (9.4-rasm).

**4-sinf.** Oqimning pastki byef bilan bog‘langanligiga qarab: a) cho‘kmagan suv oqib tushar, agar  $Q, H$  yoki  $Q$  va  $H$  pastki byefdagi suyuqlik chuqurligi  $h_p$  ga bog‘liq bo‘lmasa; b) cho‘ktirilgan suv oqib tushar deb  $Q, H$  yoki  $Q$  va  $H$  pastki byefdagi suyuqlik chuqurligi  $h_p$  ga bog‘liq bo‘lsa (9.5-rasm).



9.5-rasm.



9.6-rasm.

**5-sinf.** Kanal eni  $B$  bilan suv oqib tusharning eni  $b$  lar orasidagi nisbatga qarab: a) yon tomondan toraymagan, ya'ni  $B = b$ ; b) yon tomondan toraygan,  $B > b$  bo'ladi (9.6-rasm).

Yon tomoni toraygan suv oqib tushardan o'tgandan keyingi joyda oqimning o'zi torayib diametri  $d = b_0 < b$  bo'ladi. Gohida oqimning eni  $b_0$  suv oqib tusharning haqiqiy yoki effektiv eni deyiladi. Oxirgi 5-sinf faqat to'g'ri burchakli oqib tusharlarga tegishli.

## 9.2-§. TO‘G‘RI BURCHAKLI SUV OQIB TUSHARLAR UCHUN ASOSIY HISOBBLASH IFODASI

9.1-rasmida to'g'ri burchakli yupqa devorli suv oqib tushar ko'rsatilgan. Oqib tushayotgan suyuqlik yuzi  $\omega$  va uning o'rtacha tezligini  $v$  deb belgilaymiz. Unda suv oqib tushardagi suyuqlik sarfi:

$$Q = \omega \cdot v.$$

Yuz  $\omega$  ni  $bH$  ga to'g'ri mutanosibligini hisobga olib va o'rta tezlik  $v$  ni  $\sqrt{2gH}$  ga mutanosib bo'lganligi uchun,  $Q$  ni quyidagicha yozish mumkin:

$$Q = mbH\sqrt{2gH} = mb\sqrt{2g}H^{3/2}, \quad (9.1)$$

bunda:  $m$  — mutanosiblik koefitsiyenti.

Anhorda yoki kanalda oqim tezligi  $v_0$  oqib tushardagi suyuqlik sarfi  $Q$  ga ta'sir etishini ko'rish uchun (9.1) ifodadagi  $H$  ni

$$H_0 = H + \frac{\alpha v_0^2}{2g} \quad (9.2)$$

bilan almashtiriladi, unda  $Q = mb\sqrt{2g}H_0^{3/2}$  bo'ladi. (9.3)

(9.3) ifodadagi o'lchovsiz koefitsiyent  $m$  suv oqib tusharning sarf koefitsiyenti deyiladi.

### 9.3-§. YUPQA DEVORLI CHO'KMAGAN SUV NOVLAR

To'g'ri burchakli suv oqib tushar (9.1-rasm) bilan kifoyalanamiz. Suv oqib tushardan oqib tushayotgan oqim tagidagi  $A$  fazoga bemalol havo kirib turgan bo'lsin. Bu holda oqim tagida atmosfera bosimiga ega bo'lamiz. Agar  $A$  fazoga atmosfera bosimi kirishga qiynaladigan bo'lsa, unda oqim tagida bo'shilq hosil bo'ladi va suv sarfi  $m$  qiymati ko'payadi. Suv oqib tushar normal deyiladi, agar u yon tomonlaridan toraymagan bo'lsa. Normal bo'lgan suv oqib tushar uchun suyuqlik sarfi  $Q$  ni aniqlashda quyidagi ifodadan foydalaniladi:

$$Q = m_0 b \sqrt{2g} H^{3/2}. \quad (9.4)$$

Bunda tezlik  $v_0$  koefitsiyent  $m_0$  orqali hisobga olingan. Koefitsiyent  $m_0$  ni aniqlashda bir qancha empirik ifodalar mavjud bo'lib, ulardan eng ratsional bo'lgan formula:

$$m_0 = 0,402 + 0,54 \frac{H}{c_{yu}}. \quad (9.5)$$

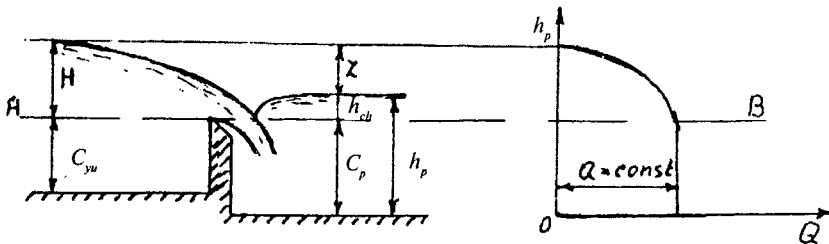
(9.5) ifodani  $C_{yu} \geq 0,5H$  va  $H \geq 0,1$  m bo'lgan holda qo'llash mumkin.

Normal bo'lgan novlar uchun yuqoridagi (9.3, 9.4) ifodalar orqali topiladigan suyuqlik sarfi yetarli darajada aniqlanadi. Ko'pincha, bunday novlarda suyuqlik sarfi aniq bo'lGANI uchun, ularni kanallarda va anhorlarda suyuqlik sarflarini aniqlashda ishlatalidi, ya'ni nov oldidagi chuqurlikni topib (9.5) ifodaga qo'yib  $m_0$  koefitsiyenti hisoblanadi.  $m_0$  koefitsiyentni (9.4) ifodaga qo'yib, kanaldagi suyuqlik sarfini topamiz.

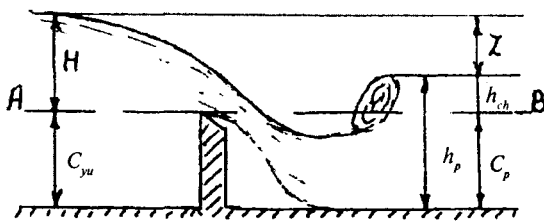
### 9.4-§. YUPQA DEVORLI CHO'KTIRILGAN NOVLAR

Cho'ktirilgan yupqa devorli nov quyidagi hollarda mayjud: 1) agar pastki byefda suyuqlik sathi yupqa devorli novni qirrasidan yuqori bo'lsa (9.7-rasm), ya'ni novning cho'kkan balandligi  $h_{ch} > 0$ ; 2) agar pastki byefdag'i harakat tinch holatda bo'lsa.

2-shart bajarilmasa, ya'ni pastki byefda tezoqar holat bo'lsa, novdan suyuqlik uzoqlashganda sakrash hosil bo'ladi. Bu holda novdan keyingi pastki byefda  $h_{ch}$  nov qirrasidan yuqorida bo'lsa ham, nov cho'kmagan hisoblanadi (9.8-rasm).



9.7-rasm.



9.8-rasm.

Pastki byefda suyuqliknin tinch yoki tez oqarligi byeflarning bir-birlariga bog'langanligi hisoblash natijasida ma'lum bo'ladi. Xususiy holda, pastki byefdagi kanal kesmasi to'g'ri burchakli bo'lganda quyidagi shart bajarilsa, suv tinch holatda oqadi:

$$\frac{z}{C_p} < 0,70 \div 0,75. \quad (9.6)$$

Cho'kkan va yon tomonlaridan toraymagan novlarda oqayotgan suv sarfini aniqlash uchun quyidagi ifodadan foydalanish mumkin:

$$Q = \sigma_{ch} m_0 b \sqrt{2g} H^{3/2}, \quad (9.7)$$

bunda:  $m_0$  — sarf koeffitsiyenti, (9.5) ifodadan topiladi;

$\sigma_{ch}$  — cho'ktirilish koeffitsiyenti, Bazen empirik ifodasida aniqlanadi:

$$\sigma_{ch} = 1,05 \left( 1 + 0,2 \frac{h_{ch}}{C_p} \right)^3 \sqrt{\frac{Z}{H}}. \quad (9.8)$$

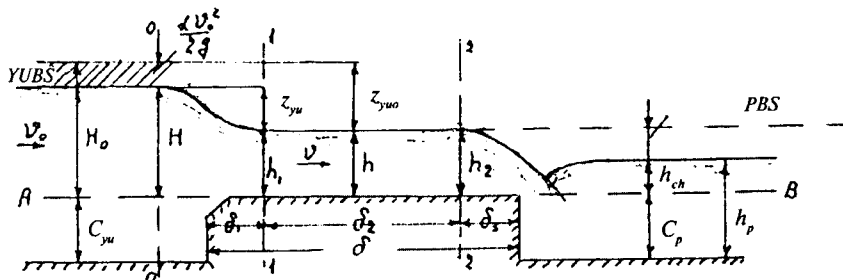
9.7-rasmida pastki byefdagi suvning chuqurligi  $h_p$  ga qarab suyuqlik sarfi  $Q$  ning o'zgarishi ko'rsatilgan. Grafikdan ko'rindaniki, pastki byefdagi

$AB$  chiziqdan past bo'lgan holda  $Q = \text{const}$ . Chuqurlik  $h_p$   $AB$  chiziqdan yuqori bo'lgan holda  $Q$  suv sarfi  $h_p$  ga bog'liq bo'lib qoladi. Bunda  $h_p$  katta bo'lgan sari suyuqlik sarfi  $Q$  kamayib boradi va  $h_{ch} = H$  da  $Q = 0$  ga teng bo'ladi.

### 9.5-§. KENG OSTONALI TO'G'RI BURCHAKLI CHO'KMAGAN NOV

Keng ostonali cho'kmagan novda suyuqlik sathi kamayishi ikki joyda (ostonaga kirishda va undan chiqishda) ro'y beradi va ular  $z_{yu}$ ,  $z_p$  deb belgilanadi (9.9-rasm).

Oqim sathining keskin kamayib ketishiga nov ostonasidagi oqayotgan suyuqliknинг olingan kesma 1 — 1 dagi yuzi kamaygani sabab bo'ladi. Bu joyda jonli kesma kamaygan hisobiga tezlik oshadi, demak, shu joyda kinetik energiya oshib potensial energiya kamayadi. Shuning uchun tinch holatda harakat qilayotgan suyuqlik tor joydan yoki ostonadan o'tayotgan paytda suvning sathi pasayib o'tadi. Keng ostonali novning cho'kish shartlari yupqa devorli novning cho'kish shartlaridan butunlay farqli bo'ladi.



9.9-rasm.

9.9-rasmdan ko'rindaniki, keng ostonali novning pastki byefida suyuqlik sathi  $AB$  gorizontal chiziqdan yuqori bo'lsa ham nov cho'kmagan bo'ladi. Bunday nov ostonasida yo'qolgan damni hisobga olinmaganligi uchun suv sathini gorizontal hamda  $h_1 = h = h_2 = \text{const}$  deb qabul qilamiz. Bunda  $h = 1-1$  va  $2-2$  kesmalardagi chegaralangan, silliq o'zgaruvchan oqim harakatining chuqurligi. Oqimni nov ostonasidagi tezligini va suv sarfini aniqlash uchun,  $AB$  tekislikka nisbatan 0-0 va 1-1 kesmalar uchun D. Bernulli tenglamasini tuzamiz:

$$H + \frac{\alpha v_0^2}{2g} = h + \frac{v^2}{2g} + h_{f(0-1)}, \quad (9.9)$$

bunda

$$H + \frac{\alpha v_0^2}{2g} = H_0$$

desak,

$$\begin{aligned} H_0 &= h + \frac{v^2}{2g} + \zeta \frac{v^2}{2g} = h + (1 + \zeta) \frac{v^2}{2g}; \\ H_0 - h &= (1 + \zeta) \frac{v^2}{2g}, \\ v &= \sqrt{\frac{2g(H_0 - h)}{1 + \zeta}}. \end{aligned} \quad (9.10)$$

Agar  $\varphi = \sqrt{\frac{1}{1 + \zeta}}$  ni tezlik koefitsiyenti desak, unda

$$v = \varphi \cdot h \sqrt{2g(H_0 - h)} \text{ yoki } v = \varphi \cdot h \sqrt{2g(z_{yu})_0}. \quad (9.11)$$

To‘g‘ri burchakli nov uchun suyuqlik sarfi ushbuga teng bo‘ladi:

$$Q = \omega v = bh\varphi \sqrt{2g(H_0 - h)}. \quad (9.12)$$

Solishtirma suyuqlik sarfini  $q = \frac{Q}{b}$  bilan ifodalasak,

$$q = \varphi h \sqrt{2g(H_0 - h)} \text{ yoki } q = \varphi h \sqrt{2g(z_{yu})_0}. \quad (9.13)$$

(9.12) va (9.13) tenglamalardan ko‘rinadiki, suyuqlik sarfini aniqlashda nov ostonasidagi chuqurlik  $h$  ni bilish kerak. Bu  $h$  chuqurlik kanaldagi  $H$  ga qarab o‘zgaradi.

Keng ostonalı novda chuqurlik  $h$  va  $Q$  larni topishda juda ko‘p usullar mavjud. Shu usullardan bir nechasi ko‘rib chiqaylik.

## 9.6-§. BELANJE USULI (SUYUQLIK SARFINING MAKSIMUMLIK TAMOYILI)

(9.13) tenglamani quyidagicha yozish mumkin:

$$q = \varphi h \sqrt{2g(H_0 - h)} = f(h). \quad (9.14)$$

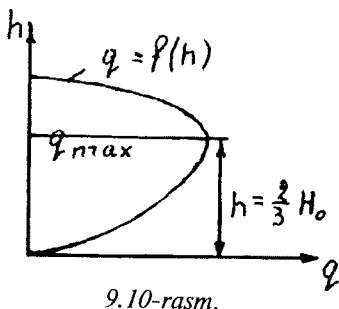
Keng ostonali nov rasmidan ko'rindiki, ostonada  $h$  chuqurlik  $H_0$  chuqurlikdan katta bo'laolmaydi. Chuqurlik  $0 < h < H_0$  oraliqda o'zgaradi. Agar  $H_0$  ma'lum desak ( $H_0 = \text{const}$ ) hamda  $h = H_0$  bo'lsa,  $f(h) = f(H_0) = 0$  yoki  $q = 0$  bo'ladi.  $h = 0$  da ham  $q = 0$  bo'ladi. Bundan ko'rindiki,  $h$  chegaraviy qiymatlarga ega bo'lganda  $q = f(h) = 0$  ga teng. Bundan xulosa qilish mumkinki,  $0 < H_0$  gacha o'zgaruvchi chuqurlik  $h$  lar orasida shunday chuqurlik mayjudki, unga to'g'ri keladigan  $f(h)$  funksiya eng katta qiymatga ega bo'ladi, ya'ni  $q = q_{\max}$ . Shu holni e'tiborga olib, Belanje chuqurlik  $h$  ni topishda quyidagi postulatdan (isbotsiz qabul qilinadigan qoida) foydalanishni taklif etadi. Berilgan  $H$  dam uchun novning ostonasida o'zidan-o'zi shunday  $h$  chuqurlik hosil bo'ladi, undan o'tayotgan solishtirma suyuqlik sarfi maksimum qiymatga ega bo'ladi:  $q = q_{\max}$ , boshqacha qilib aytganda, ostonadan oqim harakati o'tishi shunday holda bo'ladi, u bo'lishi mumkin suyuqlik sarflarining eng maksimumiga tengdir. Bu postulatni odatda eng katta suyuqlik sarfi tamoyili deyiladi. Shu tamoyilga asosan qidirilayotgan chuqurlik  $h$  quyidagi tenglamani qanoatlantirishi shart:

$$\frac{dq}{dh} = \frac{d(\varphi h \sqrt{2g(H_0 - h)})}{dh} = 0, \quad (9.15)$$

(9.15) da  $\varphi = \text{const}$  desak, unda:

$$\begin{aligned} \frac{d(h\sqrt{H_0 - h})}{dh} &= \sqrt{H_0 - h} - \frac{1}{2} \frac{h}{\sqrt{H_0 - h}} = 0; \\ H_0 - h - \frac{1}{2}h &= 0; \quad H_0 = \frac{3}{2}h; \quad h = \frac{2}{3}H_0 . \end{aligned} \quad 9.16)$$

Belanje postulati bo'yicha novning ostonasida xuddi shu chuqurlikka teng bo'lgan  $h$  mavjud bo'lishi kerak (9.10-rasm).



Chuqurlik  $h$  va  $H_0$  orasidagi nisbat  $\frac{h}{H_0} = k = \frac{2}{3}$  ga teng bo'ladi. (9.12) tenglamani quyidagicha yozamiz:

$$Q = \varphi b \frac{h}{H_0} \cdot H_0 \sqrt{2gH_0 \left(1 - \frac{h}{H_0}\right)}; \quad (9.17)$$

$$Q = \varphi k \sqrt{1 - k} \cdot b \cdot \sqrt{2g} H_0^{3/2}; \quad (9.18)$$

yoki

$$Q = mb\sqrt{2g} H_0^{3/2}, \quad (9.19)$$

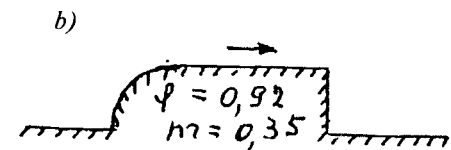
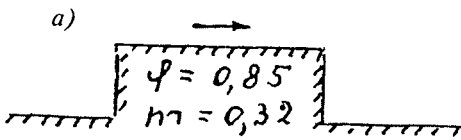
$$\text{bunda } m = \varphi k \sqrt{1 - k}. \quad (9.20)$$

Agar endi Belanje bo'yicha  $k=2/3$  ni (9.20) ifodaga qo'ysak,

$$m = \varphi \cdot \frac{2}{3} \sqrt{1 - \frac{2}{3}} = 0,385\varphi \quad (9.21)$$

ga ega bo'lamiz.

Ba'zi bir mualliflar o'tkazilgan bir qancha tajribalar asosida to'g'ri burchakli keng ostonalari novlar uchun  $\varphi = 0,85$  ni (9.11-a, rasm), ostonaning boshlanish qismi silliq egri bo'lgan novlar uchun  $\varphi = 0,92$  ni (9.11-b, rasm) qabul qilishni tavsiya etishadi.



9.11-rasm.

Tezlik koefitsiyenti  $\varphi$  larga asoslanib, rasmlardagi ostonalari uchun sarf koefitsiyentlarni (9.20) ifodadan olish mumkin. Bunda 9.11-a, rasm uchun  $m = 0,32$ ; 9.11-b, rasm uchun  $m = 0,35$ .

## 9.7-§. BAXMETYEV USULI

Novning keng ostonadagi chuqurligi  $h$  ni topishda B.A. Baxmetyev suv sarfining maksimum tamoyili o‘rniga boshqa postulatdan foydalanishni tavsija etadi.

B.A. Baxmetyev bo‘yicha ko‘rilayotgan novning ostonasida o‘z-o‘zidan shunday chuqurlik hosil bo‘lishi kerakki, uning uchun olingan kesmaning solishtirma energiyasi minimum qiymatiga to‘g‘ri kelishi kerak.

$$\text{Baxmetyev bo‘yicha } K = \frac{h_k}{H_0}, \text{ bunda: } h_k = \sqrt[3]{\frac{Q^2}{b^2 g}};$$

$$K = \frac{1}{H_0} \sqrt[3]{\frac{Q^2}{b^2 g}} = \sqrt[3]{\frac{Q^2}{H_0^3 b^2 g}}. \quad (9.22)$$

(9.18) ifodani hisobga olsak,

$$K = \sqrt[3]{\frac{\varphi^2 K^2 (1 - K) \cdot b^2 \cdot 2g \cdot H_0^3}{H_0^3 \cdot g \cdot b^2}} = \sqrt[3]{\varphi^2 K^2 (1 - K) \cdot 2}. \quad (9.23)$$

Bu ifodani 3- darajaga ko‘tarib, (9.20) ni hisobga olgan holda ushbuga ega bo‘lamiz:

$$K^3 = \varphi^2 K^2 (1 - K) \cdot 2; \quad K^3 = 2 \text{ m}^2, \quad m = \sqrt{\frac{K^3}{2}}. \quad (9.24)$$

$K$  ni  $\varphi$  orqali ifodalansa,

$$K = \varphi^2 (1 - K) \cdot 2; \quad K = 2\varphi^2 - 2K\varphi^2; \quad K + 2K\varphi^2 = 2\varphi^2$$

yoki

$$K = \frac{2\varphi^2}{1 + 2\varphi^2}. \quad (9.25)$$

9.11-a va 9.11-b rasmlarda berilgan  $\varphi$  larni qabul qilsak, suyuqlik sarf koeffitsiyentlari Belanje bo‘yicha topilgan qiymatlarga teng bo‘ladi. Baxmetyev bo‘yicha esa 9.11-a rasm uchun  $k=0,59$ , 9.11-b rasm uchun  $k=0,63$  ga teng.

Agar  $\varphi = 1,0$  bo'lsa, unda 9.11-rasmdagi ko'rsatilgan a) va b) lar uchun aniqlangan  $K$  qiymati Belanje topgan qiymatga tengdir, ya'ni

$$K = \frac{2}{3}.$$

Nov ostonasidagi chuqurlikni quyidagi ifoda bo'yicha ham hisoblash mumkin:

$$h = KH_0,$$

bunda:  $K$  — koeffitsiyent  $m = \varphi K \sqrt{1 - K}$  tenglamadan yoki 9.1-jadvaldan topiladi.

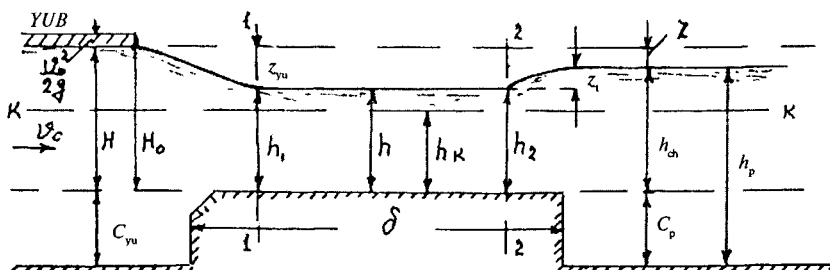
9.1-jadval

$m$	0,30	0,32	0,34	0,36	0,38
$\varphi$	0,943	0,956	0,970	0,983	0,996
$K$	0,416	0,453	0,483	0,513	0,613

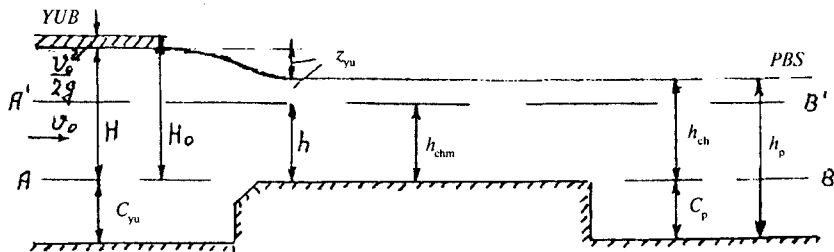
### 9.8-§. TO'G'RI BURCHAKLI KENG OSTONALI NOVNING CHO'KISH SHARTLARI

To'g'ri burchakli keng ostonalari (9.12-rasm) novlardagi suyuqlik sathida ikki marta o'zgarish ro'y beradi: birinchisi — nov ostonasiga kirish paytida suv sathi pasayib borsa, ikkinchisi esa novdan chiqayotgan paytda ko'tarilib (tiklanib) boradi ( $z_{yu}$ ,  $z_p$ ).

Ko'tarilish sababi kinetik energiyaning bir qismi novdan chiqayotgan paytda potensial energiyaga o'tishidadir. Shu munosabat bilan  $z$  tiklanish o'zgarishi deyiladi.



9.12-rasm.



9.13-rasm.

Baxmetyev, Belanje usullarida tiklanish o'zgarishi  $z_t$  hisobga olinmas edi va novdan oqib chiqish 9.13-rasmda ko'rsatilganga o'xshash bo'ladi, ya'ni cho'kkan novda faqat bir marta novga kirish oldida suyuqlik sathi pasayadi. 9.13-rasmda  $A'B'$  punktir chiziq bilan  $h_{chm}$  novning cho'kmaslik chuqurligi (berilgan  $H$  dam uchun nov ostonasida o'z-o'zidan o'rnatilgan chuqurlik  $h_{ch}$ ) berilgan.

Agar pastki byefdagi suyuqlik sathi ostonada o'z-o'zidan o'rnatilgan sath chuqurligiga nisbatan yuqori bo'lsa, Baxmetyev va Belanje usullarida, asosan, keng ostonalni nov cho'ktirilgan deyiladi, shu boisdan nov cho'ktirilgan bo'lishi uchun quyidagi shartlar bajarilishi kerak:

1) Agar

$$h_{ch} > \frac{2}{3} H_0 \text{ yoki } h_p > C_p + \frac{2}{3} H_0 \text{ bo'lsa,}$$

Belanje bo'yicha nov cho'ktirilgan deyiladi, bunda novning cho'kmaslik chuqurligi  $h_{chm} = h_k$  bo'lishi kerak (9.13-rasm).

2) Baxmetyev usuli bo'yicha cho'kmaslik chuqurligi  $h_{chm} = h_k$  bo'lib,  $h_{ch} > h_k$  yoki  $h_p > C_p + h_k$  bo'lsa, nov cho'ktirilgan deyiladi;

3) R.R.Chugayev kuzatishlari bo'yicha keng nov ostonasidagi suv sathi pasayishi va novdan chiqayotgan paytda uning tiklanishiga qarab, agar cho'kish balandligi

$$h_{ch} > nH_0 \text{ yoki } h_p > C_p + nH_0 \text{ bo'lsa,}$$

(bunda:  $n = 0,85 \div 0,75$ ) nov cho'ktirilgan deyiladi.

Keng ostonalni novlardagi suyuqlik sarfini aniqlashda Belanje usuli bo'yicha tiklanish chuqurligi  $z_t=0$  qabul qilinib, ostonadagi chuqurlik  $h$  o'rniga  $h_{ch}$  qo'yiladi:

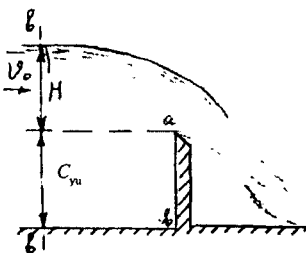
$$Q = bh\varphi \sqrt{2g(H_0 - h)}, \quad (9.26)$$

$$Q = b h_{ch} \varphi \sqrt{2g(H_0 - h_{ch})}. \quad (9.27)$$

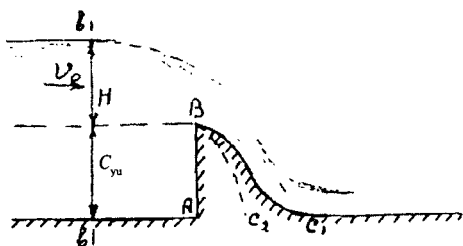
Baxmetyev usuli Belanje usulidan faqat novning cho'kish sharti bilan farq qiladi. Cho'ktirilgan nov uchun berilgan (9.26) va (9.27) ifodalarning o'zi qolaveradi.

### 9.9-§. GIDROTEXNIK INSHOOTLARDA UCHRAB TURADIGAN NOV DEVORLARI

To'g'on qurish ishlarida ko'proq uchraydigan, ostida bo'shliq bo'limgan novlar qo'llaniladi. Faraz qilaylik, bizga yupqa *ab* devorli nov ma'lum bo'lsin.

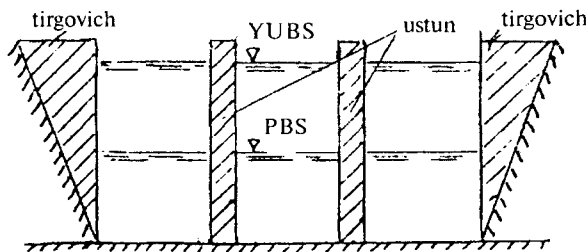


9.14-rasm.



9.15-rasm.

Undan amalda uchrab turadigan va ostonasida bo'shliq bo'limgan novni hosil qilish uchun, suyuqlik oqib tushadigan qirrasи bo'yicha  $BC_1$  chiziq o'tkaziladi (9.15-rasm) va bu chiziq oqimning pastki chizig'ini bildiradi. Hosil bo'lgan nov ostidagi bosim atmosfera bosimiga yaqin bo'ladi. Agar biz suv oqib tushadigan devor chizig'ini chaproq,  $BC_2$  bo'yicha o'tkazsak, oqim devordan ajralib oqishga harakat qiladi. Bu holda oqim ostida bo'shliq hosil bo'lib, ostida bo'shliq bo'lgan nov deyiladi. To'g'on qirrasida bir qancha teshikcha novlar mavjud bo'lishi mumkin va ular bir-biridan ustun bilan ajratiladi (9.16-rasm). Yon tomonlari esa tirgovich bilan mahkamlangan bo'ladi.



9.16-rasm.

Bunday ko'plab uchraydigan novlarni hisoblashda

$$Q = \sigma_{ch} \varepsilon m B \sqrt{2g} H^{3/2} \quad (9.28)$$

ifodadan foydalanish qulaydir, bunda:  $B = \sum_{i=1}^n b_i$  — novlar enining yig'indisi;  $b_i$  — bitta  $i$  novning eni;  $\sigma_{ch}$  — nov cho'kish koeffitsiyenti bo'lib, u pastki byef tomonidan novning cho'kish hisobiga suyuqlik sarfi  $Q$  ning o'zgarishini bildiradi. Cho'kmagan novlar uchun  $\sigma_{ch}=1,0$  bo'ladi;  $\varepsilon$  — suyuqlikning yon tomonidan torayish koeffitsiyenti;  $B_0$  — haqiqiy yoki effektiv bo'lgan novlarning eni;  $b_{0i}$  — toraygan oqimning eni ( $i$  novdag'i eni);  $m$  — novning suyuqlik sarf koeffitsiyenti. Agar  $\Omega_{yu} \geq 4(BH)$  bo'lsa (bunda:  $\Omega_{yu}$  — yuqori byefda  $b - b$  kesma bo'yicha 9.16-rasmda olingan tog'onning yuzi), unda oqib kelish tezligi  $v_0$  hisobga olinmaydi va  $H_0=H$  deb qabul qilinadi.

Agar amalda uchraydigan novlar uchun  $\sigma_{ch}, \varepsilon, m$  koeffitsiyentlar mayjud bo'lsa, unda quyidagi uchta masalani yechish mumkin bo'ladi:

- 1) berilgan  $B$  va  $H$  uchun  $Q$  topiladi;
- 2) berilgan  $H$  va  $Q$  uchun  $B$  topiladi;
- 3) berilgan  $B$  va  $Q$  uchun  $H$  topiladi.

## 9.10-§. NOVDAN OQIB TUSHAYOTGAN OQIMNING ENG TOR JOYDAGI CHUQURLIGI

Suyuqlik novdan oqib tushib pastki byefdagi oqayotgan suvning chuqurligi bilan bog'lanishi asosiy masala bo'lib, uni yechishda, birinchi galda, oqib tushayotgan suyuqlikning eng tor joydagi chuqurligi  $h_t$  aniqlanadi. Buning uchun D. Bernulli tenglamasidan foydalanamiz hamda

to‘g‘on oldidan 1—1 kesmani, toraygan joydan (to‘g‘ondan keyin) T — T kesmani va 0—0 taqqoslash tekisligini olamiz (9.17-rasm). Taqqoslash tekisligi 0—0 ni pastki byef tagidan o‘tkazamiz. 1—1 va T—T kesmalar uchun D.Bernulli tenglamasini yozamiz:

$$T + \frac{v_0^2}{2g} = h_t + \frac{v_t^2}{2g} + \zeta \frac{v_t^2}{2g} \quad (9.29)$$

yoki

$$T_0 = h_t + (1 + \zeta) \frac{v_t^2}{2g}. \quad (9.30)$$

Bunda  $T_0$  1 — 1 kesmadagi to‘la dam:

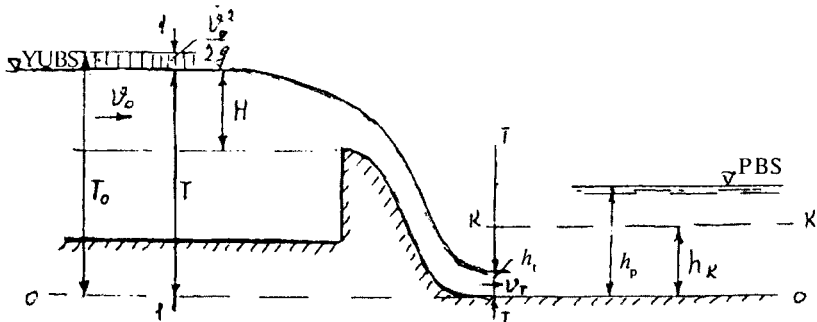
Agar

$$v_t = \frac{Q}{bh_t} = \frac{q}{h_t} \quad (9.31)$$

va  $1 + \zeta = \frac{1}{\varphi^2}$  bo‘lsa, (9.30) ifodaga ko‘ra:

$$T_0 = h_t + \frac{q^2}{2gh_t\varphi^2}. \quad (9.32)$$

To‘g‘ri burchakli kanallar uchun (9.32) ifodadan toraygan joydagisi  $h_t$  chuqurlikni aniqlash mumkin. Bu kubik tenglama bo‘lib, uning uchta ildizi mavjud. Shuni aytish kerakki,  $h_t$  chuqurlik 0 dan katta bo‘lib, kritik  $h_k$  chuqurlikdan kichik bo‘lishi kerak (9.17-rasm). Tenglama (9.32) uchun topilgan uchta ildizlaridan biri shu oraliqda yotgan bo‘lib, haqiqiy ildizi deb hisoblanadi.

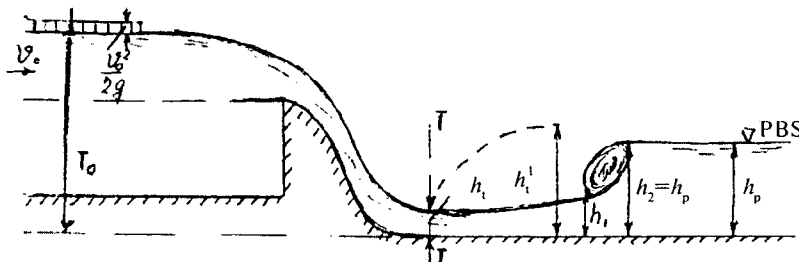


9.17-rasm.

## 9.11-\$. YUQORI VA PASTKI BYEFLARNING BOG'LANISH SHAKLLARI

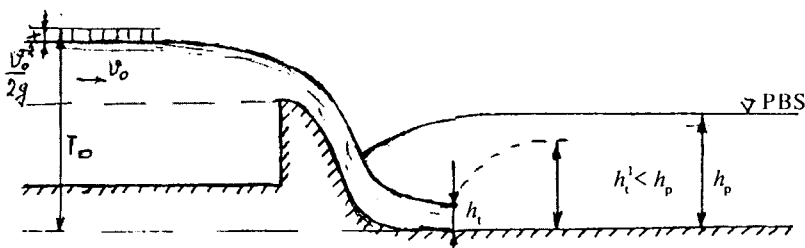
Pastki byefdag'i kanalning nishabi  $i < i_k$  bo'lsa, byeflarning bog'lanishi uch xil bo'lishi mumkin:

1. Byeflarning uzoq, olis sakrashga bog'liqligi. Bunda sakrash to'g'onidan / uzoqlikda hosil bo'ladi (9.18-rasm). / uzunlik olis sakrash uzunligi deyiladi va u  $C_1$  turiga kirib, tayanch chizig'i deyiladi. Bu oraliqda chuqurlik  $h_t$  dan  $h_1$  gacha ko'payib, sakrashdan oldin bo'lgan, ikkinchisi  $h_2$  esa sakrashdan keyingi, bir-biriga bog'liq bo'lgan chuqurliklar bo'ladi.



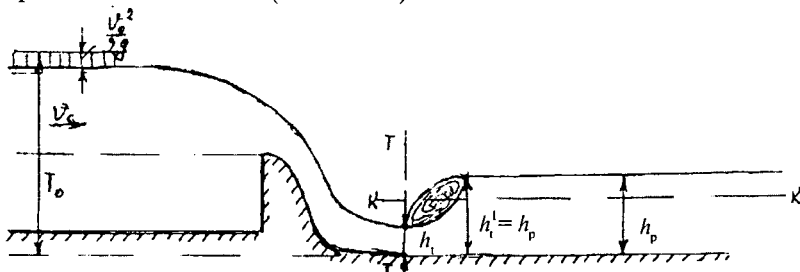
9.18-rasm.

2. Byeflarning cho'ktirilgan sakrashga bog'liqligi. Bu holda pastki byefdag'i suvning chuqurligi  $h_p$  sakrashni cho'ktirgan bo'ladi, chunki chuqurlik  $h_p$  to'g'onidan keyin eng tor joydagi  $h_t$  chuqurlik bilan bog'liq bo'lgan  $h_t'$  dan katta bo'ladi (9.19-rasm).



9.19-rasm.

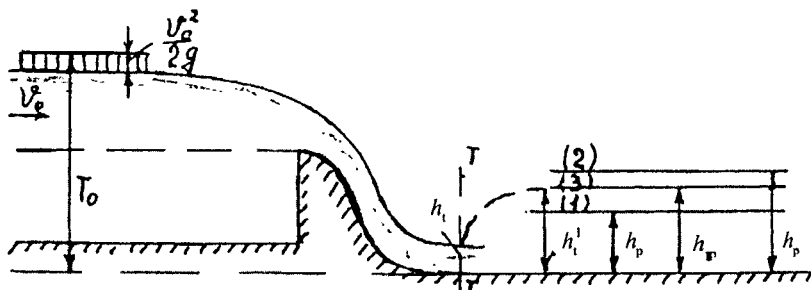
3. Byeflarning haqiqiy sakrashga bog'liqligi. Bu holda pastki byeфdagи suyuqliк chуqurligi ta'sirida sakrash cho'ktirilmagan va uzoqlashmagan bo'lib, T-T kesmadan, ya'ni eng toraygan joydagi chуqurlikdan boshlanadi (9.20-rasm).



9.20-rasm.

Byeфlar bog'lanishini topishda, birinchi galda, shu uchta holdan qaysi biri mavjudligini aniqlash kerak. Bu masalani yechishda avval eng tor T — T joydagi chуqurlikni (9.32) ifoda bo'yicha aniqlab, унга bog'liq bo'lган ikkinchi chуqurlikni (sakrashdan keyingi) sakrash tenglamasi (8.51) dan topamiz. Topilgan chуqurliklar asosida T—T kesmadan xayoliy sakrashni ko'z oldimizga keltiramiz. Bu sakrashga tegishli bo'lган birinchi chуqurlik  $h_t = h_t'$  ga, ikkinchisi esa  $h_2 = h_2'$  teng bo'ladi. Keyin quyidagicha mulohaza yuritamiz (9.21-rasm):

1) agar pastki byeфdagи chуqurlik sakrashga ta'sir etmasa (sakrash cho'kmagan bo'lsa), ya'ni  $h_2 = h_2'$  bo'lsa, unda T—T kesmadan I uzoqlikda sakrash hosil bo'ladi (9.18-rasm);



9.21-rasm.

2) agar pastki byefdagи chuqurlik sakrashga ta'sir etib  $h_p = h'$  bo'lsa, unda cho'ktirilgan sakrash bo'ladi (9.19-rasm);

3) agar pastki byefdagи suv sathi (chuqurligi) sakrashning ikkinchi chuqurligi bilan teng bo'lsa, u holda xayoliy sakrash haqiqiy sakrashga aylanadi (9.20-rasm).

Shunday qilib, byeflarning bog'lanishi chuqurlik  $h'$  va  $h_p$  larning nisbatlariga bog'liq bo'ladi. Byeflar olis sakrash bilan bog'langanda (9.18-rasm), l' uzunlikni V.I.Charnomskiy notejis harakat tenglamasidan aniqlash mumkin:

$$l_{1-2} = \frac{E_2 - E_1}{i - i_{\text{ort}}} , \quad (9.33)$$

bunda:  $l_{1-2}$  — pastki byefda eng tor joydagi kesma T—T dan to sakrash boshlanadigan kesmagacha bo'lgan masofa;

$E_1$ ,  $E_2$  — T—T va sakrash boshlanadigan kesmalardagi solishtirma energiya.

(9.33) ifodadagi o'rtacha nishablik ushbuga teng:

$$i_{\text{o'rt}} = \frac{v_{\text{un}}^2}{C_{\text{o'rt}}^2 \cdot R_{\text{o'rt}}} , \quad (9.34)$$

bunda:  $v_{\text{o'rt}} = \frac{v_1 + v_2}{2}$  — ko'rيلayotgan kesmalardagi tezliklarning o'rtacha qiymati;

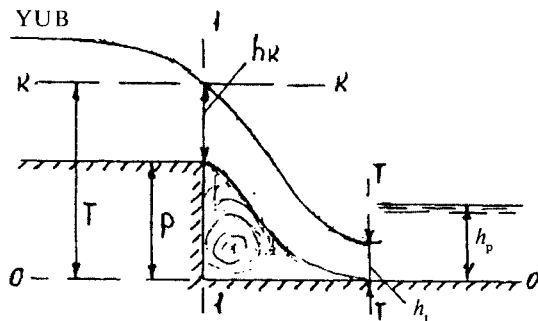
$C_{\text{o'rt}} = \frac{c_1 + c_2}{2}$  — kesmalar uchun olingan o'rtacha Shezi koeffisiyenti;

$R_{\text{o'rt}} = \frac{R_1 + R_2}{2}$  — o'rtacha gidravlik radiusi;

$i$  — kanalning pastki byefdagи nishabi.

9.1 -miso l. Berilgan to'g'ri burchakli nov bo'lib, uning eni  $b=8\text{m}$ , oqib tushayotgan suv sarfi  $Q=32 \text{ m}^3/\text{s}$ . Taqqoslash tekisligi 0-0 dan novniring asosigacha bo'lgan masofa  $P = 5 \text{ m}$ , pastki byefda oqayotgan suvnin chuqurligi  $h = 1,8\text{m}$  (9.14-rasm), tezlik koeffitsiyenti  $\phi = 0,95$  ga teng.

Yechish. Byeflarning bog'lanishini topish uchun kritik chuqurlikni topamiz ( $\alpha = 1,0$ ):



9.22-rasm.

$$h_k = \sqrt[3]{\frac{\alpha Q^2}{b^2 g}} = \sqrt[3]{\frac{1,0 \cdot 32^2}{8^2 \cdot 9,8}} = 1,18 \text{ m} .$$

Kesma 1—1 dagi to‘la dam:

$$T_0 = T + \frac{v_k^2}{2g} = P + h_k + \frac{v_k^2}{2g} = 5 + 1,18 + 0,58 = 6,76 \text{ m} ,$$

bunda:  $v_k = \frac{Q}{\omega_k} = \frac{32}{8 \cdot 1,18} = 3,39 \text{ m/s}$  — kritik tezlik.

Oqimning eng toraygan joydagi chuqurlik  $h_t$  ni

$$T_0 = h_t + \frac{\alpha v_t^2}{2g} = \frac{\alpha Q^2}{2gb^2 h_t^2 \varphi^2} + h_t \text{ dan yoki}$$

$$T_0 = h_t + \frac{A}{h_t^2} \text{ dan topamiz,}$$

bunda

$$A = \frac{Q^2}{2gb^2 \varphi^2} = \frac{1024}{2 \cdot 9,8 \cdot 8^2 \cdot 0,95^2} = 0,905 ;$$

$$T_0 = h_t + \frac{0,905}{h_t^2}, \text{ ya'ni } 6,76 = h_t + \frac{0,905}{h_t^2} .$$

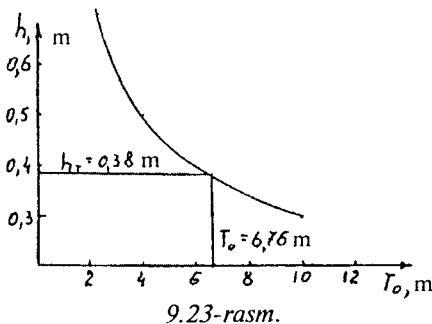
Yozilgan tenglik bajarilishi uchun,  $h_t$  ni aniqlashning ketma-ket yaqinlashish usulidan foydalananamiz. Buning uchun 9.2-jadvalni tuzib,  $h_t$  ga bir nechta qiymatlar berib chiqamiz. Jadval asosida grafik (9.23-rasm) quramiz.

Grafikdan ko'rindaniki,  $T_0 = 6,76$  m ga to'g'ri keladigan eng toraygan joydag'i chuqurlik  $h_t = 0,38$  m ga teng bo'ladi. Tekshirish uchun tenglamaga  $h_t = 0,38$  m qo'yamiz:

$$T_0 = 6,76 = 0,38 + \frac{0,905}{0,38^2} = 6,67 \text{ m.}$$

$$\text{Xatolik: } \frac{6,76 - 6,67}{6,76} \cdot 100\% = 1,3\%.$$

9.2-jadval



$h_t$ , m	$A$ , $\text{m}^2$	$\frac{0,905}{h_t^2}$	$T_0'$ , m
0,3	0,09	10,06	10,36
0,4	0,16	5,65	6,05
0,5	0,25	3,62	4,12
0,6	0,36	2,51	3,16
0,7	0,49	1,85	2,55

Topilgan toraygan joydag'i chuqurlik  $h_t$  ga bog'liq bo'lgan ikkinchi sakrash dan keyingi chuqurlik  $h'_t$  ni quyidagi ifodadan topamiz:

$$h'_t = \frac{h_t}{2} \left[ \sqrt{1 + \frac{8h_t^3}{h_t^3}} - 1 \right] = \frac{0,38}{2} \left[ \sqrt{1 + \frac{8 \cdot 1,18^3}{0,38^3}} - 1 \right] = 2,75 \text{ m},$$

$h'_t$  chuqurlikni pastki byef chuqurligi  $h_p$  bilan solishtiramiz:  $h'_t = 2,75 > h_p = 1,8$  bo'lgani uchun, uzoqlashgan (siljigan) sakrash hosil bo'ladi. Demak, suvning pastki byefga tushish joyidan boshlab (suv kinetik

energiyasini so'ndirish hamda pastki byefda cho'ktirilgan gidravlik sakrash bo'lishi uchun), suv urilgich quduq qurishimiz kerak. Bu quduqning chuqurligi  $a$  quyidagi shartga javob berishi kerak:

$$a + h_n > h'_t \text{ yoki } a > h'_t - h_n = 2,75 - 1,8 = 0,95 \text{ m ,}$$

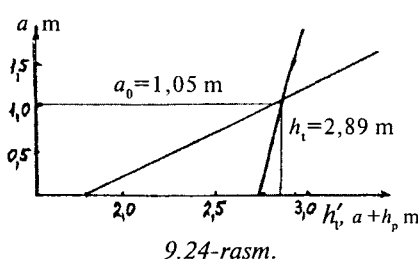
ya'ni quduq  $a = 0,95 \text{ m}$  dan chuqurroq bo'lishi kerak.  $a_0$  chuqurlik analitik usul bilan quyidagi ifoda bo'yicha hisoblanadi:

$$a_0 + h_p = h'_t .$$

Chuqurlik  $h'_t$  quduqning chuqurligiga bog'liq bo'lgani uchu n,  $a_0$  tanlash yo'li bilan topiladi. Buning uchun 9.3-jadval tuziladi.

### 9.3-jadval

$a_0, \text{m}$	$h_t, \text{m}$	$T'_o = T'_0 + a, \text{m}$	$h'_t, \text{m}$	$a + h_p, \text{m}$
0	0,38	6,67	2,75	1,8
0,5	0,36	7,17	2,82	2,3
1,0	0,35	7,67	2,88	2,8
1,5	0,34	8,17	2,95	3,3
2,0	0,33	8,67	2,99	3,8



Jadvaldagagi hisob-kitoblarni  $a + h_p$  ni  $h'_t$  dan oshib ketmaguncha davom ettirish kerak. Jadval asosida grafik (9.24-rasm) chizamiz va undan quduq chuqurligi  $a_0$  ni topamiz.

Demak, quduq chuqurligi  $a_0 = 1,05 \text{ m}$  dan kattaroq bo'lishi kerak:

$$a = 1,1 a_{0=1,05} \text{ m ga teng deb qabul qilamiz.}$$

Endi quduq uzunligini topamiz:

$$l_q = x + 0,8 l_s ,$$

bunda  $l_s = 4,5 h'_t = 4,5 \cdot 2,89 = 13 \text{ m}$  sakrash uzunligi bo'lib, Safranets ifodasi ishlataligan.

$$x = v_0 \sqrt{\frac{2y}{g}},$$

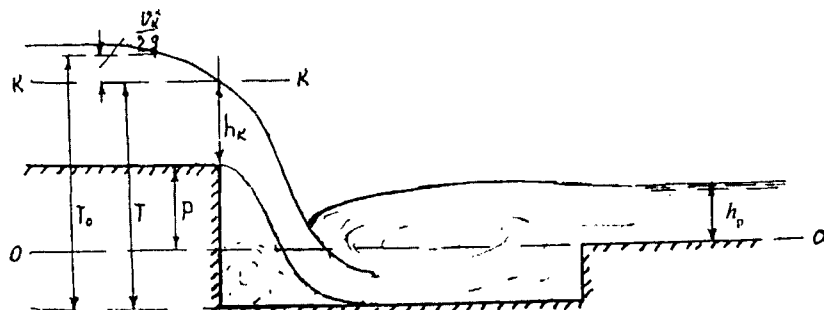
bunda:  $y = P + a + \frac{h_k}{2} = 5 + 1,1 + \frac{1,18}{2} = 6,69 \text{ m}.$

Kanalda oqayotgan suv tezligi  $v_0 = 1,0 \text{ m/s}$  ga teng deb olsak,  $x$  ushbuga teng bo'ladi:

$$x = 1,0 \cdot \sqrt{\frac{2 \cdot 6,69}{9,8}} = 1,16 \text{ m}.$$

Suv novdan quduqqa  $x = 1,16 \text{ m}$  uzoqlikda tushadi. Quduqning uzunligi  $l_q = 1,16 + 0,8 \cdot 13 = 11,56 \text{ m}$  ga teng.

Endi novning sxematik chizmasini quduq bilan birga chizamiz (9.25-rasm).

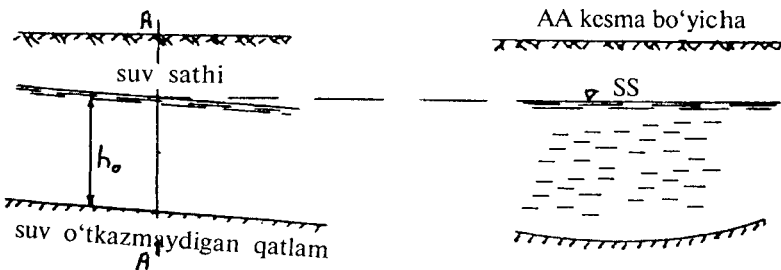


9.25-rasm.

## 10-bob. FILTRATSION OQIMLAR

### 10.1-\$. SIZILISH (FILTRATSIYA) NAZARIYASINING ASOSIY TUSHUNCHALARI

Suyuqlikning g'ovak muhitlardagi harakati *sizilish* (filtratsiya) deyiladi. Suv g'ovak muhitga har xil yo'l orqali tushadi. Suv yerga shimilib, o'tkazuvchan qatlamni suvga to'ldiradi. Suv yerning o'tkazuvchi qatlamni bo'yicha shimilib borib, o'tkazmas bo'lgan qatlamga yetadi (qattiq zichlangan tuproq, tog' jinslari va boshqalar) va uning yuzi bo'yicha harakat qiladi. Shunday qilib, suv o'tkazmas qatlamni yuzi kanal tagiga (tubiga) o'xshab qolib, sizib o'tgan oqimning tagi bo'ladi.



10.1-rasm.

10.1-rasmda damsiz bo'lgan sizilib o'tadigan oqim keltirilgan. Damsiz siziladigan oqimning kanallarda, anhorlarda oqayotgan suvga o'xhab suyuqlik sathi mavjud va undagi har bir zarrachaga ta'sir etayotgan bosim bir xil qiymatga ega. Siziladigan qatlamda oqim damli va damsiz bo'lishi mumkin. Damli bo'lgan siziladigan oqim deb, ikkita suv o'tkazmaydigan qatamlar orasidagi harakatga aytildi. Agar yuqorida yotgan suv o'tkazmaydigan qatlamni parma bilan suv o'tkazuvchi qatlamgacha teshsak, hosil bo'lgan burg' qudug'idan suv ko'tarila boshlaydi. Bunday burg' qudug'idan olingan suv artezian suvi deyiladi, quduqni esa artezian qudug'i deyiladi. Damli siziladigan oqimlarga betonli inshootlar (to'g'on) tagidagi suv harakati misol bo'la oladi. Ko'pincha, temir yo'lni loyihalashda va qurish davrida yer osti suvlarini pasaytirish kerak bo'ladi. Bu holda yerning ma'lum bir chuqurligidan namlikni yo'qotish uchun, gorizontal drenaj quvurlar yotqiziladi. Quvurga gruntaqasi suvlar har tomonlama yig'iladi va undan zovurlarga oqib ketadi. Drenaj quvurlarni yotqizishdan oldin gruntaqasi siziladigan oqimlarni o'rganib chiqish kerak.

Grunt suvlar oqimi laminar yoki turbulent bo'lishi mumkin. Mayda qumlarda va suv o'tkazuvchan gillarda (loy) suvning harakati laminar bo'ladi. Suvning turbulent harakati yirik zarrachalardan bo'lgan grunt (qum, shag'al) larda bo'ladi.

Biz, asosan, suvning laminar harakatini o'rganamiz. Ma'lumki, laminar harakatda yo'qolgan dam tezlikning birinchi darajasiga to'g'ri mutanosibdir. Yer osti suvlar harakati asosan kichik tezliklarda bo'lGANI uchun, kesmadagi to'la dam  $H$  ni topishda tezlik damini hisobga olmasa ham bo'ladi. To'la dam  $H$  quyidagiga teng:

$$H = Z + \frac{P}{\gamma}, \quad (10.1)$$

bunda:  $Z$  — taqqoslash tekisligidan ko'rيلayotgan nuqtagacha bo'lgan geometrik balandlik yoki solishtirma potensial energiyaning holati;

$\frac{P}{\gamma}$  — ko'rيلayotgan nuqtadagi bosimning pyezometrik balandligi yoki solishtirma potensial energiyaning bosimi.

Grunt suvlarning harakatida dam chizig'i bilan pyezometrik chiziqlar ( $\frac{v^2}{2g}$  nolga teng bo'lGANI uchun) ustma-ust tushadi va gidravlik qiyaligi pyezometrik qiyaligiga teng bo'ladi, ya'ni

$$J_g = J_p.$$

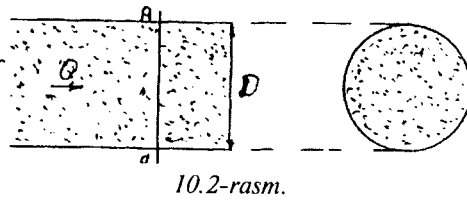
## 10.2-\$. LAMINAR SIZILISHNING ASOSIY QONUNI

Olimlar tomonidan o'tkazilgan (XIX asrning o'rtalarida) ko'p tajribalar shuni ko'rsatdiki, suvning sizilish tezligi pyezometrik qiyalikning birinchi darajasiga to'g'ri mutanosibdir:

$$U = KJ. \quad (10.2)$$

Bu Darsi ifodasi bo'lib, laminar filtratsiyaning assosiy qonuni hisoblanadi. Bunda:  $K$  — sizilish koefitsiyenti va u tezlik o'lchovida o'lchanadi;  $J$  — gidravlik (pyezometrik) qiyalik;  $U$  — ko'rيلayotgan nuqtada o'tayotgan suvning sizilish tezligi.

Sizilish tezligi nimaligini tushuntiramiz. Buning uchun,  $D$  diametriga ega bo'lgan va ichi qumga to'ldirilgan quvurni olaylik. Faraz qilaylik, shu



quvurdagi qumning g'ovaklaridan suv harakat qiladi va uning sarfi  $Q$  bo'lsin. Shu quvurda A—A kesmani olamiz va unda uch xil yuzlar mavjudligini ko'ramiz:

- a) grunt g'ovaklarining yuzi  $\omega_g$  bo'lib, oqayotgan suv shu haqiqiy yuz bo'yicha o'tadi;
- b) grunt zarrachalarining yuzi  $\omega_z$  bo'lib, unda suv harakat qilmaydi;
- d) quvurning to'la ichki yuzi  $\omega$  o'z ichiga g'ovak va zarrachalarning shu A—A kesmadagi olingan yuzlarning yig'indisiga teng:

$$\omega = \omega_g + \omega_z. \quad (10.3)$$

Suvning haqiqiy tezligi g'ovak yuzidan o'tgan tezlikka teng:

$$U_x = \frac{Q}{\omega_g}. \quad (10.4)$$

Sizilish tezligi esa:

$$U = \frac{Q}{\omega}. \quad (10.5)$$

Bundan ko'rindaniki, sizilish tezligi soxta (xayoliy) tezlik bo'lib, suv butun  $\omega = \omega_g + \omega_z$  yuz bo'yicha harakat qilayapti deb faraz qilinadi. Agar gruntning hajmiy g'ovakligini  $n$  va yuz g'ovagini  $n'$  bilan belgilasak, unda

$$n = \frac{\text{g'ovak hajmi}}{\text{grunt hajmi}}; \quad n' = \frac{\text{g'ovak yuzi}}{\text{quvur yuzi}} \text{ bo'ladi.}$$

Bir jinsli gruntunda  $n = n'$  bo'ladi va

$$\frac{U}{U_x} = \frac{\omega_g}{\omega} = n \quad \text{yoki} \quad U = n \cdot U_x. \quad (10.6)$$

Odatda, miqdor  $n = 0,30 \div 0,45$  orasida bo'lib, sizilish tezligi haqiqiy tezlikdan doim kichik bo'ladi.

Darsi ifodasidan foydalananib, suv sarfini quyidagicha yozish mumkin:

$$\omega U = \omega KJ \text{ yoki } Q = \omega KJ. \quad (10.7)$$

(10.2) va (10.7) ifodalar gruntda laminar harakat qilayotgan suyuqlik uchun sizilishning asosiy qonunini bildiradi. Bu ifodalarni

$$U \cdot d \leq 0,01 \div 0,07 \text{ sm}^2/\text{s} \quad (10.8)$$

bo'lganda qo'llash mumkin. Bunda:  $U$  — sizilish tezligi,  $\text{sm}/\text{s}$ ;

$d$  — grunt zarrachalarining diametri,  $\text{sm}$ . Agar yuqoridagi shart bajarilmasa, unda Darsi qonuning chiziqli bog'lanishi buziladi. U holda (10.2) va (10.7) ifodalar o'rniغا ushbu turbulent sizilish ifodasi ishlataladi:

$$J = aU + bU^2, \quad (10.9)$$

bunda:  $a$  va  $b$  — ko'rilibayotgan grunt uchun va bir haroratga ega bo'lgan suv uchun o'zgarmas koeffitsiyentlar.

Nisbatan katta tezliklarda (10.9) ifodaning birinchi hadini hisobga olmasa ham bo'ladi, unda sizilish tezligi quyidagiga teng bo'ladi:

$$U = K_T \sqrt{J}, \quad (10.10)$$

bunda:  $K_T$  — turbulent sizilishning koeffitsiyenti.

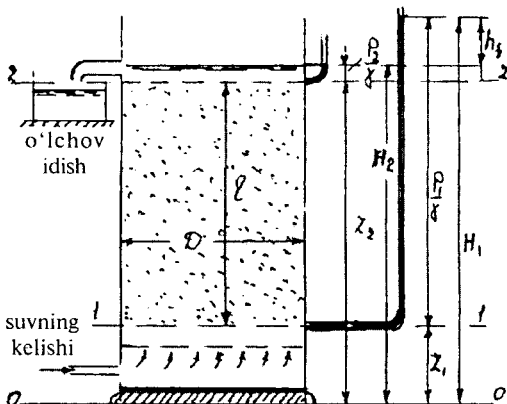
Shunday qilib, sizilish nazariyasiga soxta tezlik kiritib, gruntaning g'ovaklaridan o'tayotgan haqiqiy filtratsiya oqimini butun yuz bo'yicha filtratsiya oqimiga almashtiriladi.

### 10.3-§. SIZILISH KOEFFITSIYENTINI ANIQLASH

Sizilish koeffitsiyenti gruntaning suv o'tkazuvchanligini tavsiflaydi va u grunt zarrachalarining mayda yoki yirikligiga, shakliga, sizilayotgan suyuqlikning qovushqoqligiga bog'liq. Gruntaning zarrachalari qancha yirik bo'lsa, sizilish koeffitsiyenti ham shuncha katta bo'ladi. Bu koeffitsiyentni aniqlash uchun uchta usul mavjud: laboratoriya, da'a va empirik ifodasi bo'yicha hisoblash.

**Laboratoriya usulini** ko'rib chiqaylik. Sizilish koeffitsiyentni aniqlashda Darsi qurilmasi ishlataladi. U temirdan tayyorlangan vertikal silindr dan iborat bo'lib, pastki joyiga to'r o'rnatilgan. Tajriba o'tkaziladigan grunta silindr ichiga solinadi (10.3-rasm).

Kesma 1-1 va 2-2 larning silindr devorlariga pyezometrlar o'rnatilib, ular bir-biridan / masofada joylashgan. O'rnatilgan pyezometrlar orqali ko'rilibayotgan kesmalarda bosimni va to'la damlarni aniqlash mumkin.



10.3-rasm.

Suv bosim ostida silindrik idishga kirib, grunt bo'yicha pastdan yuqoriga sizilib o'tib boradi. Sizilib bo'lgan suv jo'mrakdan o'Ichov idishga tushadi. Shu idish orqali sizilgan suv sarfini aniqlash mumkin. Sizilish koefitsiyenti  $K$  ni Darsi ifodasidan topish mumkin:

$$K = \frac{Q}{J \cdot \omega}, \quad (10.11)$$

bunda:  $\omega$  — silindrning ichki kesma yuzi;

$J$  — gidravlik qiyaligi.

$$10.3\text{-rasmda } H_1 \text{ va } H_2$$

lar 1-1 va 2-2 kesmalardagi to'la damlarning 0 — 0 taqqoslash tekisligiga nisbatan olinganligi ko'rsatilgan, ya'ni

$$H_1 = Z_1 + \frac{P_1}{\gamma}, \quad H_2 = Z_2 + \frac{P_2}{\gamma}.$$

Suyuqlik sizilishi natijasida  $l$  masofada yo'qolgan dam pyezometrlarda ko'tarilgan suyuqlik sathlarining ayirmasiga teng. Tajribadan suyuqlik sarfi  $Q$ , masofa  $l$  va yo'qolgan dam  $h_f$  ni aniqlab, sizilish koefitsiyent  $K$  ni topish mumkin.

Amalda sizilish koefitsiyenti  $K$  ni **empirik ifodasi bo'yicha aniqlash usuli** juda kam qo'llaniladi. Shuning uchun bu usulga to'xtamasak ham bo'ladi.

**Dala usuli.** Gruntning sizilish koefitsiyentini dalaning o'zida aniqlash uchun maxsus tajriba o'tkaziladi. Buning uchun maxsus qurilgan quduqlardan suv so'rib olinadi. Uning sarfi va quduqdagi suvning sathi aniqlanadi. Keyin sarf  $Q$  ni, qo'shni quduqdagi suvlarning sathlarini bilib, maxsus ifodalar orqali sizilish koefitsiyenti  $K$  topiladi. Dala usuli bo'yicha  $K$  ni topish «Muhandislik geologiyasi» kursida to'la-to'kis keltirilgan. Misol uchun, har xil tuproqlarda taxminiy bo'ladigan sizilish koefitsiyentini keltiramiz (10.1-jadval).

Tuproqning nomi	Filtratsiya koefitsieynti, sm/s
Yirik zarrachali qumlar (2mm)	0,01 ÷ 0,05
Mayda zarrachali qumlar (0,3÷0,4)mm	0,001 ÷ 0,005
Zichlangan supes	0,0001 ÷ 0,0005
Suglinok	0,00001 ÷ 0,00005
Loy (gil)	0,000001 ÷ 0,000005
Shag'al (5 mm)	3 ÷ 3,5

Darsi ifodasi (10.2) da gidravlik (pyezometrik) qiyalik miqdor jihatdan 1 dan ancha kichik ( $J << 1$ ). Shuni hisobga oladigan bo'lsak, grunta harakat qilayotgan suvning tezligi juda kichik bo'lar ekan (taxminan  $0,01 \div 0,000001$  sm/s).

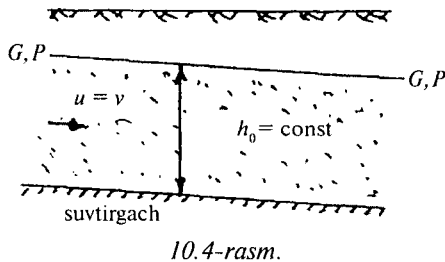
#### 10.4-§. SUVNING DAMSIZ TEKIS HARAKATI

Faraz qilaylik, 10.4-rasmda ko'rsatilgan suvtirgach (ruscha — водоупор) nishabi  $i$  bo'yicha grunt suvi tekis harakat qilayotgan bo'lsin. U holda suvning sath chizig'i suvtirgach chizig'i bilan parallel bo'lib, chuqurligi  $h_0$  oqim bo'yicha o'zgarmas bo'ladi. Sizilish tezligi kichik bo'lgani uchun tezlik damini hisobga olmasak, dam chizig'i pyezometrik chizig'i bilan ustma-ust tushadi. Demak, suv grunt ichida tekis harakat qilganda, gidravlik, pyezometrik va suvtirgach nishabi bilan bir xil bo'ladi. Shunda Darsi ifodasi quyidagi ko'rinishga ega bo'ladi:

$$u = v = K_i, \text{ chunki } J_g = J_p = i \text{ va} \\ Q = K \omega i. \quad (10.12)$$

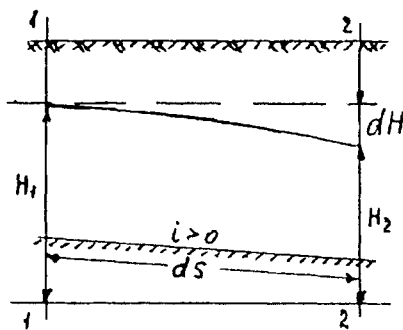
Agar suvtirgachning eni juda katta bo'lsa, u holga hisob-kitobni birlik eniga nisbatan ko'rish mumkin:

$$q = K \cdot h_0 \cdot i, \quad (10.13)$$



### 10.5-§. GRUNTDAGI SUVNING NOTEKIS DAMSIZ HARAKATINING DIFFERENSIAL TENGLAMASI VA UNI INTEGRALLASH

Grunt suvining silliq notekis harakatini ko'raylik (10.5-rasm). Buning uchun bir-biriga juda yaqin bo'lgan 1—1 va 2—2 kesmalarni olaylik. Nishabi kichik bo'lgan o'zanda silliq o'zgaruvchan harakat oqimining jonli yuzi tekis va vertikal deb qaraladi. Unda 1—1 va 2—2 kesmalar orasidagi masofa  $ds$  hamma joyda bir xildir.



10.5-rasm.

bunda:  $q = \frac{Q}{b}$  — birlik enidan sizilib o'tgan suv sarfi.

Grundta tekis harakat qila-yotgan suv sizilish tenglamasi

$$h_0 = \frac{q}{K \cdot i} \quad (10.14)$$

bo'ladi.

### 10.5-§. GRUNTDAGI SUVNING NOTEKIS DAMSIZ HARAKATINING DIFFERENSIAL TENGLAMASI VA UNI INTEGRALLASH

Taqqoslash tekisligi 0—0 ga nisbatan qarayotgan 1—1 va 2—2 kesmalardagi to'la damlari  $H_1$  va  $H_2$  ga teng. Yo'qolgan dam esa  $ds$  oralig'ida

$$h_f = H_1 - H_2 \quad (10.15)$$

ga teng yoki

$$-dH = H_2 - H_1. \quad (10.16)$$

Shu oralilda ko'rilar yotgan jonli kesmaning har bir nuqtasiga nisbatan hidravlik nishabi suyuqlik sathi (pyezometrik) ning nishabiga teng:

$$J = -\frac{dH}{ds} = \text{const}. \quad (10.17)$$

Bu ifodada manfiy ishoraning qo'yilganligi to'la damning oqim yo'nalish bo'yicha kamayib ketishini bildiradi. Shunday qilib, silliq o'zgaruvchan harakatda ko'rib chiqilayotgan jonli kesmaning har bir nuqtasidagi sizilish tezligi  $U$  shu kesmadagi o'rtacha sizilish tezligi  $V$  ga teng:

$$U = V = -K \frac{dH}{ds}. \quad (10.18)$$

Hosil bo'lgan ifoda *Dyupyui ifodasi* deyiladi yoki, boshqa so'z bilan aytganda, ko'rileyotgan vertikal jonli kesmadagi o'rtacha sizilish tezligi shu kesmadagi suv sathining nishabini sizilish koeffitsiyentiga ko'paytmasiga teng. Bu yerda Darsi ifodasi bilan Dyupyui ifodasini adashtirish kerak emas. Darsi ifodasi grunt suvning laminar harakatining ixtiyoriy nuqtasida tezlik sizilishini beradi. Dyupyui ifodasi esa grunt suvning silliq o'zgaruvchan damsiz harakatida olingan jonli kesmadagi o'rtacha tezlik sizilishi  $V$  ni beradi.

Grunt suvning notejisilliq o'zgaruvchan damsiz harakatini ko'raylik (tekislikdagi masala). Taqqoslash tekisligi  $i > 0$  ni olamiz. Boshlang'ich A—A kesmadan boshlab suvning harakati  $s$  yo'nalishda bo'lsin (10.6-rasm).

Grunt suvning damsiz harakatida dam chizig'i pyezometrik chizig'i bilan ustma-ust tushishni eslatib o'tamiz.

Ixtiyoriy olingan kesmadagi to'la dam  $H$  taqqoslash tekisligidan suyuqlik satigacha bo'lgan masofani bildiradi va uni quyidagicha yozish mumkin:

$$H = a + h - is, \quad (10.19)$$

bunda:  $h$  — olingan kesmadagi oqim chuqurligi;

$a$  — boshlang'ich kesma, taqqoslash tekisligidan A—A ning tubigacha bo'lgan balandlik;

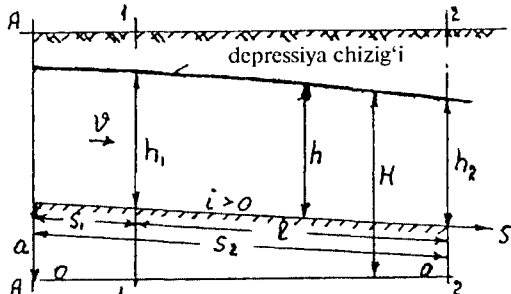
$i$  — suvtirgachning nishabi (suv o'tkazmaydigan qatlama asosi).

(10.19) ifodani differensiallasak, ya'ni cheksiz kichik bo'lgan masofaga qo'llasak,

$$dH = -ids + dh$$

bo'lad i va

$$-\frac{dH}{ds} = i - \frac{dh}{ds}. \quad (10.20)$$



10.6-rasm.

(10.20) ifodani hisobga olib,  $V = -K \frac{dH}{ds}$  Dyupyui ifodasini quyidagicha yozish mumkin:

$$V = K \left( i - \frac{dh}{ds} \right). \quad (10.21)$$

Suyuqlik sarfi

$$Q = \omega v = K \omega \left( i - \frac{dh}{ds} \right) \quad (10.22)$$

ga teng.

Agar sizilish oqimining eni juda katta bo'lsa, hisob-kitoblarni birlik eni bo'yicha bajarish mumkin. Unda birlik eniga to'g'ri keladigan sizib o'tgan oqimning solishtirma sarfi quyidagicha bo'ladi:

$$q = Kh \left( i - \frac{dh}{ds} \right). \quad (10.23)$$

(10.23) tenglama grunt suvi damsiz notekis harakatining differensial tenglamasi deyiladi. Uni integrallash uchun yer ustida kanal va o'zanlarda notekis harakat qilayotgan suyuqliknинг differensial tenglamasiga kiritilgan o'zgarishlarni bu yerda ham qo'llaymiz. Grunt suvining differensial tenglamasiga normal  $h_0$  chuqurlikni kiritamiz.

Solishtirma sarf  $q$  grunt suvining tekis harakatida quyidagi iga teng:

$$q = Kh_0 \cdot i.$$

Agar  $q$  ni (10.23) ifodaga qo'ysak,

$$Kh_0 i = Kh \left( i - \frac{dh}{ds} \right) \quad \text{yoki} \quad h_0 i = h \left( i - \frac{dh}{ds} \right),$$

bundan

$$\frac{dh}{ds} = i \left( 1 - \frac{h_0}{h} \right). \quad (10.24)$$

Endi  $\frac{h}{h_0} = \eta$  deb belgilasak,  $\eta = h_0 \eta$  yoki  $dh = h_0 d\eta$  bo'ladi. Ushbu o'zgarishlarni (10.24) ifodaga kiritilganda,

$$\frac{h_0 d\eta}{ds} = i \left( 1 - \frac{1}{\eta} \right) \quad (10.25)$$

yoki

$$\frac{ids}{h_0} = \frac{\eta}{\eta - 1} d\eta = \frac{\eta - 1 + 1}{\eta - 1} d\eta$$

va differensial tenglama quyidagi ko‘rinishga ega bo‘ladi:

$$\frac{ids}{h_0} = d\eta + \frac{d\eta}{\eta - 1}. \quad (10.26)$$

Endi (10.26) ifoda 1—1 va 2—2 kesmalar orasida integrallanadi:

$$\begin{aligned} \int_{S_1}^{S_2} \frac{ids}{h_0} &= \int_{\eta_1}^{\eta_2} d\eta + \int_{\eta_1}^{\eta_2} \frac{d\eta}{\eta - 1}; \\ \frac{i}{h_0} (s_2 - s_1) &= \eta_2 - \eta_1 + \ln \frac{\eta_2 - 1}{\eta_1 - 1}; \\ \frac{il}{h_0} &= \eta_2 - \eta_1 + \ln \frac{1 - \eta_2}{1 - \eta_1}, \end{aligned} \quad (10.27)$$

bunda:  $l = s_2 - s_1 = 1 - 1$  va 2—2 kesmalar orasidagi masofa.

Natural logarifmdan o‘nli logarifmiga o‘tiladigan bo‘lsa,

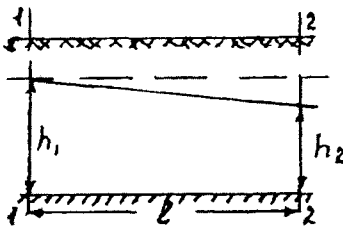
$$\frac{il}{h_0} = \eta_2 - \eta_1 + 2,3 \lg \frac{1 - \eta_2}{1 - \eta_1}. \quad (10.28)$$

(10.28) ifoda grunt sathining egri chiziq tenglamasi yoki depressiya egri chizig‘i deyiladi. (10.28) tenglama yordamida olingan 1 — 1 va 2 — 2 kesmalar orasidagi ixtiyoriy joydagi grunt suvining chuqurligini yoki depressiya egri chizig‘ini topish mumkin.

Suvtirgachning nishabi  $i = 0$  bo‘lgan holni ko‘ramiz (10.7-rasm).

Nishabi  $i=0$  bo‘lganda, (10.23) differensial tenglama quyidagi ko‘rinishga ega:

$$q = -Kh \frac{dh}{ds}. \quad (10.29)$$



10.7-rasm.

Agar (10.29) ning o‘zgaruvchilari ajratib yozilsa,

$$\frac{q}{K} ds = -h dh \quad (10.30)$$

bo‘ladi.

Topilgan ifoda 1—1 va 2—2 oraliqda integrallangandan so‘ng:

$$\begin{aligned} \frac{q}{K} (s_2 - s_1) &= -\frac{h_2^2 - h_1^2}{2}; \\ \frac{ql}{K} &= \frac{h_1^2 - h_2^2}{2}. \end{aligned} \quad (10.31)$$

va

$$q = \frac{h_1^2 - h_2^2}{2l} \cdot K,$$

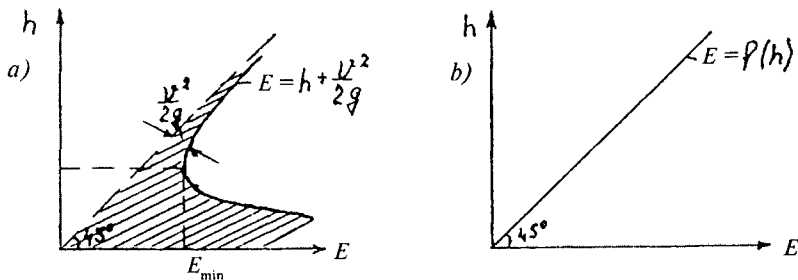
bunda:  $l$  — kesma 1—1 va 2—2 oralig‘idagi masofa;

$h_1, h_2$  — kesmalardagi grunt suvning chuqurliklari.

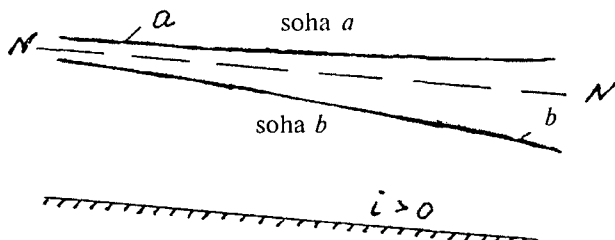
## 10.6-\$. NOTEKIS HARAKAT QILAYOTGAN GRUNT SUVI SATH CHIZIG‘INING SHAKLI

Ochiq o‘zan va kanallarda oqayotgan suv uchun to‘la dam chizig‘ini ko‘rishda  $\frac{v^2}{2g}$  hisobga olinadi, filtratsiya (sizilish) holida esa  $\frac{v^2}{2g} \approx 0$  bo‘lgani uchun hisobga olinmaydi. Shuning uchun kanallarda, o‘zanlarda oqayotgan suvning ixtiyoriy kesmasiga topilgan solishtirma energiya grafigi (10.8-a rasm) gruntda oqayotgan suvning solishtirma energiyasi to‘g‘ri chizig‘iga aylanadi (10.8-b rasm) va kritik chuqurligi doim nolga teng bo‘ladi ( $h_k=0$ ). Demak, grundagi harakat qilayotgan suvning kritik chuqurligi chizig‘i doim suvtirgach bilan ustma-ust tushadi. Yuqorida aytilgandan xulosa qilish mumkinki, grunt suvning mumkin bo‘igan sath chiziqlari faqat ikki soha  $a$  va  $b$  larda bo‘lar ekan (10.9-rasm).

Soha  $c$  8.14 , 8.15-rasamlarga o‘xshab bo‘lmaydi, chunki K-K kritik chuqurlik chizig‘i suvtirgach osti bilan ustma-ust tushadi. Suvfirgach nishabi  $i > 0$  bo‘lganda, grunt suvning sath egri chizig‘i ikki shaklda bo‘lishi mumkin: 10.9-rasmdagi  $a$  to‘siq chizig‘i va 10.9-rasmdagi  $b$  tushish chizig‘i. Agar  $i = 0$  bo‘lsa, unda faqat bitta soha  $b$  qoladi va undagi suvning sathi tushishi  $b$  chiziq bo‘ladi.



10.8-rasm.

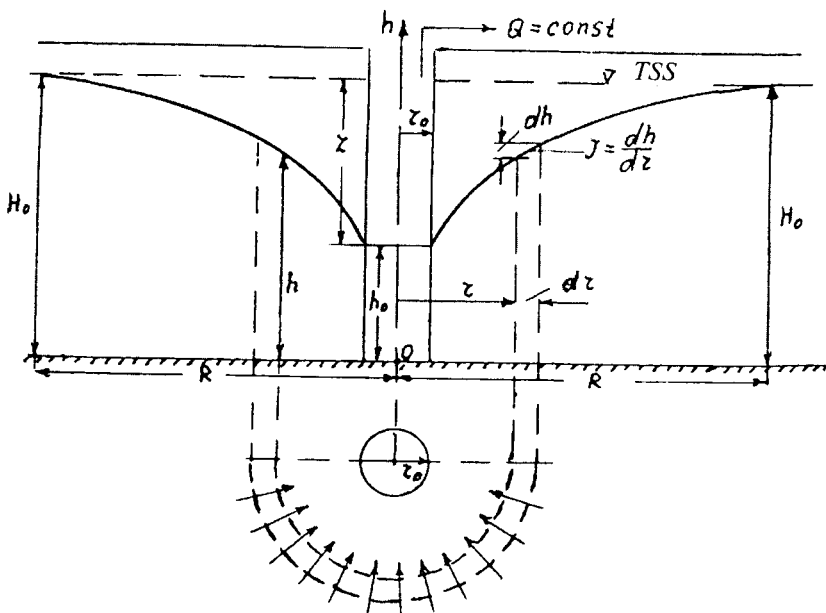


10.9-rasm.

### 10.7-§. DUMALOQ GRUNTLI QUDUQQA SUVNING OQIB KELISHI

Ta gi suvtirgachga tegib turgan gruntli quduq berilgan bo'lsin (10.10-rasm). Undagi suvni tortib olishdan avvalgi sathi gruntdagi suvning tabiiy sathiga bilan teng (TSS).

Suvvtirgachdan tabiiy suv sathigacha bo'lgan  $H_0$  masofa suv qatlaming qalilni gi deyiladi. Quduqdan suv tortib olingan sari uning sathi pasayib boradi va grunt orasidan sizilgan suv quduqqa tusha boshlaydi. Quduqdan qancha ko'p suv olinadigan bo'lsa, shuncha sizilgan suv grunt orasidan tusha boshlaydi. Agar quduqdan o'zgarmas suv sarfi ( $Q=\text{const}$ ) olinsa, shunday holga kelishi mumkinki, grunt orqali sizilib quduqqa tushayotgan suv hajmi undan olinayotgan hajmga teng bo'ladi. Bu holda quduqdagi suv chiqurligi ( $h_0=\text{const}$ ) ham o'zgarmas bo'ladi. Gruntdagi sizilib kelayotgan suvning harakati barqaror, suv sathi esa depressiya o'ramasini



10.10-rasm.

hosil qiladi.  $AB$  chiziq depressiya chizig'i deyiladi, uni  $Oh$  o'qib atrofida aylantirganda depressiya o'ramasi kelib chiqadi. Quduq tornonga oqib kelayotgan suvning ixtiyoriy jonli kesmasi koaksial vertikal silinçlər sırtlarından iborat bo'lib, o'ziga xos bo'lgan radius  $r$  ga ega bo'ladi.

Quduq radiusini  $r_0$  va uni suvli gruntga ta'sir etuvchi radiusı  $J$  (depressiya o'ramasi radiusi) ni esa  $R$  deb belgilaymiz. Radius  $R$  dan kətta bo'lgan qiymatga quduqning ta'siri bo'lmaydi. Endi sizilish  $Q$  sarfini v a depressiya  $AB$  chizig'ineng tenglamasini topamiz. Bu masalani yechish uchun ixtiyoriy quduqni  $Oh$  o'qidan  $r$  masofada joylashgan jonli kesmani ola miz (10.10-rasm). Shu kesmadagi suvning chuqurligi  $h$  bo'lib, undan o't ayotgan suv sarfi quyidagiga teng:

$$Q = \omega v.$$

Bunda:  $\omega = 2\pi r h$ ;  $v = K \frac{dh}{dr}$  bo'lsa,

$$Q = 2\pi r h \cdot K \frac{dh}{dr} \quad (10.32)$$

ga teng.

O'zgaruvchilarni ajratib yozamiz,

$$\frac{Q}{K \cdot 2\pi} \cdot \frac{dr}{r} = h dh. \quad (10.33)$$

Endi (10.33) ifoda  $r_0$  dan  $R$  gacha va  $h_0$  dan  $H_0$  gacha integrallansa:

$$\begin{aligned} \frac{Q}{K \cdot 2\pi} \int_{r_0}^R \frac{dr}{r} &= \int_{h_0}^{H_0} h dh; \\ \frac{Q}{2\pi K} \ln \frac{R}{r_0} &= \frac{H_0^2 - h_0^2}{2}. \end{aligned} \quad (10.34)$$

Bundan:

$$Q = \pi K \frac{\frac{H_0^2 - h_0^2}{2}}{\ln \frac{R}{r_0}}. \quad (10.35)$$

Agar (10.35) ifodani o'nli logarifmda yozadigan bo'lsak,

$$Q = 1,36 K \frac{\frac{H_0^2 - h_0^2}{2}}{\lg \frac{R}{r_0}} \quad (10.36)$$

ga ega bo'lamiz.

Depressiya egri chizig'ini topish uchun (10.33) ifodani  $r_0$  dan  $r$  gacha va  $h_0$  dan  $h$  gacha integrallash kerak:

$$\frac{Q}{2\pi K} \int_{r_0}^r \frac{dr}{r} = \int_{h_0}^h h dh$$

yoki

$$\frac{Q}{2\pi K} \ln \frac{r}{r_0} = \frac{h^2 - h_0^2}{2}. \quad (10.37)$$

Bundan:

$$h = \sqrt{h_0^2 + 0,73 \frac{Q}{K} \lg \frac{r}{r_0}} \quad (10.38)$$

(10.38) ifodadan turli radius  $r$  larga mos  $h$  chuqurliklar topib olinadi. Bu chuqurliklarni chiziq bilan birlashtirilsa,  $AB$  egri chizig'i kelib chiqadi.

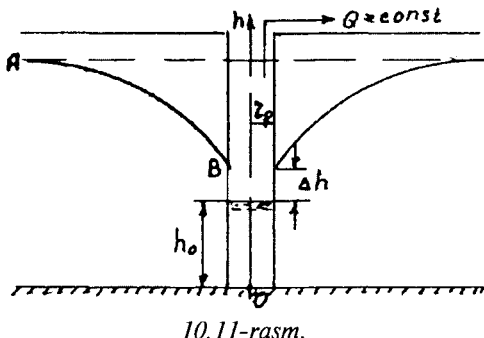
Filtratsiya sarfi  $Q$  hamda depressiya  $AB$  egri chizig'ini topish uchun quduqning yer osti suvli gruntga ta'sir etuvchi  $R$  radiusini bilish kerak. Amalda radius  $R$  gruntuining jinsiga qarab  $250+1000$  m orasida o'zgarishi mumkin. Bir xil paytlarda quduqning ta'sir etishi Zixard ifodasidan topiladi:

$$R = 3000z\sqrt{K}, \quad (10.39)$$

bunda:  $z = H_0 - h_0$  — so'rish chuqurligi, m;

$K$  — filtratsiya koefitsiyenti, m/s.

Quduqqa gruntdan suvni oqib kelishida ikkita holni hisobga olish kerak:



10.11-rasm.

I) gruntdan quduqqa oqib kelayotgan suvning depressiya egri chizig'ini  $B$  nuqtasi quduqdagi suv sathidan  $\Delta h$  ga nisbatan yuqori joylashadi (10.11-rasm). Chuqurlik  $h_0 = 0$  ga teng bo'lgan holda shimilish oralig'i  $\Delta h$  ni quyidagi taqrifiy ifoda bo'yicha hisoblanadi:

$$\Delta h = 2,3r_0 \lg \frac{R}{r_0} \sqrt{\left( 2,3r_0 \lg \frac{R}{r_0} \right)^2 + H_0};$$

2) quduqning suvli gruntga ta'sir etish radiusi  $R$  taxminiy va shartli bo'ladi, chunki depressiya egri chizig'ining  $A$  nuqtasida sath sirtning nishabi nazariy jihatdan nolga teng bo'lishi mumkin emas.

## 10.8-§. SUVNI O'ZIGA YUTUVCHI QUDUQLAR

Yer ustidagi suvlar yutuvchi quduqqa tushib, undan shimish qobiliyatiga ega bo'lgan grunt qatlamiga o'tib ketadi. Bunda grunt suvi quduq o'qi tomon emas, balki unga teskari yo'nalishda harakat qiladi. Bu hol uchun ham yuqorida keltirilgan usulni qo'llasak, yutuvchi quduqqa tushayotgan suv sarfi quyidagiga teng bo'ladi:

$$Q = -2\pi rhK \frac{dh}{dr}, \quad (10.41)$$

bunda manfiy ishora qo'yilish sababi chuqurlik  $h$  quduq o'qi tomon (abssissa o'qi bo'yicha) kamayib borishidadir, ya'ni  $dh < 0$ . (10.41) ifodani o'zgaruvchilarga ajratib integrallansa,

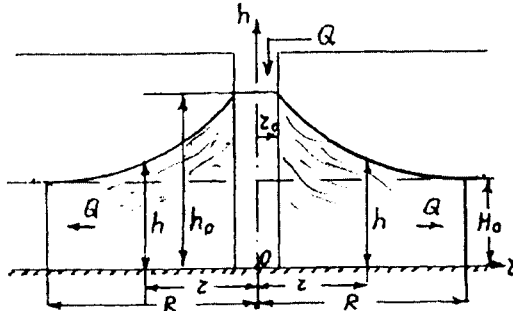
$$Q = \pi K \frac{h_0^2 - H_0^2}{\ln \frac{R}{r_0}} \quad (42)$$

yoki

$$Q = 1,36 K \frac{h_0^2 - H_0^2}{\lg \frac{R}{r_0}} \quad (10.43)$$

bo'ladi.

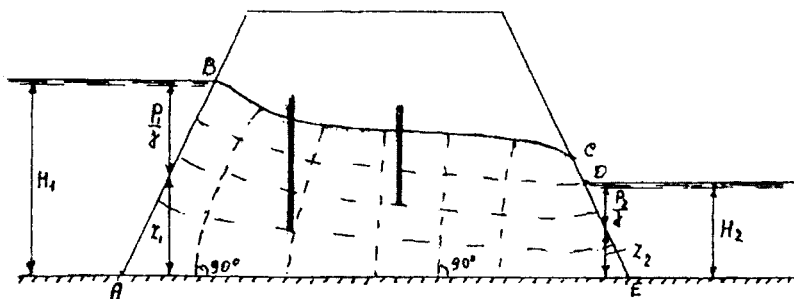
(10.42, 10.43) ifodalardan foydalanyib, yutuvchi quduq qobiliyatini aniqlash mumkin (10.12-rasm).



10.12-rasm.

## 10.9-§. TUPROQLI TO'G'ONDA SUVNING SIZILISHI

Suv o'tkazmaydigan asosga tuproqli to'g'on qurilgan bo'lsin deb faraz qilamiz (10.13-rasm). Bu to'g'ondag'i sizilish suv sarfi va depressiya egri chizig'i gidravlik hisoblash yo'li bilan aniqlanadi. Topilgan qiymatlar to'g'on va dambalarni loyihalashda, ya'ni yon tomonlar qiyaligi mustahkamligini hisoblashda zarur.



10.13-rasm.

To'g'ondan sizilib o'tayotgan oqim  $AB$ ,  $BC$ ,  $CD$ ,  $DE$ ,  $EA$  chiziqlar bilan chegaralangan bo'lib, undagi chegaraviy shartlarni aniglaymiz.

1. *AB chiziq to'g'onning yuqori yon tomonining qiyaligi bo'lib, har bir nuqtasida bir xil bosimga ega, ya'ni*

$$H_1 = Z_1 + \frac{P_1}{\gamma}.$$

Bunda taqqaqlash tekisligi 0–0 suvtirgach bo‘yicha olingan.

2.  $BC$  chiziq (depressiya egri chizig'i) tok chizig'ineng eng yuqorisi bo'lib, undagi har bir nuqtasiga ta'sir etayotgan bosim atmosfera bosimiga teng, ya'ni  $H=Z$  — geometrik balandlik, taqqoslash tekisligi 0—0 dan  $BC$  chiziqning ixtiyoriy nuqtasigacha bo'lgan masofa. Chiziqning  $C$  nuqtasida depressiya egri chizig'i to'g'onning pastki tomon qiyasiga urinma bo'ladi.

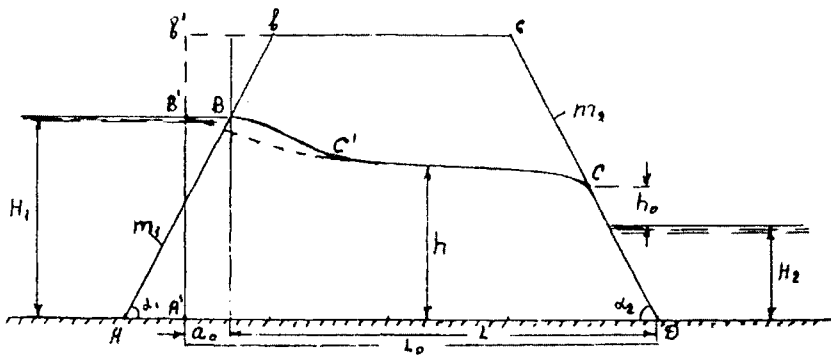
3. *DE* bir xil bosimga ega bo‘lgan chiziq bo‘lib,

$$H_2 = Z_2 + \frac{P_2}{\gamma} \text{ ga teng.}$$

4. *CD chiziq shimilish oralig'i bo'lib, undagi har bir nuqtasiga ta'sir etayotgan bosim atmosfera bosimiga teng. Lekin, bu chiziq tok chizig'i yoki bir xil damga ega bo'lган chiziq deb bo'lmaydi.*

To'g'onning o'rta joyida suvning harakati silliq o'zgaruvchan, yon tomonlariga yaqin bo'lgan joylarida esa suvning harakati keskin o'zgaruvchan bo'ladi.

To'g'onnei taqribiy hisoblash paytda uning trapetsiyasimon  $AbcD$  kesmani shartli bo'lgan  $A'b'c'D'$  trapetsiyasimon kesma bilan almashtiramiz (bunda:  $A'b'$  — to'g'onning vertikal tomoni).



10.14-rasm.

Tajribalar ko'rsatadiki, vertikal  $A'b'$  tomonni yuqori byefdagi suv to'g'on bilan kesishgan ( $B$  nuqta) joyidan  $a_0$  masofa uzoqlikda olish kerak (10.14-rasm):

$$a_0 = \varepsilon H_1 \approx 0,4 H_1. \quad (10.44)$$

$\varepsilon$  koeffitsiyent to'g'onning yuqori yon tomonining qiyalik  $m = \operatorname{ctg} \alpha$  koeffitsiyentiga bog'liq. Odatda, bu  $\varepsilon$  koeffitsiyentni taxminan 0,4 ga teng deb qabul qilinadi. Pastki byefda suv bo'lgagan holda ( $H_2 = 0$ ) 10.14-rasmida ko'rsatilgan shimalish oralig'i  $h_0$  quyidagi S.N. Numerov ifodasi bo'yicha topiladi:

$$h_0 = (m_2 + 0,7) \frac{q}{K}, \quad (10.45)$$

bunda:  $m_2 = \operatorname{ctg} \alpha_2$  — to'g'onning pastki tomoni qiyaligi;

$q$  — suvning solishtirma sizilish sarfi.

Miqdor  $q$  ni oldindan yetarli aniqlik bilan Dyupyui ifodasi orqali topish mumkin:

$$q = K \frac{H_1^2}{2L_0}, \quad (10.46)$$

bunda

$$L_0 = L + 0,4H.$$

Sizilish sarfi  $q$  va shimalish oralig'i  $h_0$  ma'lum bo'lganda  $B'C$  depressiya egri chizig'ini topib olish mumkin. Depressiya egri chizig'i tenglamasini yozishda Dyupyui ifodasini qo'llasak,

$$\frac{q}{K} = \frac{H_1^2 - h^2}{2x},$$

yoki

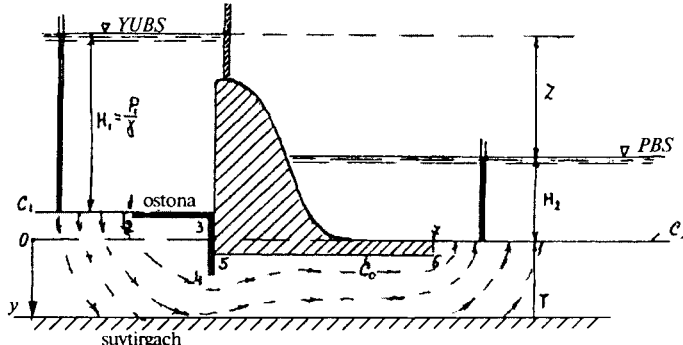
$$h = \sqrt{H_1^2 - 2 \frac{q}{K} x} \quad (10.47)$$

bo'ladi.

(10.47) ifodaga har xil  $x$  qiymatlarni qo'yib chuqurlik  $h$  larni  $H_1$  dan  $h_0$  oralig'ida topamiz. Shunday qilib, shartli chizma  $A'b'cD$  uchun  $B'C$  depressiya egri chizig'ini olib, so'ng  $B'C$  oralidagi chiziqni  $BC'$  oraliq bilan almashtiramiz. Bu oralidagi chiziqni  $B$  nuqtasida to'g'onning yuqori qiyaligiga normal o'tkazilgan,  $C$  nuqtasida esa yuqorida aytilgandek, depressiya egri chizig'i pastki qiyalikka urinma bo'lib qoladi.

#### 10.10-\$. BETON INSHOOTLAR TAGIDAGI SUVNING DAMLI SIZILISHI

Faraz qilaylik, suv betonli (to'g'on) inshoot tagidan harakat qilayotgan bo'lsin (10.15-rasm). Bu holda juda o'zgaruvchan jonli kesmalardan o'tuvchi suv sizilish oqimini ko'rishimiz mumkin. Chiziq 1-2-3-4-5-6-7 inshootning yer tagidagi konturi bo'lib, suv sizilish oqimiga inshoot tomonidan chegara bo'ladi. To'g'on yer tagidagi konturini ko'paytirish uchun, uni tagiga qoziqlar qatori qoqilib, oldiga esa ostona, ya'ni suv o'tkazmaydigan gruntdan tayyorlangan yupqa qatlama qilinadi. To'g'ondag'i dam ( $Z = H_1 - H_2$ ) lar ta'sirida suv yuqori byefdani to'g'on tagidan sizilib pastki byef tomoniga o'tadi. Bu holda zarrachalarning tok chiziqlari juda o'zgaruvchan bo'ladi.



10.15-rasm.

Damli sizilishni o'rganish betonli inshootlarni yer tagidagi shaklini loyihalashda kerak bo'ladi. Beton inshootlarini yer ostidagi shaklini loyihalash inshoot tagida suv sizilishi mavjudligi quyidagi shartlar bajarilishini talab etadi:

1. Inshootning yer osti shakli yuzini yuvib o'tishda suv bosim bilan ta'sir etadi. Bu bosimga qarshi bosim kuchi deyiladi va u inshootning mustahkamligini hisoblashda kerak bo'ladi.

2. Suv sizilish natijasida yuqori byefdan bir qancha suv hajmi yo'qoladi, shuning uchun pastki byefga chiqadigan suvning sizilish sarfini aniqlash zarur.

3. Inshoot tagida har xil miqdorda tezlik  $U$  lar sizilishi mavjud bo'ladi. Agar ularning tezliklari katta bo'lsa, inshoot tagidagi gruntu sizilish oqimi yuvib ketishi (suffoziya) mumkin. Shuning uchun, ayrim hollarda bunday oqimning turli nuqtalarida tezlikni aniqlashga to'g'ri keladi.

4. Sizilish oqimi grundan o'tib, inshoot asosining pastki byef tomoniga siljitishtga harakat qiladi. Bu siljish kuchi asosning turli nuqtalarida o'lchangan pyezometrik nishab qiymatiga bog'liq.

Shunday qilib, betonli inshootlarni gidravlik hisoblash masalasi quyidagicha bo'lishi kerak: inshootning yer tagidagi shakli berilgan, inshootdagi  $z = H_1 - H_2$  dami, sizilish sohasining shakli, o'lchovi va sizilish koefitsiyentining miqdori berilgan bo'ladi. Qarshilik kuchi  $R$ , suvning  $Q$  sizilish sarfi, asos tagidagi ixtiyoriy nuqtalarda tezlik sizilishi  $U$  ni va pyezometrik nishabi  $J$  ni topish kerak. Inshoot ostidagi suvning harakati keskin o'zgaruvchan bo'lgani uchun, uni o'rganishda yuqorida qo'llangan oddiy gidravlik hisoblash usulidan foydalanib bo'lmaydi. Bu yerda murakkab matematik hisoblardan foydalanish, yoki maxsus soddalashtirilgan (qarshilik koefitsiyentlar usuli) hisobot, yoki bo'lmasa, eksperimental yo'l orqali elektrogidrodinamik (EGDA) o'xshatish (analogiya) yo'li bilan o'rganiladi.

10.1-m isol. Zichlangan qumli gruntu harakat qilayotgan yer osti suvning sizilish tezligini va tartib harakatini toping. Agar to'shamda suv o'tkazmaydigan qatlama nishabi  $i = 0,02$ , gruntning o'rtacha zarrachalar diametri  $d = 1,5 \cdot 10^{-3} \text{ m}$ , sizilish koefitsiyenti  $K = 0,03 \text{ m/s}$ .

**Y e c h i s h .** Faraz qilamiz, yer ostidagi suv laminar harakatda bo'lsin, unda sizilish tezligi Darsi ifodasidan topiladi:

$$V = Ki = 0,03 \cdot 0,02 = 0,6 \cdot 10^{-3} \text{ m/s} .$$

Yer osti suv laminar harakatda bo'lganda,

$$vd \leq (0,01 \div 0,07) \text{ sm}^2/\text{s}$$

bo'lishi kerak.

Bizni misolimizda  $vd = 0,06 \cdot 0,15 = 0,009 \text{ sm}^2/\text{s}$ , ya'ni  $0,009 < 0,01$ , demak, suvning sizilishi laminar harakatda bo'ladi.

10.2-misol. Yer ostidagi gruntning suvli qatlam qaliligi  $N = 5\text{m}$  da sizotli (drenajli) quduq o'rnatilgan bo'lib, radiusi  $r_0 = 0,1 \text{ m}$  ga teng. Shu quduqdan nasos bilan suvni tortib olish chiqurligi  $S = 2,0 \text{ m}$ , qolgan suvning chiqurligi  $h_0 = 3,0 \text{ m}$ . Grunt o'rta zarrachali qum bo'lib, undagi suvning sizilish koefitsiyenti  $K = 7,0 \text{ m/sut} = 8,1 \cdot 10^{-5} \text{ m/s}$  ga teng. Shu quduqdan tortib olinayotgan suv sarfini aniqlang va pasayish depressiya chizig'ini quring.

Yechish. Sizotli quduqdan suv olinayotgan paytda gruntga ta'sir etayotgan radiusini quyidagi Richard ifodasidan topamiz:

$$R = 3000 \cdot S\sqrt{K} = 3000 \cdot 2,0\sqrt{8,1 \cdot 10^{-5}} = 54 \text{ m.}$$

Quduqdan tortib olinayotgan suv sarfi ushbuga teng:

$$\begin{aligned} Q &= \pi K \frac{H^2 - h_0^2}{\ln \frac{R}{r_0}} = 1,365 K \frac{H^2 - h_0^2}{\lg \frac{R}{r_0}} = \\ &= 1,365 \cdot 8,1 \cdot 10^{-5} \frac{\frac{5^2 - 3^2}{54}}{\lg \frac{54}{0,1}} = 6,47 \cdot 10^{-4} \text{ m}^3/\text{s}; \quad Q = 0,65 \text{ l/s.} \end{aligned}$$

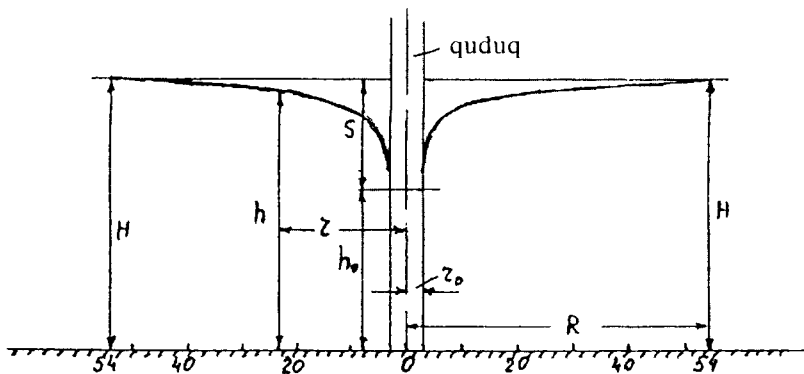
Depressiya egri chizig'ini qurish uchun

$$h^2 - h_0^2 = \frac{Q}{\pi K} \ln \frac{r}{r_0} = 0,73 \frac{Q}{K} \lg \frac{r}{r_0}$$

ifodaning radiusi  $r$  ga har xil qiymatlar (0 dan 54 m gacha) berib,  $h$  larni 10.2-jadvalga kiritamiz va chizmasini chizamiz (10.16-rasm).

10.2-jadval

$r, \text{m}$	0	6	12	18	24	30	36	42	48	54
$h, \text{m}$	3,0	4,4	4,59	4,7	4,78	4,84	4,89	4,93	4,96	5,0



10.16-rasm.

## ADABIYOTLAR

1. K.SH. Latipov. Gidravlika, gidromashinalar, gidroyuritmalar. — Т., O'qituvchi, 1992.
2. Р.Р.Чугаев. Гидравлика. Л., Энергоиздат, 1983.
3. Примеры расчетов по гидравлике. Под редакцией А.Д.Альтшуля. М., Стройиздат, 1976.
4. Е.А.Чугасва. Гидравлика (Задания на контрольные работы, № 1,2). — М., ВЗИИТ, 1983.
5. В. Г. Кадыков. Гидравлика (Задания на контрольные работы, № 1,2). — М., ВЗИИТ, 1980.
6. П.Х.Убайдуллаев, З. П.Сустигалова. Гидравлический расчет напорных систем (Методические указания). — Т., ТашИИТ, 1982.
7. П.Х.Убайдуллаев, З. П.Сустигалова. Гидравлический расчет напорных систем (Методические указания). — Т., ТашИИТ, 1983.
8. В.И.Елманова. Гидравлика (Задания на контрольные работы, № 1,2). — М., ВЗИИТ, 1983.
9. Ю.А.Реш, П.Х.Убайдуллаев. Гидравлический расчет быстротока (Методические указания). — Т., ТашИИТ, 1982.
10. П.Х.Убайдуллаев, З.П.Сустигалова. Гидравлический расчет систем с насосной подачей жидкости (Методические указания). — Т., ТашИИТ, 1988.
11. Р.Х. Udaydullayev. Kalta bo'lgan gidravlik tizimni D.Bernulli va o'zgarmas suyuqlik sarfi tenglamalari bilan yechish (Metodik ko'rsatma). — Т., ToshTO'MO, 1993.
12. А.М. Arifjanov. Gidravlika va gidromashinalar fanidan grafik hisoblash ishlarini bajarish uchun uslubiy ko'rsatma.— Т., Giprozem, 1993.
13. Р.Х.Ubaydullayev. Gidravlika (Uslubiy ko'rsatma). — Т., TYMI, 2001.
14. Р.Х.Ubaydullayev. Magistral va undan tarqalib ketgan quvurlar tizimini gidravlik yo'li bilan hisoblash (Metodik ko'rsatma). — Т., TYMI, 1993.
15. Р.Х.Ubaydullayev. Tezoqar ariqni gidravlik hisoblash (Uslubiy ko'rsatma). — Т., TYMI, 1999.
16. А.Н. Rizayev, Р.Х.Ubaydullaev. Nasos bilan ta'minlangan quvurlar tizimini gidravlik hisobi (Uslubiy ko'rsatma). — Т., TYMI, 2002
17. М.А.Abdullayev va boshqalar. Ruscha-o'zbekcha politexnika atamalari lug'ati. — Т., «Fan», 1995.
18. М.А. Abdullayev va boshqalar. Ruscha — o'zbekcha lug'at. — Т., Qomuslar bosh tahririysi, 1993.

## MUNDARIJA

So‘zboshi .....	3
Kirish .....	5
<b>1-bob. Suyuqlikning fizik va mexanik xossalari .....</b>	<b>7</b>
Misollar .....	11
<b>2-bob. Gidrostatika asoslari .....</b>	<b>13</b>
2.1-§. Gidrostatik bosimni aniqlash .....	13
2.2-§. Gidrostatik bosimning xossalari .....	15
2.3-§. Gidrostatikaning asosiy tenglamasi .....	16
2.4-§. Pyezometrik va gidrostatik bosimlar .....	18
2.5-§. Paskal qonuni .....	21
2.6-§. Bosim kuchining to‘g’ri burchakli tekis yuzlarga ta’sir etishi .....	21
2.7-§. Bosim kuchining silindrik sirtlarga ta’sir etishi .....	23
2.8-§. Ixtiyoriy shaklga ega bo‘lgan tekislikdagi figuraga ta’sir etayotgan bosim kuchi .....	23
2.9-§. Egri chiziqli sirtga ta’sir etayotgan suyuqlikning gidrostatik bosim kuchi .....	25
<b>3-bob. Suyuqlikning uzliksiz va D.Bernulli tenglamalari .....</b>	<b>32</b>
3.1-§. Gidrodinamika asoslari .....	32
3.2-§. Suyuqlik oqimining uzliksiz tenglamasi .....	35
3.3-§. D.Bernulli tenglamasi .....	37
3.4-§. O‘zgarmas harakat qilayotgan benuqson (ideal) suyuqlik uchun D. Bernulli tenglamasining geometrik sharhlovi .....	39
3.5-§. Benuqson elementar oqim uchun D. Bernulli tenglamasining energetik sharhlovi .....	41
3.6-§. Mayjud elementar oqimcha uchun D. Bernulli tenglamasi .....	42
3.7-§. Mayjud suyuqlik oqimi uchun D. Bernulli tenglamasi .....	44
3.8-§. D. Bernulli tenglamasini qo‘llash shartlari .....	47
3.9-§. D. Bernulli tenglamasiga asoslangan asbob-uskunalar .....	47
3.10-§. Suyuqlik tekis harakatining asosiy tenglamasi .....	51
<b>4-bob. Suyuqlikning laminar va turbulent harakat xususiyatlari .....</b>	<b>54</b>
4.1-§. Gidravlik qarshiliklar .....	54
4.2-§. Laminar tartibda harakat qilayotgan suyuqlikning xususiyatlari .....	55
4.3-§. Tekis harakat qilayotgan suyuqlik uchun o‘rtacha tezlik va suyuqlik sarfi ifodalari. Shezi ifodasi .....	59
4.4-§. Turbulent harakat qilayotgan suyuqlik xususiyatlari .....	61
4.5-§. Mahalliy qarshiliklar .....	68

<b>5-bob. Teshikcha va qo‘ndirg‘ichlardan suyuqlikning oqib chiqishi .....</b>	75
5.1-§. Yupqa devor teshikchadan suyuqlikning oqib chiqishi .....	75
5.2-§. Idishdagi suyuqlikni yupqa devordagi teshikchadan bo‘satish ..	78
5.3-§. Idishdagi suyuqlikning qo‘ndirg‘ichlardan oqib chiqishi .....	79
<b>6-bob. Quvurlardagi suyuqlik harakati .....</b>	85
6.1-§. Quvurlar tasnifi .....	85
6.2-§. Uzun quvurni gidravlik hisoblash .....	86
6.3-§. Oddiy quvurni gidravlik hisoblash .....	88
6.4-§. Idishdagi suyuqlikning atmosferaga oqib chiqishi .....	90
6.5-§. Kalta quvurlar .....	91
6.6-§. Murakkab quvurlar .....	92
6.7-§. Oddiy va murakkab bo‘lgan quvurlarni grafik usuli bilan yechish .....	98
6.8-§. Quvurdagi gidravlik zarba .....	99
6.9-§. Zulfinni bir zumda berkitilganda hosil bo‘lgan gidravlik zarba ..	100
6.10-§. Gidravlik zarba to‘lqinining tarqalish tezligi .....	102
<b>7-bob. Kanallarda suvning harakati .....</b>	107
7.1-§. Kanaldagi suvning tekis harakati .....	107
7.2-§. Kanal ko‘ndalang kesmasining gidravlik elementlari .....	108
7.3-§. Kanalning eng qulay bo‘lgan gidravlik jonli kesmasi .....	111
7.4-§. Trapetsiyasimon kesmali kanalda tekis harakat qilayotgan suyuqlikni hisoblashda ko‘riladigan asosiy masalalar .....	113
7.5-§. Halqasimon va tashkil etuvchi kanallarni gidravlik hisoblash ....	116
<b>8-bob. O‘zan va kanallarda suyuqlikning notejis harakati .....</b>	118
8.1-§. Suyuqlik notejis harakatining differensial tenglamasi .....	118
8.2-§. Kanal kesmasining solishtirma energiyasi va kritik chuqurligi ..	121
8.3-§. Kanalning kritik nishabi .....	124
8.4-§. Notejis harakatning asosiy differensial tenglamasini tekshirish .....	125
8.5-§. Anhordagi notejis harakat qilayotgan suyuqlik differensial tenglamasining ikkinchi ko‘rinishi .....	126
8.6-§. Sarf modullari nisbatlari uchun ko‘rsatkichli bog‘lanish. Anhorning gidravlik ko‘rsatkichi .....	128
8.7-§. Anhordagi suyuqlik notejis harakatining differensial tenglamasini B.A. Baxmeteyev usuli bilan integrallash .....	129
8.8-§. Prizmatik anhorda notejis harakat qilayotgan suv sathining mumkin bo‘lgan shakli .....	131
8.9-§. Gidravlik sakrash .....	134
8.10-§. Gidravlik sakrashning asosiy tenglamasi .....	135
8.11-§. Silindrik kanal tagining nishabi keskin o‘zgargan holda oqim sathining shakllari .....	139

<b>9-bob. Suv oqib tusharlar (novlar)</b>	143
9.1-§. Suv oqib tusharlar sifni	143
9.2-§. To'g'ri burchakli suv oqib tusharlar uchun asosiy hisoblash ifodasi	146
9.3-§. Yupqa devorli cho'kmagan suv novlar	147
9.4-§. Yupqa devorli cho'ktirilgan novlar	147
9.5-§. Keng ostonalgi to'g'ri burchakli cho'kmagan nov	149
9.6-§. Belanje usuli	151
9.7-§. Baxmetiyev usuli	153
9.8-§. To'g'ri burchakli keng ostonalgi novning cho'kish shartlari	154
9.9-§. Gidrotexnik inshootlarda uchrab turadigan nov devorlari	156
9.10-§. Novdan oqib tushayotgan oqimning eng tor joydag'i chuqurligi	157
9.11-§. Yuqori va pastki byeflarning bog'lanish shakllari	159
<b>10-bob. Filtratsion oqimlar</b>	166
10.1-§. Sizilish (filtratsiya) nazariyasining asosiy tushunchalari	166
10.2-§. Laminar sizilishning asosiy qonuni	167
10.3-§. Sizilish koeffitsiyentini aniqlash	169
10.4-§. Suvning damsiz tekis harakati	171
10.5-§. Gruntdag'i suvning notejis damsiz harakatining differensial tenglamasi va uni integrallash	172
10.6-§. Notejis harakat qilayotgan grunt suvi sath chizig'inining shakli	176
10.7-§. Dumaloq gruntli quduqqa suvning oqib kelishi	177
10.8-§. Suvni o'ziga yutuvchi quduqlar	181
10.9-§. Tuproqli to'g'onda suvning sizilishi	181
10.10-§. Beton inshootlar tagidagi suvning damli sizilishi	184
Adabiyotlar	188

**P.X.UBAYDULLAYEV, B.P.UBAYDULLAYEV**  
**AMALIY SUYUQLIK MEXANIKASI**

Muharrir *X. Alimov*  
Badiiy muharrir *J. Gurova*  
Texnik muharrir *T. Smirnova*  
Musahhiha *H. Zokirova*

Bosishga ruxsat etildi 12.01.07. Bichimi  $60 \times 84^1/_{16}$ .  
Tip. Tayms garniturasi.  
Ofset bosma. Shartli b.t. 11,16. Nashr t. 12,0. Nusxasi 500.  
Buyurtma № 193. Bahosi shartnomaga asosida.